

平成17年度学術フロンティア推進事業(継続)  
「可変波長高輝度単色光源の高度利用に関する研究」

シンポジウム  
「理想的なX線像とその活用」  
「近赤外自由電子レーザー(FEL)とその活用」

平成18年3月16日～17日  
会場：日本大学理工学部船橋校舎13号館2階1325室

日本大学量子科学研究所電子線利用研究施設  
Laboratory for Electron Beam Research and Application (LEBRA),  
Nihon University

**平成17年度学術フロンティア推進事業(継続)  
「可変波長高輝度単色光源の高度利用に関する研究」のシンポジウム・プログラム**

職：敬称： 省略

開催年月日 平成18年3月16日～17日  
開催場所 日本大学理工学部船橋校舎13号館2階1325室

**3月16日 シンポジウム:「理想的なX線像とその活用」**

開会の辞 ( 9:50～10:00) 日本大学大学院総合科学研究科 佐藤 勇

招待講演 (10:00～10:50)

パラメトリック X 線研究をふりかえる 広島大学大学院先端物質科学研究科 遠藤一太

コーヒーブレーク (10:50～11:05)

特別講演 (11:05～12:25)

北大に於けるパラメトリックX線の現状 北海道大学大学院工学研究科 秋本 正

リニアックと PXR による波長可変 X 線源の現状と展望 日本大学量子科学研究所 早川恭史

昼 食 (12:25～13:25)

招待講演 (13:25～14:15)

屈折原理による2D, 3DX 線画像の開発: KEK:物質構造科学研究所 安藤正海

「放射光利用臨床・病理学診断の試み」 KEK:物質構造科学研究所 安藤正海

特別講演 (14:15～14:45)

干渉計を用いた位相X線イメージング(医学生物学応用)

筑波大学大学院人間総合科学研究科 武田 徹

コーヒーブレーク (14:45～15:00)

一般講演 (15:00～16:00)

LEBRA-PXR と FEL の生体硬組織への応用研究

日本大学松戸歯学部 寒河江登志朗

「-化石鉱物からインプラントまで-」 日本大学松戸歯学部 寒河江登志朗

PXRを用いた位相コントラストイメージング 日本大学理工学部 高橋由美子

屈折原理にもとづく X 線 CT の生体試料への応用 総合研究大学院大学先導科学研究科 橋本英子

自由討論 (16:00～16:20)

研究施設見学(16:20～17:20)

懇親会 (17:30～19:00) 理工学部船橋校舎食堂(ダビンチ)

KEK :高エネルギー加速器研究機構

LEBRA:電子線利用研究施設(日本大学)

## 3月17日 シンポジウム:「近赤外自由電子レーザー(FEL)とその活用」

### 基調報告 (10:00~10:30)

LEBRA Linacの特性	日本大学量子科学研究所	早川 建
一般講演 (10:30~11:10)		
自由電子レーザー転写による機能性材料の直接描画	日本大学理工学部	鈴木 薫
学術フロンティア(5年間)の成果と学術フロンティア継続(3年間)における生体高分子構造研究グループの展望	日本大学医学部	宍倉文夫
コーヒーブレーク (11:10~11:25)		
一般講演 (11:25~12:25)		
自由電子レーザー照射により生成した振動励起分子の Two-Color イオン化法による検出	日本大学工学部	奥山克彦
光励起によるフラーレンポリマーの合成	日本大学理工学部	岩田展幸
光エネルギーを利用した絶縁膜の低温成長	日本大学理工学部	稻野 正

### 昼 食 (12:25~13:25)

### 基調報告 (13:25~13:55)

2005年度共同利用状況及び施設の現状	日本大学量子科学研究所	田中俊成
一般講演 (13:55~14:35)		
動物実験系を応用したレーザーの生物学的効果の検証	日本大学松戸歯学部	多田充裕
機能ゲノム科学応用による光照射生物学的効果の機序解明	日本大学松戸歯学部	柴田恭子
コーヒーブレーク (14:35~14:50)		
一般講演 (14:50~16:10)		
レーザー・アブレーション法による光機能性膜の開発と新装置試作研究	日本大学文理学部	石渡謙一郎
光機能性物質 SrTiO <sub>3</sub> と、高イオン導電体 AgI-SrTiO <sub>3</sub> の物性研究	日本大学文理学部	藤代 史
LEBRA における生命科学系利用者に対する研究環境の整備状況	日本大学大学院総合科学研究所	桑田隆生
LEBRA Linacのビーム自動調整	日本大学理工学部	中尾圭佐
自由討論 (16:10~16:30)		

### 閉会の辞 (16:30~16:35)

LEBRA:電子線利用研究施設(日本大学)

# 講演要旨

## 招待講演

### パラメトリック X 線 (PXR) とは

遠藤一太

広島大学大学院先端物質科学研究科

パラメトリック X 線の存在は 1960 年代に執筆(英語版は 1972 年発行)された TerMikaerian の電磁物理学の教科書に予言されているが、実験的に確認されたのは 1980 年代である。旧ソ連以外で PXR 実験を行ったのは、1991-2 年日米ほぼ同時であったらしい。相対論的エネルギーの電子線ビームを単結晶にあてるだけで単色エネルギーの X 線が出てくるので、実験は簡単である。

その後いろいろな条件で測定がおこなわれた。当初は発生メカニズム(理論式の妥当性)が興味の中心であった。偏光についても TerMikaerian の式であらわされる方向に見事に合致した直線偏光をしていることが実験的に証明された。実用的単色 X 線源とするには、なんとか強度増大的方法を考えねばならない。

広島大学では、1)多層単結晶からの PXR 2)薄い単結晶に多重回電子通過にともなう PXR。3)チャネリング放射と PXR の重畠 4)テクスチャー構造をもつ金属多結晶箔からの PXR について試みた。

## 特別講演

### 北大に於けるパラメトリック X 線の現状

秋本 正

北海道大学大学院工学研究科

45MeV 電子線型加速器 (LINAC) により、シリコン (Si) 単結晶を用いて 8~30keV パラメトリック X 線 (PXR) を発生した。PXR は単色性、指向性がよく、結晶を回転させることにより連続的にエネルギーを変えることができる、コヒーレントであるなど優れた特徴がある。PXR による良質の単色硬 X 線場の作成のための適切な条件、すなわち高強度で単色性のよい PXR を発生する条件を理論解析と実験により求めた。PXR の硬 X 線源としての利用の一例として PXR のエネルギー範囲に K 吸収端を持つ物質の光子の質量減衰係数測定を行った。これにより 8~30keV の領域の PXR による X 線標準場の作製のための基礎データを得、標準場作製のための諸要件を示した。また標的結晶の結晶性の評価への PXR の利用の一環として、結晶のオフ角の評価や PXR のエネルギー拡がりから標的結晶の格子歪みなどの評価への利用を検討した。

### リニアックと PXR による波長可変 X 線源の現状と展望

早川 恭史

日本大学量子科学研究所電子線利用研究施設

日本大学電子線利用研究施設 (LEBRA) において、125MeV 電子リニアックとパラメトリック X 線放射 (PXR) を組み合わせた波長可変単色 X 線源を実現するためにシリコン単結晶を用いた 2 結晶型システムの開発を進め、2004 年 4 月に X 線ビームの取り出しに成功した。基礎的な特性研究が進むにつれ、2 結晶システムからの PXR ビームはイメージングに適しており、また PXR の持つ線形なエネルギー分散を利用した XAFS 測定の可能性が示唆されている。また、PXR の優れた空間コヒーレンシーにより完全結晶の回折を用いた位相コントラストイメージングを実現している。リニアックの制約としてビームデューティーが低いという問題はあるが、パルス構造の特性を生かしたポンププローブ的な手法や、高感度な X 線検出器の導入により、先進的で S/N 比の良い実験が期待できる。

## 招待講演

### 屈折原理による2D, 3DX 線画像の開発——放射光利用臨床・病理学診断の試み

安藤正海

高エネルギー加速器研究機構・物質構造科学研究所（併任：総合研究大学院大学  
高先導科学研究所 光科学専攻エネルギー加速器科学研究所 物質構造科学専攻）

放射光の医学利用専用光源へ向けて、高いコントラストによる関節軟骨と乳ガンの描画を目指して開発中である。我々のグループは(Ⅰ)X線暗視野法と(Ⅱ)X線CT用屈折原理にもとづくアルゴリズムを世界初考案した。これを用いて(Ⅰ)関節軟骨と乳ガン組織の高性能2次元X線画像を得た。さらに(Ⅱ)非浸潤性乳管ガン試料と肺胞の3次元像の合成に成功している。これらの理論背景、アルゴリズム、撮影されたX線画像を紹介したい。また被曝線量と医用画像専用放射光源について言及したい。

- Simple X Ray Dark- and Bright- Field Imaging Using Achromatic Laue Optics: M. Ando, A. Maksimenko, H. Sugiyama, W. Pattanasiriwisawa, K. Hyodo and C. Uyama, Jpn. J. Appl. Phys. 41 (2002) L1016-L1018.
- Construction of X-ray Dark-Field Imaging with a View Size of 80 mm Square and First Visualization of Human Articular Cartilage at Femoral Head Under a Nearly Clinical Condition: M. Ando, H. Sugiyama, T. Kunisada, D. Shimao, K. Takeda, H. Hashizume and H. Inoue, Jpn. J. Appl. Phys. 43 (2004) L1175 - L1177.
- Computed Tomographic Reconstruction Based on X-Ray Refraction Contrast: A. Maksimenko, M. Ando, H. Sugiyama, T. Yuasa, Appl. Phys. Lett. 86 (2005) 124105-1~124105-3
- Attempt at Visualizing Breast Cancer with X-ray Dark Field Imaging: M. Ando, K. Yamasaki, F. Toyofuku, H. Sugiyama, C. Obayashi, G. Li, L. Pan, X. Jiang, W. Pattanasiriwisawa, D. Shimao, E. Hashimoto, T. Kimura, M. Tsuneyoshi, E. Ueno, K. Tokumori, A. Maksimenko, Y. Higashida, M. Hirano: Jpn. J. Appl. Phys. 44, (2005) L528-L531.
- Attempt at 2D Mapping of X-ray Fluorescence from Breast Cancer Tissue  
M. Ando, K. Yamasaki, C. Ohbayashi, H. Esumi, K. Hyodo, H. Sugiyama, G. Li, A. Maksimenko and T. Kawai, Jpn. J. Appl. Phys. 44 (2005) L998-L1001.
- 2D and 3D Visualization of Ductal Carcinoma in situ (DCIS) due to X-Ray Refraction Contrast:  
M. Ando, A. Maksimenko, T. Yuasa, E. Hashimoto, K. Yamasaki, C. Ohbayashi, H. Sugiyama, K. Hyodo, T. Kimura, H. Esumi, T. Akatsuka, G. Li, D. Xian and E. Ueno, Bioimages 13 (2005) 1-7.
- ルボ先端人：バイオニクス， 2 (2006) 20-22.

## 特別講演

### 干渉計を用いた位相イメージング

武田 徹、吳 効、Thet-Thet-Lwin、米山明男<sup>1</sup>、兵藤一行<sup>2</sup>、平井康晴<sup>1</sup>

筑波大学大学院人間総合科学研究科、<sup>1</sup>日立製作所基礎研究所、

<sup>2</sup>物質構造科学研究所

位相コントラスト X 線画像は、生体組織を構成する H,C,N,O 等の低元素物質に対し、非常に高感度で従来吸収法に比べて感度が約 1000 倍以上高い。我々は、種々の位相 X 線イメージング法の中で最も高感度な計測が可能な X 線干渉計を用いた生体イメージング装置の開発及び応用に関する研究を行っている。特に生体試料ではサイズが大きいものが多いため、大視野の画像が収集でき、試料を透過しやすい高エネルギー X 線で撮影できる X 線干渉計システムの開発が不可欠である。現在、撮影エネルギー 35keV で、25mm 角の視野が得られる一体型干渉計撮像装置と、生体の放射熱による影響を抑制できる分離型 X 線干渉計を用いた撮像装置が作られている。これらの装置を用い、ホルマリン固定生体試料(癌、種々の臓器)や、生きたヌードマウスに移植した大腸癌の観察にも成功している。ここでは、干渉計を用いた位相型 X 線撮影装置でどのような生体試料観察が可能か紹介する。

## 一般講演

### LEBRA-PXR と FEL の生体硬組織への応用研究 「-化石鉱物からインプラントまで-」

寒河江登志朗(松戸歯学部、助教授)、早川 徹、岡田裕之、中田浩史(松戸歯学部、専任講師)佐藤由紀江(松戸歯学部、非常勤講師)、佐藤俊紀、浅賀知記、諏訪武利、豊田千枝、沼田靖子(松戸歯学部、大学院)、筧 光夫(明海大学歯学部、講師)、Prof. Racquel Z. LeGeros, Prof. John P. LeGeros (New York Univ.)

LEBRA が発生するパラメトリック X 線と自由電子レーザーを用いた生体組織に関する研究実験の中間報告を行う。LEBRA-PXR は多くの特性・特徴を有するが、X 線透過実験としてインプラントを埋入したウサギ脛骨および骨芽細胞様細胞培養実験で形成された細胞培養ディッシュ上のノジュールを撮影できた。現在は位相コントラスト法に挑戦している。LEBRA-PXR の波長可変性を利用して、化石恐竜卵殻中に Sr 元素による X 線吸収端を見出すことが出来た。LEBRA-PXR による X 線回折実験として、結晶鉱物を用いた基礎的な回折実験に成功した。LEBRA-FEL の波長可変性を利用して、歯の硬組織に対するレーザー ablation の波長依存性を観測できた。FELpower の同時モニター装置によって、歯のレーザー照射によるピット深さと power との相関を計ることが出来た。また、予備実験用 X 線回折装置によるいくつかの研究実験例を紹介する。

## PXRを用いた位相コントラストイメージング

高橋由美子<sup>a</sup>、早川恭史<sup>b</sup>、桑田隆生<sup>c</sup>、森 啓<sup>d</sup>、高野良紀<sup>a</sup>、飯田厚夫<sup>e</sup>

<sup>a</sup>日本大学理工学部、<sup>b</sup>日本大学量子科学研究所、<sup>c</sup>日本大学大学院総合科学研究科、

<sup>d</sup>日本大学薬学部、<sup>e</sup>高エネルギー加速器研究機構物質構造科学研究所

PXRがパルス光源であることを利用した時分割測定、その指向性、コヒーレンシーによる位相差イメージング、波長可変性を活用した異常散乱測定とこれらの複合化システムを構築し、液晶・高分子などのソフトマターにおける階層的秩序形成過程、熱・電場・磁場などへの応答特性、反応過程を明らかにすることを目的として実験を行っている。

その中でも位相差イメージングは軽元素領域で吸収コントラストの約1000倍の感度が期待できるため、比較的軽い元素で構成されるソフトマターの内部構造観察に適している。今回は回折法によるイメージングの現状を中心としてこれまでの成果を報告する。

## 屈折原理にもとづくX線CTの生体試料への応用

橋本 英子<sup>\*a</sup>、マクシメンコ アントン<sup>b</sup>、杉山 弘<sup>a, b</sup>、兵藤 一行<sup>b, c</sup>、島雄 大介<sup>c</sup>、湯浅 哲也<sup>c</sup>、

西野 義則<sup>d</sup>、石川 哲也<sup>d</sup>、新井 嘉則<sup>e</sup>、安藤 正海<sup>a, b, c</sup>

<sup>a</sup>総合研究大学院大学先導科学研究科

<sup>b</sup>高エネルギー加速器研究機構物質構造学研究所

<sup>c</sup>総合研究大学院大学高エネルギー加速器科学研究所

<sup>d</sup>山形大学工学部、<sup>e</sup>理化学研究所播磨研究所、<sup>e</sup>松本歯科大学歯学部

死亡率が増加しつつある乳ガンに注目し、その早期発見に向けた診断方法の開発をおこなっている。最近、我々のグループによって屈折原理3次元像再合成のためのCTアルゴリズムが開発された[1][2]。この手法は屈折コントラストを用いて画像化しているため、乳ガンを含む軟部組織についても高いコントラスト分解能が期待できる。実験は、PF BL14B および SPring-8 BL29XU で行った。入射X線のエネルギーは17.5keVである。試料を透過する際、試料各部で屈折を起こしたX線を Diffraction Enhanced Imaging (DEI) 法により角度分解する。試料には平面波を照射する必要があるので試料の前に非対称角9.5°のSi(220)非対称結晶を配置し平面波を試料に供給する。アナライザとしてSi(220)対称反射結晶を用いた。検出器としてはピクセルサイズ6.7 μmのCCDカメラを用いた。ゴニオメータ上に置いた試料は0.1度ずつ180度にわたって回転させ、各投影方向で撮影し、計算機に取り込んだ。

発表においては従来型の吸収コントラストによる同じ試料のCTとも比較する。

[1] A. Maksimenko, M. Ando, H. Sugiyama and T. Yuasa: Appl. Phys. Lett. **86** (2005) 124105.

[2] A. Maksimenko, M. Ando, H. Sugiyama and E. Hashimoto: Jpn J. Appl. Phys. **44** (2005) 633.

## 基調報告

### LEBRA Linacの特性

早川 建

日本大学量子科学研究所

LEBRA Linac はこれまでの改良の結果、相当に安定な電子ビームを供給できるようになってきたが、いまだ十分とはいはず、FEL、PXR に不安定性を残している。この不安定性の原因を追求すべく、BPM、コアモニターなどを用いて、加速器とビーム輸送系に沿って、電子ビームの位置と電流値を監視した。得られたデータから、電子銃の放出電流が時間的に変動しており、これと加速エネルギー、電子銃付近の真空度との間に強い相関があることが見出された。また、加速管冷却水の温度変動が加速エネルギーを変化させることが明らかとなった。

## 一般講演

### 自由電子レーザー転写による機能性材料の直接描画

鈴木 薫

日本大学理工学部電気工学科

レーザー光を物質に照射すると瞬間的な加熱による爆発的な蒸発が生じる現象をアブレーションと言い、これは成膜面積が狭く不均一になりやすいと言う欠点がある。これを逆に利用した方法である、レーザ誘起前方転写法はドットマークをコンピュータ支援デザインにより、あらゆる機能性材料を直接的に微細な回路や素子として描画できる。機能性材料に固有な分子振動に共鳴吸収する波長を選択できる自由電子レーザーを光源とし、識別用蛍光剤を添加した生分解性樹脂のポリ乳酸を真珠核にマーキングする方法と、光歪素子への応用が期待される PLZT の直接描画について報告する。

### 学術フロンティア(5年間)の成果と学術フロンティア継続(3年間)における 生体高分子構造研究グループの展望

宍倉文夫<sup>a</sup>、桑田隆生<sup>b</sup>、高木 尚<sup>c</sup>、鈴木知彦<sup>d</sup>

<sup>a</sup>日本大学医学部、<sup>b</sup>日本大学大学院総合科学研究科、<sup>c</sup>東北大学理学部、<sup>d</sup>高知大学理学部

生体高分子構造研究グループの5年間に亘る学術フロンティアの成果は、次の2点である。アルダプラゾウガメの HbD の立体構造モデルの構築 (PDB ID: 1V75, IWMU), アカムシの Hb V と Hb VII の立体構造モデルの構築 (PDB ID: 1X3K と IX46)。学術フロンティア継続期間(平成17年度～19年度)に、脊椎動物 (*Ambystomamexicanum*) の Hb と無脊椎動物 (*Haemadipsa zeylanica*, *Cryptogena soyoae*) の Hb (共同研究: 高知大・鈴木知彦教授) の立体構造の解明と他研究者(東北大・高木尚教授)と当該施設の利用研究を目指す。

## 自由電子レーザー照射により生成した振動励起分子の Two-Color イオン化法による検出

奥山 克彦<sup>a</sup>、田中誠一<sup>b</sup>、武田 敏治<sup>b</sup>

<sup>a</sup> 日本大学工学部物質化学工学科、<sup>b</sup> 日本大学工学研究科物質化学工学専攻

自由電子レーザ(FEL)の優れたパフォーマンスを分子分光学において活用するためには、FEL 励起によって生成した振動励起分子を何らかの手段で検出しなければならない。

本研究では ArF エキシマーレーザアシストによる(1+1') Two-Color イオン化法を試みた。ジェット冷却されたペリレン C<sub>20</sub>H<sub>12</sub> を研究対象とし、3350 cm<sup>-1</sup> の CH 伸縮振動準位を中間状態とした。その結果、現段階では S/N=1 と決して大きなものではないが、検出の兆候を得たので報告する。

## 光励起によるフラーレンポリマーの合成

岩田展幸<sup>a</sup>、山本寛<sup>a</sup>、橋本亮二<sup>b</sup>、安藤慎悟<sup>b</sup>

<sup>a</sup> 日本大学理工学部、<sup>b</sup> 日本大学大学院理工学研究科

本研究の目的は、C<sub>60</sub> 分子同士を sp<sub>3</sub> 的な共有結合で 3 次元ポリマー化させることにより画期的な新材料を開発するところにある。本研究では全く新しいプロセスとして、光励起・援用によってホールドーピングと高分子化反応を同時に進行させることを試みた。レーザー照射で原子、分子結合を操作する場合、エネルギーが熱として散逸するため、その熱緩和プロセスよりも短い時間で処理する必要がある。自由電子レーザー ( FEL ) の、波長可変特性と ps オーダーの超短パルス、ハイパワーという特徴は、本研究の光源として有用であり、波長可変特性を生かしてポリマー化の波長依存性の検討も行った。

## 光エネルギーを利用した絶縁膜の低温成長

稻野 正<sup>a</sup>、大西一功<sup>b</sup>、高橋芳浩<sup>b</sup>、海老原 司<sup>a</sup>、西村 剛<sup>c</sup>

<sup>a</sup> 日本大学理工学研究科電子工学、<sup>b</sup> 日本大学理工学部電子情報工学科、

<sup>c</sup> 日本大学理工学部電子情報工学科

近年の半導体集積回路の微細化に伴い、シリコン酸化膜の薄膜化は限界に近づいており、誘電率が酸化膜より大きなシリコン窒化膜について注目されている。本研究では、低 温プロセスにて良好な界面特性を有する窒化膜の製膜を目的に、紫外線による光励起反応を用いた直接窒化について検討を行った。Si 基板を低圧アンモニアガス雰囲気中に設置し、基板に向けて紫外線を導入した結果、基板温度 180°C 以下で窒化が進行していることを確認した。窒化後の基板表面は強い耐酸化性を有することもわかった。また、作製された膜の電気伝導機構を評価した結果、Poole-Frenkel 伝導が支配的であることを確認した。

## 基調報告

### 2005年度共同利用状況及び施設の現状

田中俊成

日本大学量子科学研究所電子線利用研究施設

2005年度の学術フロンティア推進事業における、2005年4月以降の電子線利用研究施設の加速器共同利用運転状況、および共同利用研究テーマのマシンタイム提供状況について報告する。また、自由電子レーザーの出力に関して、共振器ミラーの交換による効果と、1年以上にわたる自由電子レーザー利用の記録に基づく光出力の時間的推移について考察を行い、光出力の高いレベルでの安定供給を目指した加速器運転の参考としたい。

## 一般講演

### 動物実験系を応用した自由電子レーザーの生物学的效果の検証

多田 充裕<sup>a</sup>、久保山 昇<sup>b</sup>、木場 秀夫<sup>c</sup>、岸川 道子<sup>d</sup>

<sup>a</sup> 日本大学松戸歯学部歯科総合診療学、<sup>b</sup> 日本大学松戸歯学部口腔分子薬理学

<sup>c</sup> 日本大学松戸歯学部口腔病理学、<sup>d</sup> 日本大学松戸歯学部生化学・分子生物学

動物実験としてラットを用い、背部にII型コラーゲンを抗原として皮内注射し、関節リウマチの疾患モデルとした。動物は1群3匹として3群にわけ、第1群は無処置群、第2群は初回感作と同時に実験終了まで数日おきにレーザー未照射で動物を固定するだけとした vehicle control 群、第3群は最終感作から数日おきにレーザー照射を行うレーザー照射群とした。実験期間中は、動物の一般状態を毎日観察し、週1回体重測定および膝関節部分の腫脹をノギスで測定した。その結果、レーザー照射群では、対照群と比較して腫脹が軽減しており、レーザー照射によって抗炎症効果が得られたものと考えられた。

## 機能ゲノム科学応用による光照射生物学的効果の機序解明

柴田恭子、安孫子宜光  
日本大学松戸歯学部生化学・分子生物学

IL-1 $\beta$  は関節リュウマチの発症因子であることから、患者膝滑膜細胞樹立株 MH7A に IL-1 $\beta$  を作用させ、SuperLizer 照射(1050nm)および Dexamethasone 投与を行い、IL-8 の產生抑制モデル実験を構築した。培養細胞から mRNA を回収し Affymetrix Gene Chip (Focus Array; 8,500 遺伝子)を用いて、トランスクriptオーム解析を行い、さらに情報伝達系をコアとするデータベースツール(Ingenuity Pathway Analysis System; IPA)を用いて解析した。SL、Dex とともにキモカイイン遺伝子発現を抑制するが、Dex は多数の遺伝子発現を無秩序に変動させ、SL は選択的に変動させる傾向が認められた。

## レーザーアブレーション法による光機能性膜の開発と新装置試作研究

石渡謙一郎<sup>a</sup>、望月章介<sup>a</sup>、飯野晃弘<sup>b</sup>  
<sup>a</sup>日本大学文理学部、<sup>b</sup>日本大学文理学部・4年

これまでに現有する Nd<sup>3+</sup>-YAG レーザーよりの第3高調波を用いて Eu<sub>2</sub>O<sub>3</sub>, SrTiO<sub>3</sub> ほかのナノ粒子膜と平滑膜の作製を行い、膜の形態、構造、光学的性質等を調べてきた。今回の講演では、これらについて概要を報告するとともに、量科研よりの研究費補助を得て試作し、現在調整・テスト中のマイクロ波プラズマアシステッドレーザーアブレーション装置の概要を報告する。

## 光機能性物質 SrTiO<sub>3</sub>と高イオン導電体 AgI-SrTiO<sub>3</sub>の物性研究

藤代 史<sup>a</sup>、芝田浩平<sup>b</sup>、石渡謙一郎<sup>c</sup>、望月章介<sup>c</sup>  
<sup>a</sup>日本大学大学院総合基礎科学研究科、<sup>b</sup>日本大学文理学部 4 年、<sup>c</sup>日本大学文理学部

量子常誘電体、紫外光誘起誘電率増強ほか興味深い現象を示すチタン酸ストロンチウム SrTiO<sub>3</sub> 単結晶と、この SrTiO<sub>3</sub> のナノ粒子を超イオン導電体であるヨウ化銀 AgI に分散して得られる高い伝導度を示す高イオン導電体の興味ある物性現象の研究成果を報告する。あわせて、赤外レーザー光や X 線で誘起されるであろう現象を今後の利用計画との関連で述べる。

## LEBRAにおける生命科学系利用者に対する研究環境の整備状況

桑田隆生<sup>a</sup>、早川 建<sup>b</sup>、田中俊成<sup>b</sup>、早川恭史<sup>b</sup>、境武志<sup>a</sup>、野上杏子<sup>b</sup>、佐藤勇<sup>b</sup>

<sup>a</sup> 日本大学大学院総合科学研究所、<sup>b</sup> 日本大学量子科学研究所電子利用研究施設

日本大学電子線利用権施設では、自由電子レーザー及びパラメトリック X 線の開発を進めと共に、その共同利用に向けて研究環境の整備を進めてきた。結果、一部の利用研究に対してはその研究環境が整いつつあるが、現在、本格的な利用実験を開始していない研究者にとっては未だ研究環境が不十分、または未知の部分が多いのが現状である。本発表では、今後必要となる改善点を明確にするため、施設現有の実験設備・機器、特に生命科学分野に対する研究環境の整備状況を報告する。

## LEBRA Linacのビーム自動調整

中尾圭佐<sup>a</sup>、早川建<sup>b</sup>、田中俊成<sup>b</sup>、早川恭史<sup>b</sup>、境武志<sup>c</sup>、野上杏子<sup>b</sup>、佐藤勇<sup>c</sup>

<sup>a</sup> 日本大学大学院理工学研究科、<sup>b</sup> 日本大学量子科学研究所電子線利用研究施設

<sup>c</sup> 日本大学大学院総合科学研究所

加速器は、中心軌道と呼ばれる軌道をビームが通るものと仮定して設計される。しかし現実には、加速器を構成する機器の製作誤差、設置誤差、地磁気、外部磁場等の影響により、ビーム軌道を中心軌道に一致させることは難しい。ビーム軌道を補正するために、加速器およびビーム輸送ラインにステアリングコイルとビーム位置モニタ(BPM)が設置されている。これらを用いて、加速器の中心軌道に自動的にビームを通すシステムを開発した。本発表ではこのシステムの概要を報告する。

# 講演スライド集

## 平成17年度学術フロンティア推進事業(継続) 「可変波長高輝度単色光源の高度利用に関する研究」

シンポジウム：

「理想的なX線像とその活用」  
「近赤外自由電子レーザーとその活用」

日本大学大学院総合科学研究院  
佐藤 勲

平成18年3月16日～17日  
日本大学理工学部船橋校舎13号館2階1325室

1

## Policy

- ・私立大学でも実施できるプロジェクト規模
- ・実現性の高い研究開発を伴うもの
- ・学際な学術研究を対象に実験ができる
- ・先端的な研究が可能
- ・具体的には加速器を基盤

プロジェクトの方向を探る

⇒歴史的ハードウオッチ

2

## 19世紀の科学 (光と粒子)

- |           |                    |                                 |
|-----------|--------------------|---------------------------------|
| 赤外線       | (1800) W.ハーシェル(英)  | 長岡半太郎(日)                        |
| 紫外線       | (1801) リッター(独)     | J.トムソン(英)                       |
| プラウン運動    | (1827) プラウン(英)     | ペラン(仏)                          |
| 螢光        | (1845) J.ハーシェル(英)  | ラザフォード(ニ)、ロイズ(英)                |
| 陸電線の螢光作用  | (1858) ブリュッカー(独)   | ラザフォード(ニ)                       |
| 気体分子運動の基礎 | (1859) マックスウェル(英)  | 結晶によるX線回折(1912) ラウエ(独)          |
| 光の電磁波説    | (1861) マックスウェル(英)  | コンプトン(米)                        |
| 陽子線       | (1886) ゴルトシュタイン(独) | ド・ブロイ(仏)                        |
| 光電効果      | (1887) ヘリツ(独)      | デヴィソン(米)、G.P.トムソン(英)            |
| 電磁波の実験的証明 | (1888) ヘルツ(独)      | ローレンス、リビングストン(米)                |
| X線        | (1895) レントゲン(独)    | クノル、ルスカ(独)                      |
| 電子の存在確認   | (1897) J.トムソン(英)   | シンクロトロン(1945) マクミラン(米)、ベクスラー(ソ) |

3

## 20世紀前半の科学(よりミクロの世界へ)

- |                |                             |
|----------------|-----------------------------|
| 原子模型の理論        | (1904) 長岡半太郎(日)             |
| 陽子線分析          | (1907) J.トムソン(英)            |
| 分子实在性的証明       | (1908) ペラン(仏)               |
| $\alpha$ 粒子の実証 | (1908) ラザフォード(ニ)、ロイズ(英)     |
| 原子核の存在         | (1911) ラザフォード(ニ)            |
| 結晶によるX線回折      | (1912) ラウエ(独)               |
| コンプトン効果        | (1922) コンプトン(米)             |
| 物質波の概念         | (1923) ド・ブロイ(仏)             |
| 電子線の回折         | (1927) デヴィソン(米)、G.P.トムソン(英) |
| サイクロotron      | (1930) ローレンス、リビングストン(米)     |
| 電子顕微鏡          | (1931) クノル、ルスカ(独)           |
| シンクロトロン        | (1945) マクミラン(米)、ベクスラー(ソ)    |

4

## 20世紀後半の科学（ミクロからマクロへ）

ATPの合成	(1948) ドット(美)
DNAの構造決定	(1953) ワドソン(米)、クリック(英)
新粒子(ヘムリック)の発見	(1949～1959)
反電子の創設	(1955) セグレ(伊)
レーザーの発明	(1958) シャーロー、タウンズ(米)
DNAの酵素合成	(1958) コーンバーゲ(米)ら
電子反ニュートリノの実証	(1959) ライネス(米)
クォーク理論	(1964) ケルマン(米)ら
統一理論	(1967) ワインバーグ(米)、サラム
ノルツの発見	(1974) リヒター、ティン(米)
放射子の発見	(1975) ハール(米)
導電性高分子の発見	(1977) 白川英樹(日)、ピーガー(米)
W、Z粒子の発見	(1983) ルビア(伊)ら
フラーんC <sup>60</sup> の発見	(1985) カール(米)ら
光合成制御反応中心の3次元構造	(1986) タイゼンホーファー(独)ら
ゲノムの解明	(1992) 國際協力
カーボンナノチューブの発見	(1995) 飯島道男(日)

5

## 電子線利用研究施設(LEBRA)の目標 125MeV電子リニアックの高度活用

- 赤外線からX線の波長領域まで同じ特徴を保有
- ・可変波長
- ・高輝度
- ・單色性
- ・コヒーレント
- ・自由電子レーザーとパラメトリックX線の組合せ

研究課題名 「可変波長単色光源の高度利用」  
学術プロンティア 14億1911万円 平成12～16年度  
学術プロンティア（総額分） 2億9400万円 平成17～19年度

6

## 研究課題名と研究分担者

### 1. 可変波長単色光源の開発研究

波長可変単色X線源の開発（総括）	佐藤 勇
FELの開発 自由電子レーザー（FEL）の短波長化	早川 達
電子線形加速器の高性能化	田中 後成、境
武志	
パラメトリックX線(PXR)の高性能化	早川 義史
PXR計測系の高精度化	早川 義智
共同利用実験システムの高度化、	桑田 駿生
タンパク質の構造解析	桑田 駿生

### 2.1 新素材・極微量定量方法の開発研究

FEL・PXR照射による3次元フラーレンポリマーの合成、	山本 寛
FEL授用測定形成プロセスの開発	山本 寛
FELアブレージョンによる新機能性高分子形成	岩田慶幸
PXRを用いた動的精密高分子構造解析	高橋 由美子

7

## 2.2 新素材・極微量定量方法の開発研究

FEL・エキシマーレーザーのソフオントンプロセスによる	船木 寛
環境半導体成膜	船木 寛
PXRによるワイヤーベンドギャップ発光体のXAFS観測	大西 一功
MIS構造素子の放射線照射効果	高橋 芳浩
FELによる半導体薄膜の生成	内木場 文男
機能化物の粉末X線回折	望月 勝介、涉地 賢夫
「FEL」による物質の光散乱検出変化・光屈折	石渡 雄一郎
価値変化の研究とフォトモリー材料開発への応用】	
PXRを用いた高圧下におけるX線回折の研究	海沢 武男、高橋 博樹
「波長可変ビコ秒レーザー光源を用いた2光子	川上 鹿算
あるいは3光子励起法によるLight Harvesting	奥山 克彦、沼田 哲
分子の新たな電子状態の探求】	

8

### 3.1 生物学・医療・歯科医療の基礎研究

- FELによる光の脳神経に与える影響・遺伝子損傷 石川誠  
一、芝叶智次 浅井
- 虚血状態のグルタミン酸受容体動態 田中 良明、斎藤  
単色X線の培養細胞に及ぼす放電損傷 球 逸  
FELを用いた尿路結石碎石効果および生体組織  
に与える影響の検討 滝本 至得、吉田  
生物高分子のX線結晶構造解析 宮川 哲夫  
分光型レーザー顕微鏡による多孔性化における  
骨再生用スチヤホールドの多孔性化における  
FELの応用 宮倉 文夫、茂野 周、浅野正岳  
PRP内の骨芽細胞分化因子タンパク質の  
立体制造解析 西山 實、佐藤 吉則  
自由電子レーザーの生物学的効果に関する研究 深瀬 康公  
「組織再生および抗炎症効果の検討」 清水 典佳、石丸 9  
透子

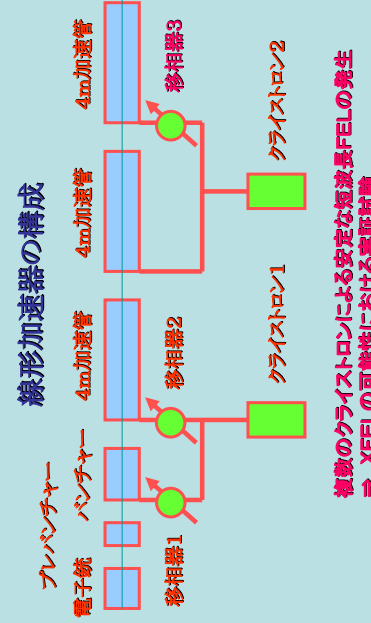
### 3.2 生物学・医療・歯科医療の基礎研究

- 金属タンパク質のNO捕捉能の解明 奥 忠武  
「機能ゲノム科学の応用による自由電子レーザー—  
生物学的效果の機序解明」 安孫子 宣光、柴田 泰  
子  
FELによる細胞組織後への構造変化について 池貝 宅司、深澤 正幹  
「PXRF-XRDによる生体結晶の構造解析、  
朝、中田 浩史  
PXRF-AFSによる生体組織の構造解析、  
広域RFELレーザーの生物学的・生体代替材料  
に対するablation効果の研究」 東川 徹  
志朗、中田 浩史  
Spike FELレーザーを用いた細胞と生体物質  
の分析 塚河江 釜  
病理的石灰化物の超微細構造 岡田 勉之  
「自由電子レーザー、レーザー波長、生物学的效果、  
炎症、疼痛、創傷治癒、骨形成、Gene-Chip、MALI-  
TOF-MS、機能ゲノム科学」 多田 充裕、岸川 道子

### 近赤外自由電子レーザーの実用化 普通の電子リニアックの100MeV超の電子ビーム の高品質化に成功 ⇒ 短波長FELの可能性

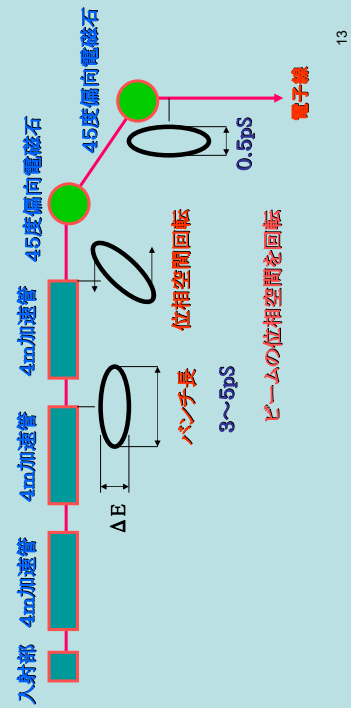
- ・ 単RF密短パルスクライストロンの長パルス稼働
- ・ 電子ビームの低エネルギー化
- ・ パルス電源の超安定化
- ・ 高周波の位相安定化
- ・ 電子エネルギーのオクターブ可変
- ・ 電子ビームのハシチ圧縮
- ・ 光空洞共振器に銀鏡
- ・ モニターの強化

### 普通の電子線型加速器 ⇒ 短波長FEL発振



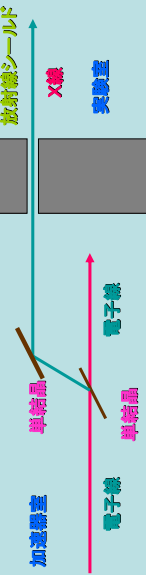
## 日本FELは何故発振できたか？

相対論的領域におけるベンチ圧縮



13

## パラメトリックX線の実用化



14

- ・2枚の単結晶のブラック反反射によるX線輸送
  - ・X線ビームポートの固定
  - ・2枚の単結晶回転によってX線エネルギーが可変
  - ・高品質で安定な電子ビーム
  - ・指向性、单色性、高輝度、コヒーレンシーに富んでいる  
エネルギーが可変
- ⇒ 理想的なX線源に近い ⇒ (XFEL)

## まとめ

- 19世紀の科学 (光と粒子)
  - 20世紀前半の科学 (よりミクロの世界へ)
  - 20世紀後半の科学 (ミクロからマクロへ)
  - 21世紀の科学 (超分子の生成と機能の解明)
- 超分子の生成 : 可視光から近赤外線  
(多水素結合)
- 新しい元素で構成される : 理想的なX線による  
超分子の内部構造 3次元構造解析
- 赤外線からX線まで ⇒ 可変波長、单色、コヒーレント光源が実現
- 理想的な光源の実現に一步近づいたとの認識

15

## 本シンポジウムの趣旨

コンパクトな光源の実現(安価で高性能)

⇒ 社会的認識が薄い

(啓蒙の必要性)

### 周期性の活用(単結晶)

⇒ 理想的なX線源に繋がる?

理想的なX線源で何が分かるか?

⇒ その活用方法は?

### 周期性の活用(アンジュレーター)

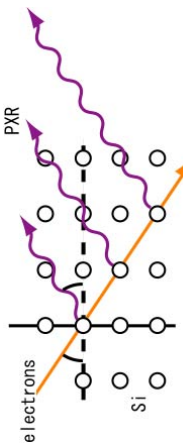
⇒ 理想的なレーザーなのか?

# パラメトリックX線研究を ふりかえる

遠藤一太  
平成18年3月16日  
日大シンポジウム

1

## パラメトリックX線(PXR)



・パラメトリックX線とは、結晶に高速電子が入射した時に、  
　　・パラメトリック条件とほぼ同じ角度・エネルギーで放射される単色X線

2

## なぜ？

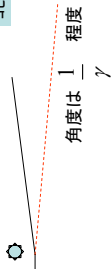
- TerMikaelianの教科書(英語版1972年)に記載されている。(相対論的電子の物質中の放射)
- 真空中の等速直線運動 → 放射なし
- 一様な物質中 → チェレシコフ放射の可能性
- 電子の進行方向に誘電率が1次元的に変化 → トランジション放射
- 誘電率が3次元的に変化するとき
  - 小角度 → ヒーレント制動放射
  - 大角度 → PXR

3

## 素過程で考えると

### 制動放射

单結晶中では干渉効果で  
　　・ヒーレント制動放射が起こる



### 分極放射

单結晶中では干渉効果で  
　　・パラメトリックX線が発生

(量子論的定式化・H.Nitta)  
　　・大角度にも出る

4

## 別の言い方

- 仮想光子のX線回折
- 結晶中の分散関係の特徴によりX線領域でおこるチエレンコフ放射

5

## 原理的問題

- 高次効果 (e.g. Barishevskii's Formula)  
dynamical theory  
制動放射のdiffraction
- transition radiation の diffraction
  - 通常影響小
  - 偏光
  - TerMikaelianの式に一致

6

## 実用的問題

- エネルギー分解能は?
  - PXRピーク内でも光子エネルギーはブラック角からのずれに比例してエネルギーが変化する。(スリットではじるとエネルギー幅が狭まる→無限小幅では?)
- 偏光度は?
- 強度は? → 電子あたりの光子数少ない
  - 大強度電子ビームに結晶が耐えられるか?
  - 多重回衝突
  - 多層結晶板(コヒーレントランジション放射の併用)

7

## 広大グレーパーの実験の歴史

- PXRの結晶温度依存性(トムスク)
- PXRの絶対強度と多重散乱の影響(核研)
- 角度分布(核理研)
- 結晶厚さ依存性(核研)
- Ge結晶からのPXR; K吸収端付近での振舞い(核研)
- 電子多重回通過(トムスク)
- 多層単結晶(核研、広島)
  - チャネリング条件下でのPXR(核研、広島)
  - テクスチャー構造をもつ多結晶からのPXR(広島)
  - ビーム強度モニタとしての利用(核研)
  - 内部標的有効サイズ測定への応用(核研)

8

# Radiation from Textured Polycrystal

Presented at Belgorod W.S. (Sep. 2004)

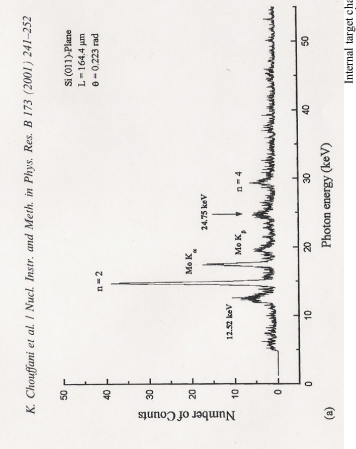
by I. Endo

based on the collaboration with  
C. Moriyoshi<sup>a</sup>, A. Shchagin,  
Y. Takabayashi, K. Ueda,

9



First Result from REFFER: PXR from Si crystalline foiles+ Mo



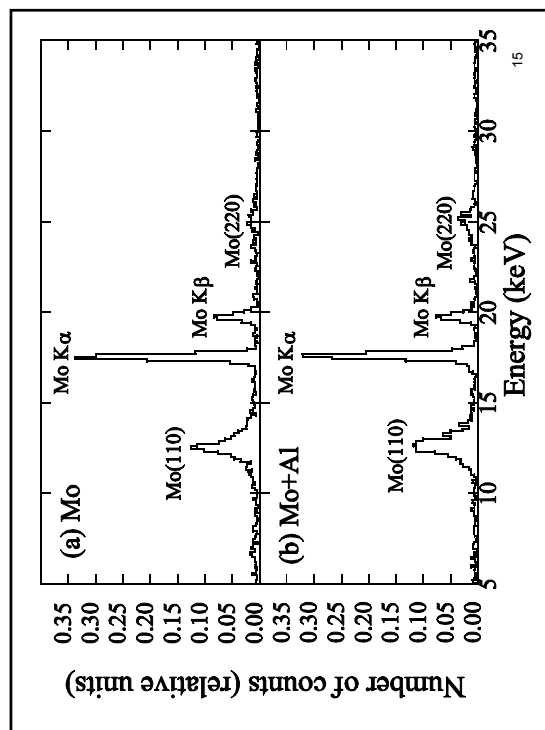
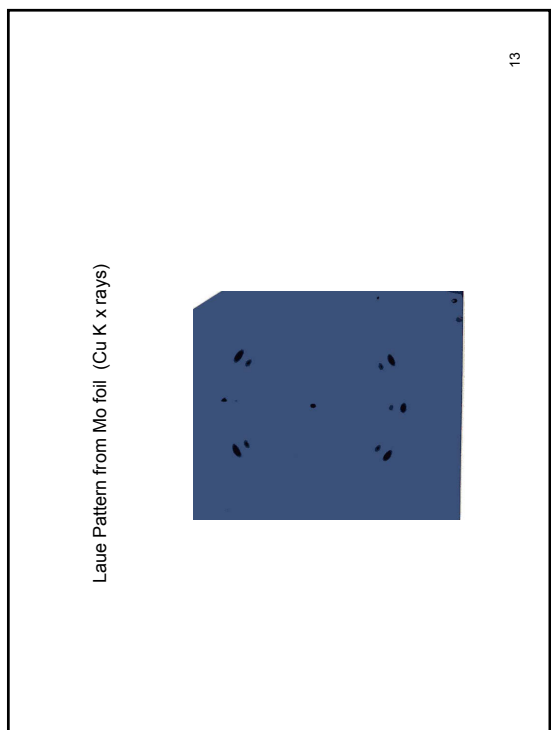
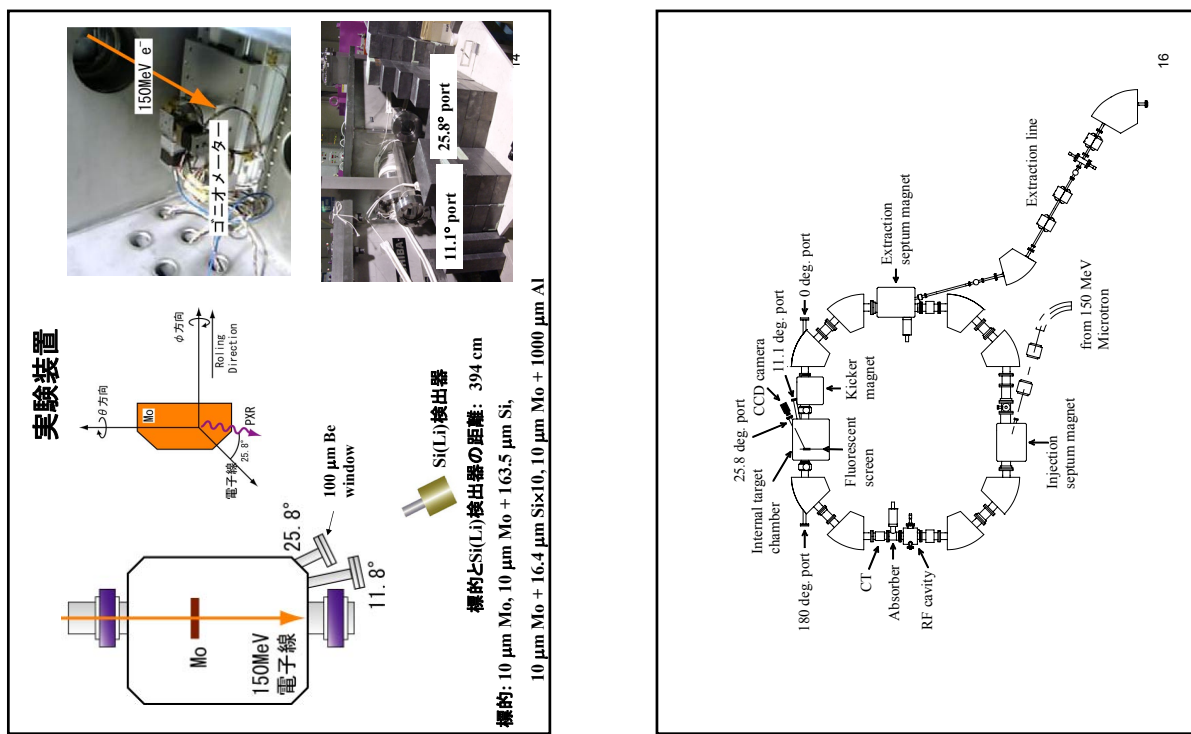
NIMB 49847	ARTICLE IN PRESS	No. of Pages 5, DTD= 4.3.1
13 March 2004 Disk used	Available online at <a href="http://www.sciencedirect.com">www.sciencedirect.com</a>	
	<b>SCIENCE @ DIRECTE</b>	
	<b>NIMB</b> Nuclear Instruments and Methods in Physics Research B xxx (2004) xxx-xxx	
	<b>ELSEVIER</b>	<a href="http://www.elsevier.com/locate/nimb">www.elsevier.com/locate/nimb</a>

Letter to the Editor

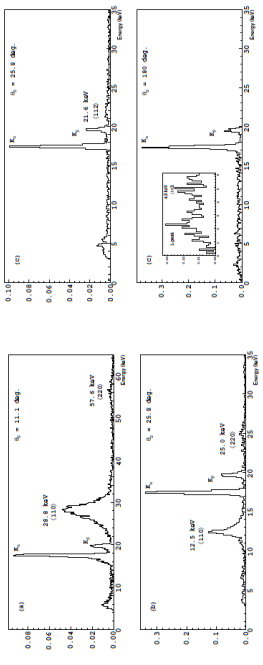
On the origin of mysterious X-ray spectral peaks observed at the REFFER electron ring

I. Endo<sup>a,\*</sup>, D. Iseki<sup>a,1</sup>, T. Ohnishi<sup>a</sup>, C. Moriyoshi<sup>b</sup>, A.V. Shchagin<sup>c,2</sup>  
<sup>a</sup> Graduate School of Material Science, Hiroshima University, 1-3-1, Kajihara-cho, Higashimizonoma 739-8530, Japan  
<sup>b</sup> Graduate School of Science, Hiroshima University, 1-3-1, Kajihara-cho, Higashimizonoma 739-8530, Japan  
<sup>c</sup> VBL, Hiroshima University, 2-3-3, Kajihara-cho, Higashimizonoma 739-8527, Japan

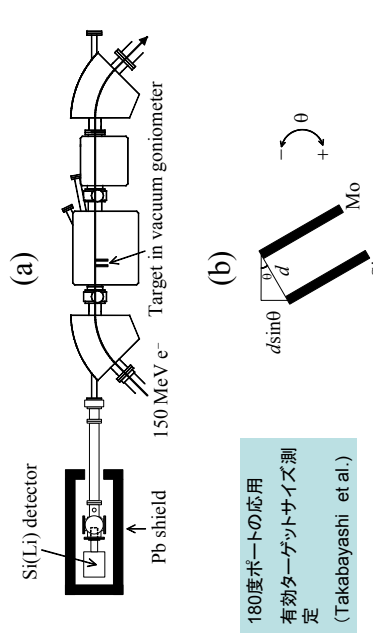
Received 7 January 2004



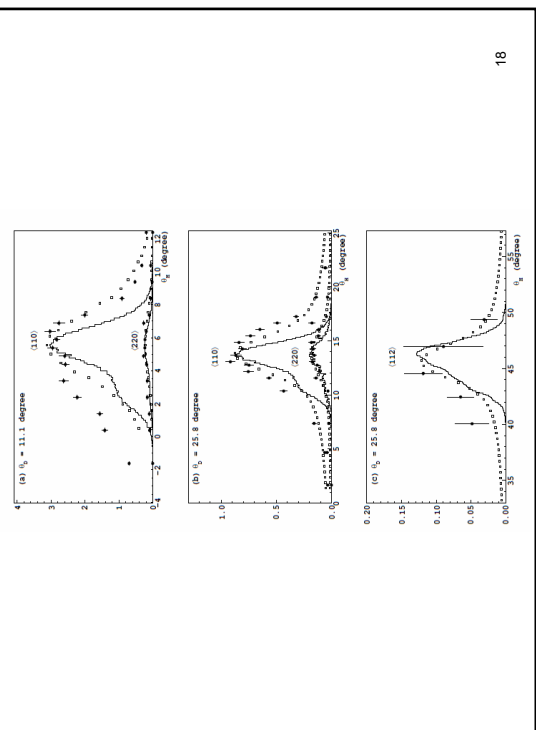
最近、11.1度ポートでも測定した(約30keVのX線)  
S.A. Nawang et al.



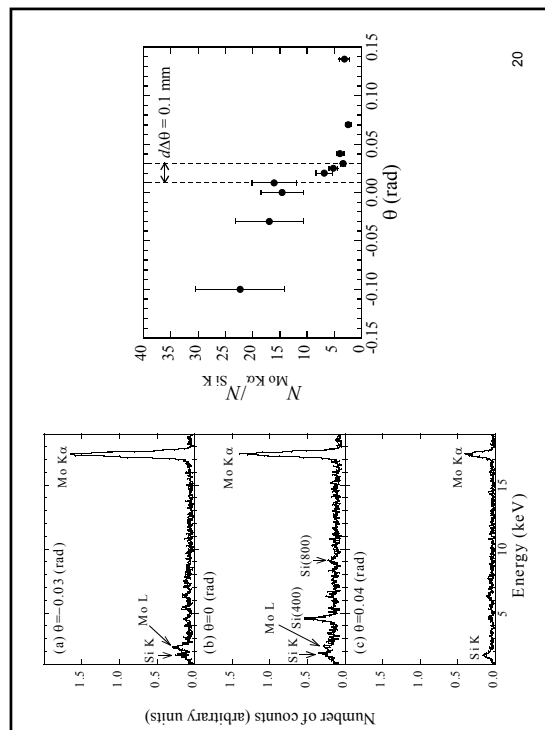
17



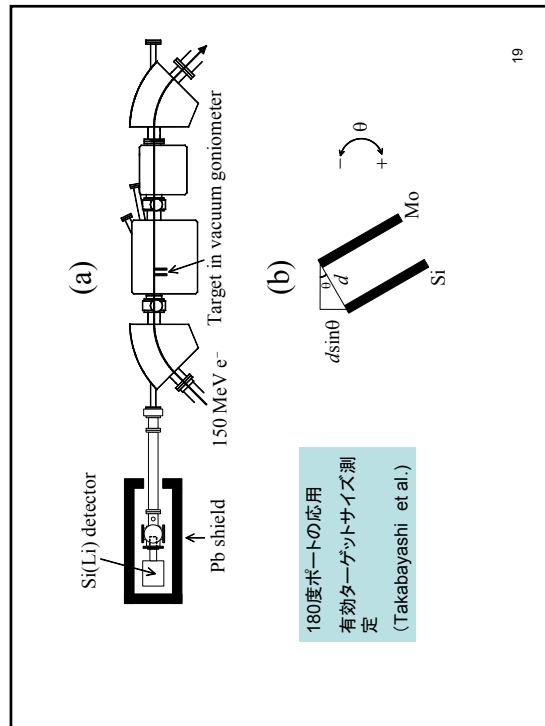
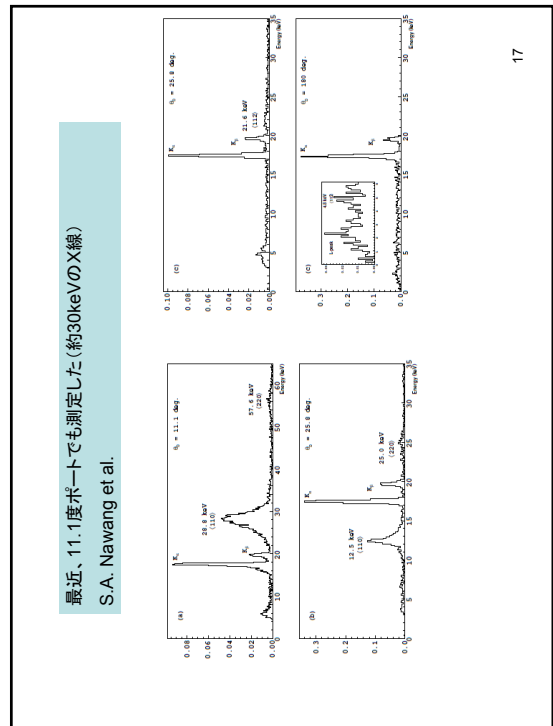
19

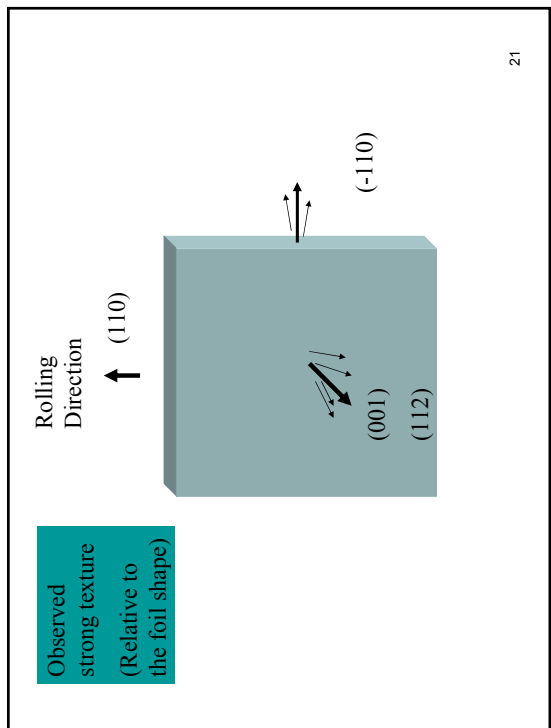
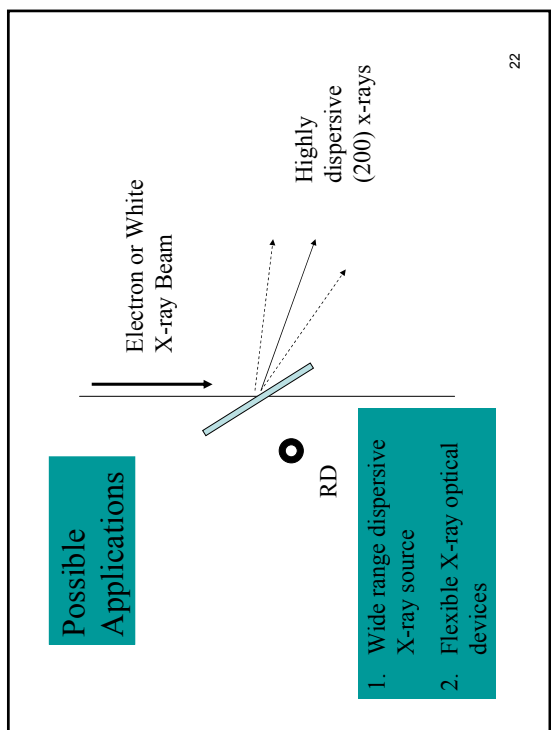


18



20





おわりに

- いよいよ実用化にむけて

23

# 北大におけるパラメトリックX線 の現状

北海道大学院工学研究科  
秋本正

日本大学理工学部船橋校舎  
平成18年3月16日

1

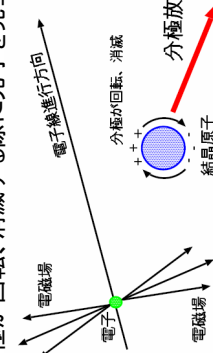
## 内容

1. 緒言  
PXRの発生と特徴  
PXRの利用
2. 目的  
PXRの発生条件  
強度  
単色度
3. 実験  
PXRの発生条件  
PXRの利用例
4. 結論

2

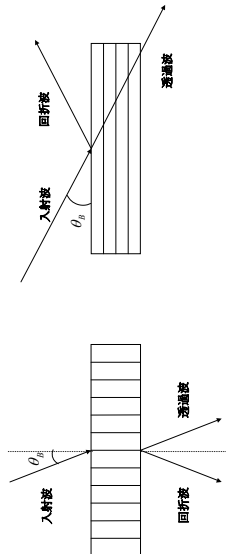
## PXRの発生

- 分極放射
  - 入射荷電粒子の電磁場により、媒質原子が分極し、  
その分極が回転、消滅する際に光子を発生する
- 分極放射が、結晶構造により干渉しPXRとなる



3

## 結晶配置(ラウエーケースとブランツケース)



- ラウエーケース      ブランツケース

4

## PXRの特徴

- 单色性がよい
- 標的結晶を回転することで、X線エネルギーを連続的に変化させることができる
- X線エネルギーは入射荷電粒子のエネルギーには依存しない
- コヒーレント光である
- 指向性がよい
- 小型加速器でも、ビーム上に結晶を置くだけで、容易に硬X線が発生可能

5

- エネルギー連続可変の単色硬X線源
  - 物質の質量減衰係数の測定
  - 硬X線領域のX線標準場
  - コヒーレント源としての利用
- 測定データから標的結晶の特性を解析

6

## PXRの特性に影響を与える因子

	LINAC	ターゲット	検出器
强度特性	電子エネルギー 電流 バルス幅	種類 厚さ 材質 結晶回転角	検出角
エネルギー特性	電子エネルギー 電流	種類 厚さ 材質 結晶回転角	検出角

7

## 実験の概要

1. 結晶を回転させたときの変化(結晶回転角依存性)
2. X線検出器の角度(観測角度)を変えたときの変化(検出角依存性)
3. 電子エネルギーを変えたときの変化(電子エネルギー依存性)
4. 電流を変えたときの変化(電流依存性)
5. 結晶の厚さを変えたときの変化
6. PXRのエネルギー特性(単色性)
7. ターゲット結晶の種類を変えたときの変化

8

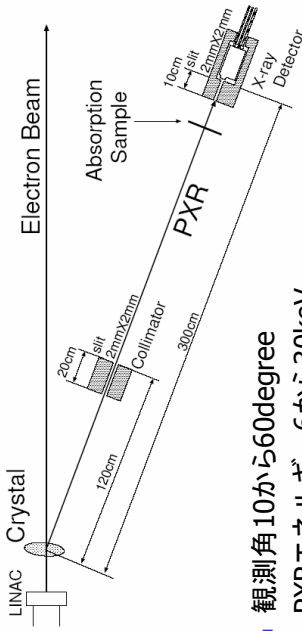
## 実験

### ①8~30keV領域のPXRの発生

- 結晶回転角依存性
  - 検出角依存性
  - 結晶厚さ依存性
  - 等の測定により、PXRの強度・エネルギー特性を評価
- ### ②PXRの利用
- 各種の材料の質量減衰係数の測定
  - ターゲット試料のオフ角の測定
  - 質量減衰係数測定による標的結晶の結晶性の評価

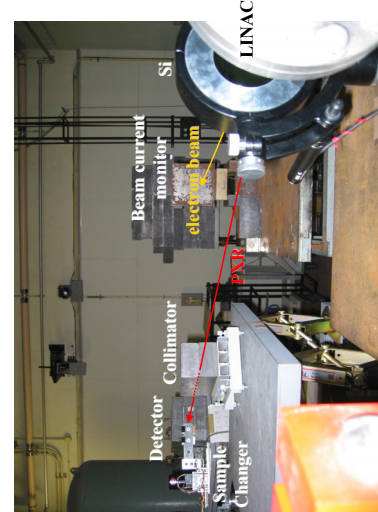
9

## 実験体系



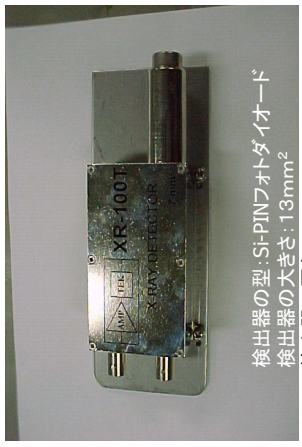
10

## 実験体系



11

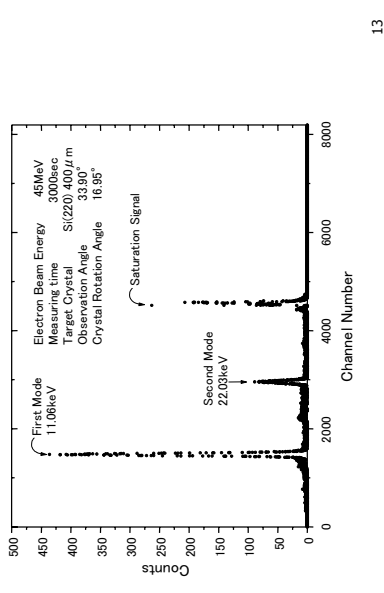
## 検出器 : AMPTEK社XR-100T



検出器の型:Si-PINフォトダイオード  
検出器の大きさ:13mm<sup>2</sup>  
検出器の厚さ:500 μm  
検出器窓:Be(25 μm)

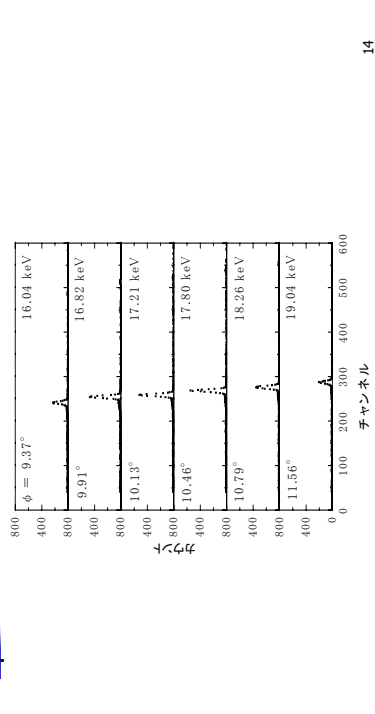
12

## PXRのスペクトル例



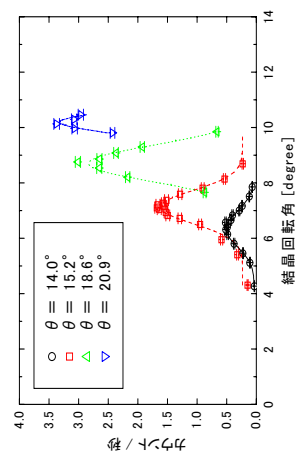
13

## PXRスペクトルの結晶回転角依存性



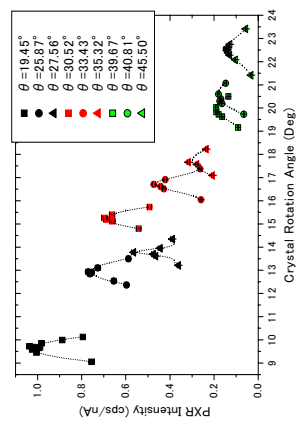
14

## 検出角依存性



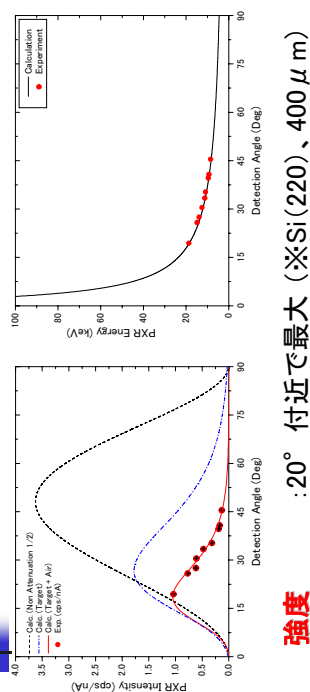
15

## 検出角依存性



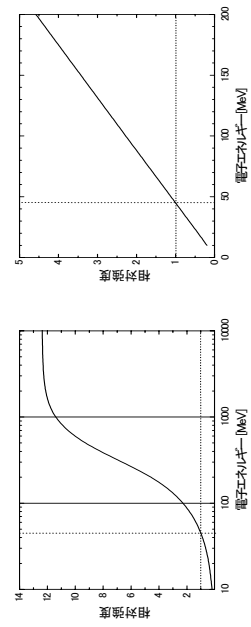
16

## PXRの検出角依存性



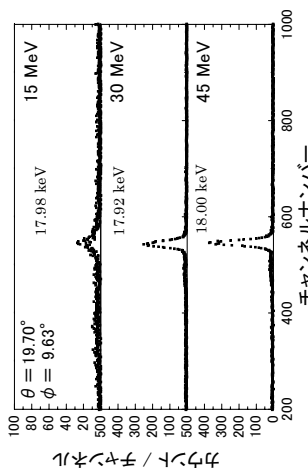
17

## PXR放射強度の電子エネルギー依存性



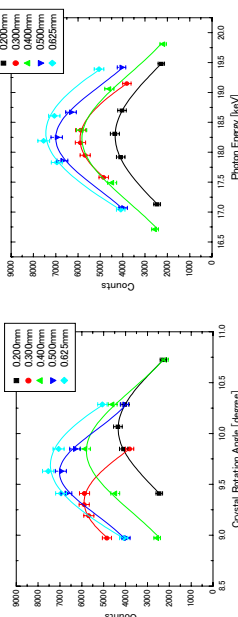
18

## 電子エネルギー依存性



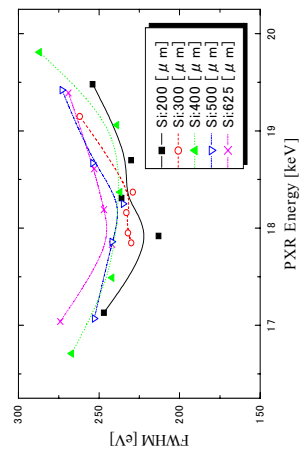
19

## PXR計数の結晶厚さ依存性(Si)



20

## 結晶の厚さとPXRエネルギーの拡がりの関係



21

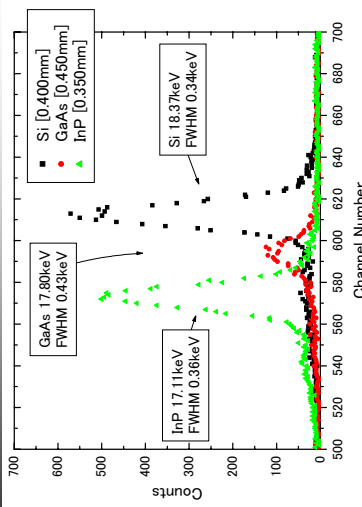
## 質量吸収係数測定試料

- 硬X線領域にK吸収端エネルギーを持つ物質

	K吸収端 (keV)
Mo	20.002
Nb	18.987
Zr	17.998
Ge	11.103
GaAs	11.867 (As) 10.367 (Ge) 8.333
Ni	

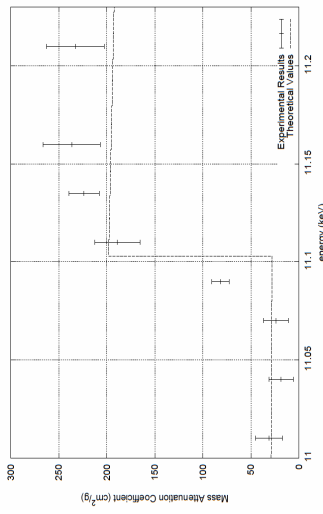
23

## Si, GaAsおよびInPから発生する PXRスペクトルの比較



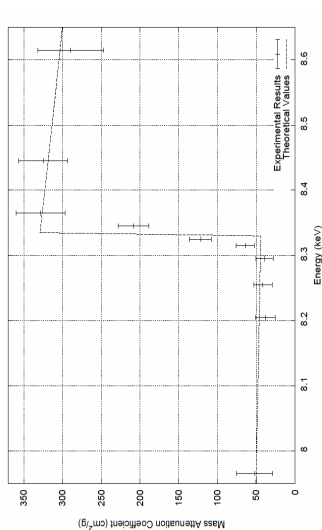
22

## Geの測定結果



24

## Niの測定結果



25

## 結言(1)

PXRを用いて、微小なエネルギー間隔で質量減衰係数を測定できた

- 数keVから数十keVの領域でエネルギー連続可変な単色硬X線源として利用可能
  - 硬X線領域の標準場の作成
  - 医学分野におけるX線イメージング法の検討
  - コヒーレント性を利用した位相コントラスト法
  - X線光電子分光やX線吸収微細構造分析の検討<sup>26</sup>

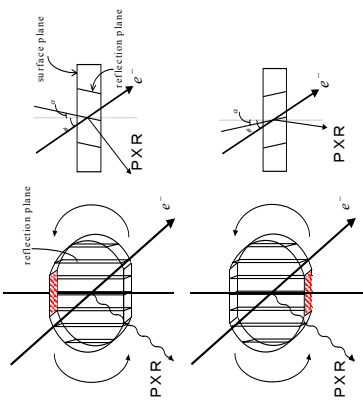
## PXR-X線を用いた標準場の概要(1)

- 供給可能なX線のエネルギー範囲
- 単色度 (FWHMのパルサー校正値から逆算)
- X線強度 (光子フルエンス率での表記が望ましい)
- X線強度の角度依存性  
(X線強度のエネルギー依存性と同義)
- 高次放射線の寄与に関する角度依存性  
(絶対寄与率での評価要)
- 制動放射線の寄与に関する角度依存性  
(絶対寄与率での評価要)<sup>27</sup>

## PXR-X線を用いた標準場の概要(2)

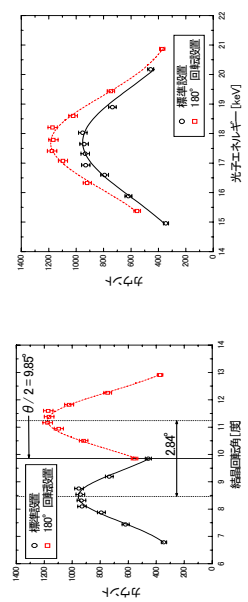
- 散乱線の寄与に関する角度依存性  
(絶対寄与率での評価要)
- X線強度の時間安定度
- X線強度の温度安定度
- 産総研と相互比較した低エネルギー用小型電離箱を用いた場の照射線量値付( C/kg換算)
- 検定済みRIとの線量率比較時における幾何効率補正手法
- 照射サービス時の線量率モニタ方法<sup>28</sup>

## 結晶試料の模式図



29

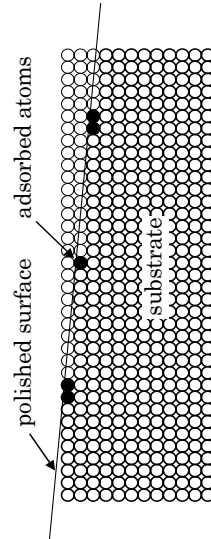
## GaAs試料のオフ角の測定



30

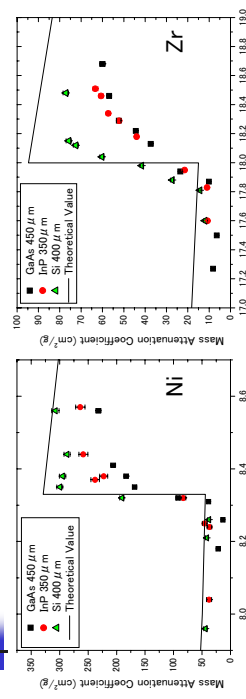
オフ角  $1.42^\circ$

## 結晶基板の模式図



31

## PXRによる標的結晶の評価



標的結晶によってPXRのエネルギー広がりの大きさが異なる

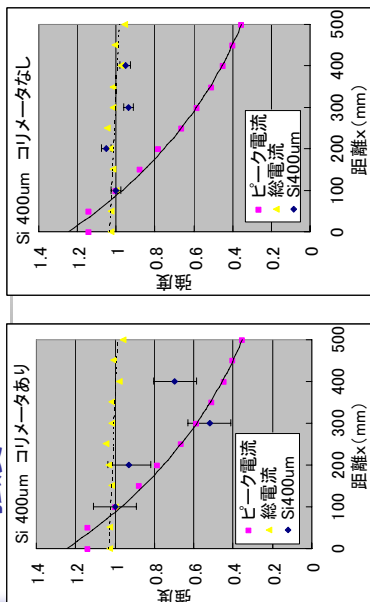
結晶性の評価がPXRで行える

32

- ## 結言(2)
- K吸収端での質量減衰係数の変化に幅が見られる
    - PXRのエネルギー拡がりが原因
  - 実験体系の幾何学的原因
  - 入射電子線の拡がり
  - 標的結晶の不完全性
  - 標的結晶の結晶性の評価

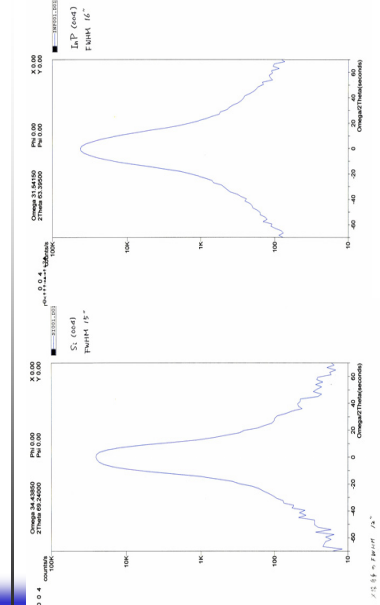
33

## PXR強度



34

## Si、InP(004)のロックキング曲線



35

## リニアックとPXRによる波長可変X線源の現状と展望

日本大学電子線利用研究施設(LEBRA)

早川 恒史

2006年3月16日 シンポジウム「理想的なX線像とその活用」

1  
LEBRA

## 電子線利用研究施設 (LEBRA)

Laboratory for Electron Beam Research and Application  
Nihon University



S-band 電子線形加速器	125 MeV
最大エネルギー	100MeV(typ.)
マクロパルスビーム電流	100 mA
マクロパルス幅	$\leq 20 \mu\text{s}$
繰り返し	12.5 Hz
最大平均電流	25 $\mu\text{A}$
$\Delta E/E$	$\sim 1\%$
規格化ミッタンス	$\sim 15\pi \text{ mm mrad}^{-2}$
	LEBRA

## LEBRA放射光計画

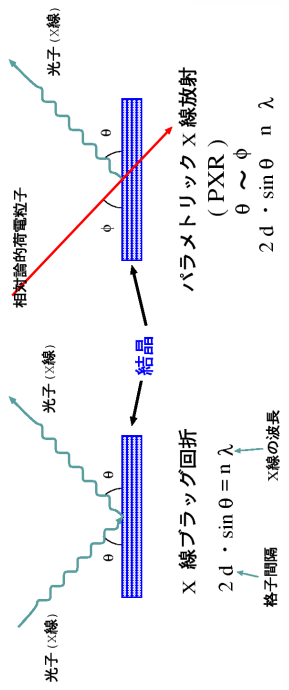
### 波長可変単色光源の開発

- > 可視～紫外自由電子レーザ (FEL)  
→ アンジュレータ磁場劣化、短波長FELの難しさ
- > 近赤外FELに変更
- > アンジュレータ放射光・FEL高調波  
近赤外～可視光(3次、5次高調波)

波長可変単色X線源の要望が強い  
(電子エネルギーの制約でアンジュレータ等では実現が困難)

3  
LEBRA

## パラメトリックX線放射 (PXR)



### パラメトリックX線放射 (PXR)

数10～100MeV程度の電子でX線の発生が可能  
結晶の回転により波長を連続的に変えられる

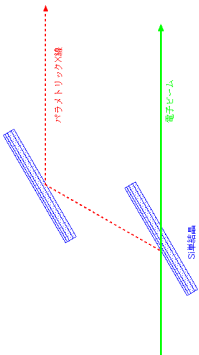
4  
LEBRA

## X線源としてのPXRの特色

- △ 電子エネルギー数10～100MeV程度で  
波長可変単色X線が得られる
  - △ 電子ビームがターゲット結晶により劣化  
ビームの再利用には制約(ビーム使い捨て)
- 中規模電子リニアック向きの放射源
- △ X線のエネルギー(波長)に応じて放出方向が変わる  
波長可変X線源としては何らかの工夫が必要

5  
*LEBRA*

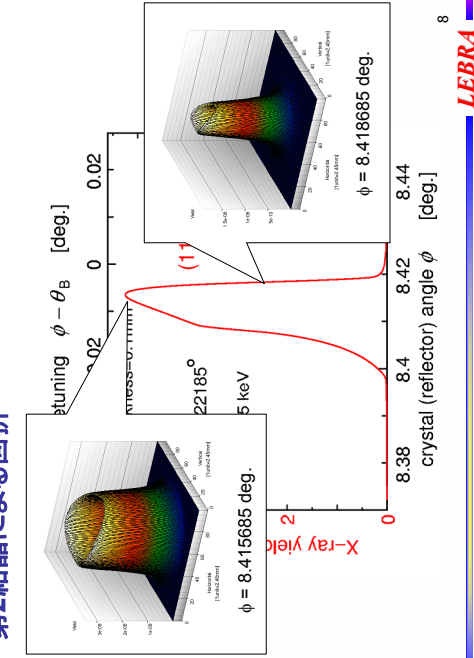
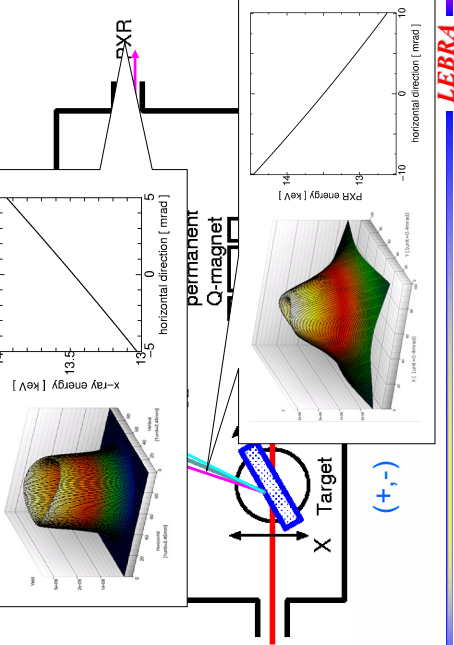
## 完全結晶を用いたPXRの輸送



- △ 基礎実験で確認されたPXRの特性(強度分布、エネルギー分布)は運動学的回折理論と良く一致
- △ 完全結晶によるX線動力学的回折理論は確立されている  
→ これらの組み合わせによる光線追跡計算で検討

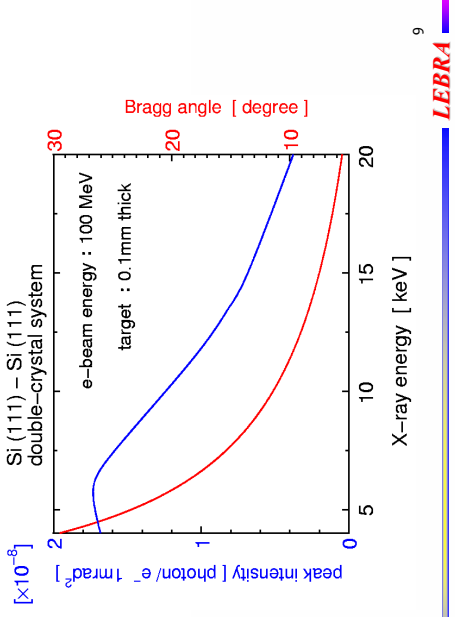
6  
*LEBRA*

## 2結晶による回折

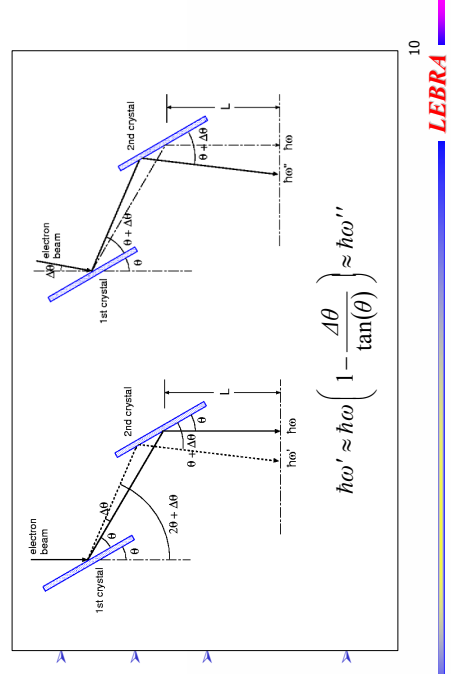


7  
*LEBRA*

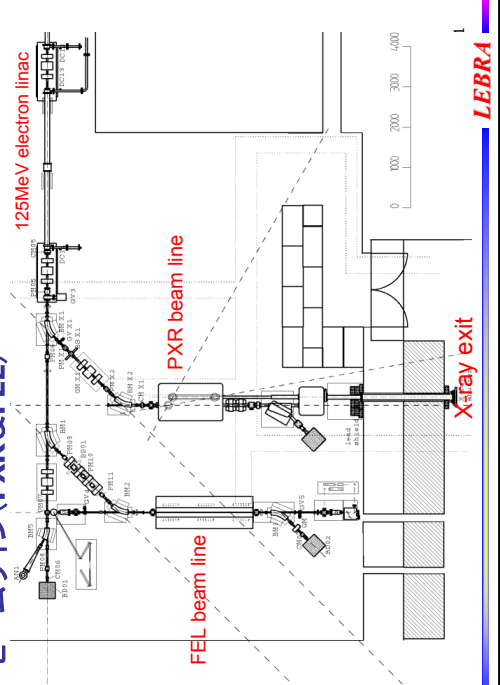
## 2結晶システムのエネルギー可変性



## 2結晶システムの利点



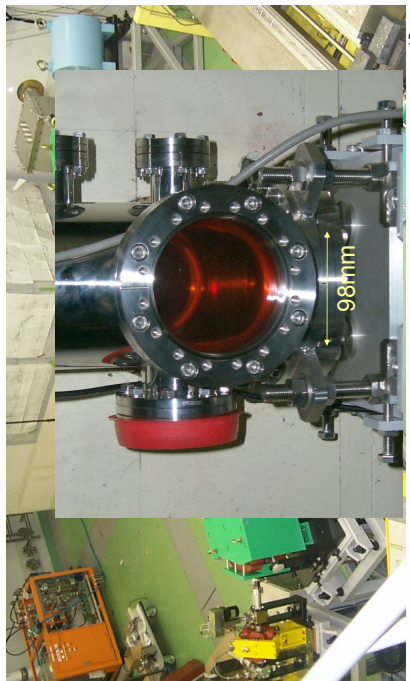
## ビームライン(PXR & FEL)



## PXR発生装置の内部



## PXRビームライン&X線取り出しポート



LEBRA

13

## PXR発生装置のスペック

### ゴニオメータ

axis	range	resolution
$\theta_z$ (回転)	+5.5 ~ +35 deg.	11.6 μrad
$\theta_x$ (スイベル)	-10 ~ +10 deg.	52.4 μrad
$\theta_y$ (スイベル)	-10 ~ +10 deg.	35 μrad
Y(並進)	-10 ~ +1030 mm	5 μm

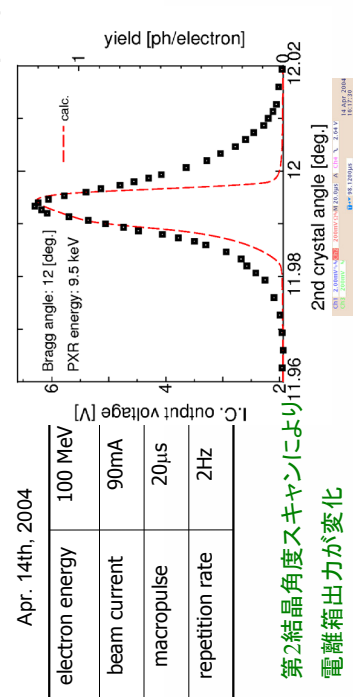
### PXRエネルギー範囲

Si (111)	3.95 ~ 20.6 keV
Si (220)	6.46 ~ 33.6 keV

LEBRA

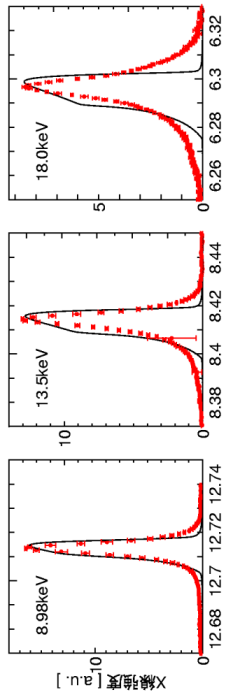
14

## PXRビーム初観測



第2結晶角度スキャンにより  
電離箱出力が変化

## 第2結晶角度への依存性



高エネルギーになるに従って角度幅が広くなる傾向  
理論計算(光線追跡)の結果と整合

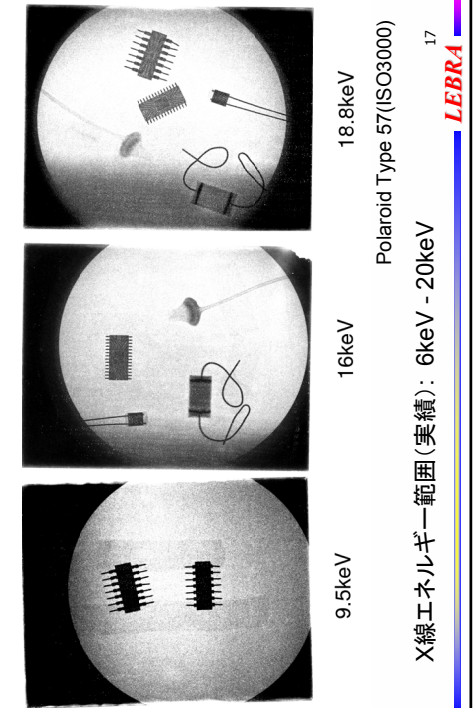
LEBRA

15

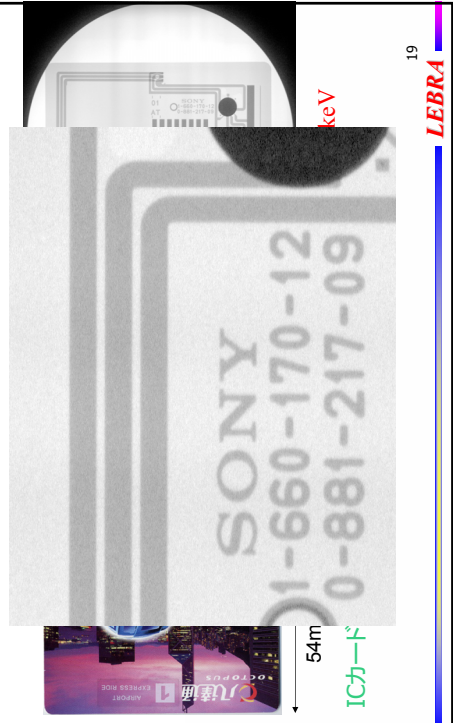
LEBRA

16

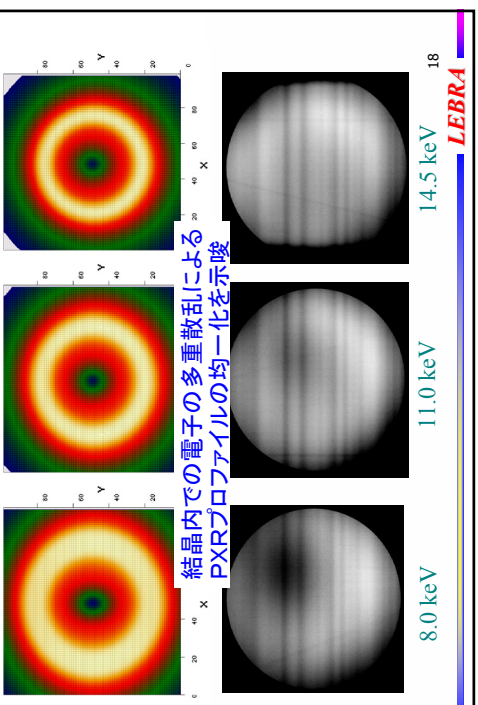
### PXRによるX線透過像



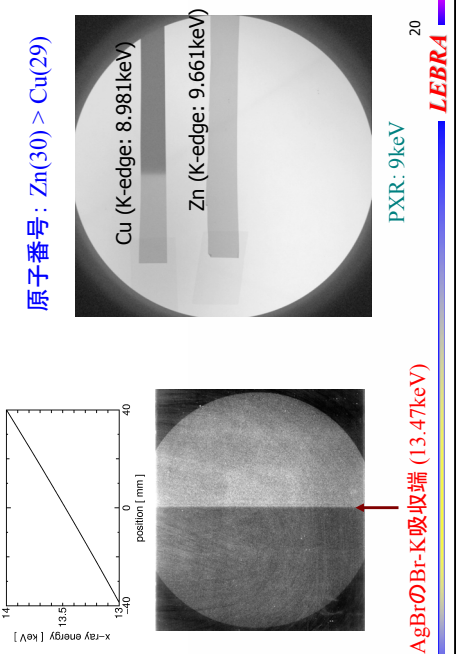
### イメージシングレート(IP)による撮像



### PXRビームプロファイル

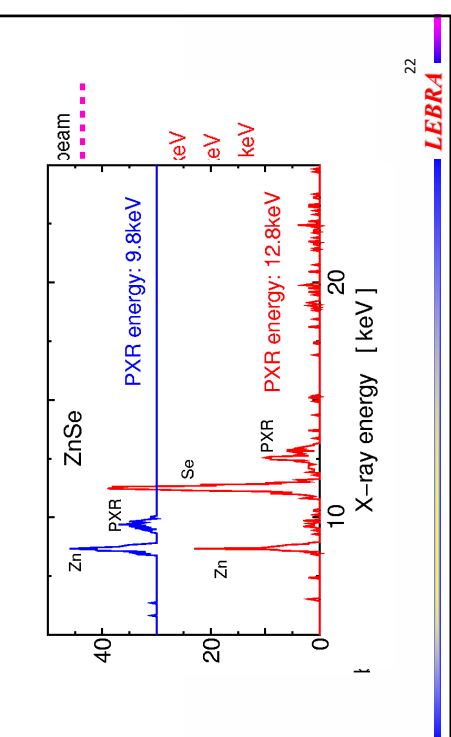


### K吸収端によるコントラスト

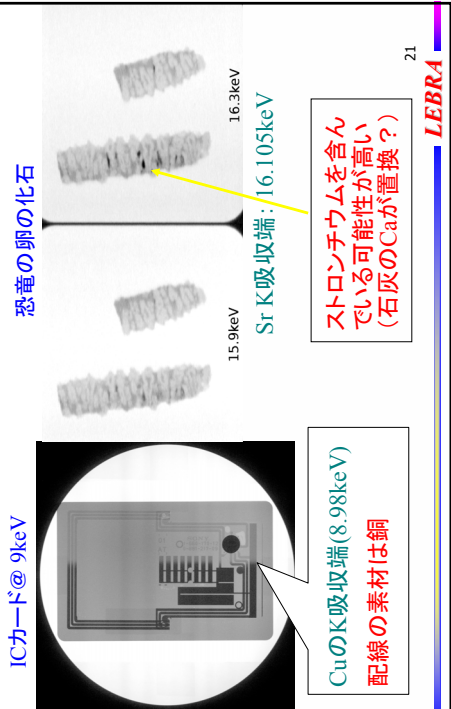


原子番号: Zn(30) > Cu(29)

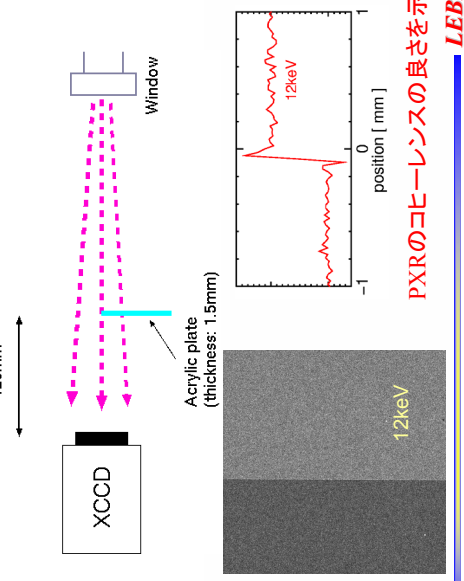
### 蛍光X線測定



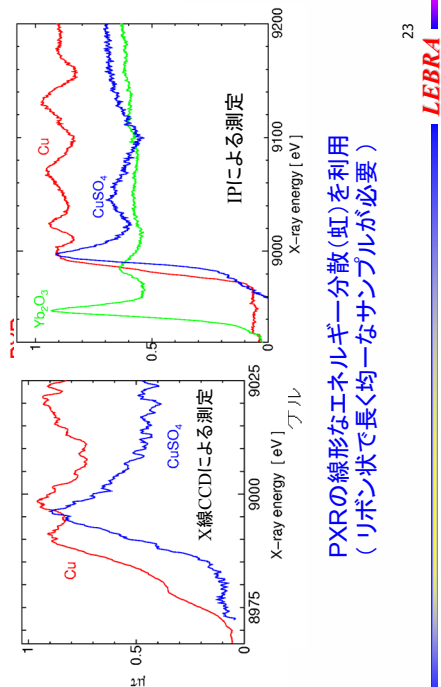
### エネルギー可変性の応用



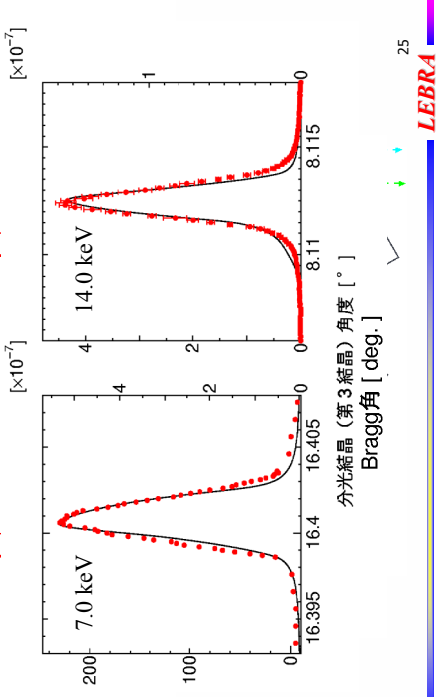
### 位相コントラストイメージング①(屈折エッジ強調)



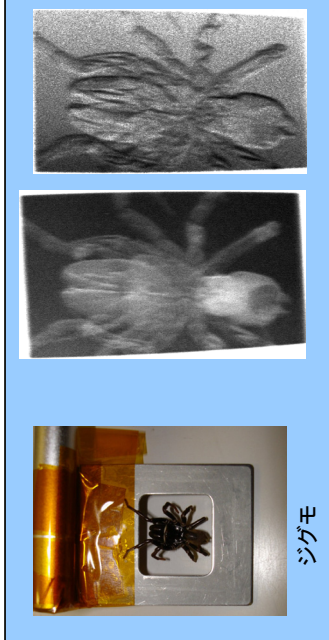
### エネルギー分散型XAFS測定



### PXR結晶回折特性



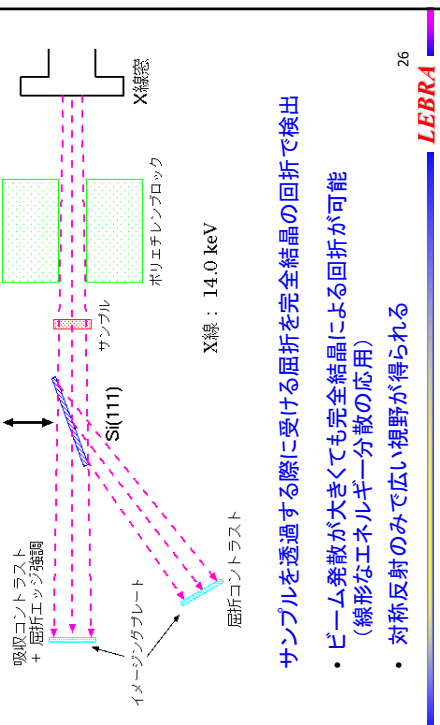
### 位相コントラストイメージング②(ラッピング反射型)



僅かな密度差が検出可能  
分光結晶角度による位相の反転を確認（暗視野）

27  
LEBRA

### 位相コントラストイメージング②(ラッピング反射型)



サンプルを透過する際に受けける屈折を完全結晶の回折で検出

- ビーム発散が大きくても完全結晶による回折が可能  
(線形なエネルギー分散の応用)
- 対称反射のみで広い視野が得られる

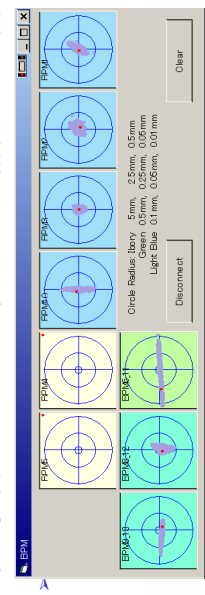
26  
LEBRA

### 電子ビームによる結晶破壊



## 種々の不安定性

X線の強度-エネルギーの変動は測定精度にとって問題



△ ターボゲット結晶に起因する不安定性

△ 結晶ホルダー冷却水配管(チューブ)の振動

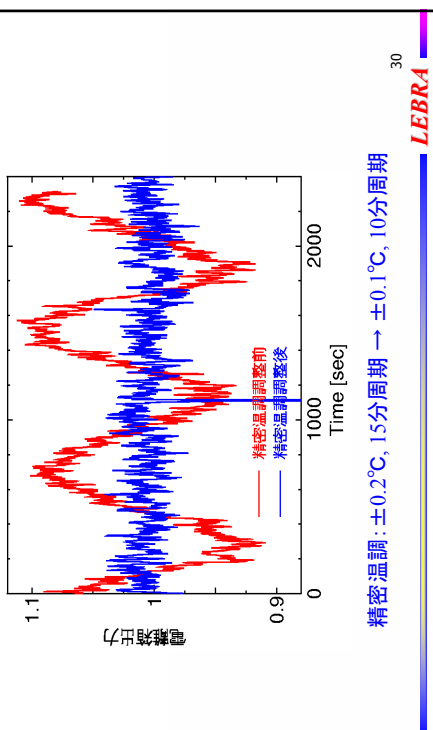
△ 冷却水精密温調の精度不足

△ 調整により改善

29  
LEBRA

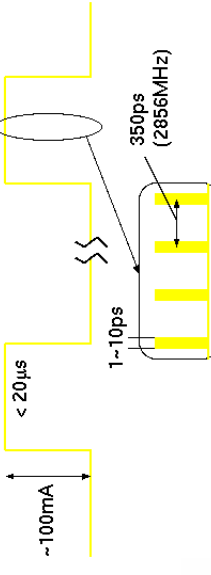
## 冷却水の温度変動による不安定性

第3結晶で反射したX線強度@14keV



30  
LEBRA

## パルス性とビームデューティ



△ 現在の運転パラメータ(typ.)

100MeV, 120mA, 10μs, 2Hz (平均電流: 2.4μA)  
(最大平均電流: 5.0μA)

△ X線の積分強度は平均電流で制約

→ パルス性を活用した測定

31  
LEBRA

## 現状のまとめ

- △ 100MeVクラスの電子ニニアックと完全結晶2結晶システムの組み合わせによるPXR線源開発に成功
- △ エネルギー(波長)可変性、指向性、ビームプロファイルの均一性を確認 → イメージングに適したビーム
- △ リニアなエネルギー分散(虹)を維持したままX線ビームが輸送される → エネルギー分散型XAFS

- △ 優れた空間コヒーレンス
- 位相コントラストイメージング  
(エッジ強調、屈折コントラスト法)
- △ 更なる安定化が必要(電子ビーム軌道、ターゲット周り)

32  
LEBRA

## 今後の展望(基礎研究)

- XAFSへの応用の高さ  $e_{beam}$
- e beam
- PXR
- エネルギー: 低速
- プリマリト SSD
- 並進
- 測定時間が掛かる  
• マルチセル化で効率
- 小さい  
• イメージングデバイス、- 求は厳しい

33  
**LEBRA**

## 今後の展望(産業応用)

- 加速器技術としてはHigh dutyのリニアックは可能 (LEBRA-PXRの平均電流は現状: 2~5 $\mu$ A)
- Xバンド, Cバンドによる加速器の小型化
- 超伝導キャビティ、エネルギー回収による省電力化・バックグラウンド放射線低減
- 結晶冷却(タービネットの回転など)等の実現により産業応用は十分可能
- 並行して、PXR(パルス線源)向きの高感度検出器の開発
- 現状: DC的な線源を前提とした photon counting / 積分計測手法  
→ 測定効率向上の制約

34  
**LEBRA**

## 今後の展望(産業応用)

### 応用

- 高度な非破壊検査(元素同定可能)
- 超微細X線プロセス (エネルギー選択性・単色性による高精度化)
- 低線量医療診断(吸収端、位相コントラストの利用)
  - アンギオグラフィー
  - マンモグラフィー
  - ガン治療などの医療照射
- DDS(ドラッグデリバリー・システム)との組み合わせ

35  
**LEBRA**

## 謝辞

- 文部科学省「学術フロンティア推進事業」  
2000-2004; (継続) 2005 ~
- 科研費 (15760039, 17760058, 17560046)
- 日本大学学術助成金総合研究  
「パラメトリックX線を用いた生体硬組織・生体材料の評価システムとその応用」(2004 ~ 2005)

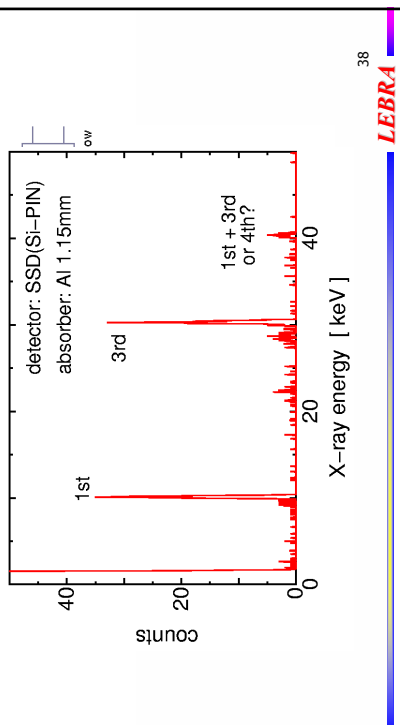
完

36  
**LEBRA**

## Appendix

### Energy spectrum by SSD

measurement time: 2000s



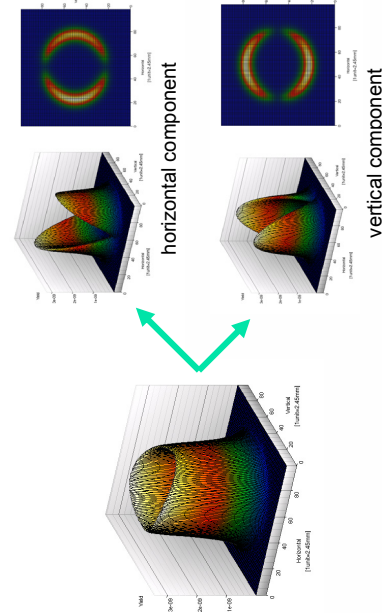
### Estimation of photon rate

Transmittance  
Al 1.15mm:  $3.32 \times 10^{-4}$ @10keV,  $0.723$ @30keV  
Air 180cm:  $0.348$ @10keV,  $0.932$ @30keV

SSD efficiency:  $0.85$ @10keV,  $0.09$ @30keV

counting rate@10keV  
 $> 232 \text{ counts}/(4026 \text{ shots} \times 3.32 \times 10^{-4} \times 0.348 \times 0.85)$   
 $= 590 \text{ counts}/\text{shot} = 84 \text{ counts}/\text{shot mm}^2$   
@30keV(3rd harmonics)  
 $> 216 \text{ counts}/(4026 \text{ shots} \times 0.723 \times 0.932 \times 0.09)$   
 $= 0.88 \text{ counts}/\text{shot} = 0.13 \text{ counts}/\text{shot mm}^2$

### Polarization of X-ray beam



## Formula of PXR yield

$$\frac{dN}{d\Omega} = \frac{e^2 n \omega L |\chi_g(\omega)|^2}{2\pi \hbar \varepsilon_0^3 v (c^* - \mathbf{v} \cdot \mathbf{\Omega})} \cdot \frac{\left| \frac{\omega}{c^*} \mathbf{\Omega} \times \left( \frac{\omega}{c^*} \mathbf{v} + \mathbf{g} \right) \right|^2}{\left\{ \left| \frac{\omega}{c^*} \mathbf{\Omega}_\perp - \mathbf{g}_\perp \right|^2 + \frac{\omega^2}{v^2} [\gamma^{-2} + \frac{v^2}{c^2} (1 - \varepsilon_0)] \right\}^2}$$

$\mathbf{g}$ : reciprocal lattice vector of the crystal

$\mathbf{v}$ : electron velocity

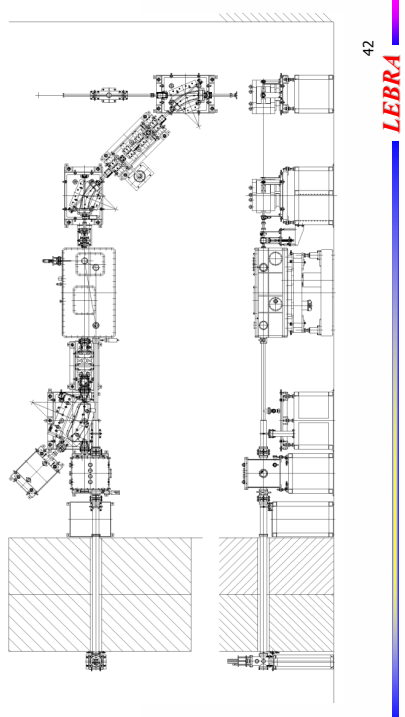
$\Omega$ : direction of photon emission

$L$ : crystal thickness

$\omega$ : angular frequency of photon

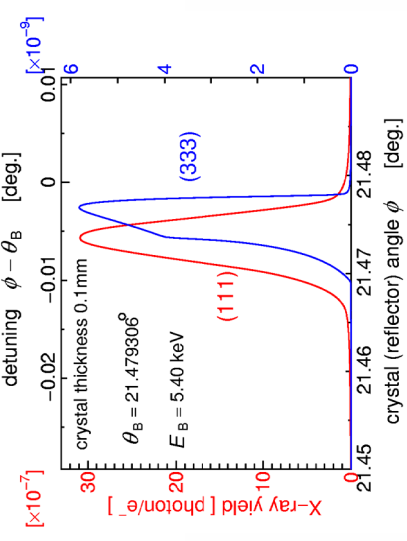
41  
**LEBRA**

## Beam line for PXR generator



42  
**LEBRA**

## Filtering effect for higher harmonics



43  
**LEBRA**

2006.03.16 日本大学理工学部13号館  
平成17年度学術フロンティア推進事業  
“可変波長高輝度単色光源の高度利用に関する研究”

## 屈折原理による2D, 3DX線画像の開発 —放射光利用臨床・病理学診断の試み—

**Development of 2D and 3D X-Ray Image  
due to Refraction  
and  
Attempt at Early Clinical & Pathological Diagnosis  
Using Synchrotron Radiation**

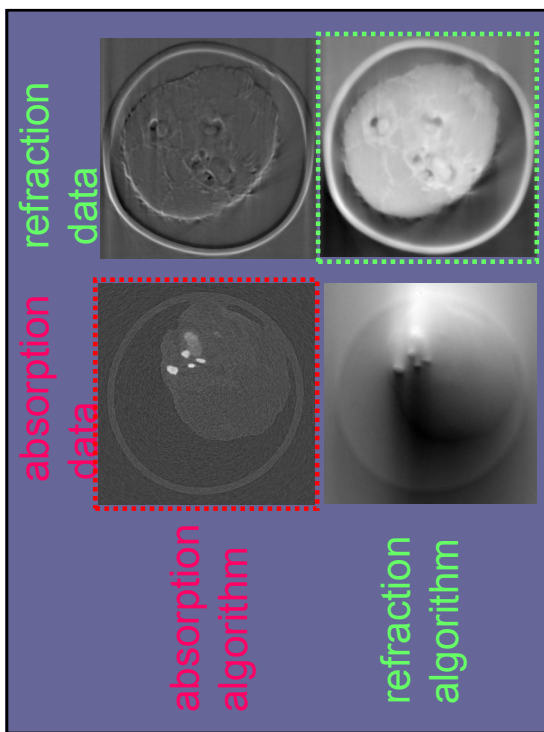
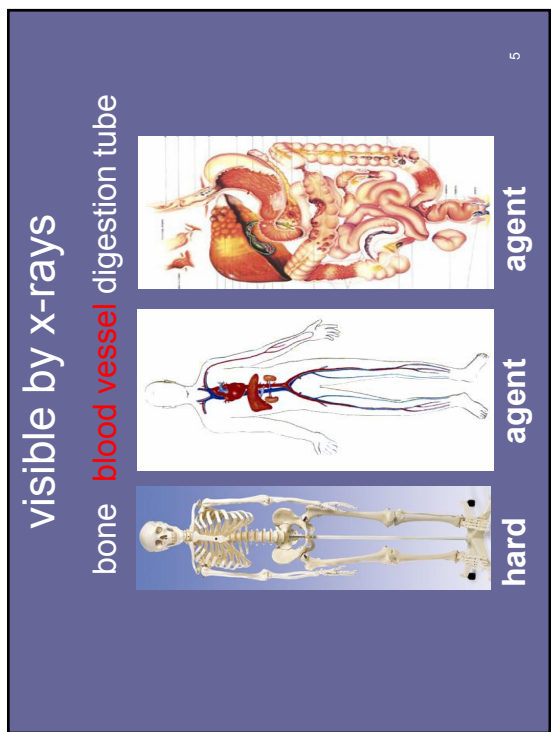
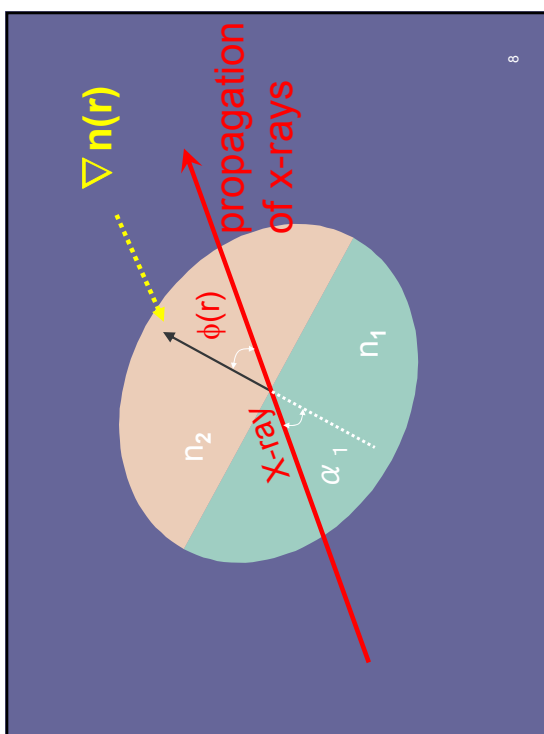
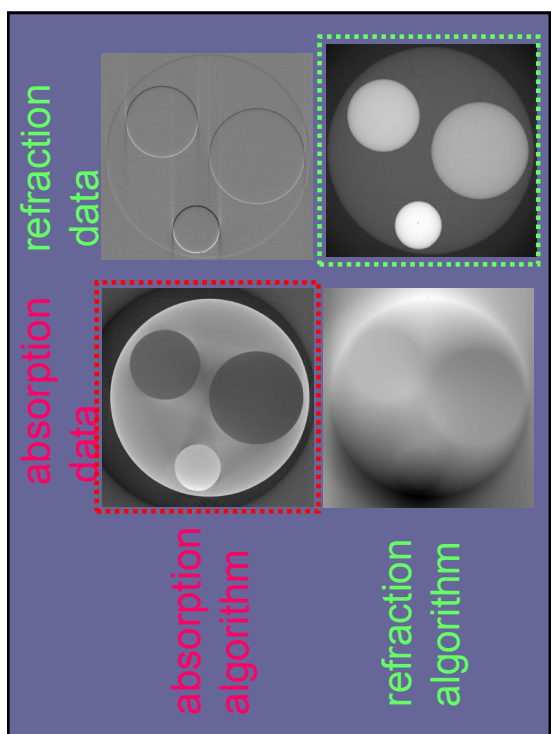
安藤正海  
*Ando Masami*

高エネルギー加速器研究機構  
**KEK: High Energy Accelerator  
Research Organization**  
総合研究大学院大学  
**Graduate University  
for Advanced Studies**

KEK  
杉山弘 Maksimenko Anton  
兵藤一行 橋本英子  
島雄大介 市原周 遠藤登喜子  
神戸大 山崎克人 大林千穂 木邨達郎  
山形大 湯浅哲也  
国立癌センター 江角浩安 坂東裕子  
筑波大 植野映 豊福不可依 德森謙二 東田善治  
九州大 近浦吉則  
九州工大 黎剛  
北京高能研 陳志華 潘琳 唐朝天  
中日友好病院 金鐘基 朴成煥  
大邱基督教大 錢相勲 李昌炫  
Seoul大

- 早期診断に使える?
- 早期診断に使えない?

- : X-ray:
- : Ultra-sound
- : MRI
- : PET
- : etc



## Refraction law

$$\left\{ \begin{array}{l} 0 = \int_S |\nabla \tilde{n}(\mathbf{r})| \cos \phi dr \\ \Delta \alpha = \int_S |\nabla \tilde{n}(\mathbf{r})| \sin \phi dr \end{array} \right.$$

**new**

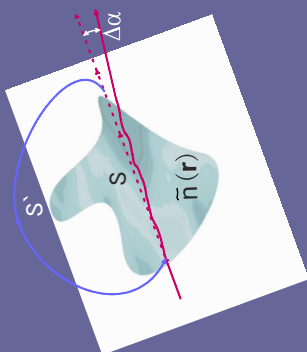
$\Delta \alpha$  refraction angle  
 $\nabla n$  gradient of electron density  
 $\phi$  angle between  $\nabla n$  and S

## Refraction law

The gradient  $|\nabla \tilde{n}(\mathbf{r})|$  is the potential field ( $\text{rot} \times \text{grad} \equiv 0$ ) therefore

$$0 = \int_{S+S'} |\nabla \tilde{n}(\mathbf{r})| \cos \phi dr = \int_S |\nabla \tilde{n}(\mathbf{r})| \cos \phi dr + \int_{S'} |\nabla \tilde{n}(\mathbf{r})| \cos \phi dr = \int_S |\nabla \tilde{n}(\mathbf{r})| \cos \phi dr = 0$$

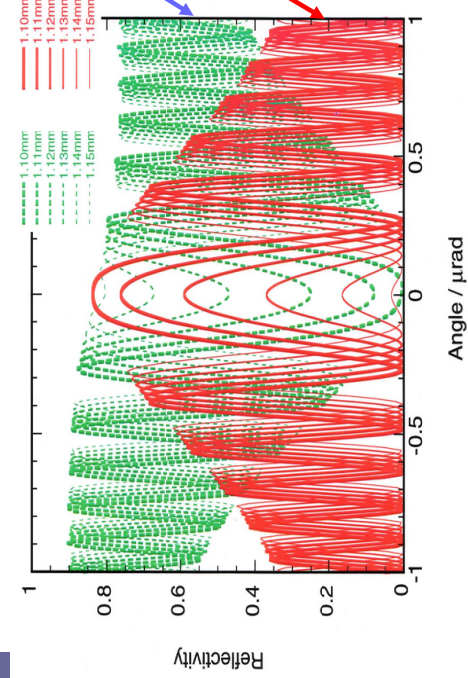
10



5keV~60keV x-ray n=1- $\delta$  n : refraction

energy(keV)	graphite	Al	Ca
5	1.9e-05	2.2e-05	1.3e-05
10	<b>4.7e-06</b>	<b>5.4e-06</b>	<b>3.2e-06</b>
15	2.1e-06	2.4e-06	1.4e-06
20	1.2e-06	1.4e-06	7.9e-07
25	7.5e-07	8.6e-07	5.1e-07
30	5.2e-07	6.0e-07	3.5e-07
35	<b>3.8e-07</b>	<b>4.4e-07</b>	<b>2.6e-07</b>
40	2.9e-07	3.4e-07	2.0e-07
45	2.3e-07	2.7e-07	1.6e-07
50	1.9e-07	2.2e-07	1.3e-07
55	1.6e-07	1.8e-07	1.0e-07
60	1.3e-07	1.5e-07	8.8e-08

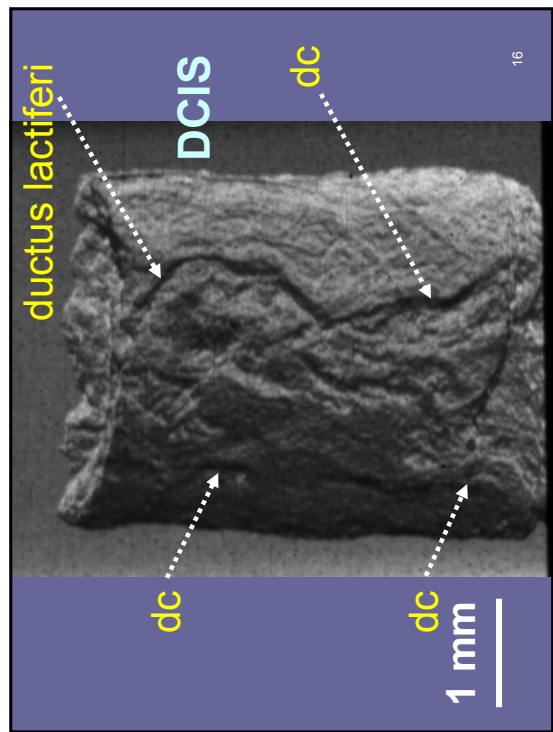
G and O profile on Si 440 Laue case at 35 keV



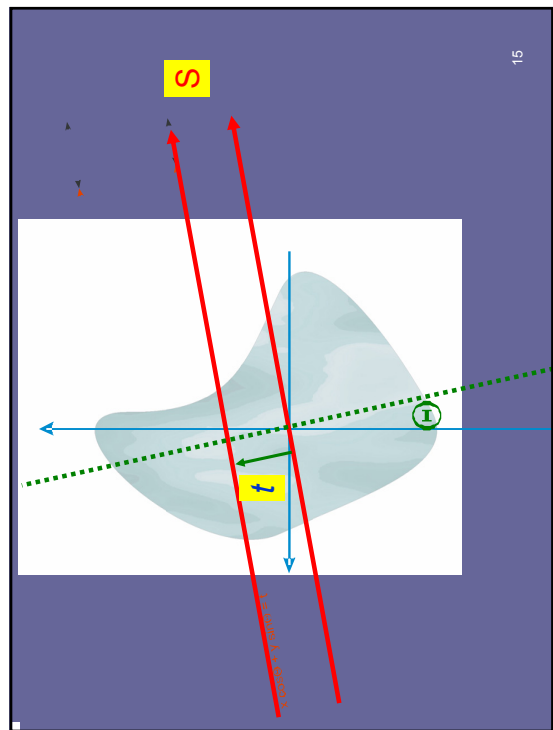
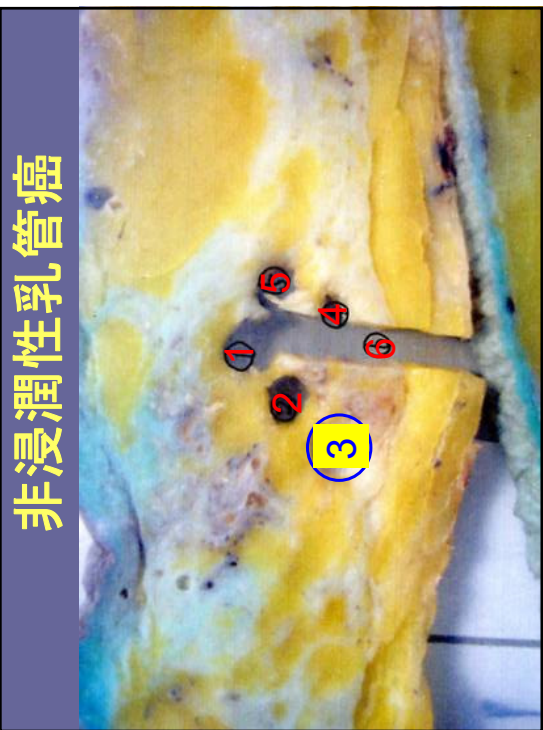
$$\Delta\alpha(\Theta, t)e^{i\Theta} = \int_S |\nabla \tilde{n}| e^{i\varphi} ds$$

$\Theta$  specimen rotation angle  
 $t$  beam position

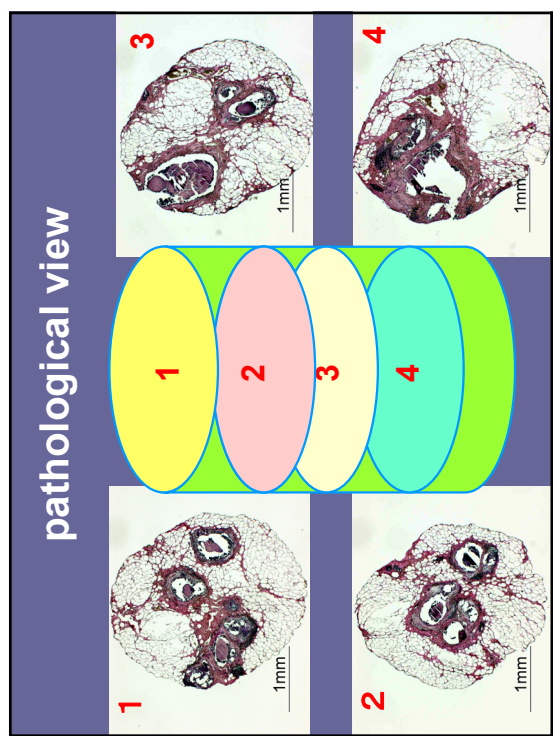
14



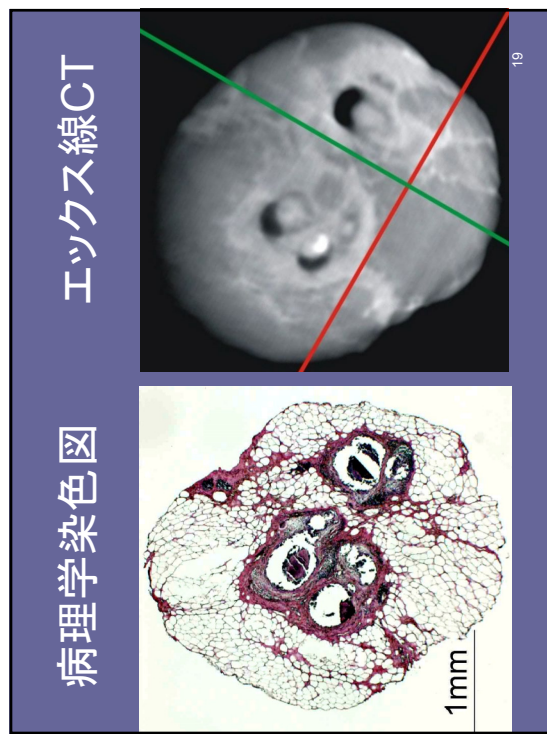
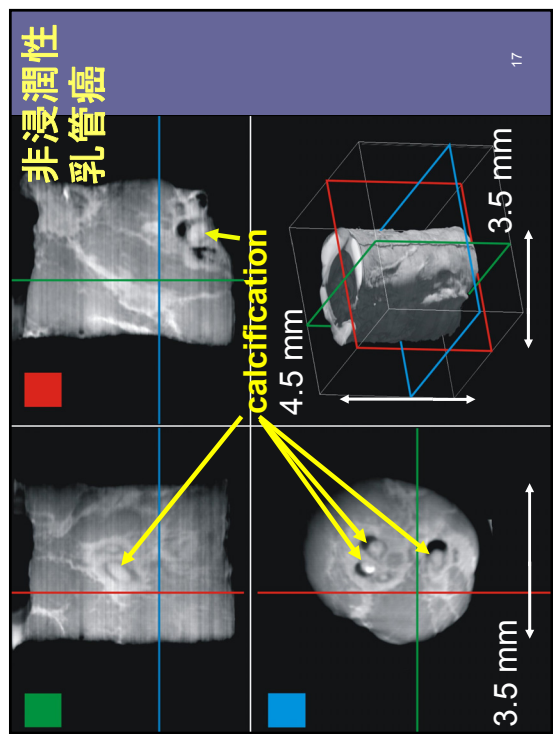
16

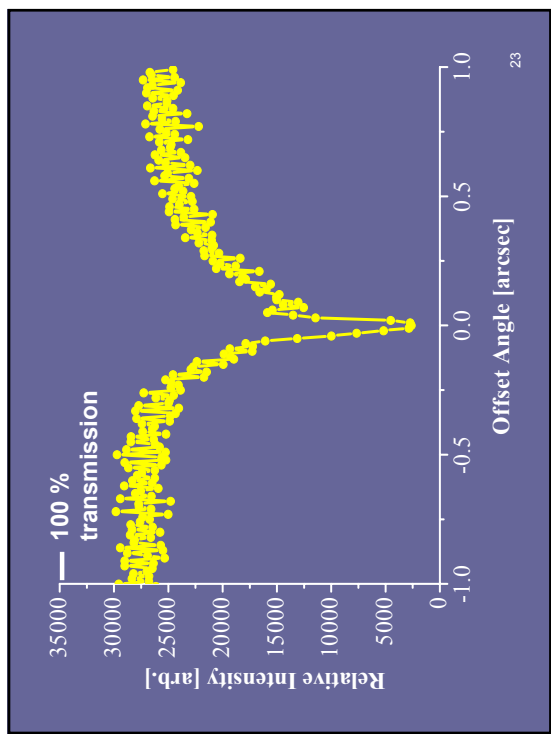
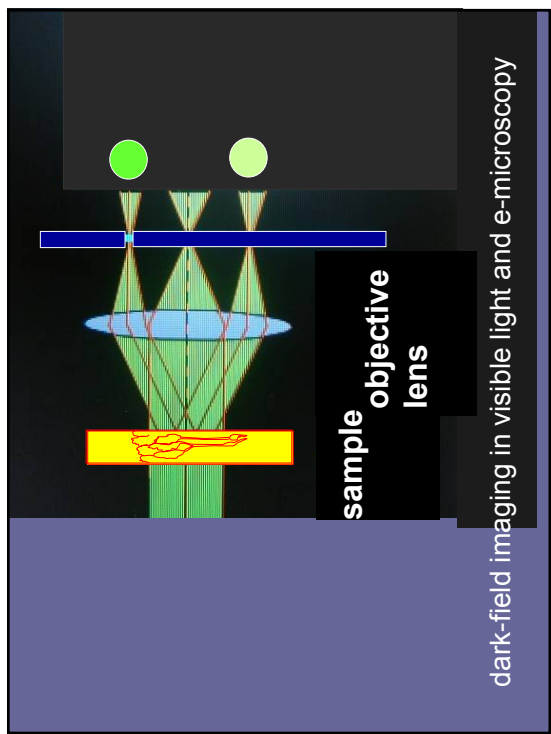
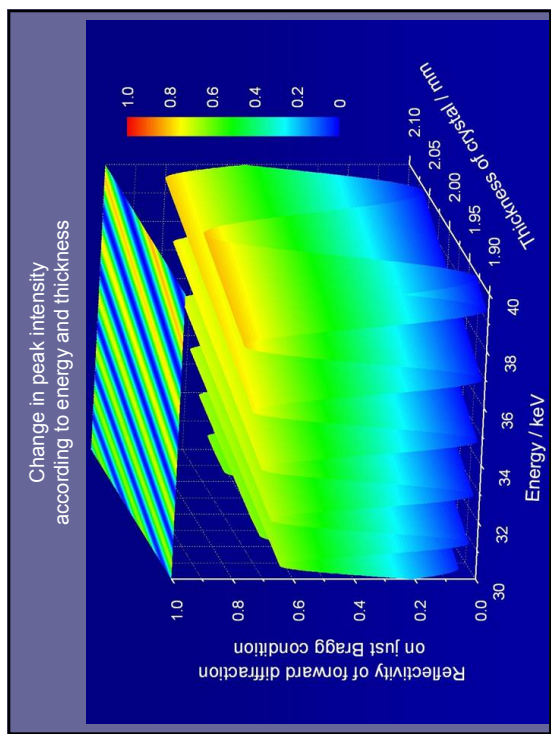
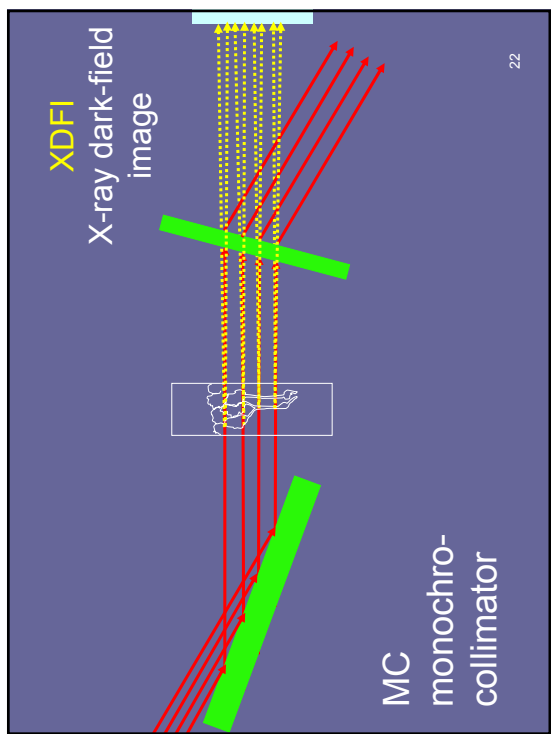


15

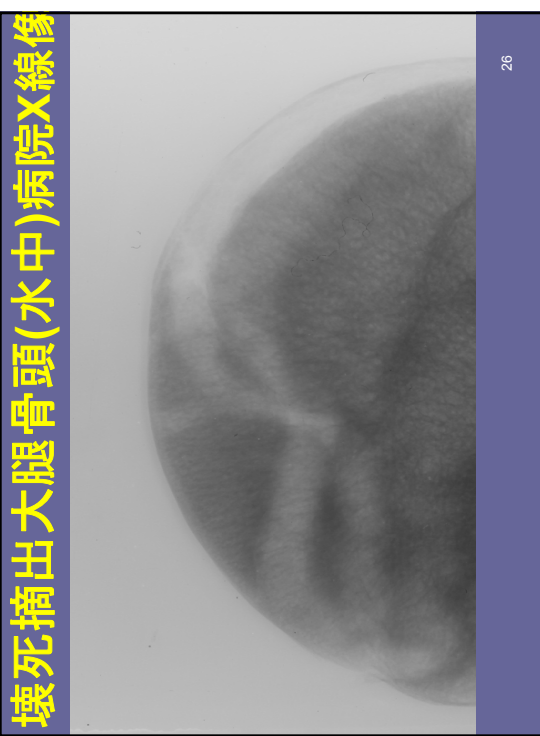


	2D	3D
Clinical	90 mm □	.....
Pathological	10 mm □	5 mm ●

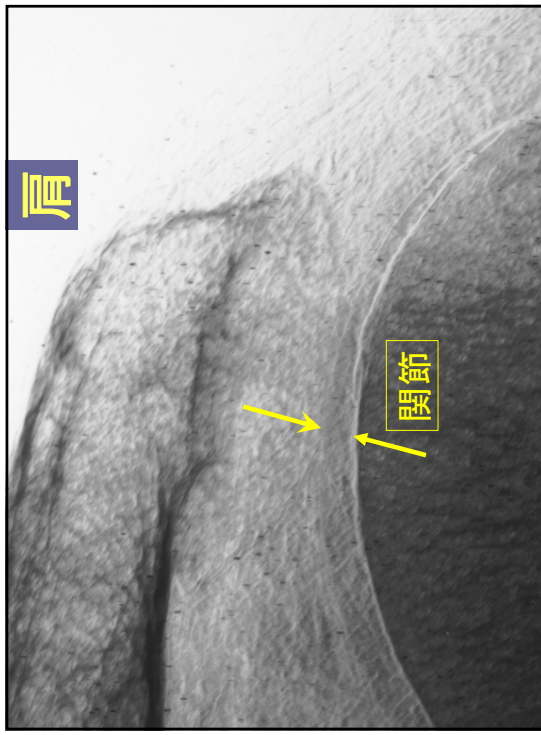
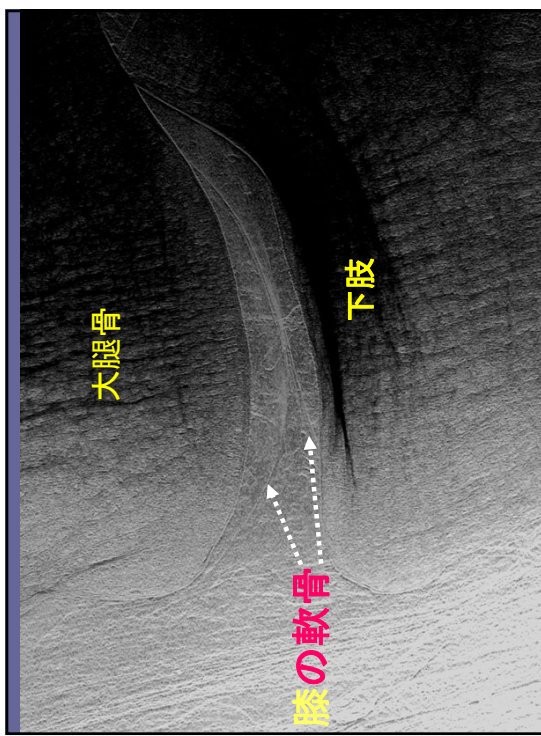
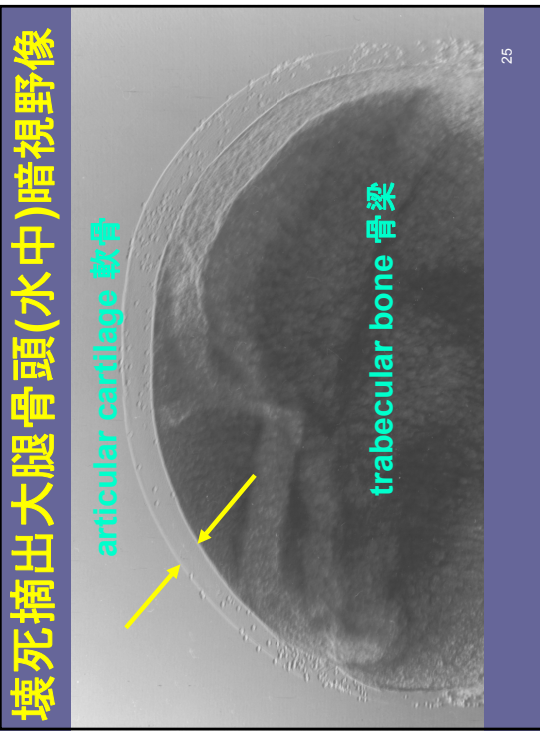


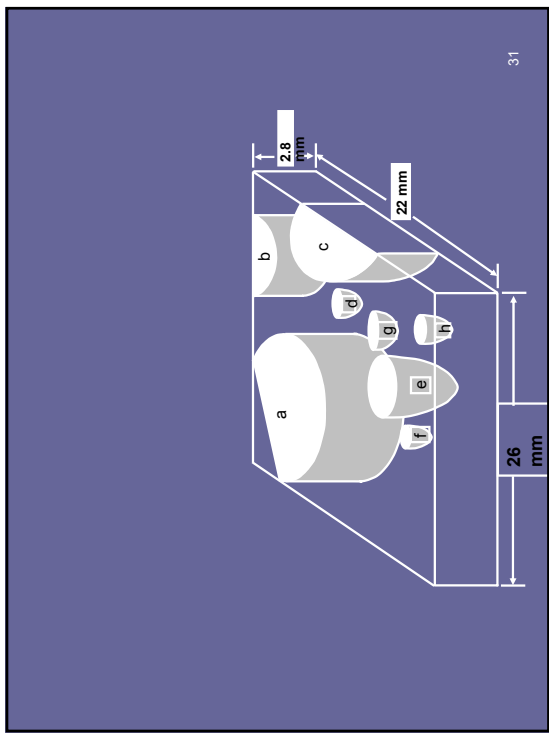
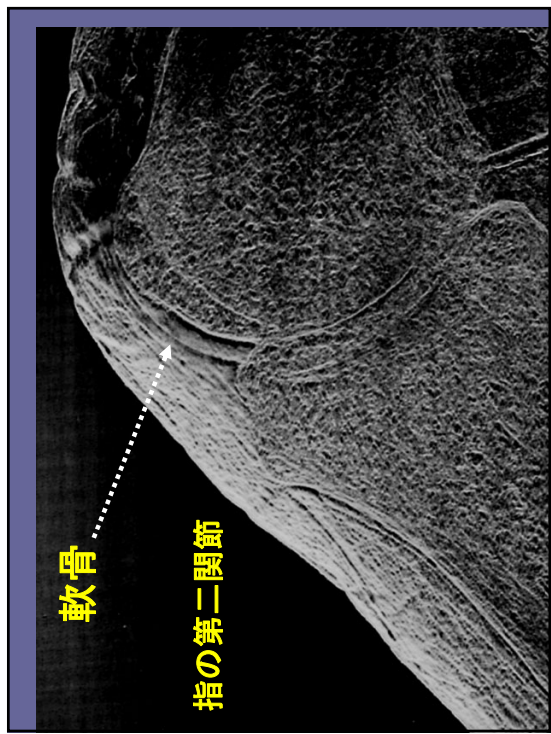
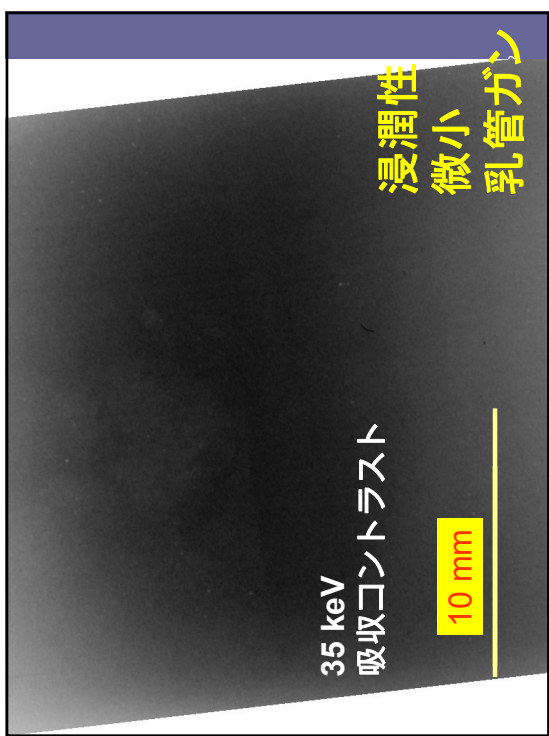
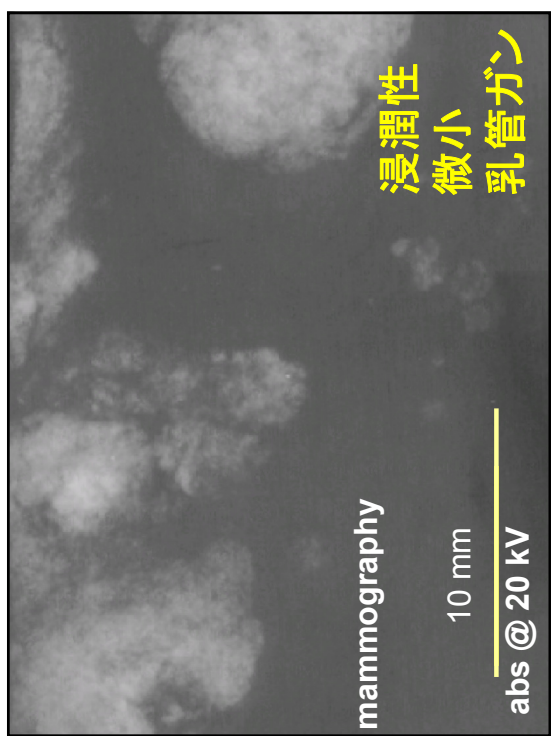


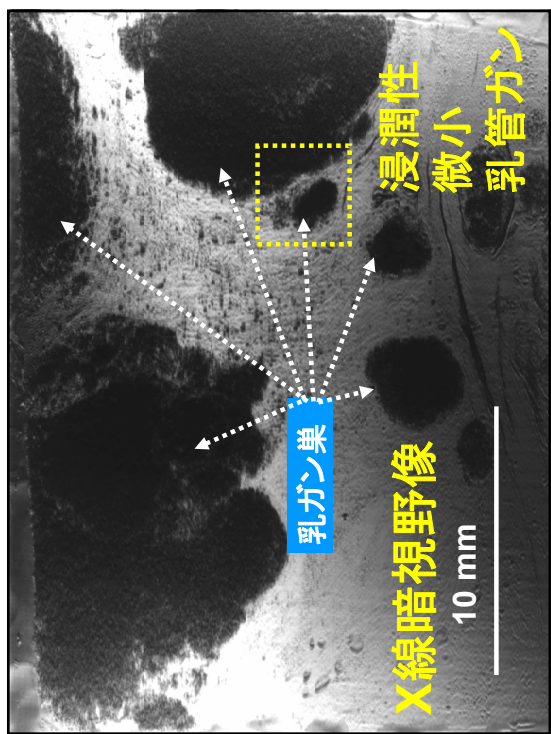
壞死摘出大腿骨頭(水中)病院X線像



壞死摘出大腿骨頭(水中)暗視野像

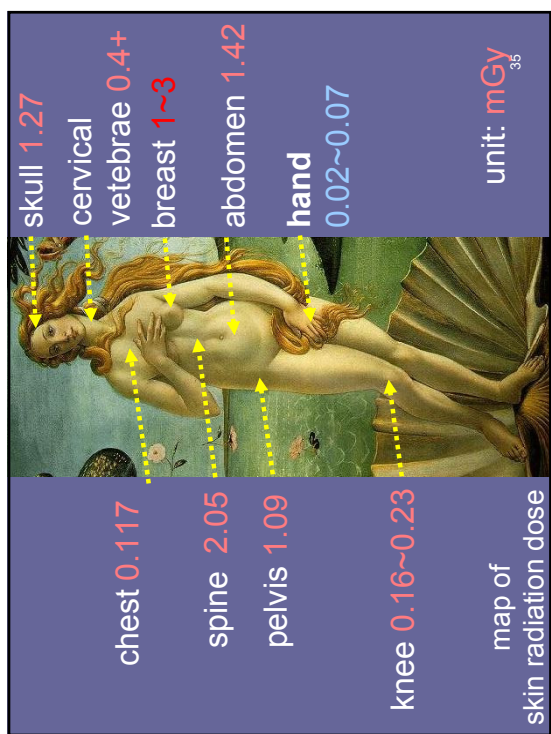
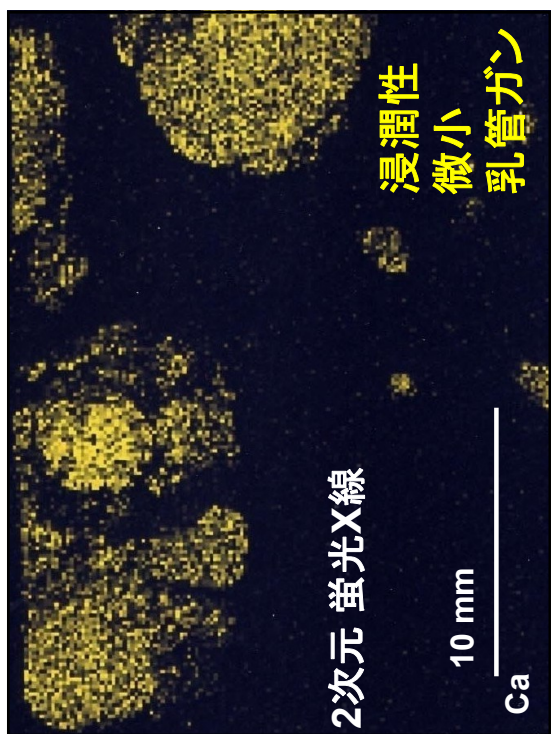


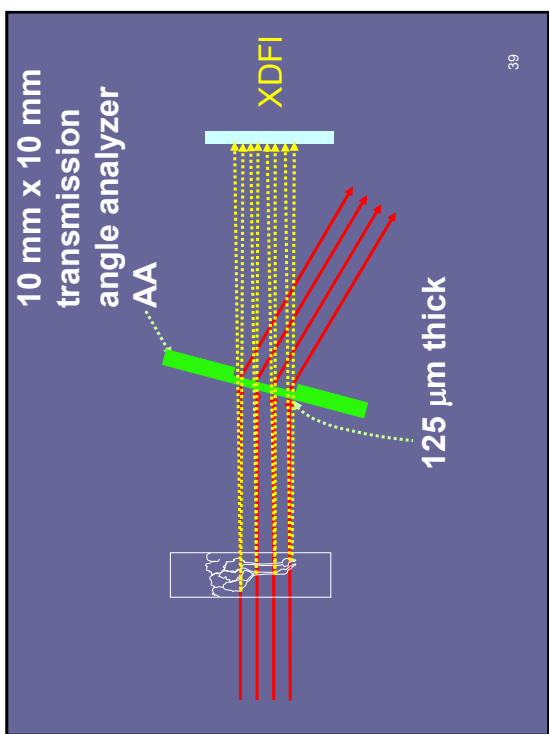
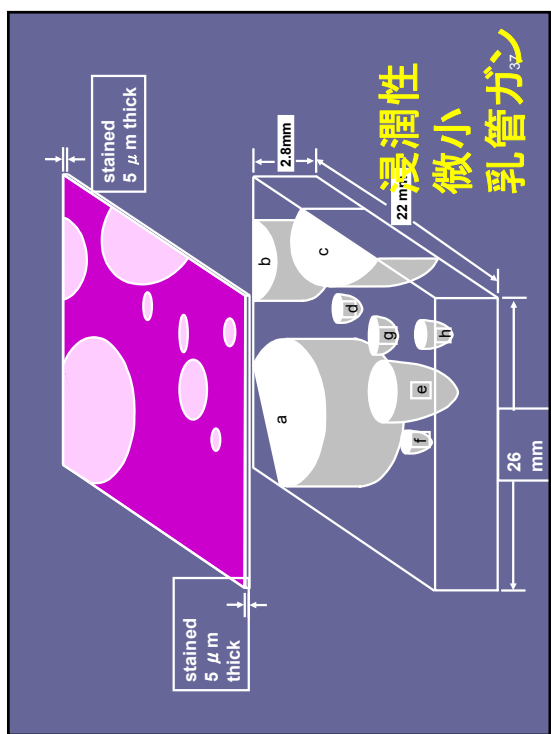
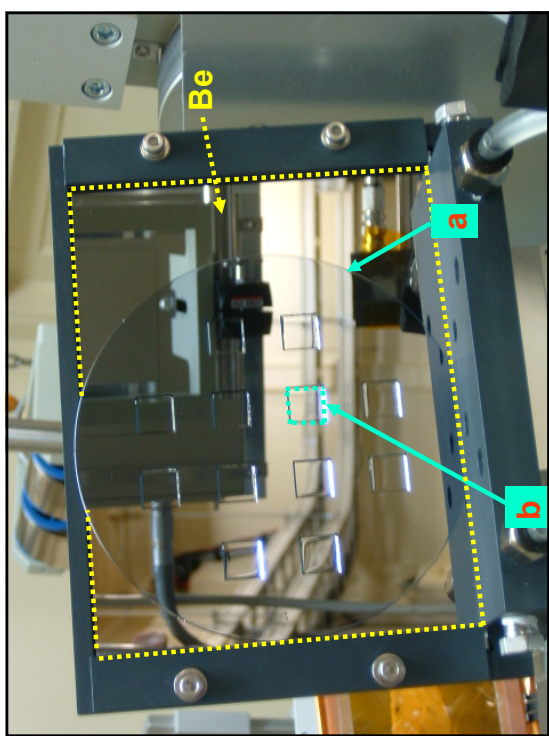
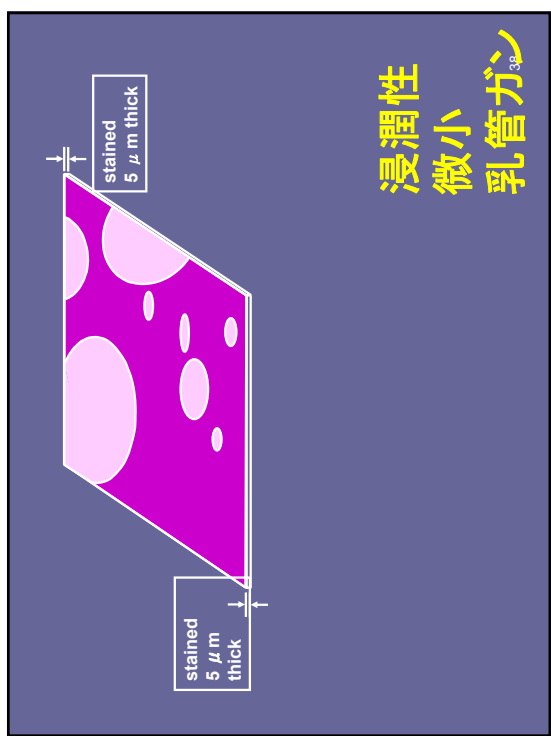


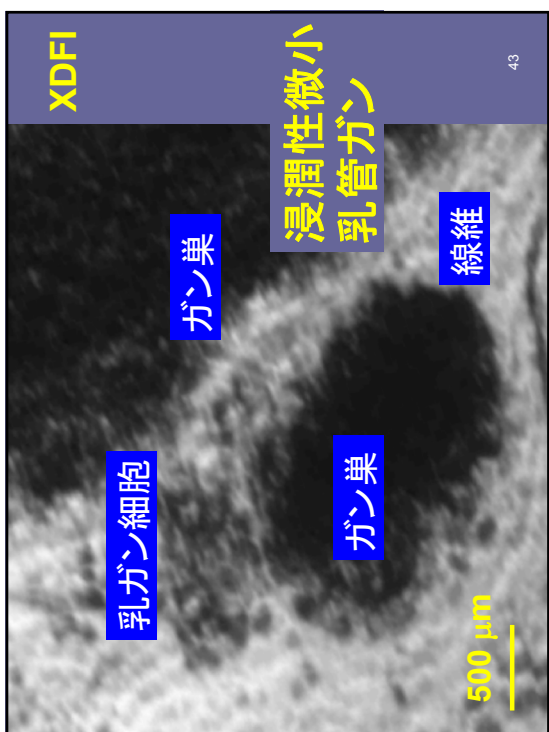
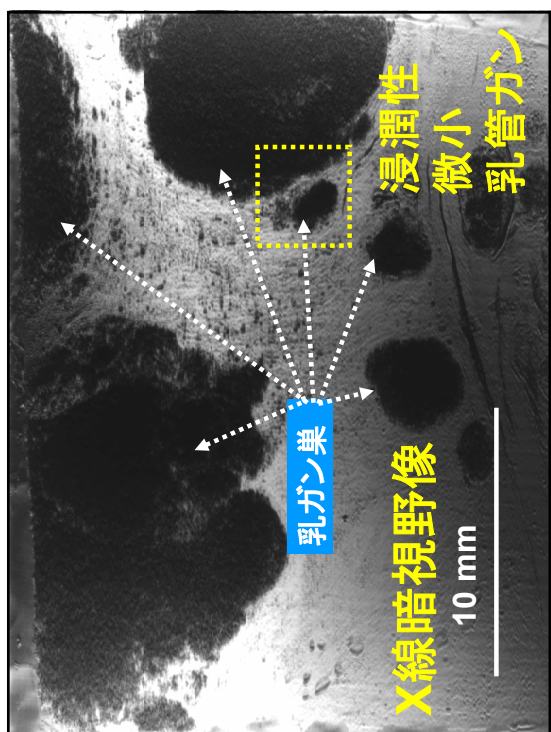
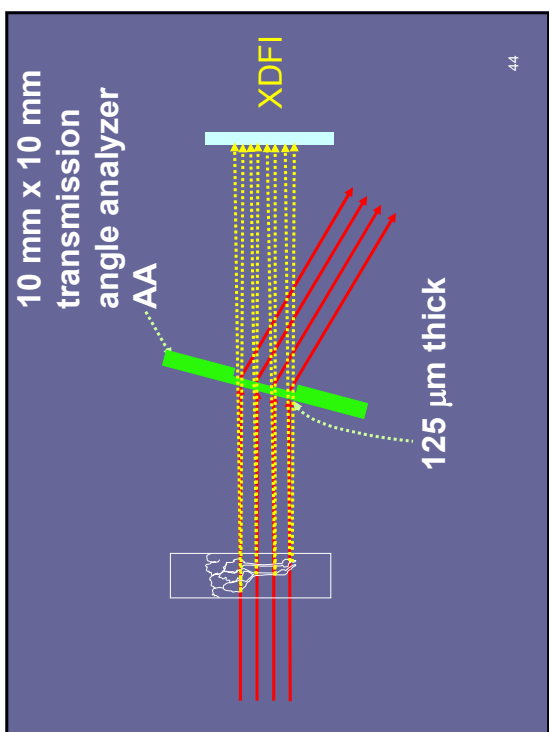
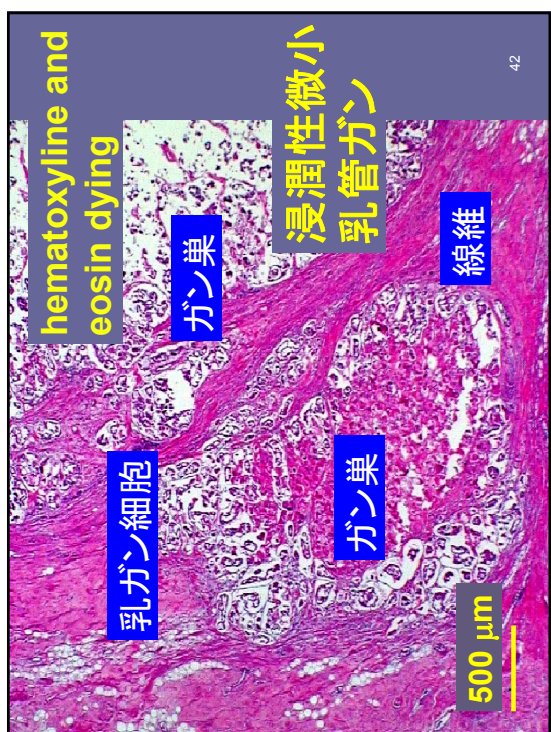


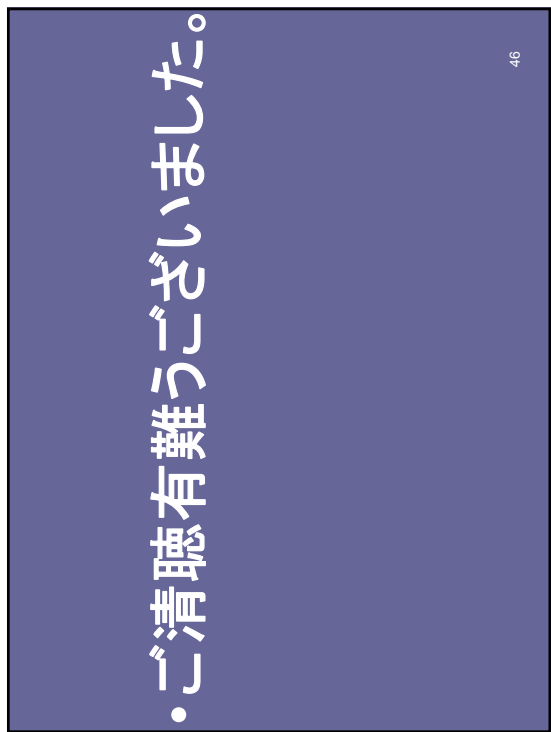
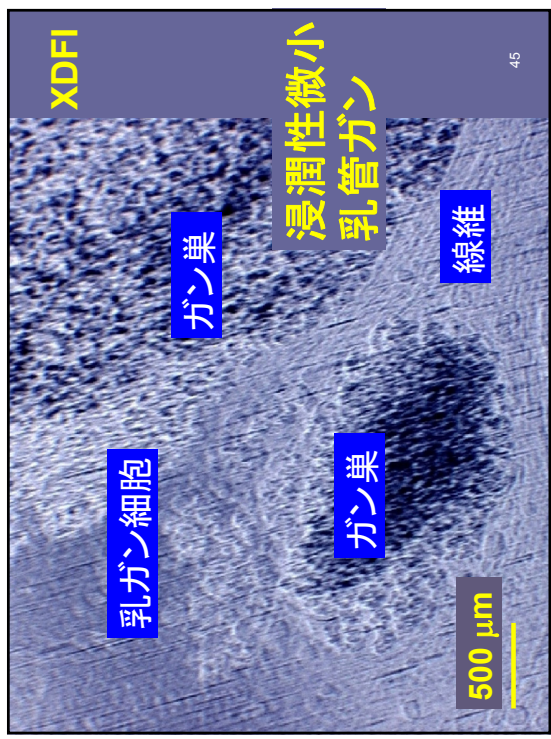
皮膚被曝線量	
	15 keV
乳房厚さ 4 cm	1-3 mGy
乳房厚さ 10 cm	$\infty$ mGy

乳房圧迫は不要？







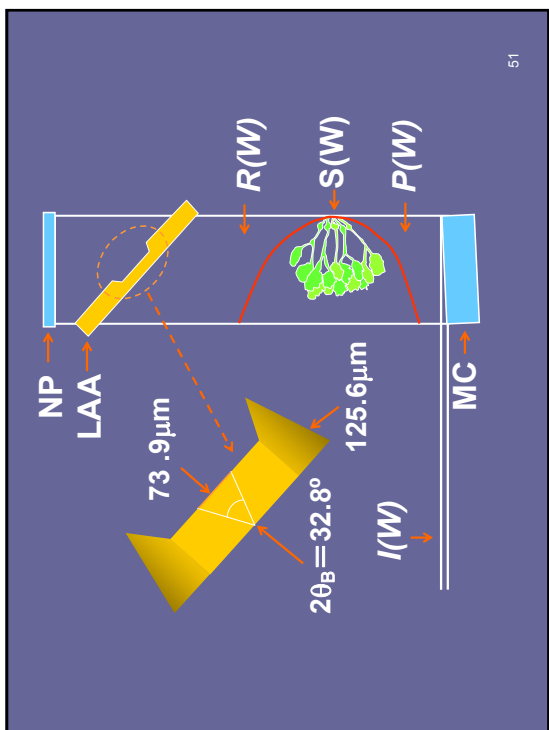
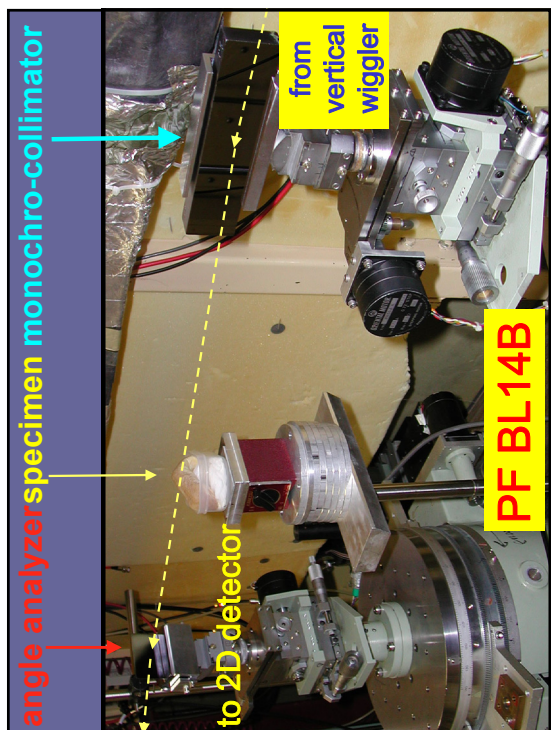
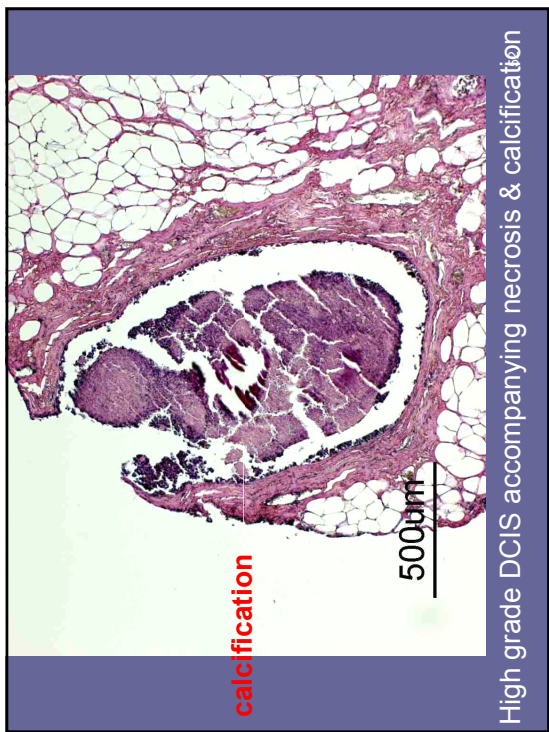
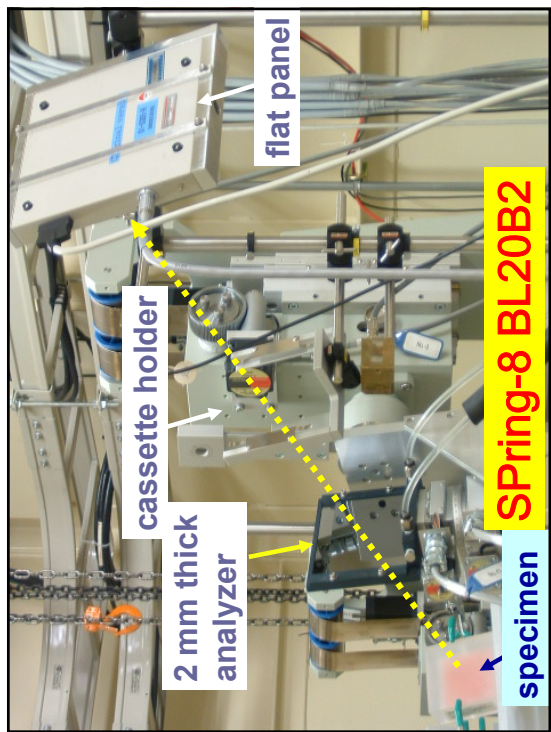


46

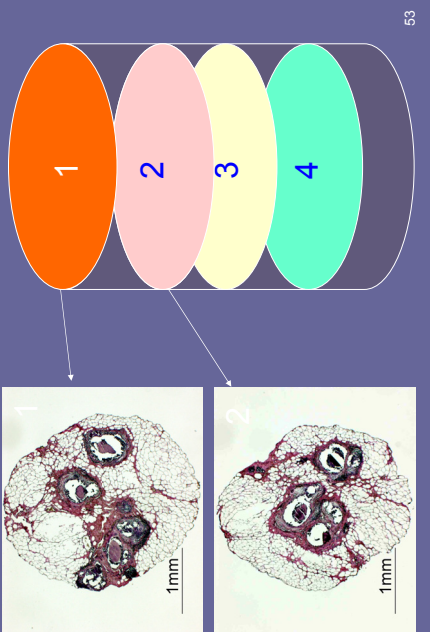
## Pathology and Refracted CT Correlation

- Pathological diagnosis was **high grade** ductal carcinoma *in situ* (DCIS) of the breast.
- The histological images agreed well with the X-ray refraction-based CT ones.
  - (1) Good correlation with histopathology
    - Not only calcification but also tumor tissue, duct wall and surrounding adipose tissue were clearly discernible.
  - (2) Visualization of the 3-D histological structure
    - Five ducts were seen at the H1 level. Three of the ducts gradually approached each other at the H2 level and merged at the H3 level. Furthermore, another one approached a large duct at the H4 level.

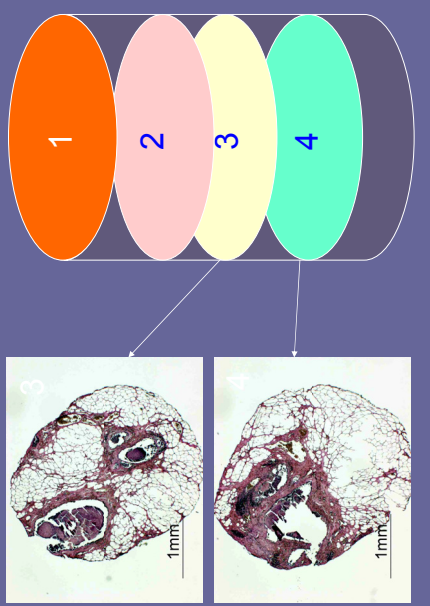
47



## pathological view (1)

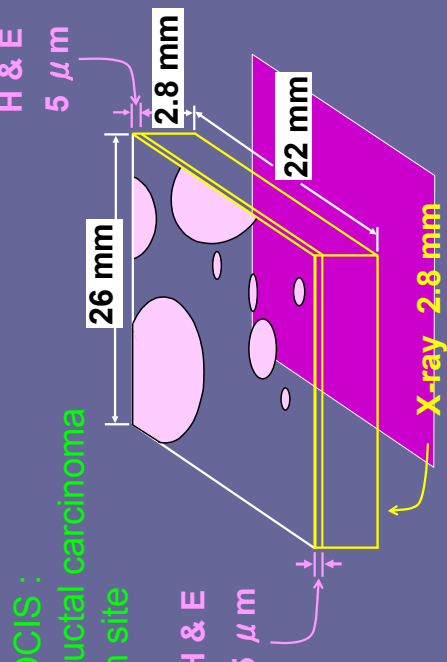


## pathological view (2)



	thick-LAF	thin-LAF
<i>H</i> : thickness of LAF(μm)	2124	125.6
<i>E</i> : x-ray energy (keV)	35.0	13.7
<i>hkl</i> : diffraction index of silicon	440	220
$\theta_B$ : Bragg angle (rad)	0.1855	0.2381
$\lambda$ : Pendellösung fringe periodicity (μm)	114.8	27.92
$\omega$ : full width of rocking curve (rad)	$1.725 \times 10^{-6}$	$1.419 \times 10^{-5}$
$\kappa$ : image sharpness ~ spatial resolution (μm)	40	2.4*
$\beta$ : angular spread (rad) of the refracted x-rays in the Bormann fan corresponding to $\kappa$	0.01883	0.01918*
$\alpha$ : refraction angle (rad)	$1.751 \times 10^{-7}$	$1.143 \times 10^{-6}*$

DCIS:  
ductal carcinoma  
in situ



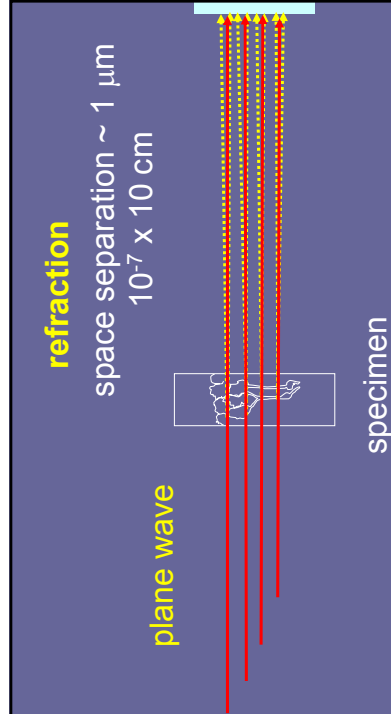
X-ray refraction angle is quite small !

57

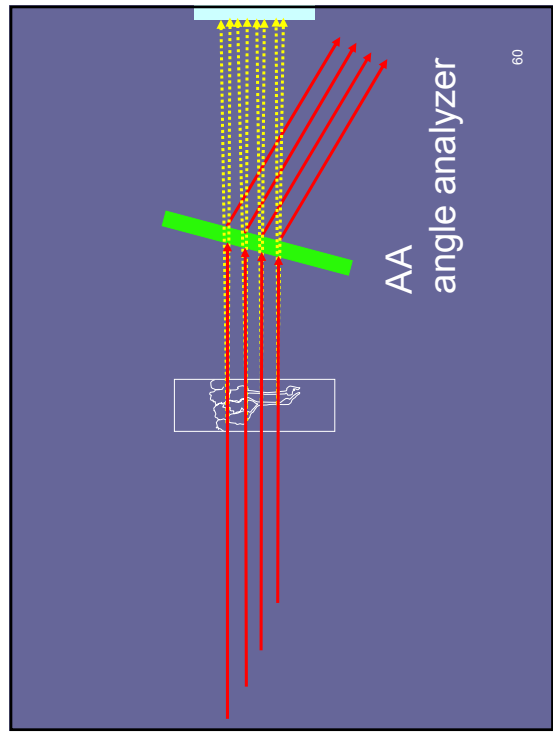
### difference

- refractive index
- $n_{\text{vl}}$  1.5
- $\frac{\text{---}}{\text{---}} = \frac{\text{---}}{\text{---}}$
- $n_{\text{x-ray}}$   $10^{-6}$
- refraction angle
- $\alpha_{\text{vl}}$  0.1  $\rightarrow$  mechanical slit OK
- $\frac{\text{---}}{\text{---}} = \frac{\text{---}}{\text{---}}$
- $\alpha_{\text{x-ray}}$   $10^{-6}$   $\rightarrow$  mechanical slit NO

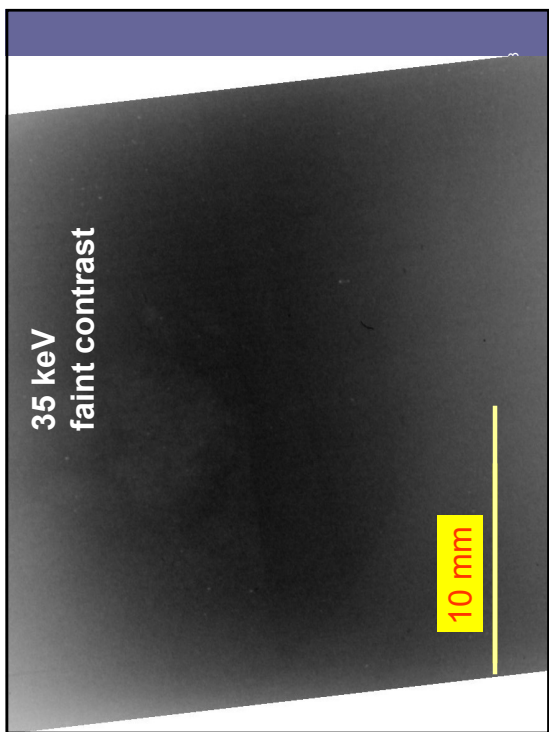
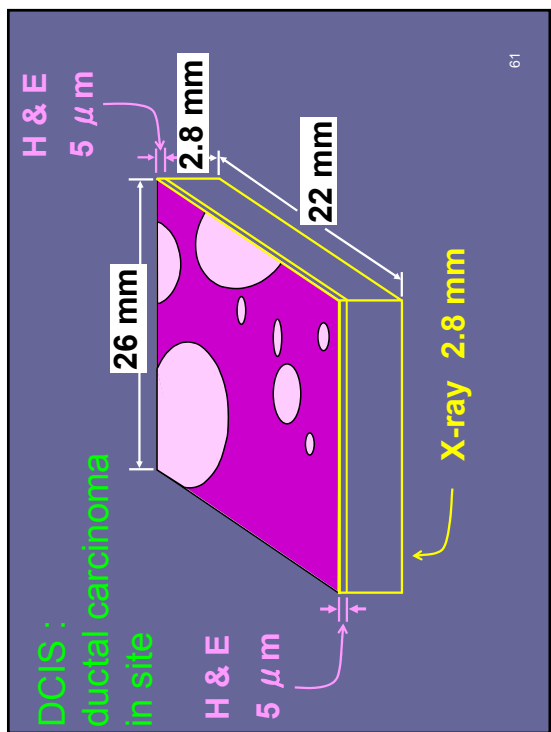
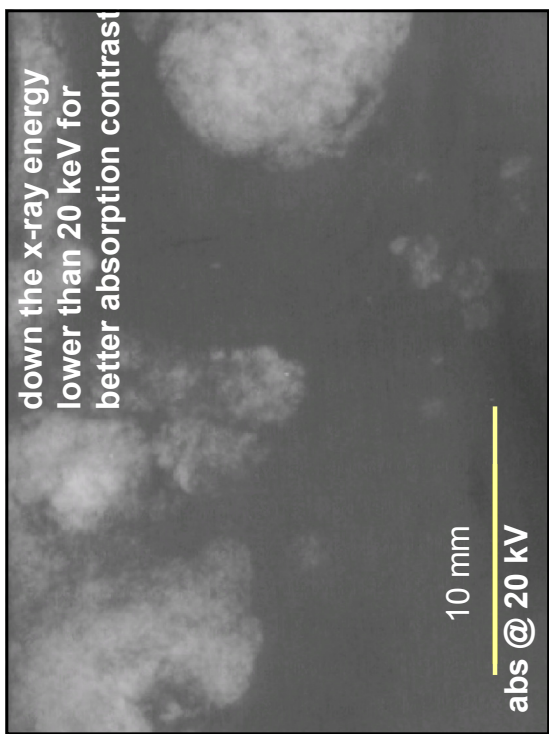
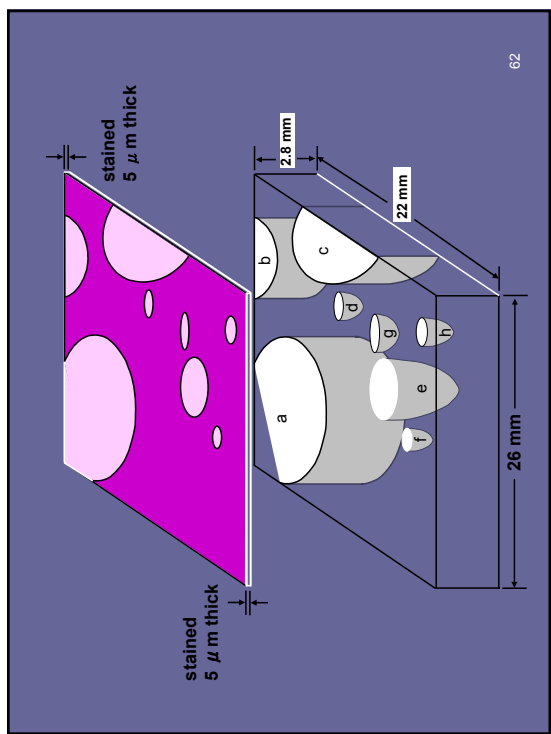
58



59

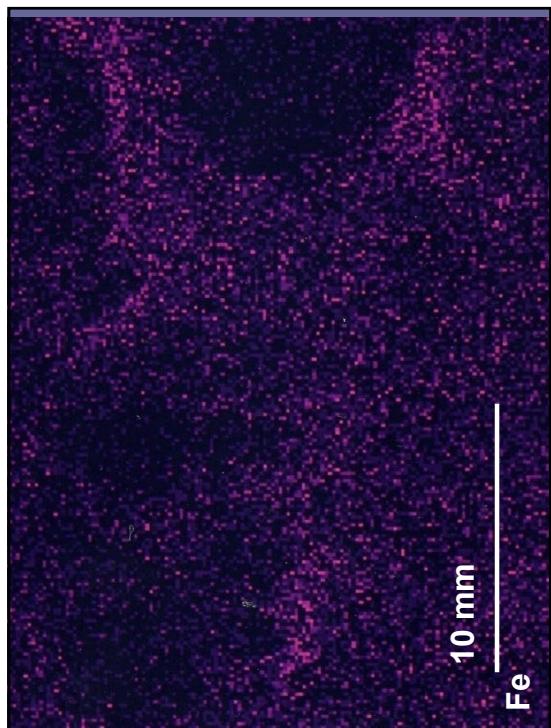
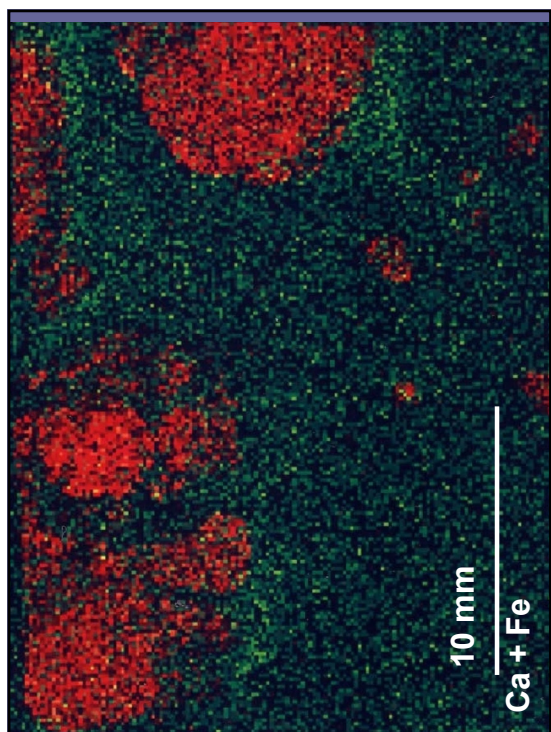
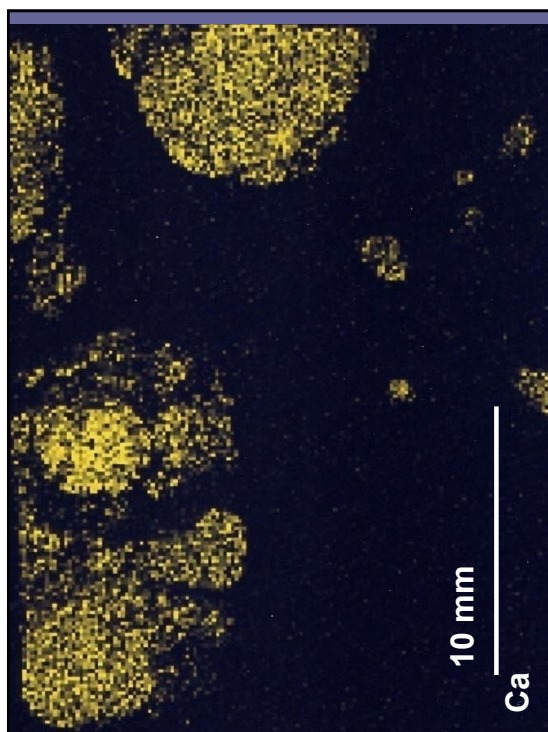


60



- evidence of Ca relating to breast cancer

- fluorescent analysis



Relation between refraction- and fluorescence-based image ?

70

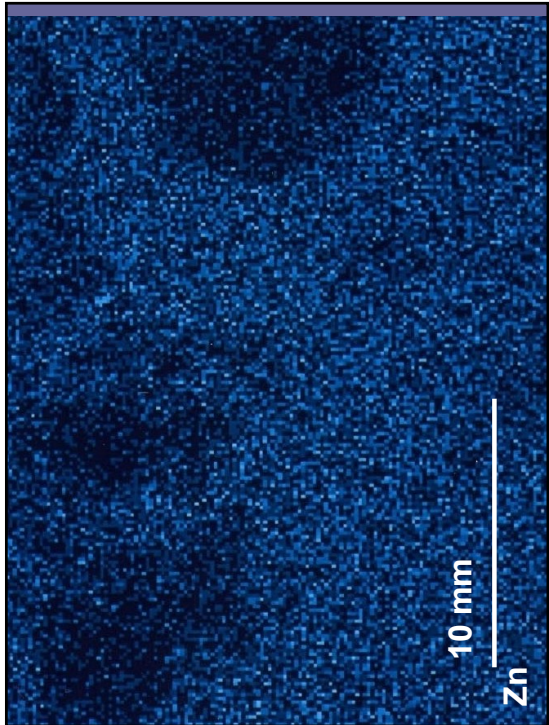


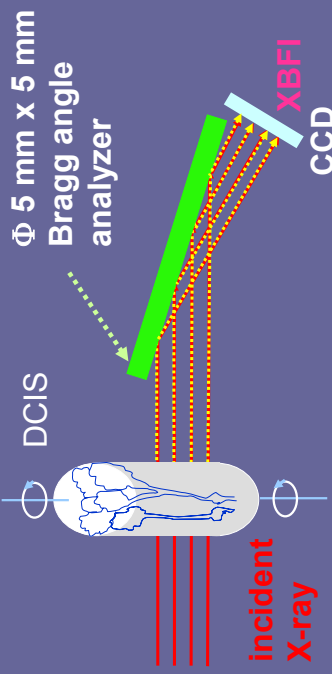
image quality at 35 keV

- contrast : much higher than absorption
- spatial resolution: 30  $\mu\text{m}$  (thick AA) ~ 10  $\mu\text{m}$  (thin AA)
- radiation dose : ~ hospital

72

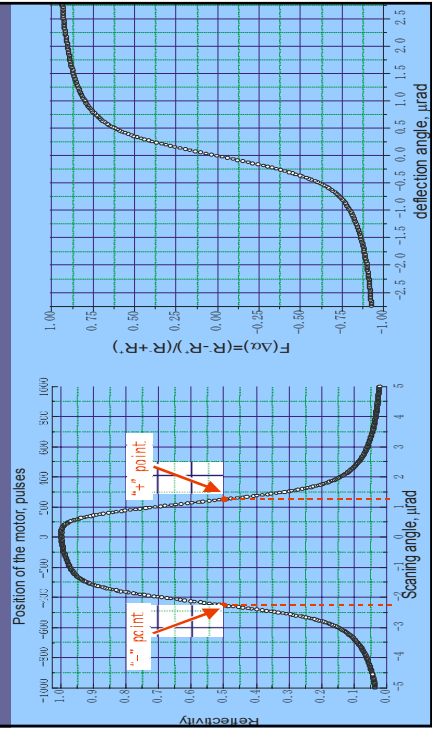
How can one raise the spatial resolution ?

How can one obtain CT image?

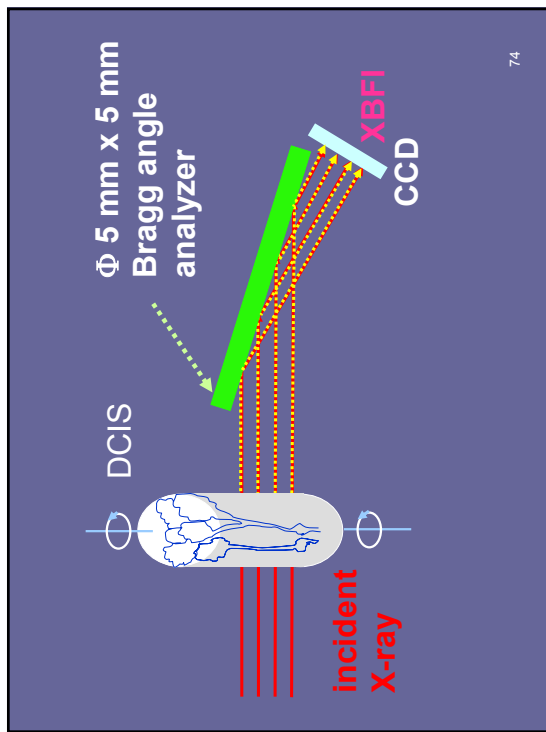


73

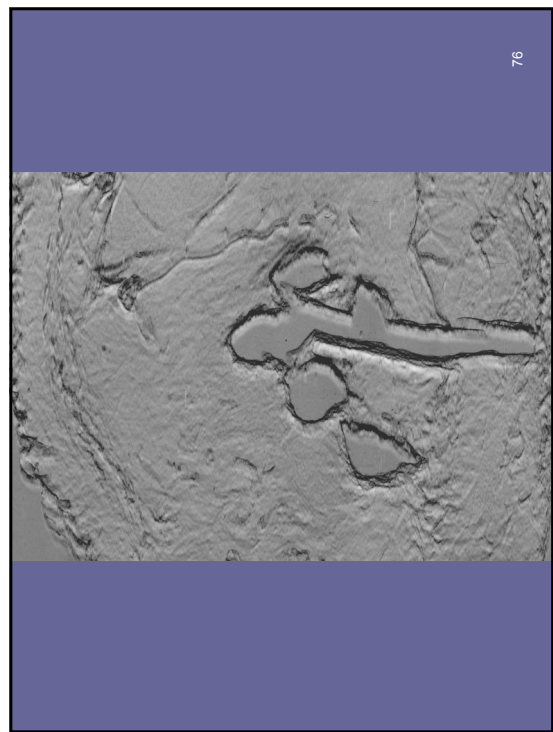
## data acquisition



63



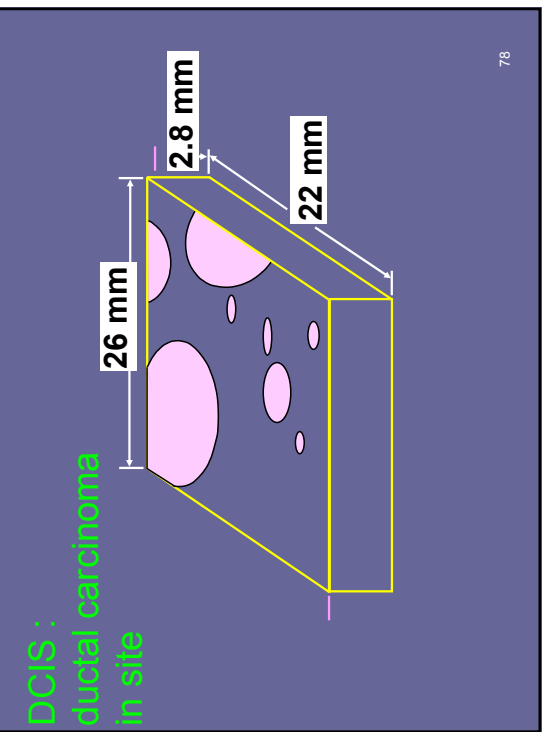
74



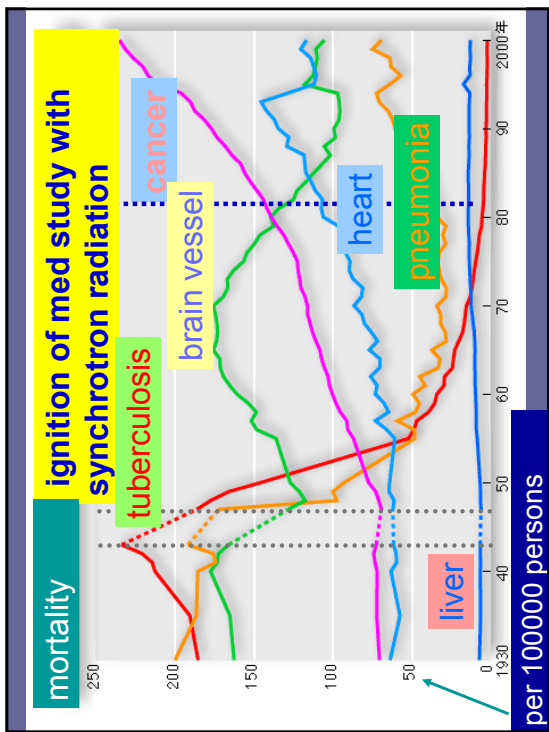
76

- clinical condition
- accumulation ring
  - $E = 5 < 6.5 \text{ GeV}$
  - $I = 70 \text{ mA}$
  - $\square \tau = 1200 \text{ min}$
  - exposure time  $\sim 6 \text{ msec}$  (IVCAG)
  - Interval  $\sim 10 \text{ frames per one second}$  (IVCAG)
  - X-ray energy : 35 keV
  - contrast agent : iodine 沃素:碘

77



78

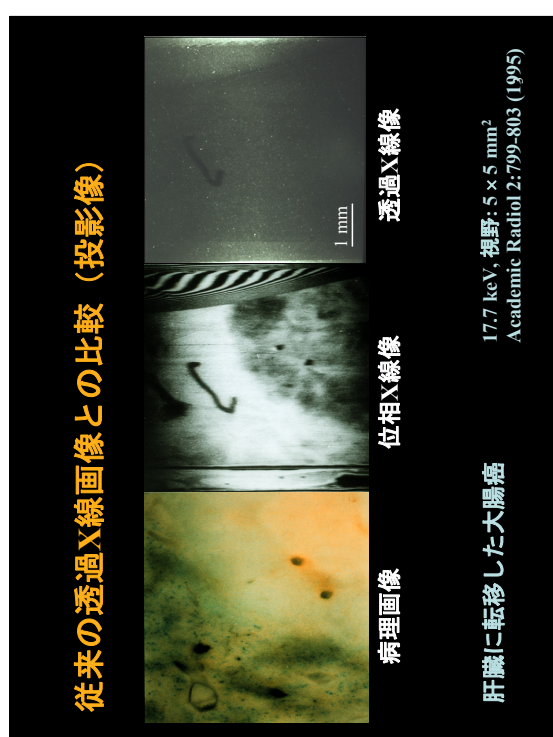
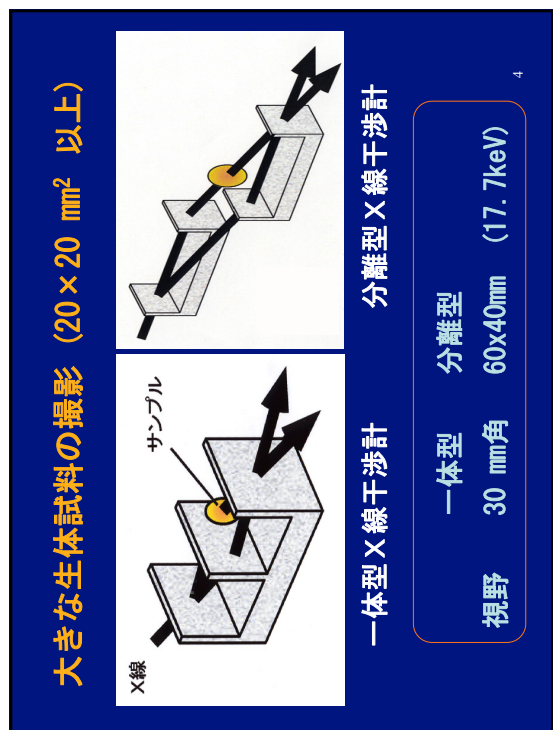
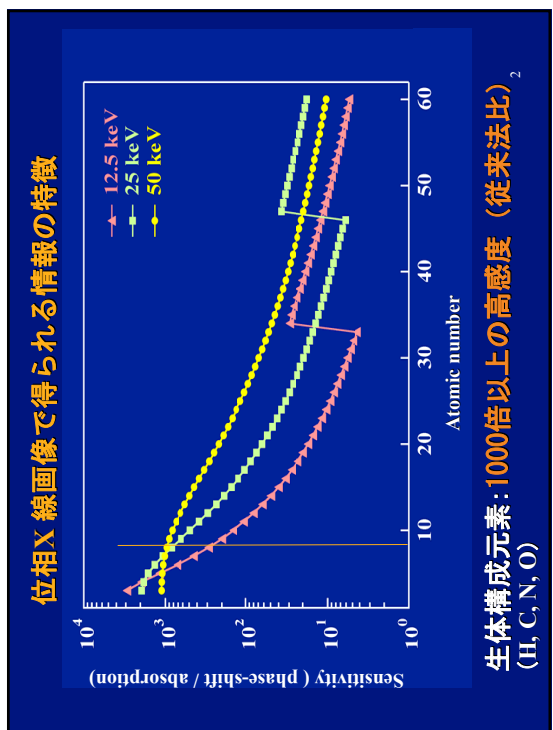


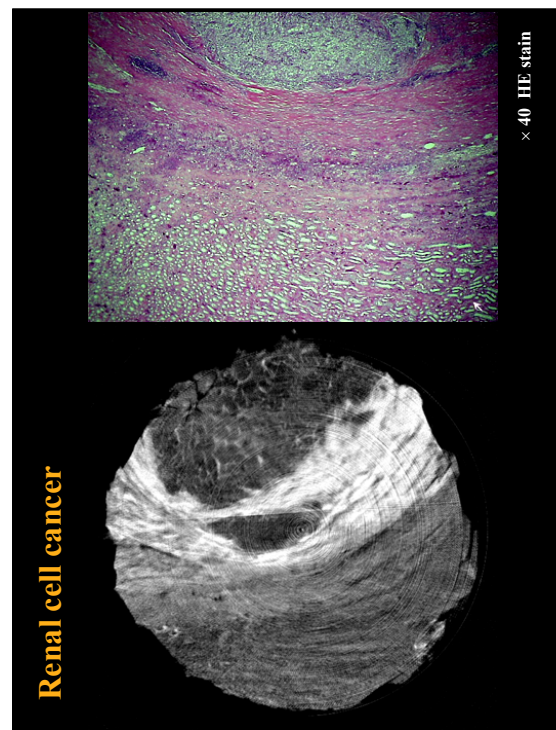
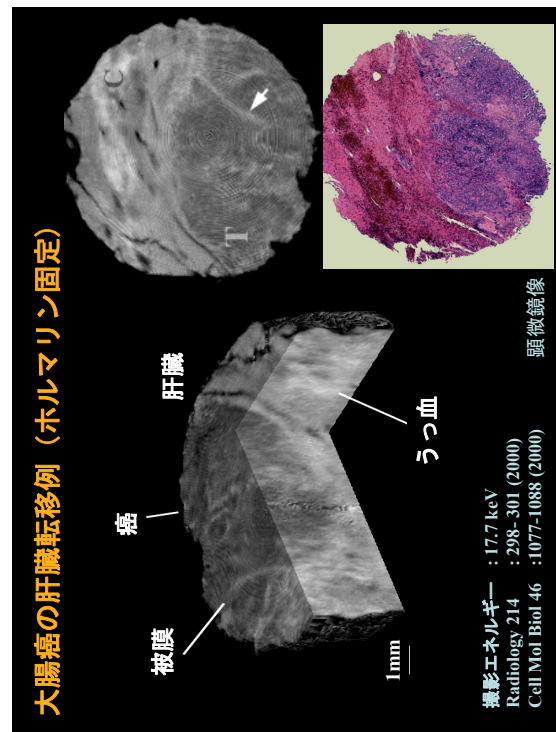
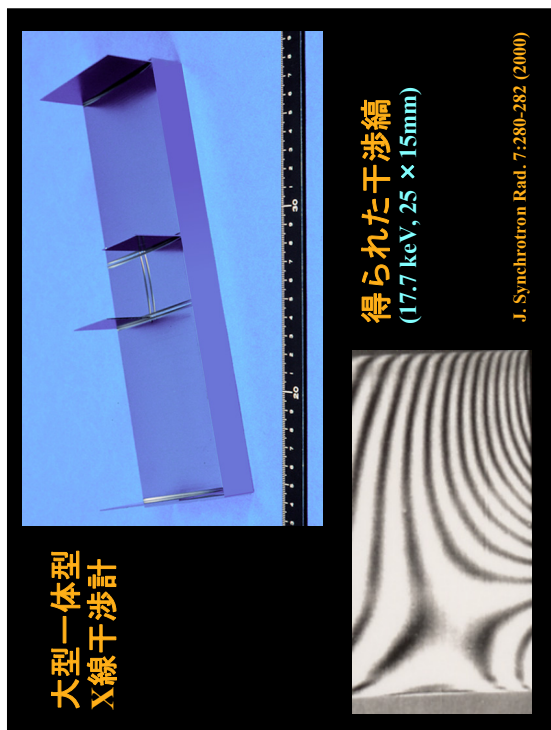
Which principle is needing ?

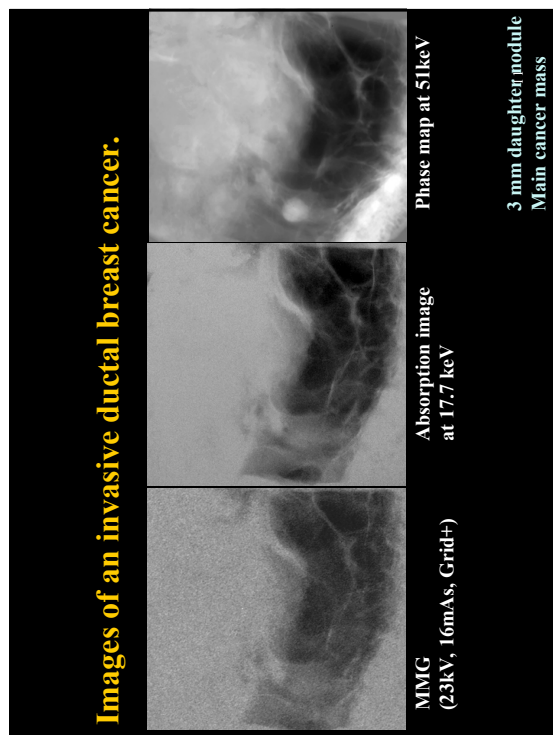
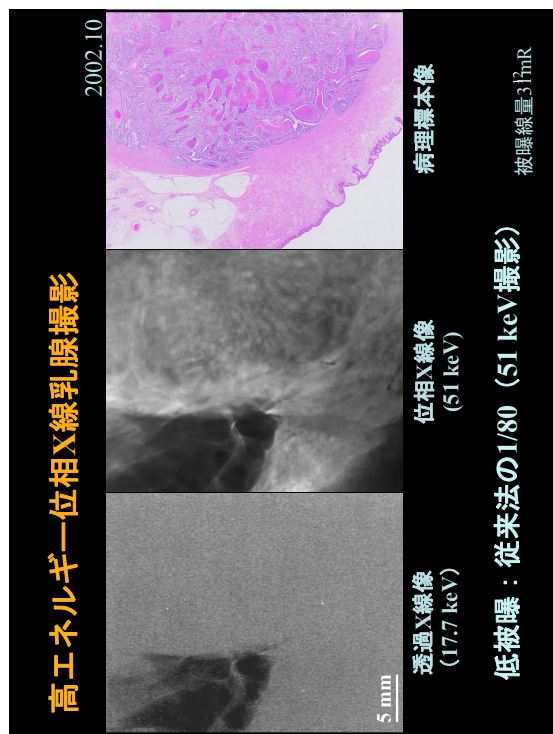
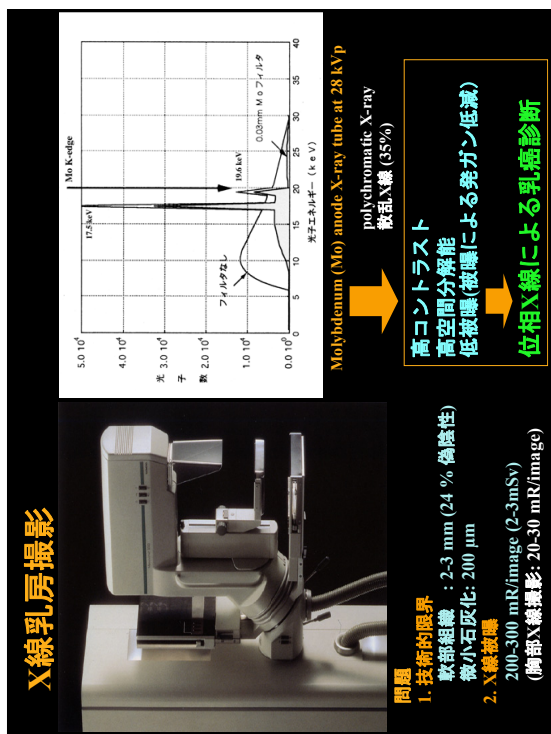
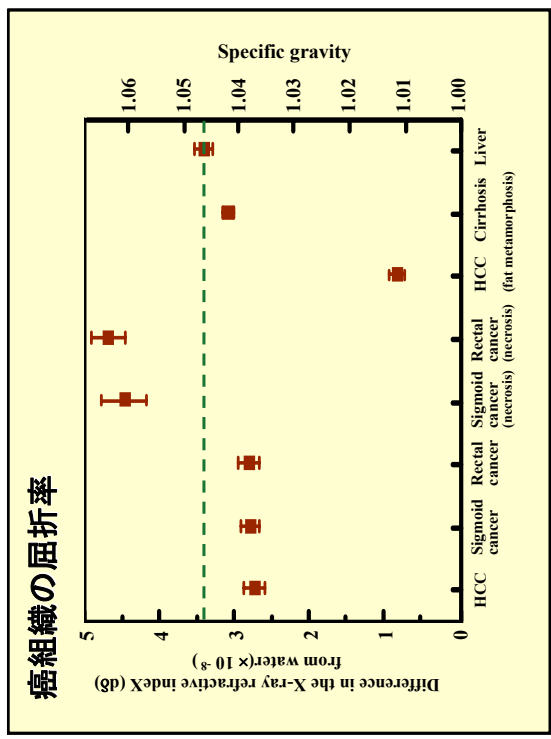
平成18年度学術フロンティア推進事業（日本大学）

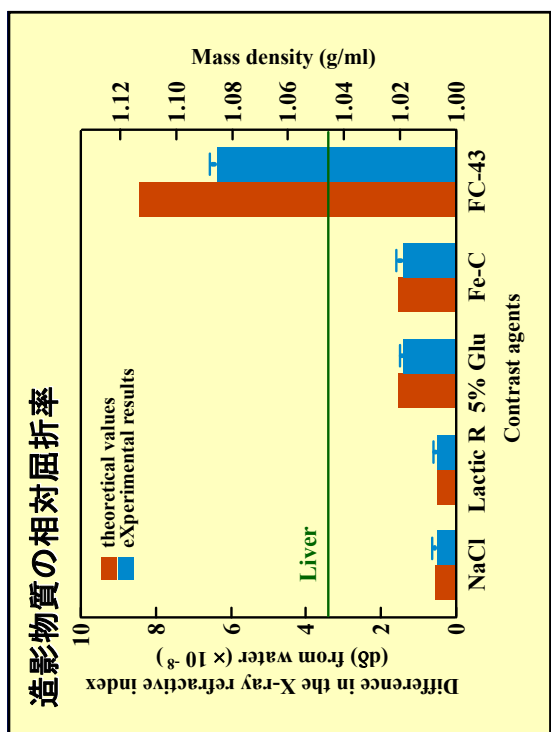
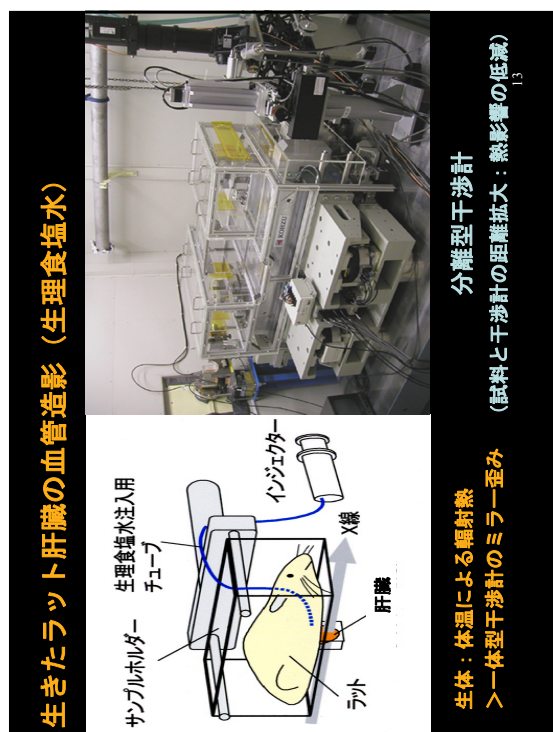
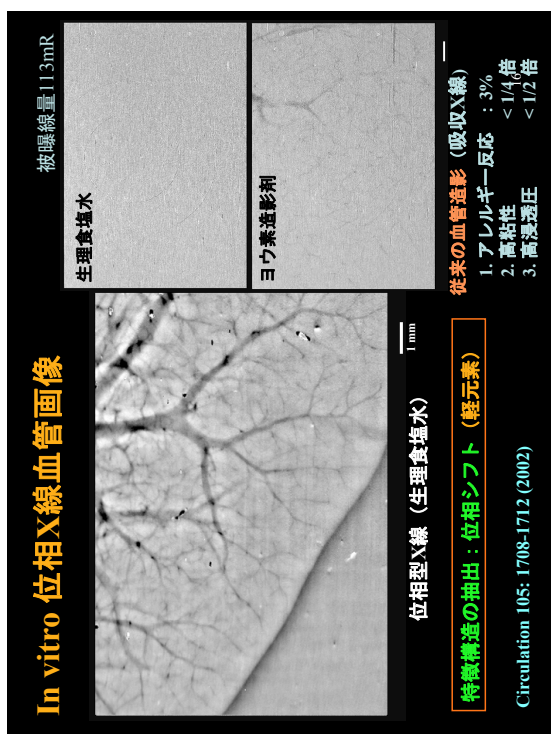
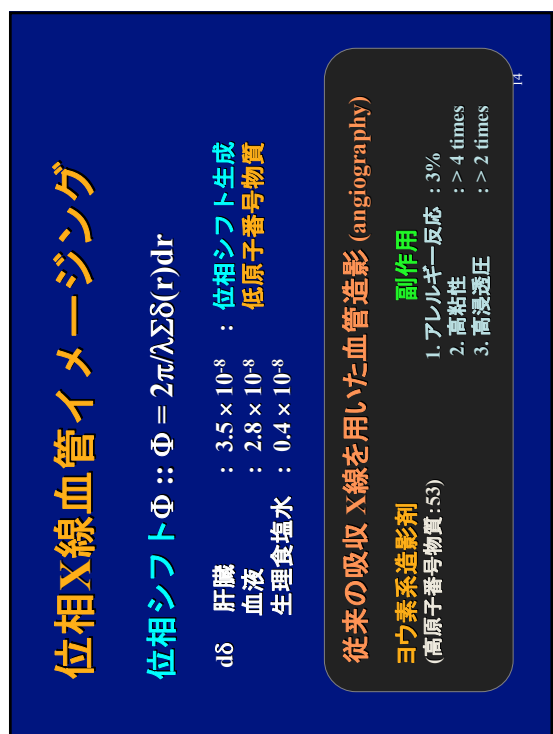
## 干涉計を用いた位相X線イメージング (医学生物学応用)

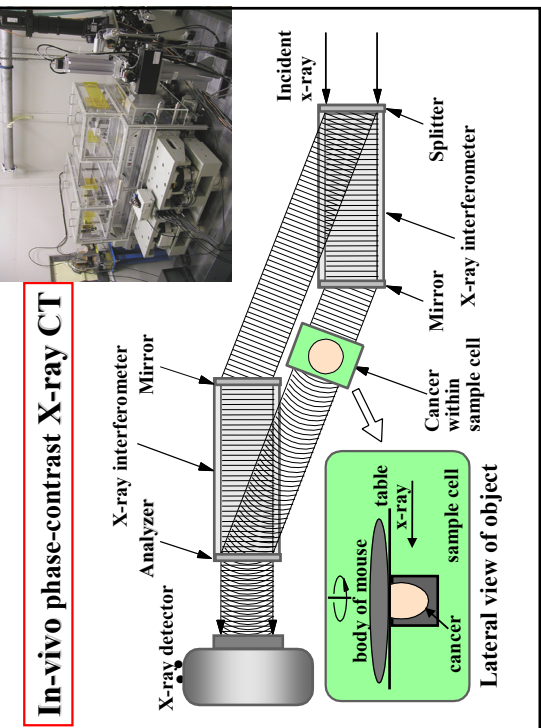
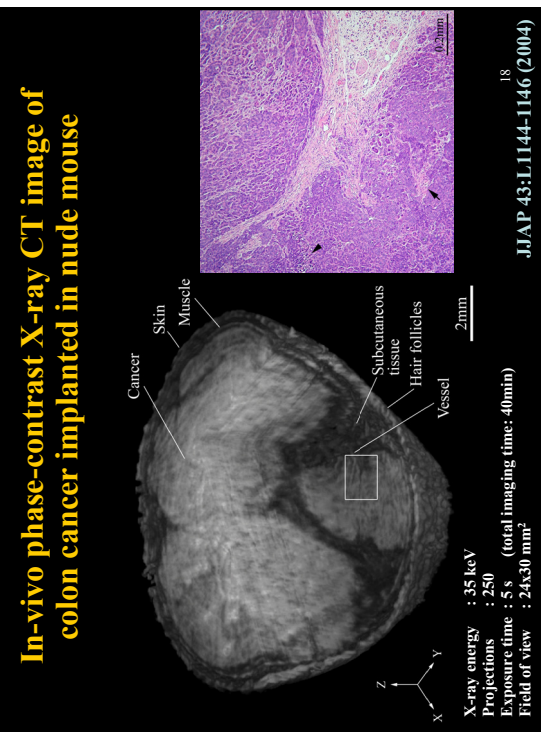
筑波大学 大学院人間総合科学研究院  
武田 徹  
2006.3.16



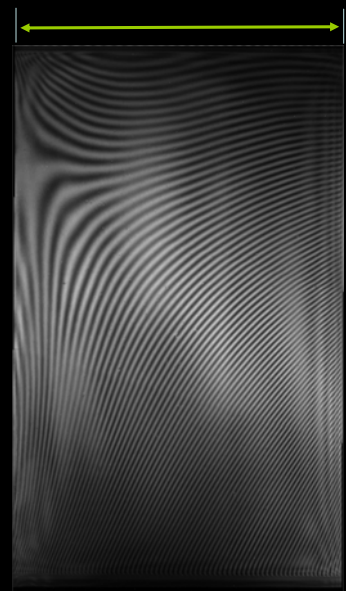








## ビームライン改造成後に得られた大視野干渉像



19

2004.12

## まとめ

- 軟部組織（腫瘍、血管網等）の無造影・低被曝な三次元観察
- 高エネルギーX線での撮影が重要
- 大型試料、高原子番号元素(Ca)の画像化：乳房撮影への応用
- 生きた動物（マウス）の画像化

世界をリードするX線生体イメージング技術の確立  
展望

- 大視野・高速データ収集（1時間>>5分）
- 1. 生きたままの生体の経時的な三次元組織観察
- 2. 組織標本解析
- 3. 低被曝・高感度な乳癌診断（大視野化）

20

## 謝辞

- 筑波大学大学院 人間総合科学研究院  
吳 劲、Thet-Thet-Lwin
- 日立製作所 基礎研究所  
米山明男、平井康晴
- 東京大学  
百生 敦、小山一郎
- 高エネルギー加速器研究機構  
兵藤一行、平野馨一
- Spring-8  
鈴木芳生
- シャラン・インスツルメンツ（株）  
小泉有生

21

LEBRA-PXR と FEL の生体硬組織への応用研究

- LEBRA-PXR
  - *Diffract*
  - *Radiography*
  - *Absorption Edge*
  - *Phase Contrast*
  - LEBRA-FEL
  - *Dental Tissues*
  - *Ablation*
  - *Mineral/Crystal Ablation*

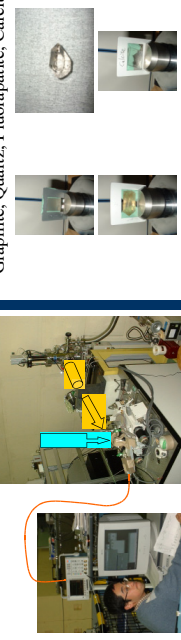
## ■ Standard X-Ray Diffraction

- Rowell ARD  
PSPC microXRD  
IP microXRD



LEBRA-PXR Diffraction Study

## Materials



LEBRA-PXR を結晶解析の基本である X 線回折実験に応用できることを検証した。

卷之三

- LEBRA-PXR & FEL の生体硬組織への応用研究
  - LEBRA-FEL
  - Dental Tissues
  - Ablation
  - Mineral/Crystal Ablation
- Standard X-Ray Diffraction
  - PowderXRD
  - PSPC microXRD
  - IP microXRD
- In the Near Future Study
  - PXR:
  - FEL:

LEBRA-PXR と FEL の生体硬組織への応用研究

- LEBRA-PXR
    - Diffracton
    - Radiography
    - Absorption Edge
    - Phase Contrast
  - LEBRA-FEL
    - Dental Tissues
    - Ablation
    - Mineral/Crystal
    - Ablation

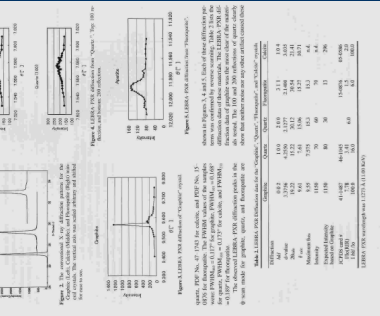
## ■ Standard X-Ray Diffraction

- the Near Future Study  
PXR:  
FEL:



LEBRA-PXR Diffraction Study

Glossary (10)

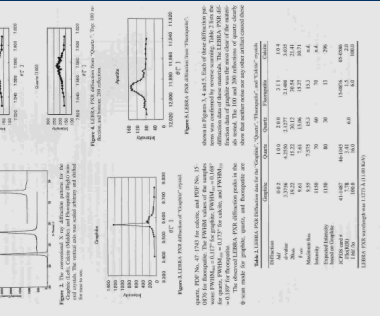


(Sakae et al., *J Mineral Petrol Sci*, 2006)

4

LEBRA-PXR Diffraction Study

REVIEWS OF INTELLIGENCE AND INFORMATION ANALYSIS 2006, VOLUME 21, 2006



(Sakae et al., *J Mineral Petrol Sci*, 2006)

4

*LEBRA-PXR Radiographic Study  
- Bone Formation Around Ti-Implant -*

Fig. 3 Image of new bone surrounding the implant taken by LEBRA-PXR image (7 keV). The implant was observed to be radiopaque with 2.8 mm diameter. A layer of new bone was observed, one portion of which was observed to be calcified much like the surrounding cortical bone.

(中田琢磨 : 日大口腔科学 , 2005)

Fig. 4 Image of new bone surrounding the implant taken by dental x-ray machine. The implant was observed to be radiopaque with 2.5 mm diameter. The new bone as well as the cortical bone surrounding the implant were observed to be indistinct and radiopaque. The discrimination of structures was almost impossible in the image.

*LEBRA-PXR Absorption Edge Study*

- LEBRA-PXRは水平方向にわざかなる波長分散が認められた。
- 元素端と同じるこことで吸収端を調整する目的の元素を撮影で同定できる。

Ni箔, Cu箔(10μm, 20min, IP)  
(左)8.989keV, (右)8.33keV

金屬箔を用いた検査アーブの影も確認されている。

NI  
吸収端 8.33keV  
Cu  
吸収端 8.94keV

波長(Å)

原子吸収

波長(Å)

NI  
Cu  
波長(Å)

図15.3 波長に対する原子吸収係数の変化(白金)

*LEBRA-PXR Phase Contrast Study  
- Bone Nodule / Cell Culture -*

寒河江ほか(2005): LEBRA-PXRの波長可変X線による  
恐竜の卵化石中のSr同定, 化石研究会誌, 38:157.

*LEBRA-PXR Absorption Edge Study*

Titanosaurus Egg (Left)

Left: X-ray energy: 16.0 keV (0.775 Å). Right: X-ray energy: 16.2 keV (0.765 Å). X-ray absorption K edge for Sr is 16.10 keV (0.769 Å). The higher X-ray energy, the greater the X-ray absorption of the interested area (See fig. 6 and right end of the arrows).

Section of Titanosaurus Egg Shell

- 化石恐竜卵殻のX線透過端を同定できた。

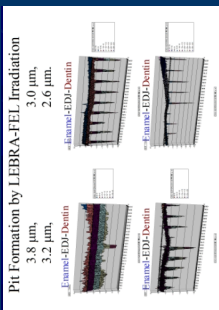


- (左) : 2004年3月4日前の起  
象牙質(歯の象牙質の名前の起  
源)を用いて  
LEBR-FELの照射実験。  
- 象牙質にpitが形成された。  
- pit周囲は「こげ」が認められた。  
(これはPower不足が  
原因らしい)
  - (右) : 2004年4月1日



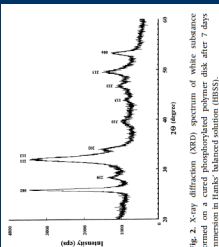
- 2004年9月9日  
ヒトの歯を用いて  
LEBRA-FELの照射実験。
  - FEL照射によって象牙質  
- エナメル質が形成された。  
に Pit が形成されたり  
Pit周囲は“こげ”が  
認められない。  
(出力 Up の効果)

LEBRA-FEL Dental Issues Administration



- 波長を変えてLEBRA-FELの照射実験。  
(上の写真は2005/8/4)  
照射にヨツテ象牙質が  
FEL照射ナメル質、FEL固有の適正波長が示唆。  
- エはるこ

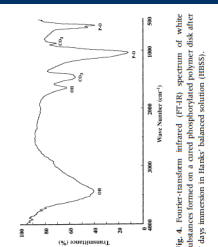
Standard XRD: Powder XRD Study



FT-IR スペクトル。アバタイトと同じような吸収を1000-1100cm<sup>-1</sup>領域に認められる。生体アバタイトの特徴であるCO<sub>2</sub>による吸収を1450-1550cm<sup>-1</sup>領域に認められる。

(T. Hayakawa et al., 2003)

*XRD Study* 生体擬似溶液中で形成した  
アバタイトと類似した  
(生体アバタイトと類似した  
低結晶性を示す。



(T. Hayakawa et al., 2003)

FT-IR スペクトル。アバタイトと同じような吸収を1000-1100cm<sup>-1</sup>領域に認められる。生体アバタイトの特徴であるCO<sub>2</sub>による吸収を1450-1550cm<sup>-1</sup>領域に認められる。

(T. Hayakawa et al., 2003)

*Standard XRD: PSPC micro-XRD Study*

- 装置の特徴
  - 100 $\mu\text{m}$  ~ 10 $\mu\text{m}$  の微小領域で測定できる。
  - 湾曲型 PSPC により、短時間で測定可能
  - 試料調整が容易

(日大口腔科学 2003)

*Standard XRD: PSPC micro-XRD Study  
-Human Tooth Enamel Crystallites-*

- エナメル質の部質に微細結晶はあるが変化している。

(日大口腔科学 2003)

*Standard XRD: IP micro-XRD Study*

- 装置の特徴
  - 100 $\mu\text{m}$  ~ 10 $\mu\text{m}$  の微小領域で測定できる。
  - 反射法、透過法で実験できる。
  - Imaging Plate に記録する
    - 高感度
    - 2次元情報

(日大口腔科学 2003)

*Standard XRD: IP micro-XRD Study  
- Human Tooth Enamel Caries Crystals -*

- むし歯
- アパタイトで構成されている。
- 結晶には異常な配向がある。

(日大口腔科学 2003)

## LEBRA-PXR, FEL, XRD を利用した研究成果 1 Papers

- Application of LEBRA-PXR to the diffraction analysis of minerals. J Mineral Petrol, 2003
- Variation in composition of bone surrounding implants. Biomaterials 18, 2006
- Observation of newly formed bone around dental implant using Parameteric X-ray. Bioceramics 18, 2006
- Characterization and bioactivity of tape-cast and sintered TCP sheets. J Biomed Mater Res, 2006
- バラメトリック X 線と歯科用 X 線を比較したシラト周囲の新生骨の観察. 日大口腔科学, 2006
- Pit formation in human enamel and dentin irradiated using the 2.94 mm LEBRA-Free electron laser. Int J Oral Med Sci, 2005
- An unusually large submandibular salivary calculus: Case report and structural analysis. Int J Oral Med Sci, 2004
- Intermittent crystal growth of unusually long submandibular sialolith revealed by micro-focus- and selected-area-X-ray diffraction. J Hard Tissue Biol, 2003
- 

17

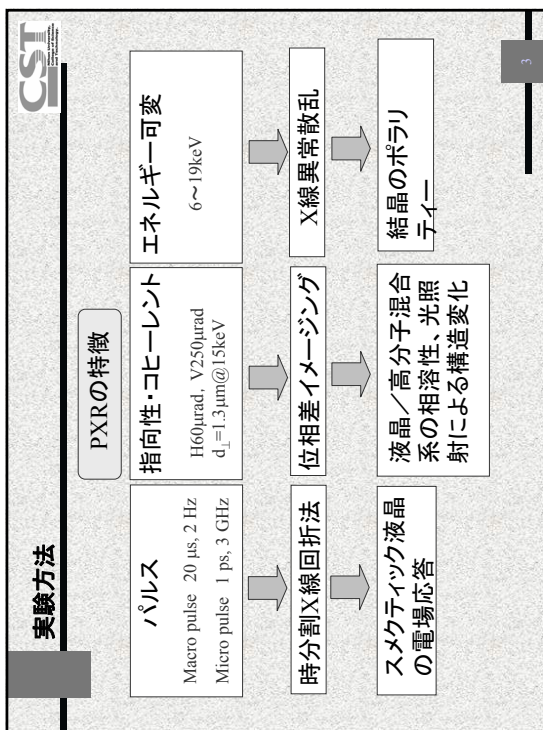
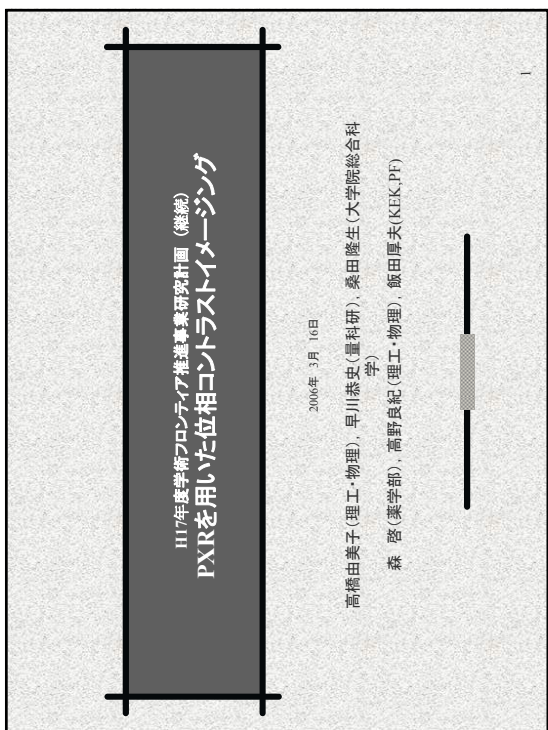
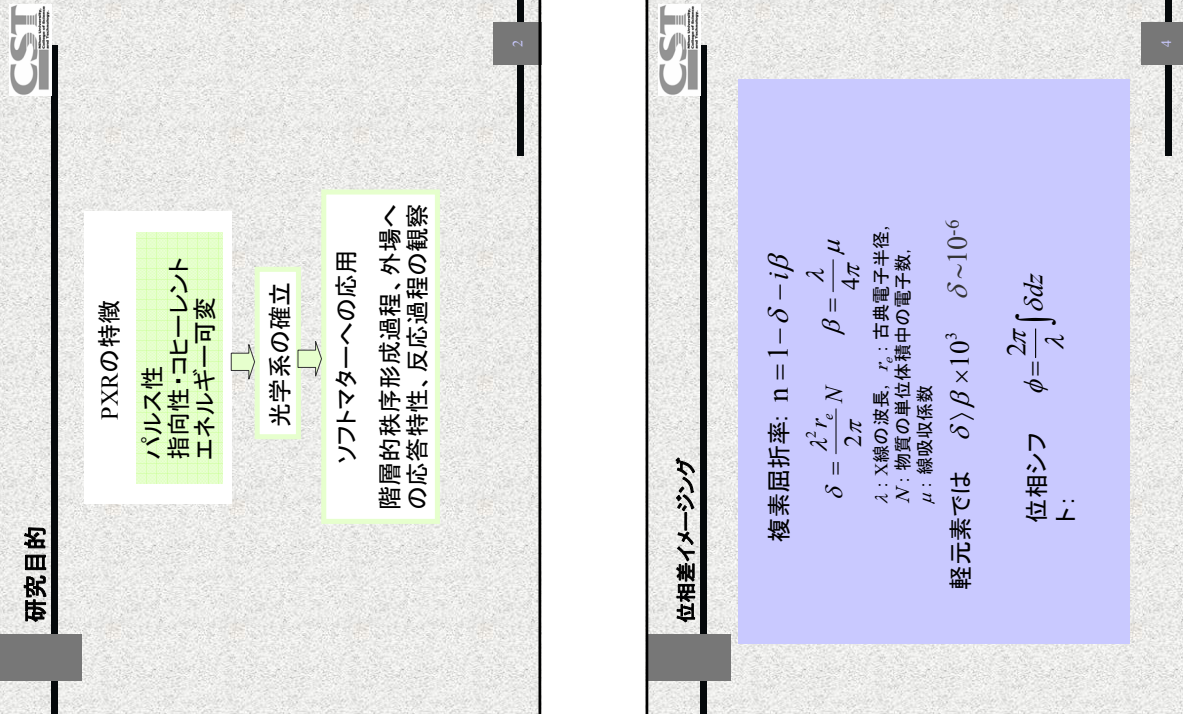
## 謝辞

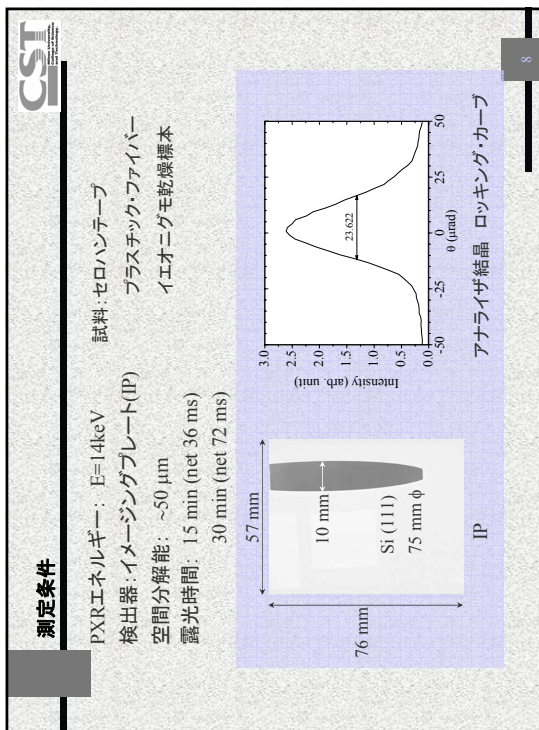
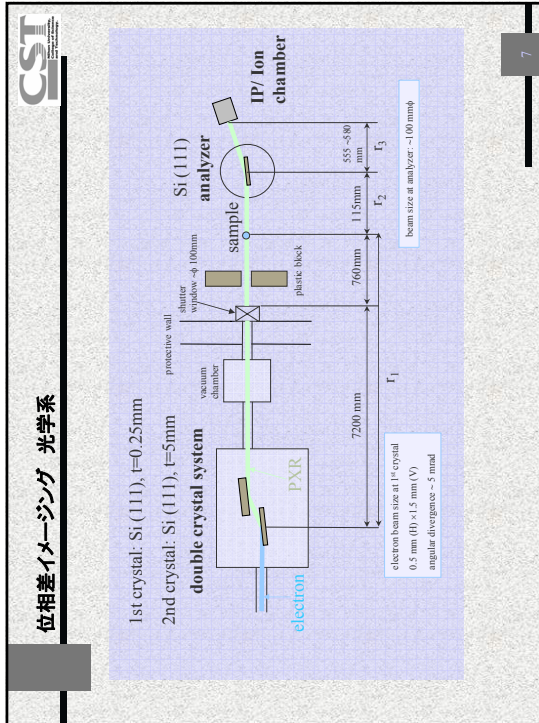
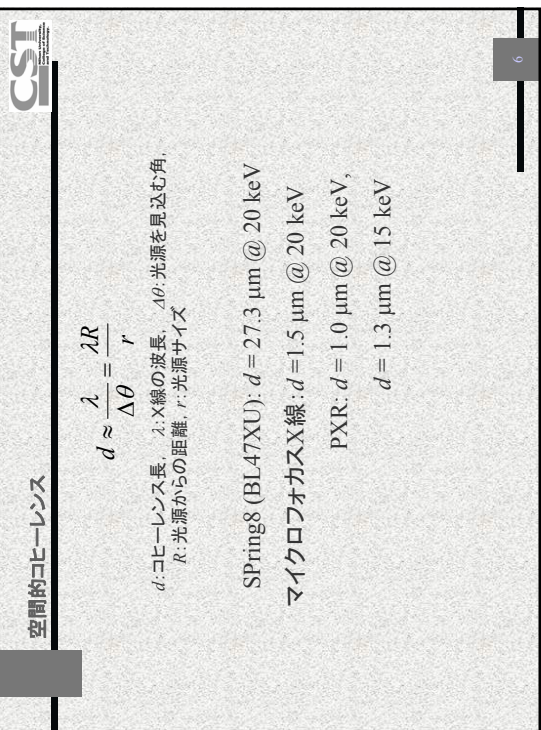
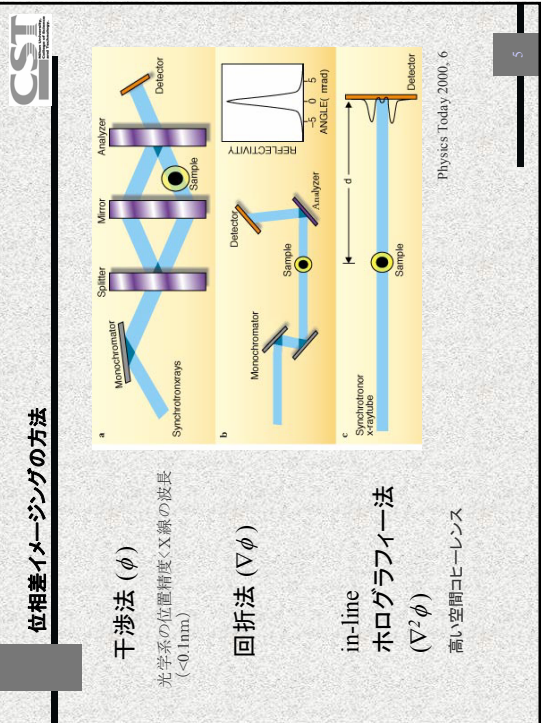
- この研究は、H12-H16, H17-H19 MEXT 日本大学電子線利用研究施設学術PJ「**推進事業  
「可変波長高輝度単色光源の高度利用に関する研究」**」
- H16-H17 日本大学学術研究助成金（総合研究）  
「バラメトリック X 線を用いた生体硬組織・生体材料の評価システムとその応用」
- H17-H19 JCPDS 科学研究費補助金（基盤 C）  
「**自由電子レーザーが歯のエナメル質と象牙質に及ぼす  
ablation効果とその応用**」
- の補助により行われた。
- 実験研究を遂行するにあたり、LEBRA の方々には準備にはじまり、  
→ 装置設備の補充、実験条件の厳しい要求に応えていただき、  
→ また貴重な助言を頂いた。  
→ ここに記して感謝の意を表する。

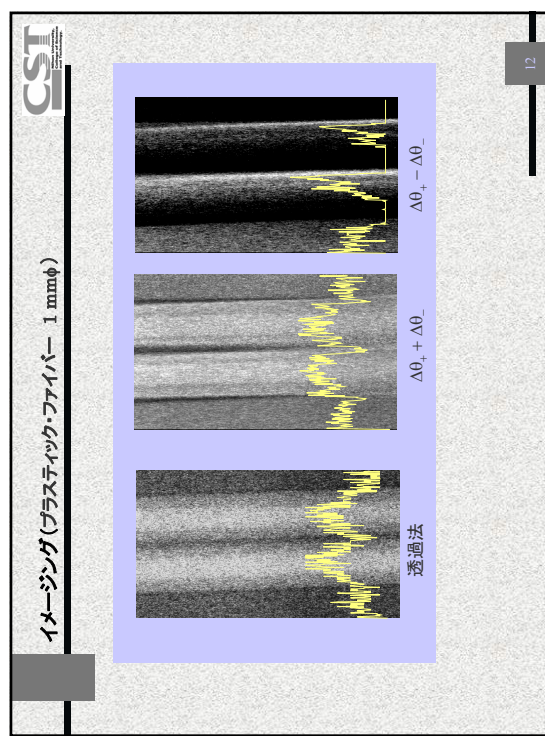
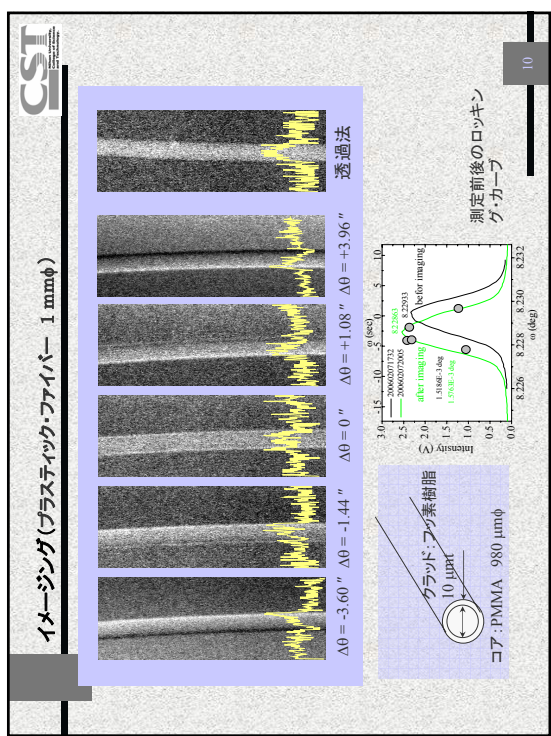
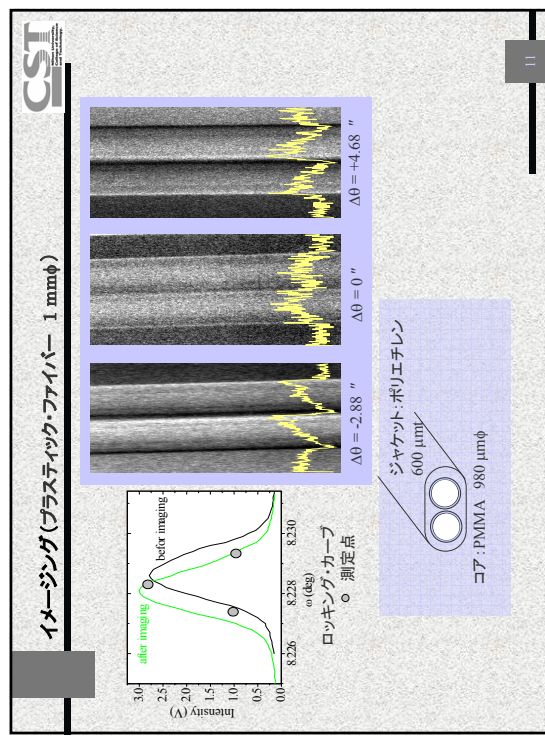
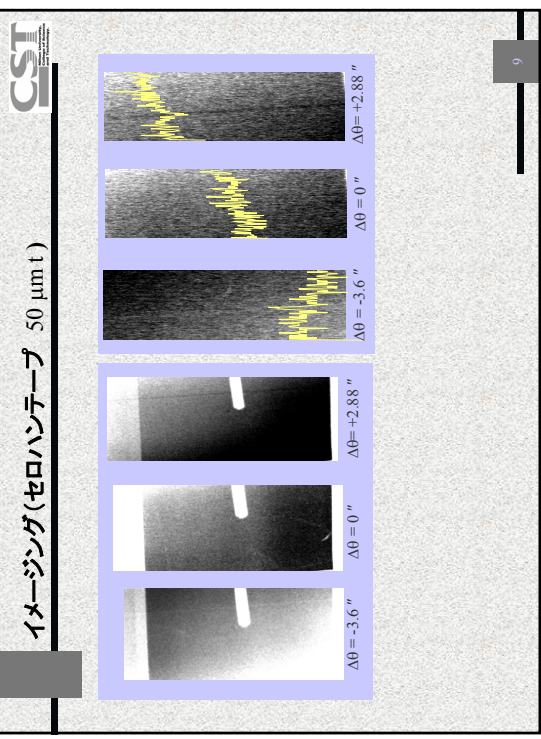
## LEBRA-PXR, FEL, XRD を利用した研究成果 2 Presentations

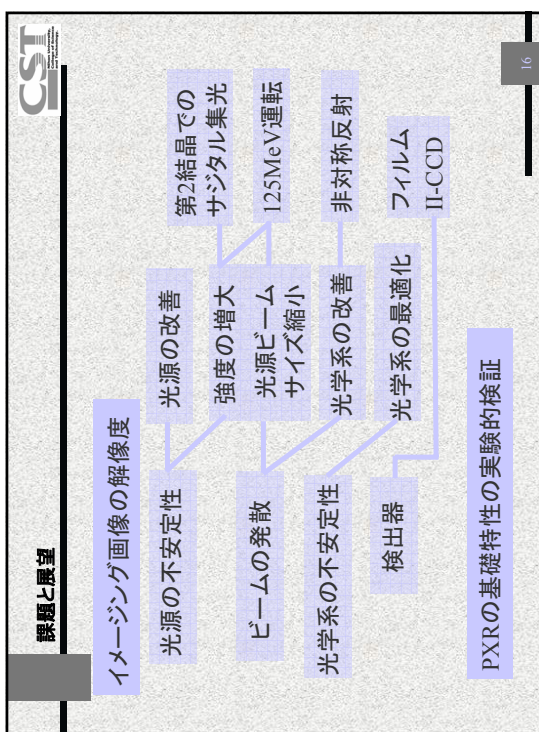
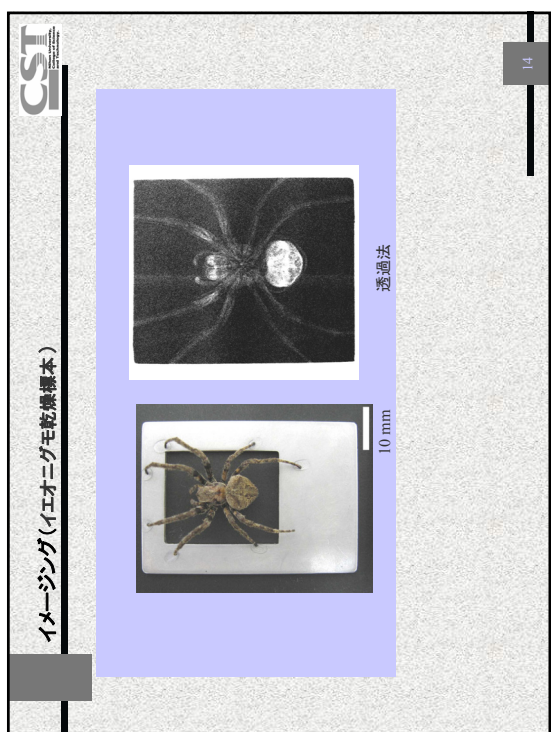
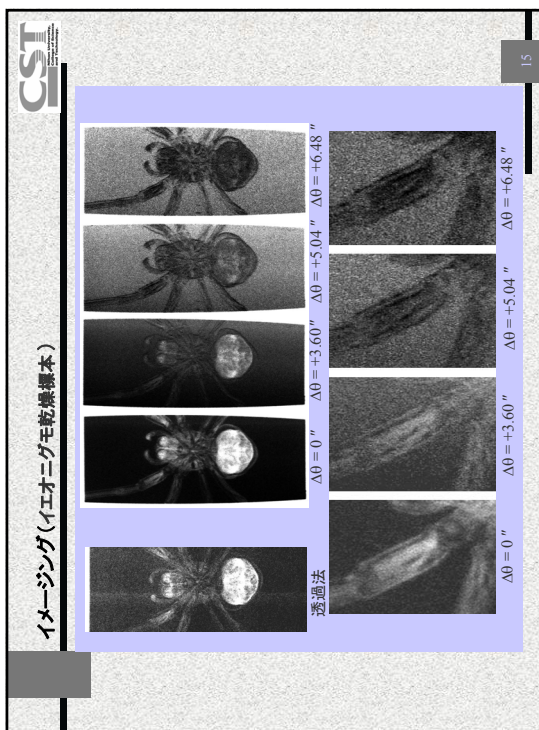
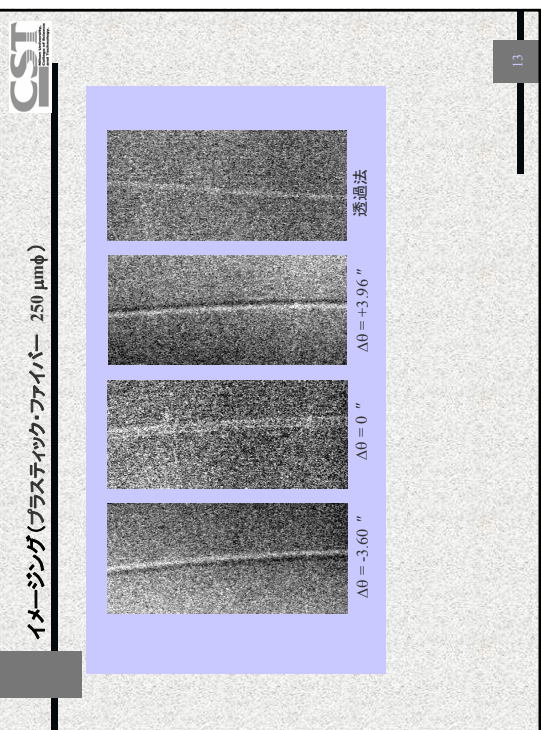
- 猪飼江登志郎、長瀬あゆみ、篠光夫 (2005) 生きている化石ミドリヤミセンガイの介殻の結晶構成について. 化石研究会  
究会  
長瀬あゆみ、猪飼江登志郎、篠光夫 (2005) 生化した化石恐竜卵殻の構造と鉱物組成. 化石研究会
- 

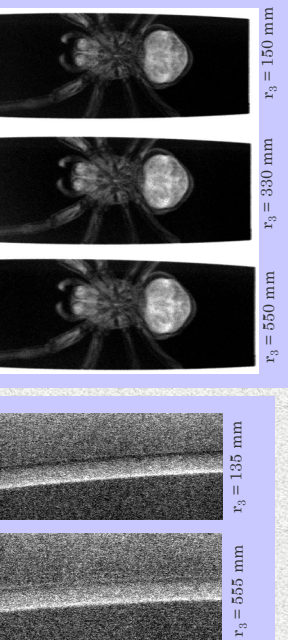
18











17

試料—検出器距離( $r_3$ )による違い

～μm の空間分解能  
測定時間の短縮(パルス性を活かした測定)

高分子フレンドの相分離

- ・ 液晶／高分子混合系の相溶性や光照射による構造変化
- ・ 生物・医療応用

18

PXRの機能を十分に活かした評価

## Outline

*Application of x-ray refraction based computed tomography based on the refraction contrast to biomedicine*

Eiko Hashimoto<sup>\*a</sup>, Anton Maksimenko<sup>b</sup>, Hiroshi Sugiyama<sup>a,b</sup>, Kazuyuki Hyodo<sup>a,b</sup>, Daisuke Shima<sup>0,a</sup>, Tetsuya Yuasa<sup>c</sup>, Yoshinori Nishino<sup>d</sup>, Tetsuya Ishikawa<sup>d</sup>, Yoshinori Arai<sup>f</sup> and Masami Ando<sup>a,b</sup>

<sup>a</sup>Graduate University for Advanced Studies (GUAS), 1-1 Oho, Tsukuba, Ibaraki, Japan.

<sup>b</sup>Photon Factory, Institute of Materials Structure Science, High Energy Accelerator Research Organization (KEK), 1-1 Oho, Tsukuba, Ibaraki, Japan.

<sup>c</sup>Yamagata University, 4-3-16 Jonan, Yonezawa, Yamagata, Japan

<sup>d</sup>RIKEN Hamamatsu Institute, 1-1-1 Kouto, Mikazuki, Sayo, Hyogo, Japan

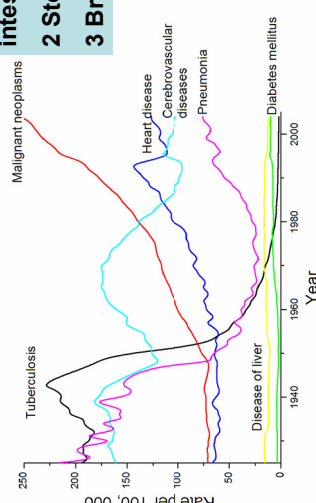
<sup>e</sup>Matsunoto Dental University, 1990 Hiraoka, Shiojiri, Nagano, Japan

- ❖ Object of study
- ❖ Characteristic of Refraction CT
- ❖ Experimental method
- ❖ Results
- ❖ Summary

## Importance of the method:

3

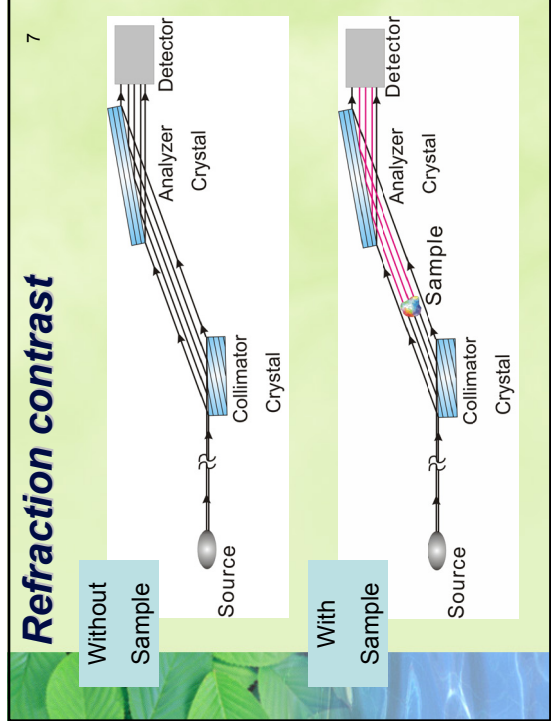
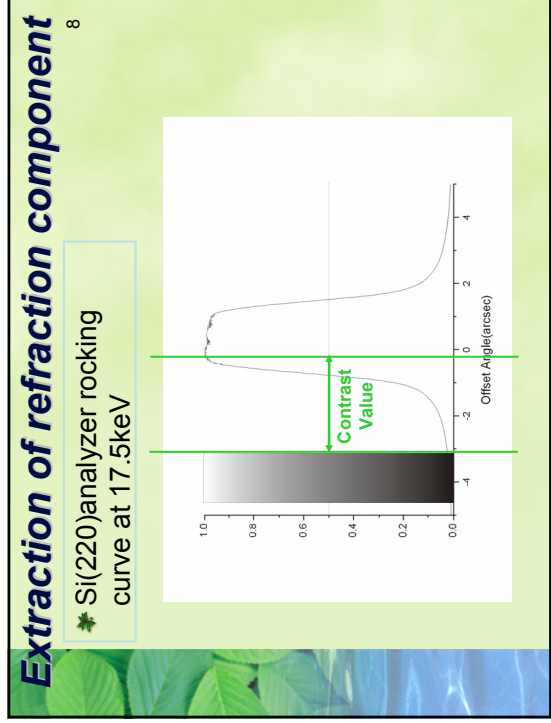
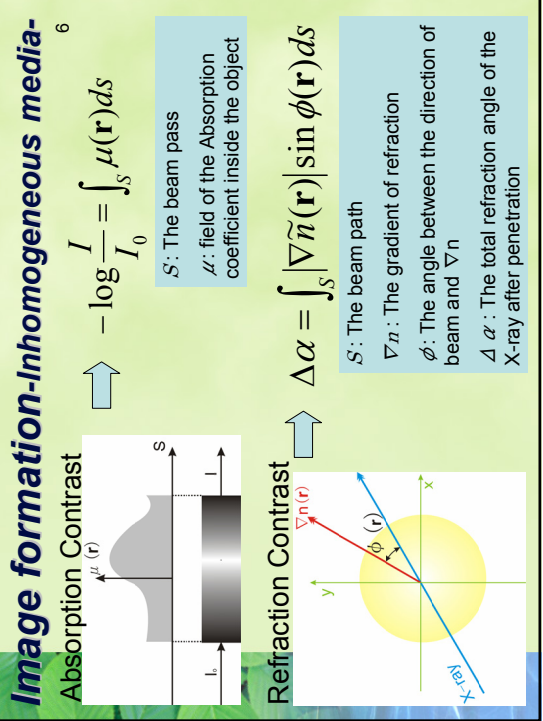
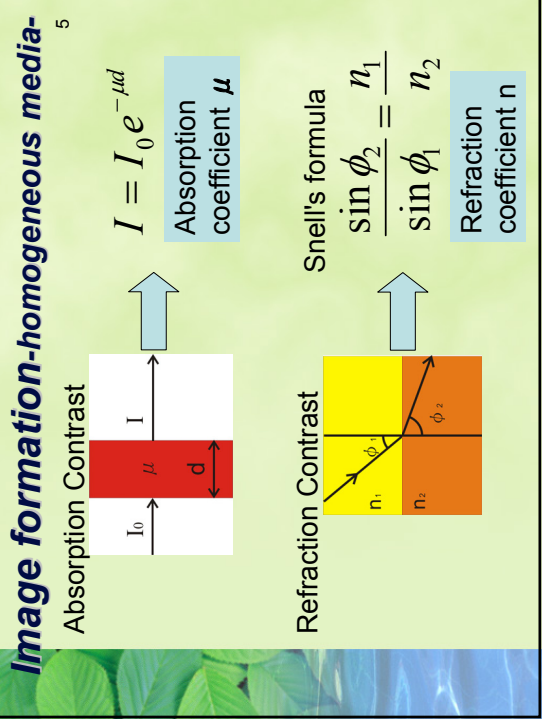
- 1 Large intestine
- 2 Stomach
- 3 Breast



❖ Annual mortality trends for leading causes of death in Japan

## Object

- ❖ We applied the developed X-ray refraction based computed tomography (CT) to a biomedical object
- ❖ The algorithm used in this study to reconstruct CT images was made in our group
- ❖ Reconstructed images of breast cancer show details invisible in the absorption-based CT



## **Example: The absorption and refraction images**

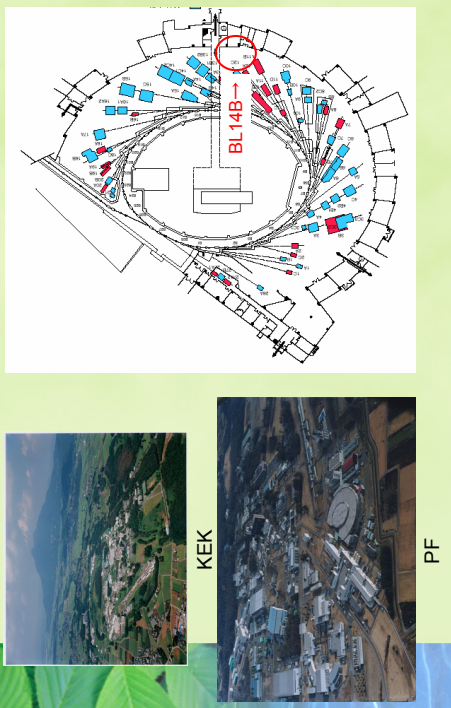
9



- We have to separate, Absorption image and Refraction image using DEI method.
- The absorption and the refraction images of the hand of the mouse.

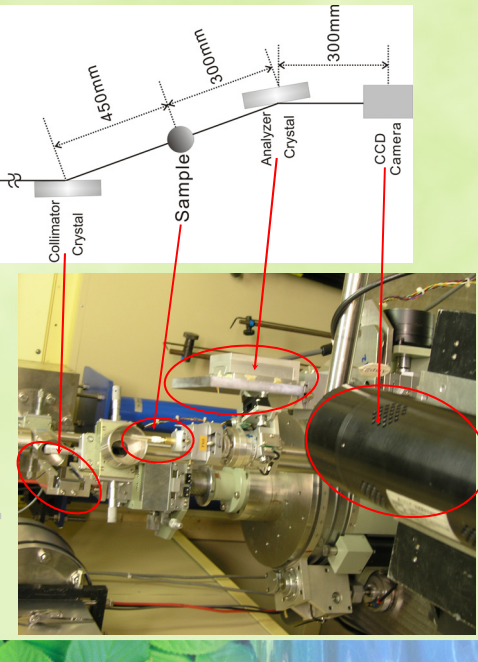
## **BL 14B at Photon Factory KEK**

10



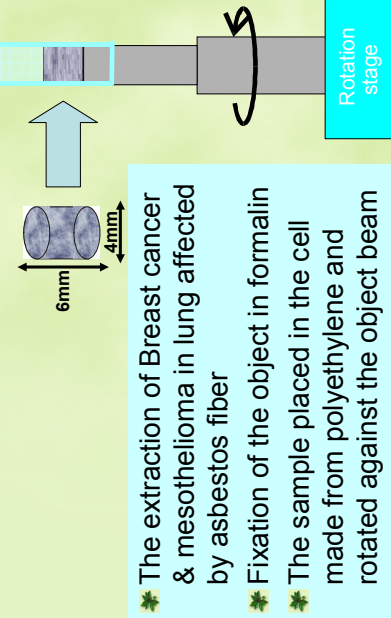
## **Set-up**

11



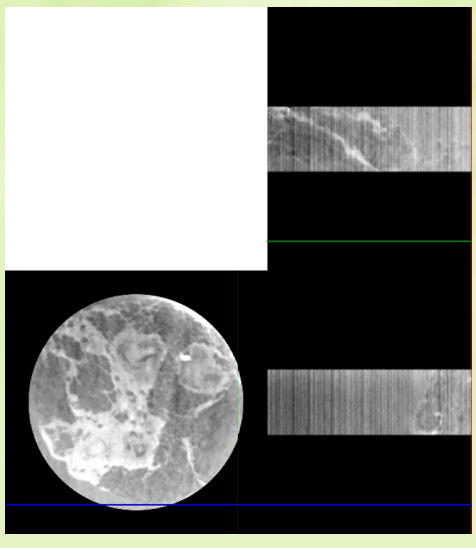
## **Sample**

12



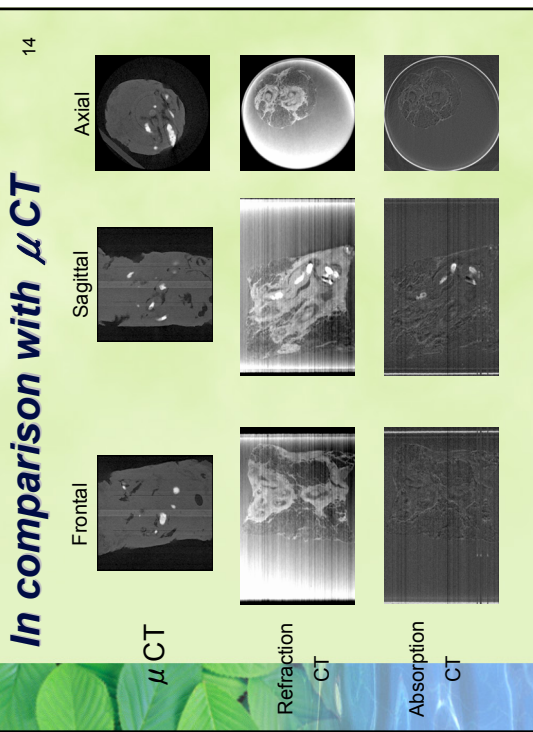
## Movie of breast cancer

13

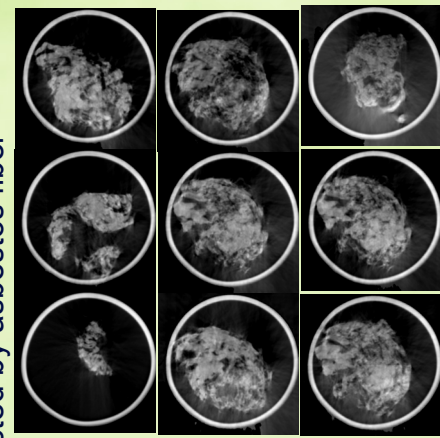


## In comparison with $\mu$ CT

14



## Observation of mesothelioma in lung affected by asbestos fiber



## Conclusion and issues

15

- \* This study is the first attempt at application to the X-ray refraction based CT of real biomedical object.
- \* The x-ray refraction based CT system allowed successful visualization of small structures without adding contrast medium.
- \* We can visualize not only calcification but also breast cancer nest and lung mesothelioma.
- \* In future, we plan to observe clinical sample.

## **Acknowledgement**

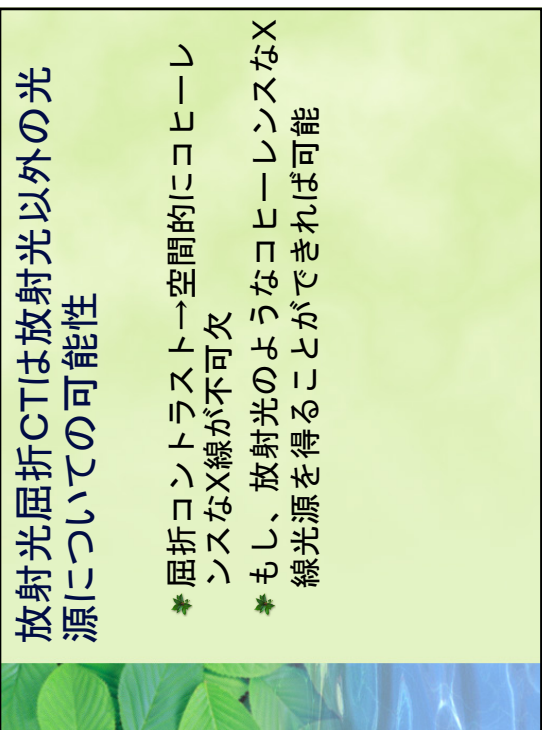
The experiment was carried out at the KEK-PF with the approval of the Program Advisory of the Photon Factory. (2004PF23)(2005PF08).



**Thank you for your attention.**

## **屈折コントラストに基づくCTの今後 展望**

- \* 高分解能
- \* 高コントラスト分解能
- ↓
- 病理学の分野での応用  
(病巣の広がり、深さ情報...)



**放射光屈折CTは放射光以外の光  
源についての可能性**

- \* 屈折コントラスト→空間的にコヒーレンスなX線が不可欠
- \* もし、放射光のようなコヒーレンスなX線光源を得ることができれば可能

## DEI法を用いる理由

- \* DFIによるCTアルゴリズムは現在開発中
- \* DEI法による屈折コントラストCTでのデータを最大限に得る。
- \* DFIによるCT、DEIによるCTの比較。

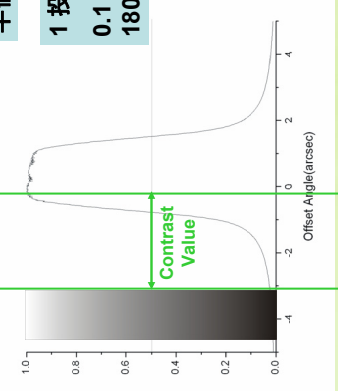
## 屈折コントラストの利点

- \* 屈折コントラスト→試料を形成する物質の密度の違いによる屈折率の変化
- \* 吸収コントラスト→軟部組織の描画は難しい
- \* 屈折コントラスト→軟部組織の描画を非常に得意

## 撮影時間

ロッキングカーブ  
半幅2点で撮影

1投影像 → 0.1sec  
0.1ごとの回転合計  
1800枚撮影 → 3時間



## ロッキングカーブの半幅の値の2点で撮影の理由

- \* DEI法の性質上、異なる物質の境界にゴーストが見えます。これを解消するためにには高角側、低角側の二回の撮影が必要

Low angle side      High angle side

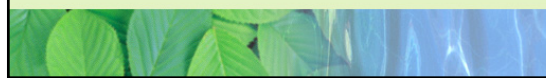


## 屈折コントラストに基づく手法

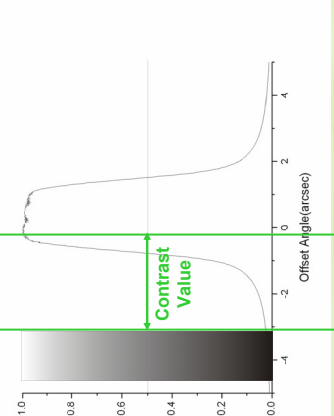
- Maksimenko A, Ando M, Sugiyama H,  
Tetsuya Y, Computed topographic  
reconstruction based on X-ray refraction  
contrast, Appl Phys Lett **86**, 124105-1-  
124105-3, 2005
- Maksimenko A, Ando M, Sugiyama H,  
Hashimoto E, "Possibility of computed  
tomography reconstruction of cracks from X-  
ray refraction contrast", Jpn J Appl Phys **44**,  
633-635, 2005

## 分解能について

空間分解能→約20  $\mu\text{m}$   
CCDカメラピクセルサイズ6.7  $\mu\text{m}$ による  
制約  
角度分解能→約10 marc sec  
今後の実験で詳細に測定する。



## コントラストと構成物質の関係

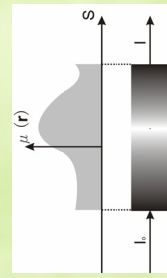


ロッキングカーブの最高点から、最下点までの屈折率の変化を  
画像として表示しています。

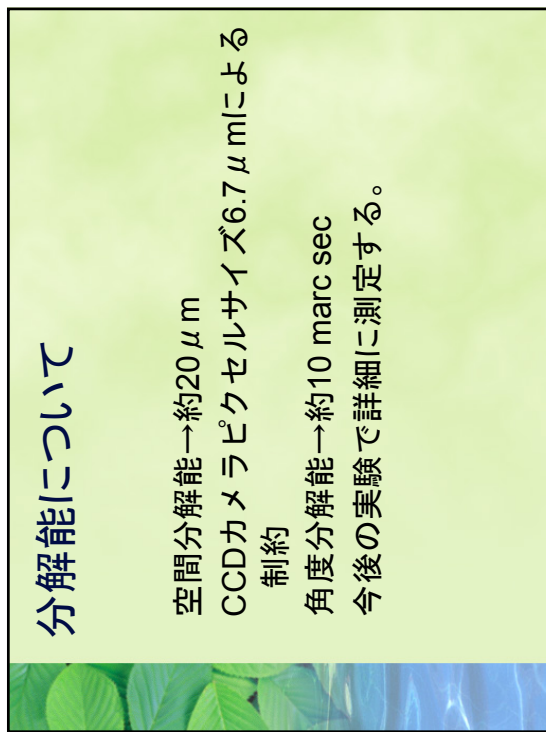
## Formula-Absorption contrast-

However if the object is not  
homogeneous,

$$-\log \frac{I}{I_0} = \int_S \mu(\mathbf{r}) dS$$



S : The beam pass  
 $\mu$  : field of the Absorption  
coefficient inside the object



## Formula of refraction contrast

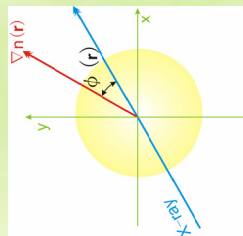
When X-ray penetrate thorough inhomogeneous media

$$\Delta\alpha = - \int_S |\nabla \tilde{n}(\mathbf{r})| \sin \phi(\mathbf{r}) dS$$

$S$ : The beam path

$\nabla n$ : The gradient of refraction  
 $\phi$ : The angle between the direction of beam and  $\nabla n$

$\Delta\alpha$ : The total refraction angle of the X-ray after penetration

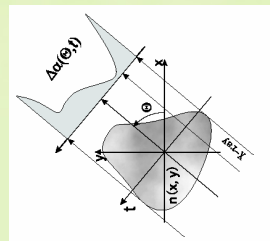


## Formula of refraction contrast

The whole refraction angle of the X-ray after penetration in sample

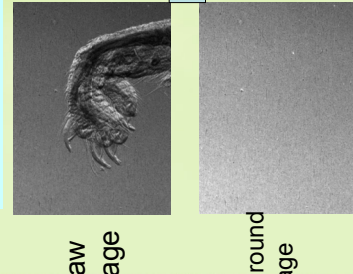
$$\Delta\alpha(\Theta, t) e^{i\Theta} = -i \int_S |\nabla \tilde{n}(\mathbf{r})| e^{i\theta} dS$$

$\Theta$ : The rotated angle  
 $S$ : The beam path



## Suppress of background

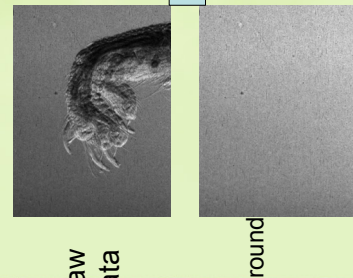
Low angle side



After the suppress of background process at low angle side

## Suppress of background

High angle side



After suppressing background

## Suppress of background

Background



Background

## Suppress of background

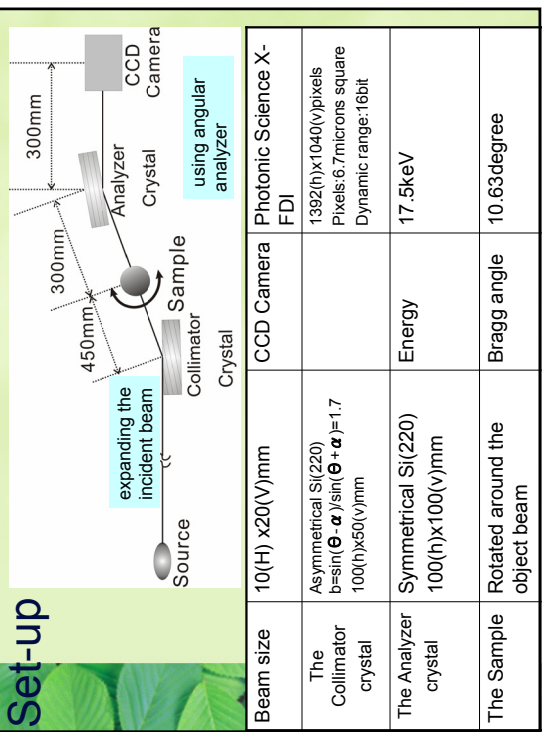
Background



After suppressing background

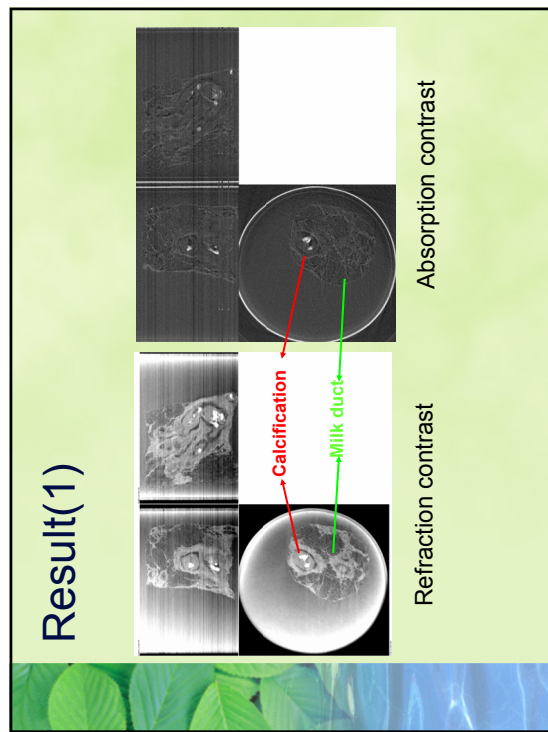
## Experimental Conditions at KEK-PF BL14B

Beam energy	2.5GeV
Initial beam current	450mA
Insertion Devices	5T Vertical wiggler
Monochromatic	Si(111) band width 10~20keV
Beam size	10(H)mm x 20(V)mm

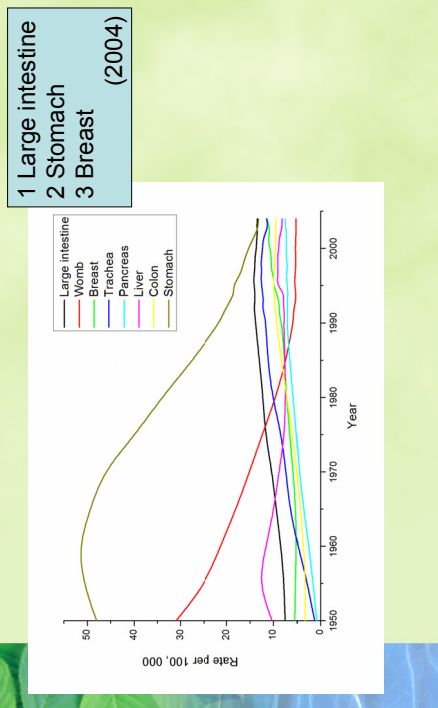


**$\mu$  CT**

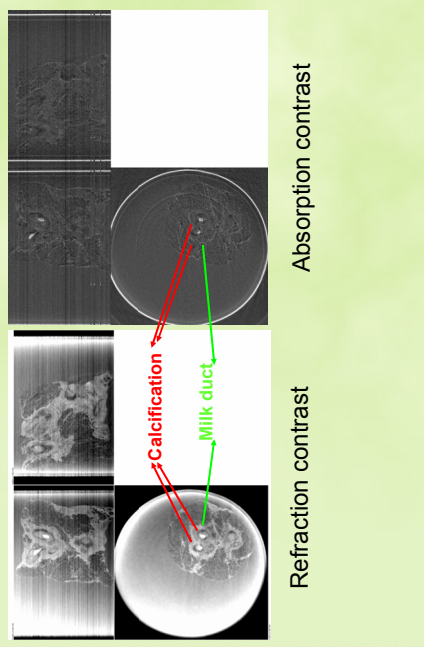
$\mu$ CT (R_mCT)	Voltage	50kV		
	Current	160 $\mu$ A		
	Focus size	8 $\mu$ m		
Matsumoto Dental University	X-ray tube	hamamatsuPhotonics L9181S		
	X-ray sensor	hamamatsuPhotonics CS C7336		
Voxel matrix	Voxel size ( $\mu$ m)	Imaging volume(mm)	focus spot to rotation center distance(mm)	rotation center to sensor distance(mm)
512x512x3 84	100x100x100	51.2x51.2x38.4	250	100
512x512x3 84	30x30x30	15.3x15.3x11.5	75	300
512x512x3 84	10x10x10	5.1x5.1x3.8	25	300



## *Mortality from malignant neoplasms by site in Japan*



## Result(2)



## LEBRA Linac の特性

量子科学研究所 早川 建

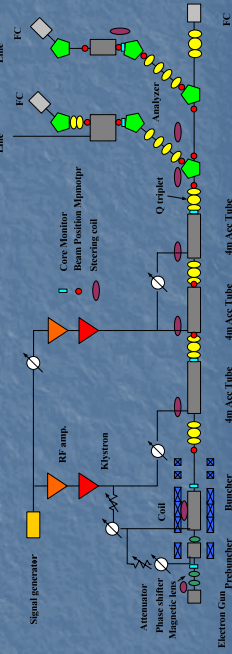
1

## 目次

- Linac の構成
- 電子ビーム変動の測定
  - 軌道変動
  - エネルギー変動
  - 対策

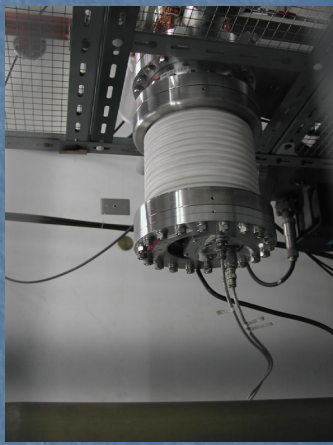
2

## Linac ブロック図



3

## 電子銃



4

## プレパンチャー



5

## パンチャー



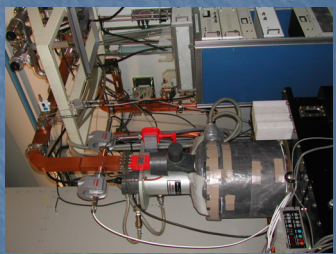
6

## 加速管



7

## クライストロン



8

## Linac 全景



9

## Undulator & PXR chamber



10

## 制御室の風景



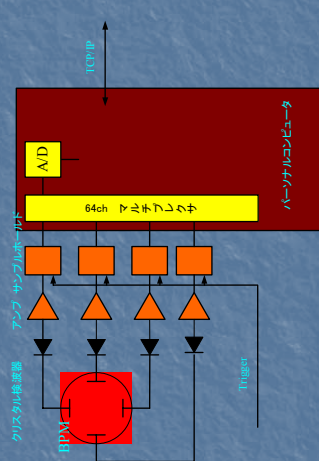
11

## ビーム測定

- 電流値：コアモニター  
(エライトコアを用いた電流トランジス、非破壊型)  
：ファラデーカップ  
(ビームダンプ兼用)
- ビーム位置：Beam Position Monitor (BPM)  
(ビームダクト内に取付けられたアンテナにより、  
電子ビームによって励起されたマイクロ波を  
ピックアップする。非破壊型)

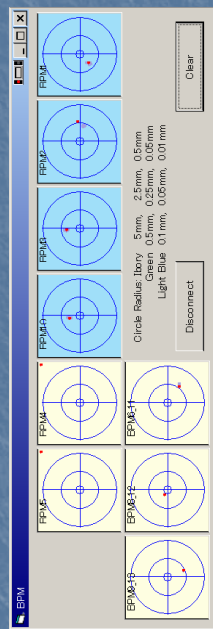
12

## BPM & BPM server



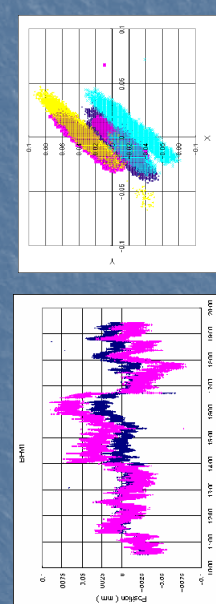
13

## BPM client sample



14

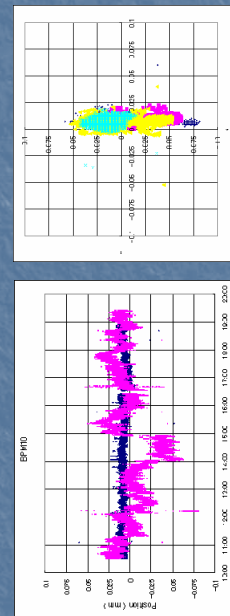
## 電子銃？に起因する位置変動



BPMIIにより測定したビーム位置の時間的変動。16~40Hz領域で位置調整をしている。  
ビーム位置約2時間づつ色分けされていて、  
ここでは示していないが、電子銃から電流を取り出し始めた数時間にわたり、  
たって、ビーム位置がドリフトする。総変位量は0.5mm程度にもなる。

15

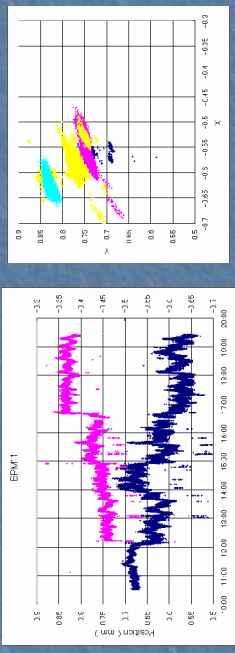
## Linac 出口におけるビーム位置



この場所では、ビームは、水平方向には、ほとんど動いていない。

16

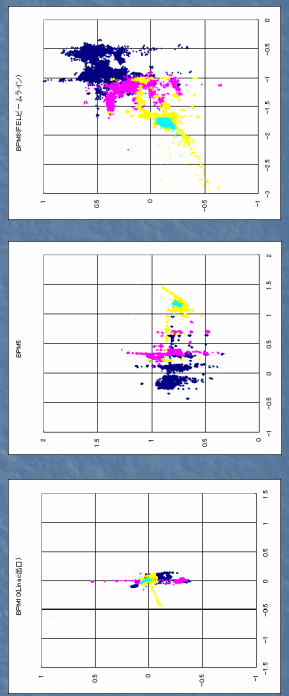
## アナライザー通過後のビーム位置



PXRビームラインではアナライザー通過後もこの程度の変動に収まっているが、  
FELビームラインでは、変動が拡大している。

17

## FELビームライン



Linacを出した後変動の振幅が次第に拡大している。集束条件が不適当か。  
分布が離散的なのは、軌道調整をしているためである。

18

## ビーム変動の影響

- 電子銃に由来するとと思われる振幅0.1mm程度の変動がLinac全域とPXRビームラインで観測されている。
- FELビームラインでは、変動が5倍くらい拡大している。
- この変動のPXRに与える影響は、明らかではないが、FELの発振状態には影響を与えると思われる。

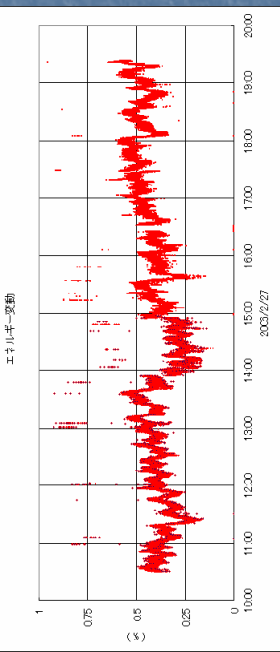
19

## エネルギー測定

- アナライザーを通過中のビームは、エネルギーの違いにより、水平方向に分散を生ずる。
- 最初の偏向電磁石直後に設置されたBPM[1]によってビームの水平位置を読み取れば、そのビームの持つエネルギーを知ることができます
- 换算係数は  
 $0.24\%/\text{mm}$

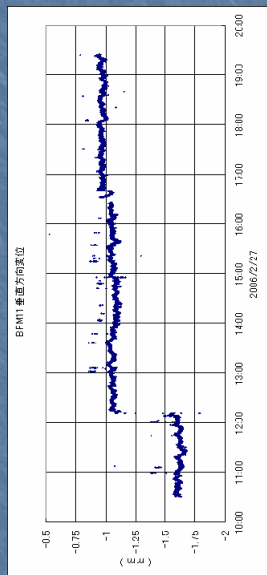
20

## PXR実験時のエネルギー変動



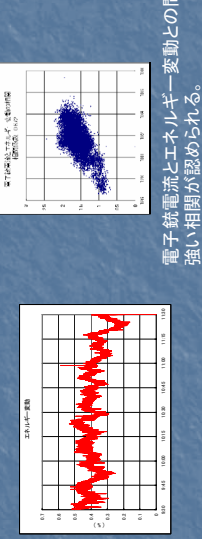
21

## アライザー 垂直方向変位



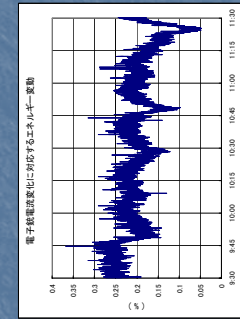
22

## 加速電流とエネルギー変動



23

## 加速電流とエネルギー変動



データから概算した電子銃電流変化に対するエネルギー変動の割合は、  
0.15%/mA

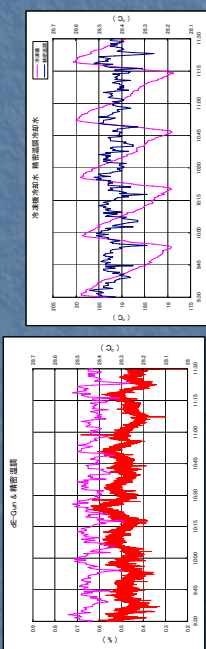
24

加速エネルギー変動  
はおよそ、  
17 MeV/A/m である。  
加速管の総延長はおよそ12mである  
から、全変動は  
0.2 MeV/mA

100 MeV のビームに對して、  
0.2%/mA

実験値と矛盾しない

## 加速管冷却水温度とエネルギー変動

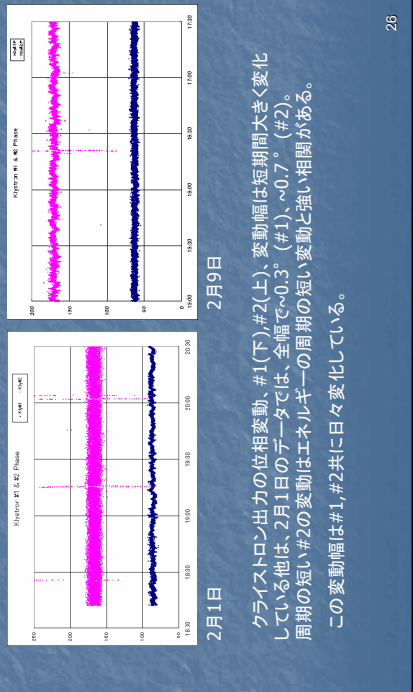


25

精密温調水温とエネルギー変動から  
電子銃電流変動の寄与分を差し引いた量。  
同じ周期の変動を示している。

26

## クライストロン出力の不安定性

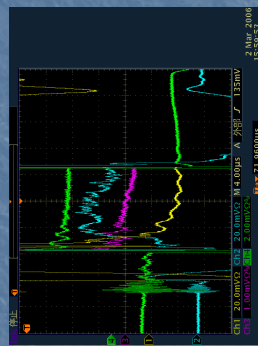


26

クライストロン出力の位相変動、#1(下)、#2(上)、変動幅は短時間大きく変化  
している他のデータでは、全幅で~0.3、(#1)、~0.7、(#2)。  
周期の短い#2の変動はエネルギーの周期の短い変動と強い相関がある。  
この変動幅は#1、#2共に日々変化している。

## Klystron#2 位相波形異常

Klystron#2の位相波形が時々異常な形状を示す。左の図ch2(水色)  
正常時は#1(ch1 黄色)のような波形  
この時、細かい構造が表れると共に、エネルギーが変化すると共に軌道も動く  
ようである。  
この現象はクライストロン内部の電子ビームの挙動によるものらしい、  
集束の状態を変えると、発生頻度が変化する。



27

## エネルギー変動の影響

- 電子ビームのエネルギーは主に以下の要因で変動している。
  - 電子銃放出電流の変動
  - 加速管冷却水の温度変化
  - クライストロン出力の不安定性
  - PXRに与える影響は不明。
  - FEIは波長が変動し、発振の状態も変わる。

28

## 対策 I

- 軌道の変化は、電子錠に由来するにすれば、カソードを交換する他には対策は無いようと思われる。ガソードを交換しても直る見込みはあまり無い。
- 電子錠から放出される電流は、電子錠のグリッド電圧を制御することにより、変化しないようにすることは可能である。但し、電子ビームの性質が僅かに変化する。

29

## 対策 II

- 加速管冷却水の温度変化は小さくできる可能性がある。現在工事中。
- クライストロンの位相変動は、原因不明である。
- 加速エネルギーは加速位相を制御することにより、変動幅を小さくすることはできるが、ビームの状態を変えるため、PXRの安定化には有用であっても、FELの発振を長時間維持するのには難しい。

30

他に変化しているものは無いのか

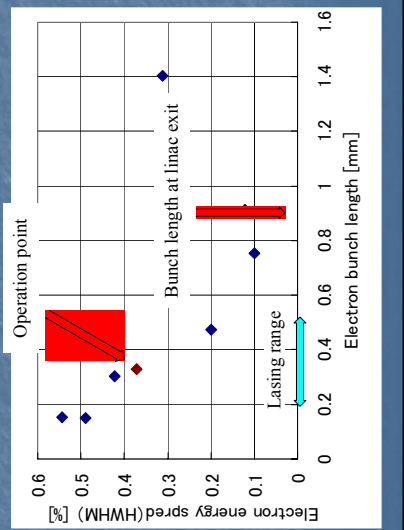
- きっとあります。

31

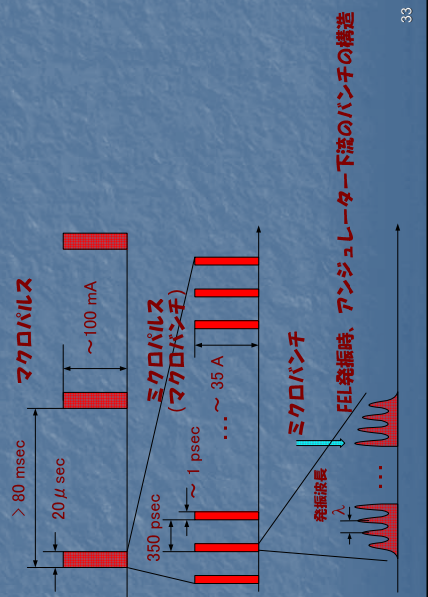
FIN

32

## FELビームラインにおける 電子ビームのバンチ長



## 電子ビームとFELの時間構造



 **Discharge Plasma & Laser Laboratory, College of Science & Technology, Nihon University**

**自由電子レーザー転写による  
機能性材料の直接描画**

Direct patterning deposition of functional materials  
by free electron laser induced forward transfer method

鈴木 薫 (日本大学 理工学部 電気工学科)  
Kaoru SUZUKI \*

College of Science and Technology, Nihon University  
Department of Electrical Engineering,

Tel. & Fax. : 81-3-3259-0770, E-mail : [kaoru@elec.cst.nihon-u.ac.jp](mailto:kaoru@elec.cst.nihon-u.ac.jp)

学術フロンティア推進事業  
「可変波長高輝度単色光源の高度利用に関する研究」  
平成18年3月17日  
日本大学 理工学部 船橋校舎 1325室

1

**Discharge Plasma & Laser Laboratory, College of Science & Technology, Nihon University**

(a) 目的物質をレーザーで融点以上にし、溶解・蒸発による液体分子の蒸発へ導く

(b) Nd-YAG Laser、絶縁真空で電子線等により融点以下にし、溶解・蒸発・昇華による液体分子の基板への導入

(c) レーザー被着：被着率による融点以上に融解する、溶解・蒸発による液体分子の蒸発へ導く

**Discharge Plasma & Laser Laboratory, College of Science & Technology, Nihon University**

The diagram illustrates a sophisticated experimental setup for plasma and laser research. Key components include:

- Discharge Plasma:** A central unit with electrodes and a plasma source.
- Laser:** A system with a laser diode, lenses, and mirrors.
- Spectrometer:** A device for measuring light spectra.
- Computer:** A control and data processing unit.
- Other Components:** Various sensors, filters, and optical elements.

Annotations in Japanese provide additional context for specific parts and processes.

## 真珠核非破壊検査に関する研究の背景

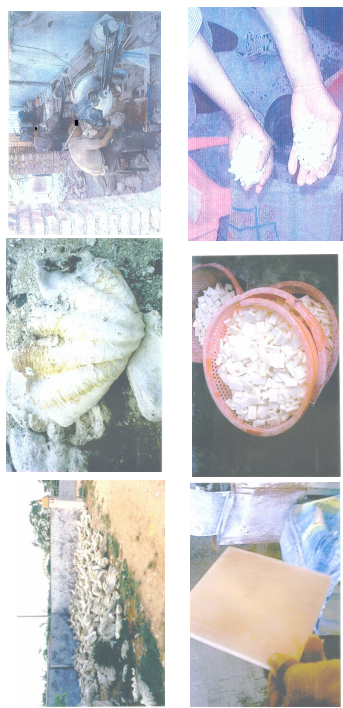
現在、真珠核の原材料として米国産のどぶ貝（ミシシッピ川、テネシー川）イジガイ科ワボタンガイ貝を原料としている。ところが、数年前から中国産のシャコ貝を原料とした安価な核が世界の養殖場に販売され、ワシントン条約によって禁止されているシャコ貝の核が市場に流出したため問題となっている。

核の時点でもシャコ貝核とどぶ貝核の判別は困難であり、真珠になつてからは全く判別できないのが現状である。シャコ貝核の真珠は穴開けの際に核が離れるので、その時点まで購入者も分からず状況である。また、米国よりワシントン条約違反のシャコ貝の核を使つた真珠の輸入は禁止しなければCIBJO（International Confederation of Jewelry Silverware, Diamonds, Pearls and Stones）の日本代表にも連絡が入つており、国際問題となっている。

そこでシャコ貝核真珠とどぶ貝核の非破壊による検査方法の確立と判別装置の開発が急務となっているため、本研究を遂行するものである。

5

## シャコ貝核製造所　中国　海南島　2003.10.3



6

## 【 Background 】

真珠の母貝：原産地表示 アコヤ貝：三重、姫島（日本） “Phuket” Thailand “Quang Ninh” Vietnam	直描マーキング； レーザマーク；微小穴を穿孔 ドットインパクト；衝撃を与える インクジェット；インクに毒性 自由電子レーザ転写
白蝶貝：ホルガ、カバ 黒蝶貝：カバ、沖縄	レーザ誘起前方転写：LIFT (Laser Induced Forward Transfer)
真珠核 ドブ貝：米ジッパー河 (真珠養殖)	転写する材料を遷写しない 蛍光材料等を添加可能(MAPLE,DW,Matrix assisted pulsed laser evaporation direct write相当) 自由電子レーザ：近赤外光(0.8~6 μm)を発振し分子振動に共振起させたアレーヨン可能 ポリ乳酸；NFC由来の生分解性分子（無毒性）PVC,PS,PPと同程度の機械的特性を有する エマルジョンは90°Cで硬化
白蝶貝、池蝶貝（真珠養殖） シャコ貝：ワンドル条約違反 アコヤ貝、セミカ（人工物）(Fig.7)	蛍光剤の添加 無毒性 生体蛍光(400~600nm)・可視光 と重複しない近赤外域蛍光 貝は近赤外光を透過
真珠は非常に高価であるのに、市場に出ると原産地を内包する様を判定することは困難 マーキングが必要 著美性（美しさを損ねない） 無毒性（人の肌に触れ、養殖貝は貝に挿入するため）	

## 【 Object 】

- 判別後のドブ貝核とシャコ貝核及び養殖場の原産地表示等を行うために、マーキングが必要  
○マーキングは審美性に優れ、無毒性が必要
  - トウモロコシを原料とした生分解性高分子
  - ポリ乳酸エマルジョン
- 貝の生体蛍光と識別が容易で、無毒性が必要
  - 識別用蛍光剤：心・肝臓機能検査薬：ICGなど
- 任意の溶液を所定のペターンに直接描画
  - レーザ転写：Laser Induced Forward Transfer
  - ポリ乳酸の固有な分子振動に共鳴吸収する波長を選択
    - 自由電子レーザを光源
- 識別用蛍光剤添加ポリ乳酸による自由電子レーザ転写の検討
- ポリ乳酸と識別用蛍光剤の転写時における損傷の検討

8

## 【 Experimental apparatus 】

The diagram illustrates the experimental setup for electron beam lithography. A 'Free electron laser' beam is directed through a 'Focusing lens' towards a 'Base plate (Sapphire)'. The base plate is composed of a 'Substrate (Pearl or sapphire)', a 'Dot mark', and a 'Spin coated poly lactic acid containing rhodamin6G, IR806 or ICG' layer.

Schematic diagram of the free electron laser induced forward transfer method

## [Experimental setup]

The experimental setup is illustrated in Fig. 1. A focused LEBRA (Laboratory for Electron Beam Research and Application, Institute of Quantum Science, Nihon University)-FEL (Free-Electron Laser) beam was irradiated on to a target.

The beam from FEL was directed though a sapphire focusing lens (Focus length: 8.4 mm) and sapphire base plate of target, then just focused on PLA layer about 300 micron of beam spot.

The target was prepared by spin coat method which were mixed the PLA sole of matrix polymer and containing rhodamine6G (Rh6G-0.01 wt%,  $\lambda$  max:528nm), IR806 (C37H44CN2NaO6S2-0.1 wt%,  $\lambda$  max:800nm), Zinc Phthalocyanine (ZnPc-0.1 wt%) or Indo Cytanine Green (ICG-0.05wt%,  $\lambda$  max:807nm) of fluorescence agent on the sapphire base plate.

The coated side of the target was separate from the receiving sapphire substrate by 80

The surface morphology and physical properties were examined a microscope (NIKON, ME600) Fourier transform infrared spectrophotometer (SHIMADZU FTIR-8900).

The optical properties were measured by a UV-visible spectrometer (SHIMADZU, UV-3150), and the HeCd laser (KINNOMON, IK5351IRD, 325/442 nm) for PL spectrum.

[ Property of LEBRA-FEL ]

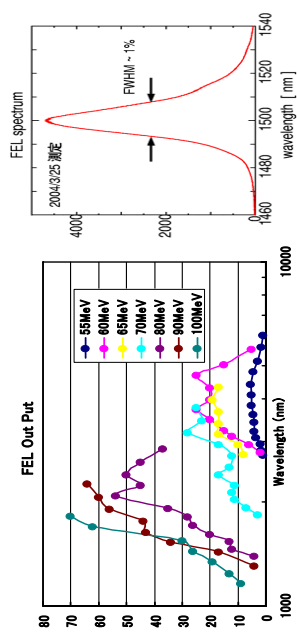
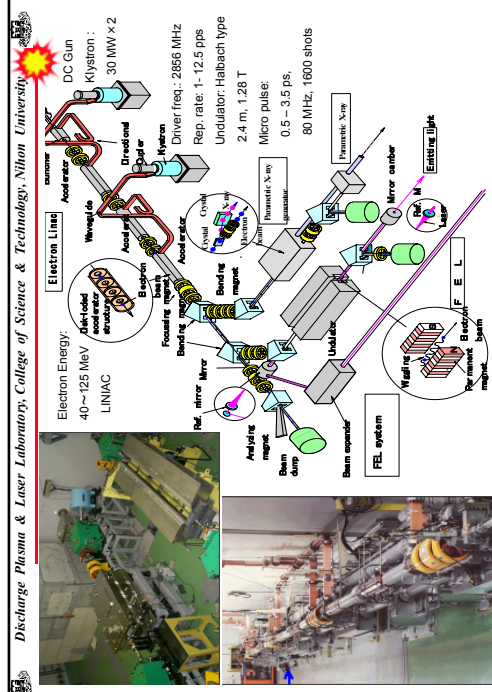
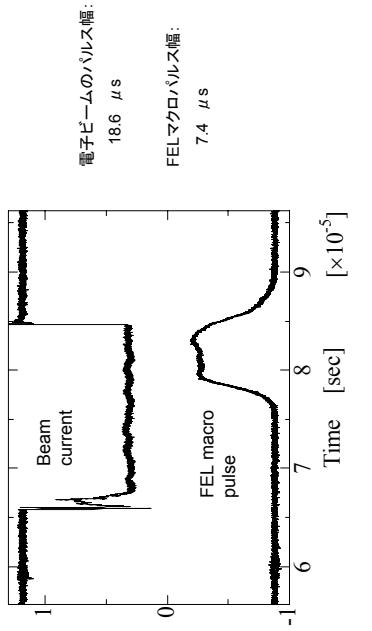


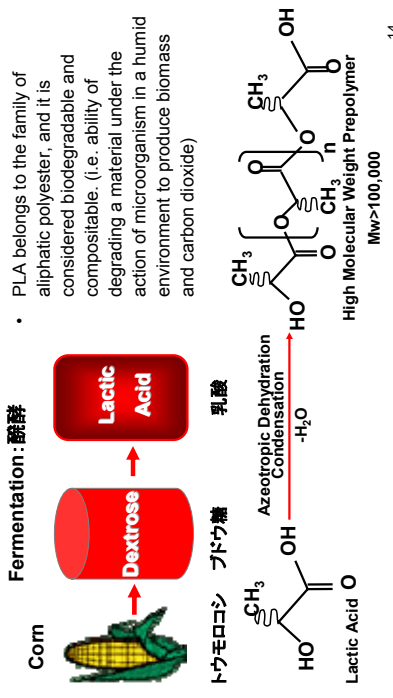
Figure1-C Output and Spectrum property of FEL.



**[Fig.1-B Laboratory for Electron Beam Research and Application: LEBRA-FEL]**



### Azeotropic Dehydration Condensation of poly lactic acid.



14

## Physical Properties of poly lactic acid

Properties		PLA	PLA	Properties	Poly Lactic Acid	Poly Styrene	Poly Vinyl Chloride	Poly Propylene
分子量 Molecular Weight	100,000 - 300,000	ガラス転移点 (Glass Transition Temperature)	55 - 70 (°C)	耐力 Yield Strength	49 MPa	49 MPa	35 MPa	35 MPa
融点 Melting Temperature	130 - 215 (°C)	伸長率 Elongation	2.5 %	3.0 %	10 %	10 %	10 %	10 %
結晶性: Crystallinity	10 - 40 %	引張率 Tensile Modulus	3.2 Gpa	3.4 Gpa	2.6 Gpa	1.4 Gpa	1.4 Gpa	1.4 Gpa
表面エネルギー Surface Energy	38 (dynes)	モジュラリティ Modularity	19 - 20.5 ( $J^{0.5} \text{ cm}^{-1/2}$ )	溶解性パラメータ-Solubility Parameters	8.1-9.1	溶融熱 Heat of melting (J/g)	70 MPa	80 MPa
溶解性パラメータ-Solubility Parameters		曲げ強さ Flexural Strength		融點粘度指数 Melt-Index range		49 (g/10min)	49 MPa	49 MPa
溶融粘度指数 Melt-Index range	1.25	融點粘度指数 Melt-Index range	2 - 20 (g/10min)	Melt-Index range				

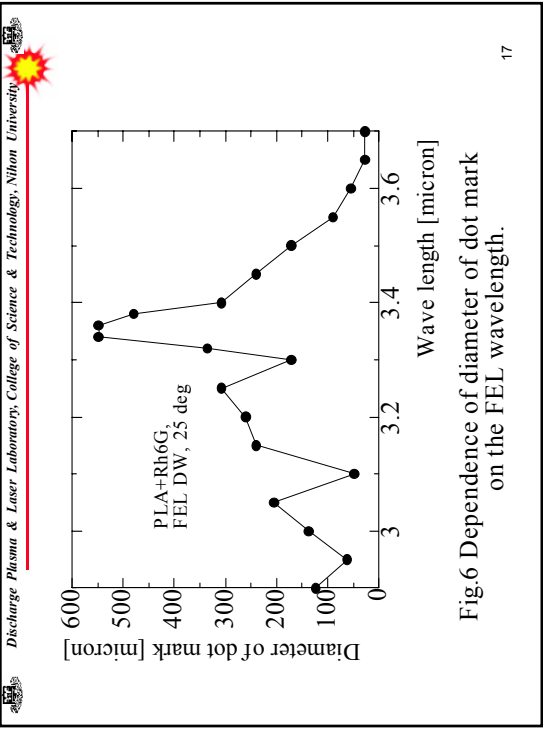
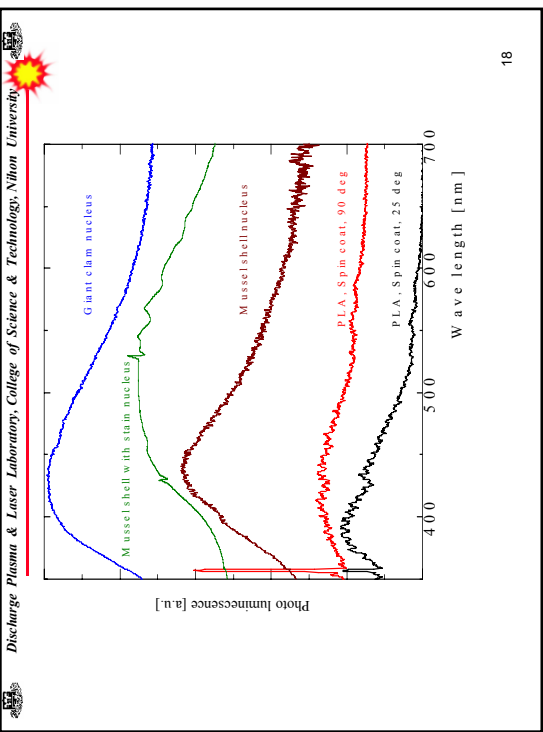
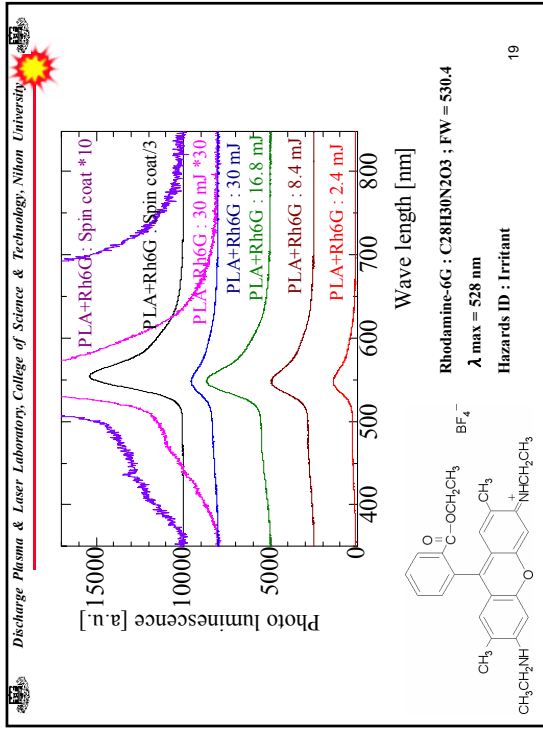


Fig.6 Dependence of diameter of dot mark on the FEL wavelength.

17

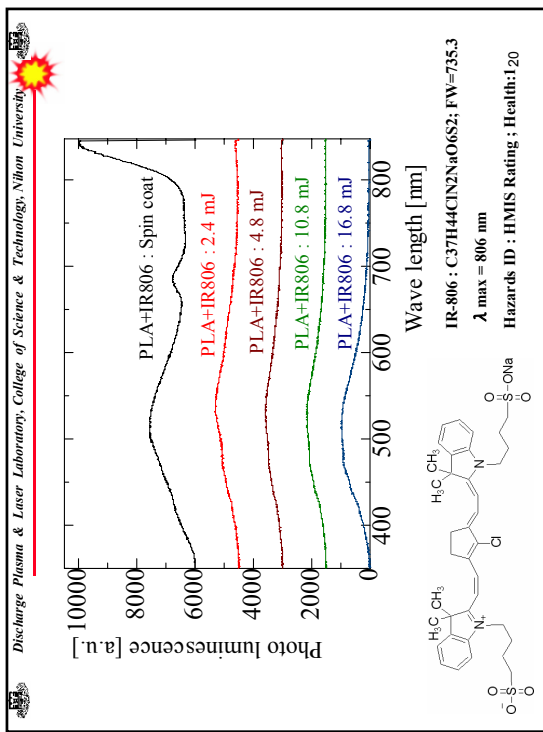


1



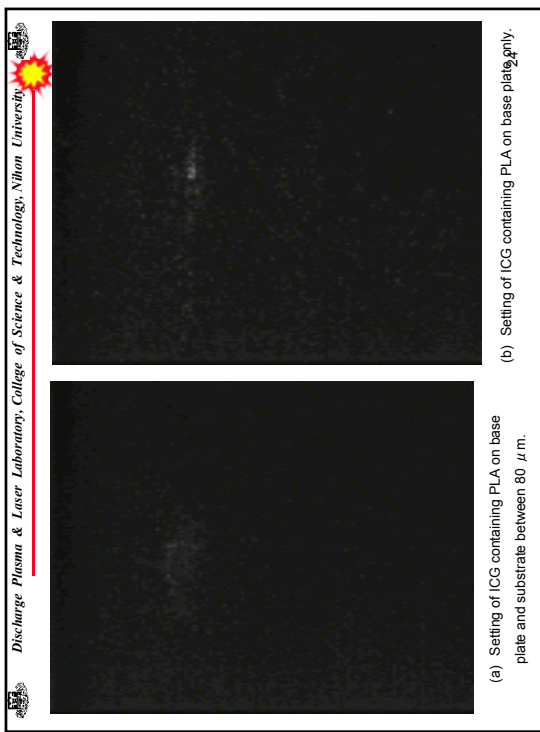
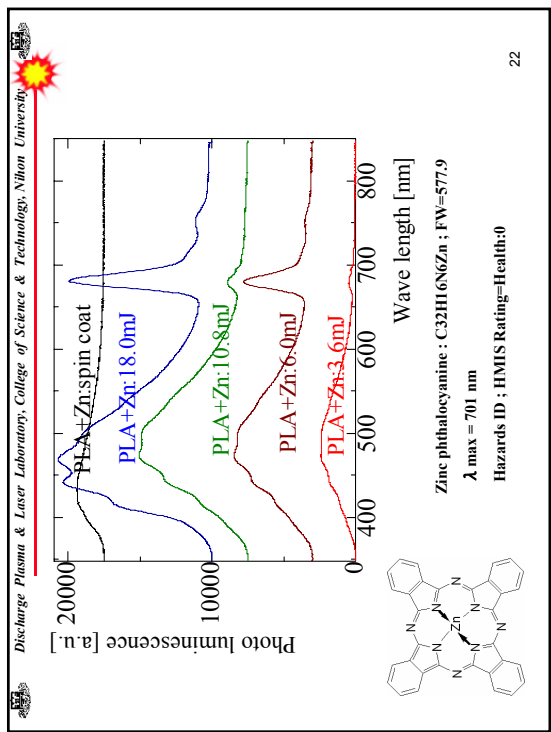
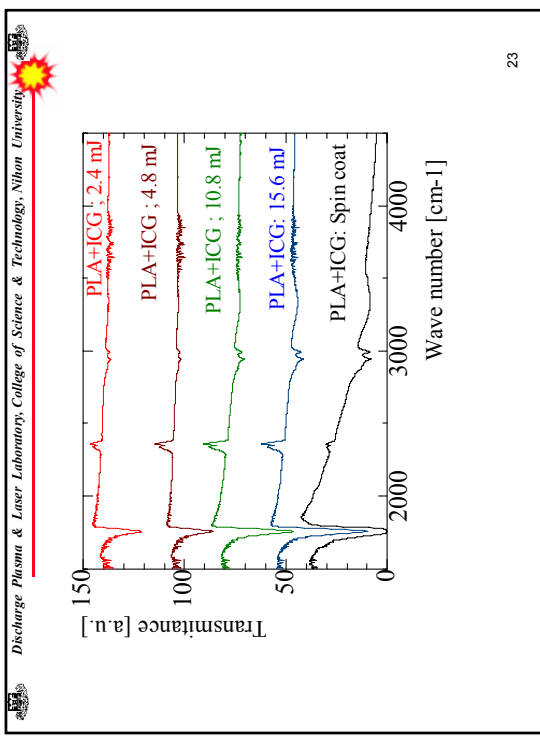
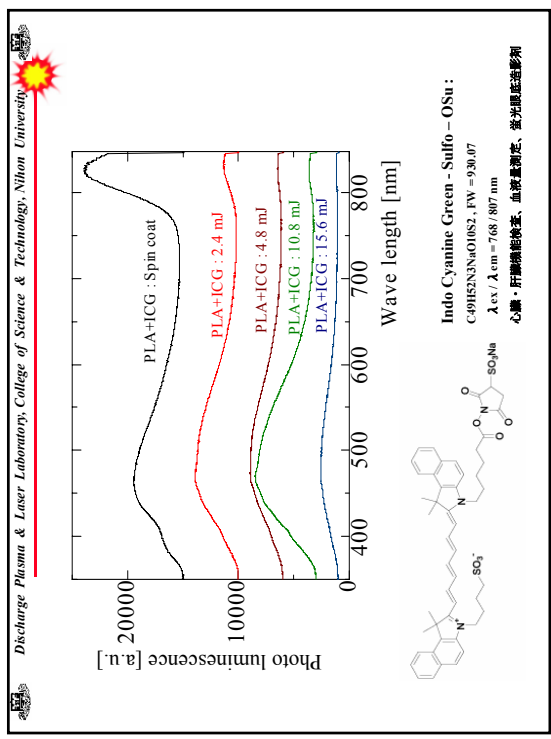
19

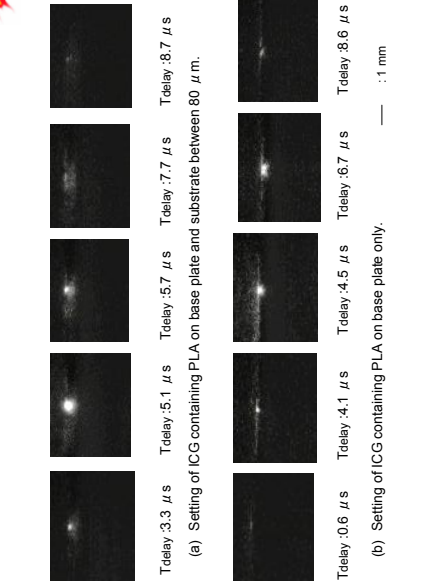
2



1

Sity





Tdelay: 3.3  $\mu$ s Tdelay: 5.1  $\mu$ s Tdelay: 5.7  $\mu$ s Tdelay: 6.7  $\mu$ s Tdelay: 8.7  $\mu$ s

(a) Setting of ICG containing PLA on base plate and substrate between 80  $\mu$ m.

Tdelay: 0.6  $\mu$ s Tdelay: 4.1  $\mu$ s Tdelay: 4.5  $\mu$ s Tdelay: 6.7  $\mu$ s Tdelay: 8.6  $\mu$ s

(b) Setting of ICG containing PLA on base plate only.

— : 1 mm

25

106

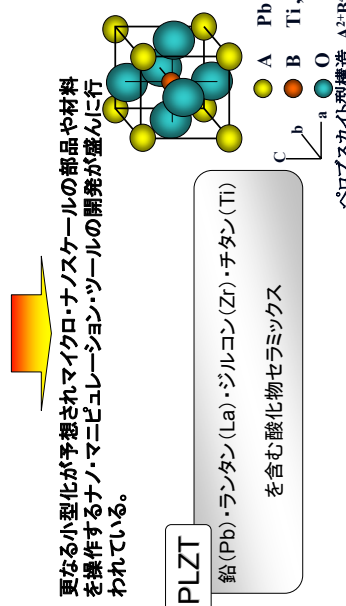
## 【 CONCLUSION 】

- ◎ 真珠や殻の表面を傷つけ付けること無く、無毒な植物を原料とした生分解性樹脂であるポリ乳酸エマルジョンをマーキングの原料とし、任意の落葉を所定のパターンにレーザー転写が可能である。
- ◎ ポリ乳酸の固有な分子振動と共に吸収する波長を選択できる自由電子レーザーを光源としたとき、ドットの間隔は200  $\mu$ m、3  $\times$  3  $\text{mm}^2$  の正方形にマーキングが可能であり、基板側に転写されたポリ乳酸の直径は約30  $\mu$ mであった。
- ◎ 母貝の生体光とポリ乳酸の蛍光は似通った波長であるため、識別用蛍光剤が可能な光領域は液体レーザ媒質のRhodamine6Gを、近赤外光領域はIR806または心臓・肝臓機能検査酵素であるIndo Cyanine Greenを添加した。
- ◎ Rh6Gは蛍光の発光効率が高く自由電子レーザーによるLIFTにおける損傷にも耐えがぶり乳酸や真珠核に用いる貝の蛍光ピーク波長が似通っていることや、劇物であるため毒性が強いので真珠や真珠核のマーキングには不適である。
- ◎ ICGやZnPCは380 nmや780 nm付近の近赤外光領域に蛍光のピークが観測され生体蛍光との識別も容易で、IR806より自由電子レーザーによるLIFTにおける熱損傷に耐えることが判明した。

26

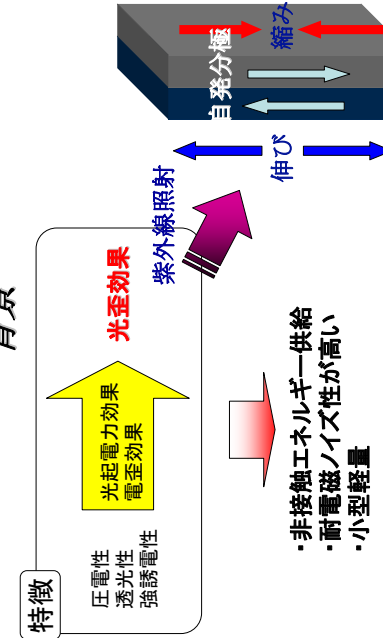
## 背景

マイクロマシン技術は半導体微細加工技術の応用により近年急速な発展を遂げている。

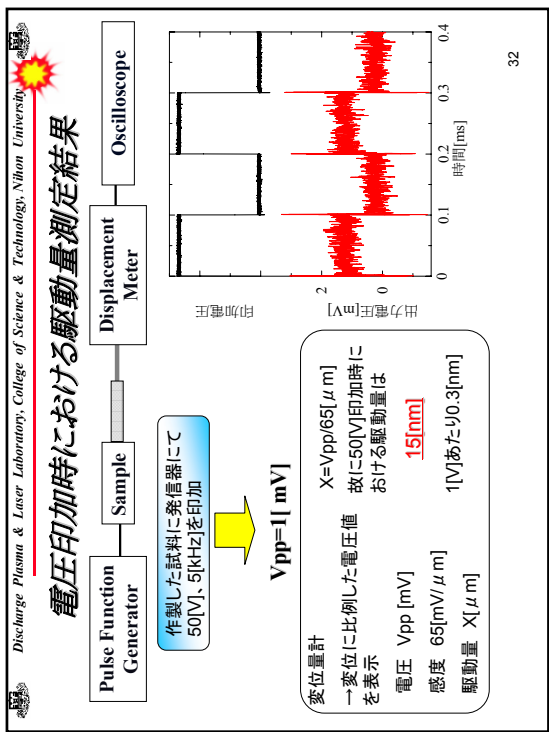
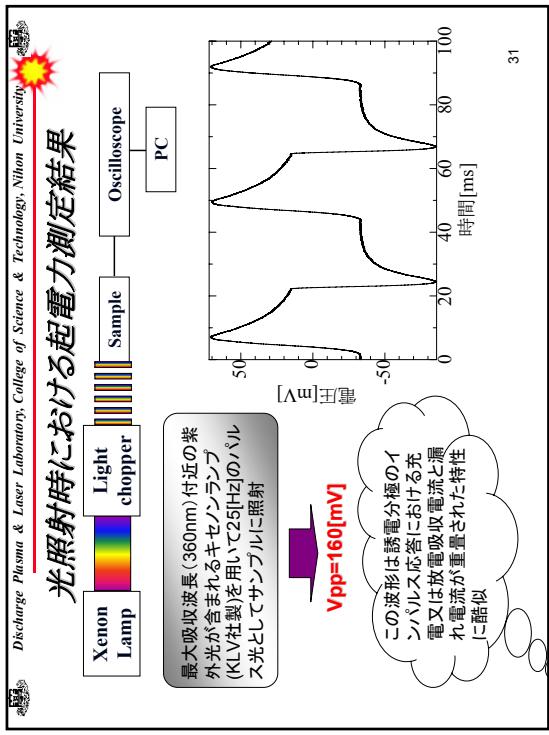
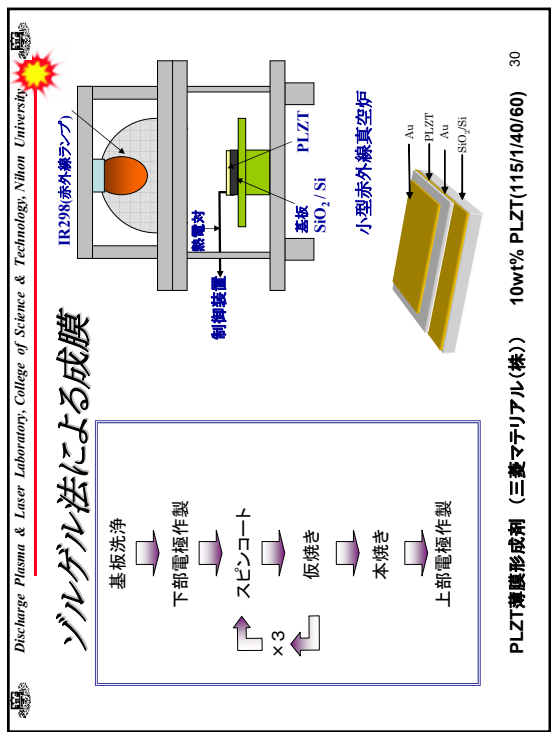
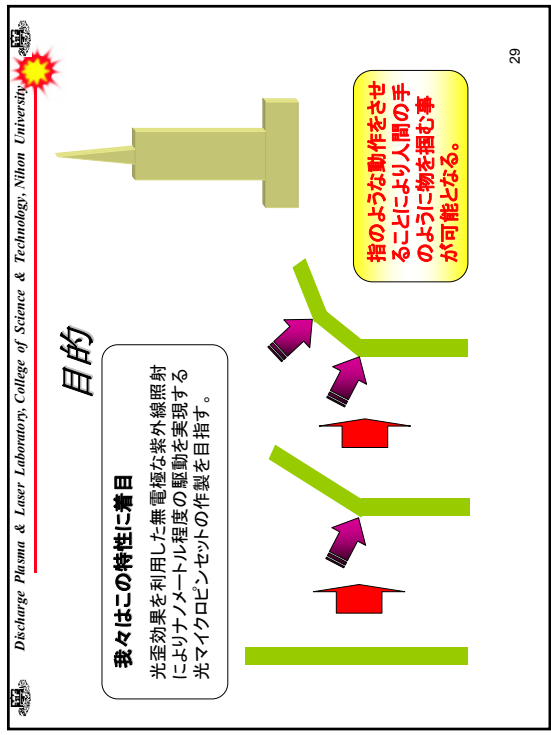


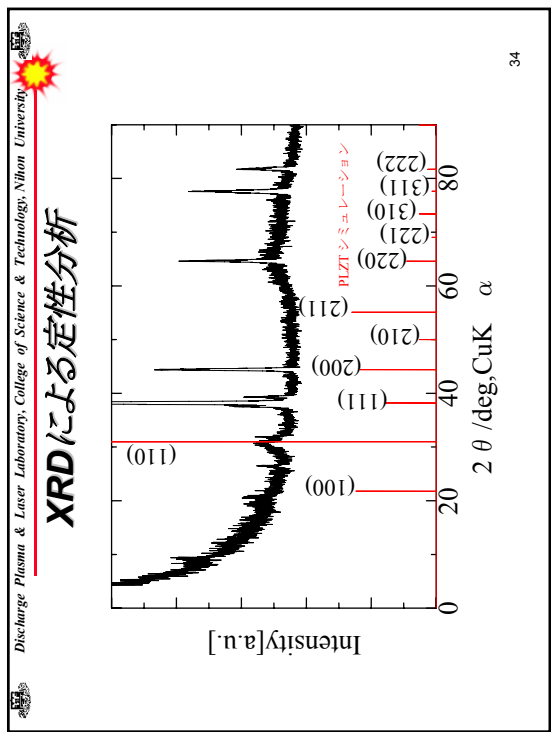
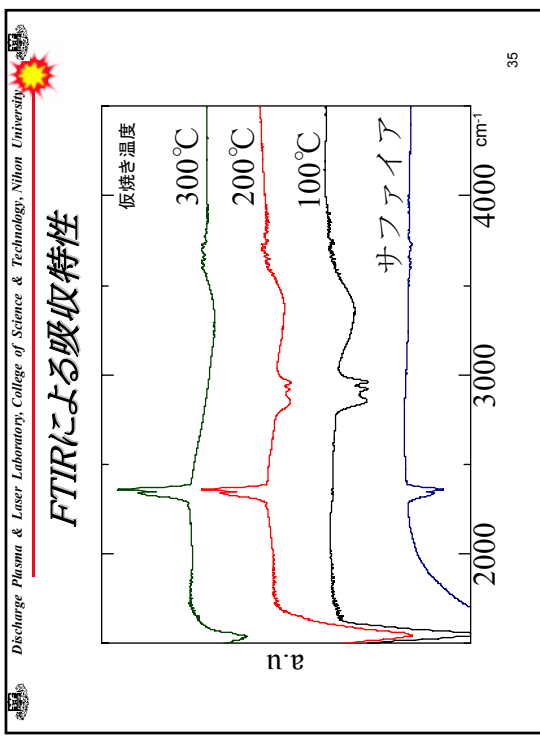
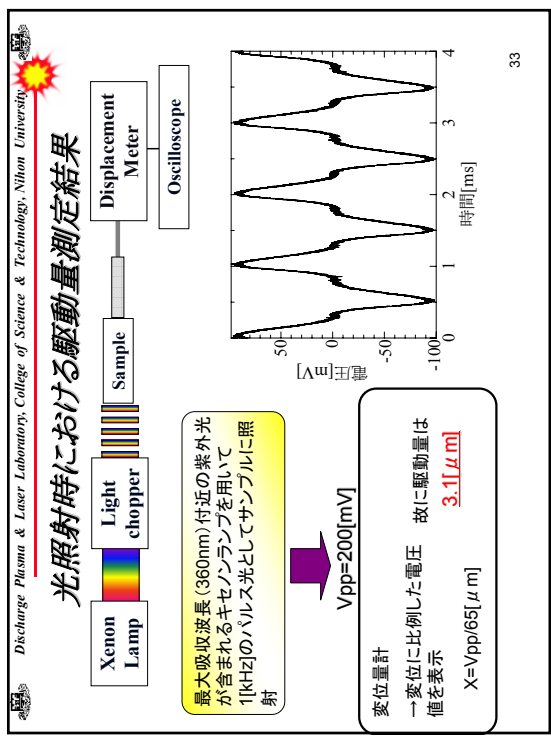
27

## 背景

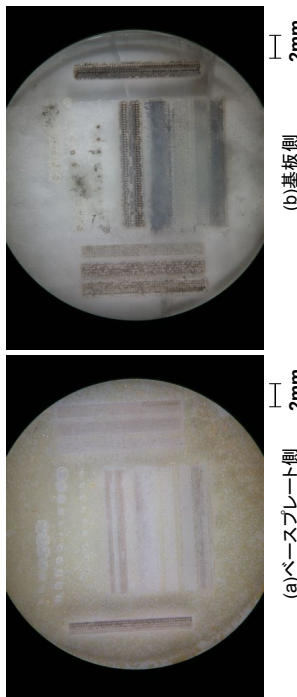


28





## LDWの光学顕微鏡画像



37

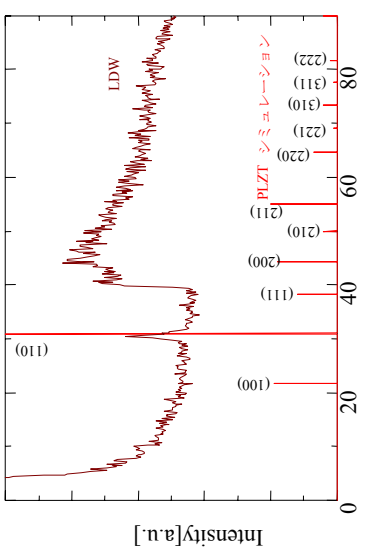
## EDXによる定量分析結果

	溶液	ベースプレート	3.38 μm	3.50 μm
Zr	18.5		16.77	18.19
Pb	53.2		57.03	51.53
Ti	27.7		26.21	30.29
La	0.5		0	0

表1EDXによる定量分析

38

## XRDによる定性分析



39

## まとめ

- FT-IRの測定から2860cm-1と2960cm-1付近に吸収が見られた。
- 自由電子レーザの3.38 μmと3.50 μmの波長を用いてレーザ転写したものをEDXと光学顕微鏡にて評価したところ転写されていることが確認された。

## 今後の展望

- 結晶化させ光歪効果の測定

40

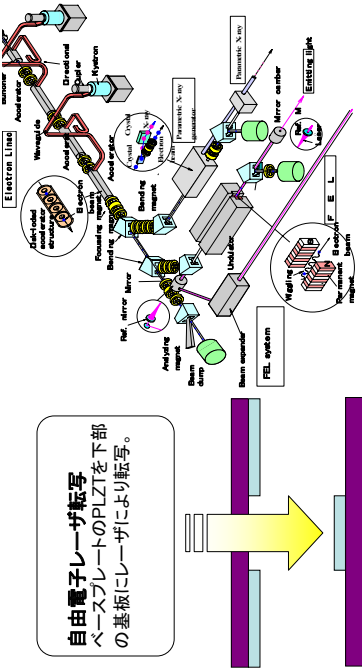
## 【ACKNOWLEDGEMENT】

実験に協力していただいた学生の田中慶彦君、清水洋平君、胡桃聰君、佐久間俊介君、山岸徹君、安土修平君に感謝します。

本研究は学術フロンティア推進事業「可変波長高輝度单色光源の高度利用に関する研究」とハイテクリサーチセンター「アトムテクノロジー」指向したナノ構造融合化材料の創製による研究成果である。

41

レーザ転写(LDW)とは



42

# Phosphorus Doped Diamond Like Carbon Films Deposited by Plasma-assisted Free Electron and ArF Laser Ablation Method

Kaoru SIZUKI\*

DRAFTMENT OF ELECTRICAL ENGINEERING

College of Science and Technology, Nihon University  
1-8-14, Kanda-Surugadai, Chiyoda-ku, Tokyo, Japan 101-8308  
Tel. & Fax : 81-3-3259-0770, E-mail : kaoru@ele.cst.nihon-u.ac.jp

43 *Dioscorea Blasiana* & *Lacandonia*

[ Background ]

Diamond like carbon (DLC) films will be widely used in field of industrial coatings, tribological materials and corrosion protection.

However, DLC have not been well understood the semiconductor property. Donor or acceptor doped DLC films exhibits semiconductor nature, which promotes its application in the field of semiconductor technology, such as fabrication of photovoltaic solar cells.

At the process of chemical vapor deposition, phosphine (PH<sub>3</sub>) and diborane (B<sub>2</sub>H<sub>6</sub>) were used for donor and acceptor which has strong toxicity.

**Laser ablation**, the technique by which material is ablated from a target by interaction with a high fluence, pulsed laser beam and deposited onto a substrate, is versatile and advance films deposition technique.

In the present system, many type of laser were used for ablation, such as Nd:YAG laser, excimer laser and Ti:sapphire laser.

## 【 Object 】

I have proposed that improved n-type DLC films were successfully obtained by the laser ablation method, which were ablated the phosphorus (V) oxide (P<sub>2</sub>O<sub>5</sub>) powder mixing pressed graphite carbon target or trimethyl-phosphate (POCH<sub>3</sub>)<sub>3</sub>, Melting point, T<sub>m</sub>=227 K) agent containing frozen benzene (C<sub>6</sub>H<sub>6</sub>, Melting point, T<sub>m</sub>=278.5 K) target, which were relatively safe materials.

ArF excimer laser was used for laser ablation method, since almost materials had absorption of ultraviolet range.

In addition, the wide tunability wavelength Laboratory for Electron Beam Research and Application institute of quantum science Nihon university Free Electron Laser (LEBRA-FEL) commissioned in 2003, presents a unique opportunity in a combination of parameters unavailable to other laser systems.

Specifically, it can study that FEL wavelength keep in tune with infrared absorption range of benzene.

45  
Discharge Plasma & Laser Laboratory

46  
111

## 【 Experimental apparatus 】

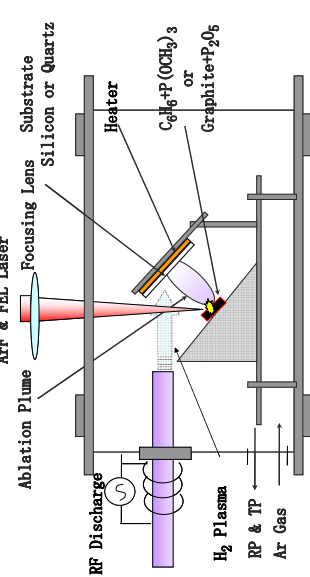


Figure1. Optical system for formation of micro pattern by laser polymerization method.  
45  
Discharge Plasma & Laser Laboratory

46  
111

## 【 Experimental setup 】

A focused ArF excimer laser (LAMBDA PHYSIK COMPEx 205 : wavelength = 193 nm, pulse duration = 20 ns, repetition rate = 30 Hz and fluence 5 J/cm<sup>2</sup>) or LEBRA-FEL beam was irradiated on to a target at an incident angle of 45 degree to the target. The one of target was prepared by pressing method which were mixed the pure graphite carbon (purity = 99.99 %) powder and phosphorus (V) oxide (T205 ; purity = 99.9 %) powder. Another target was frozen benzene (C<sub>6</sub>H<sub>6</sub>, Melting point, T<sub>m</sub>=278.5 K) by liquid nitrogen which were containing trimethyl-phosphate (POCH<sub>3</sub>)<sub>3</sub>, Melting point, T<sub>m</sub>=227 K) and volume ratio of CGH<sub>6</sub> : POCH<sub>3</sub> is 20 : 1. The silicon (Si) substrate was cleaned with acetone, methanol and hydrofluoric acid (1:10) prior to loading into the chamber.

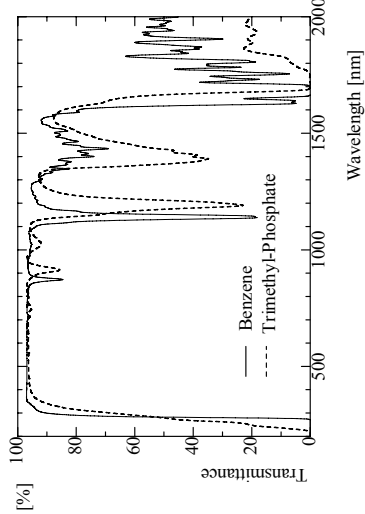
DLC films were deposited on p-type Si substrate (100), 20×20 mm, thickness = 0.58 mm, 10 Ω • cm for solar cell or quartz substrate for optical property measurement at a substrate temperature of 300 - 575 K in 133 Pa argon gas at laser ablation.

An RF (frequency = 13.56 MHz) plasma [11] was generated around the substrate and target by inductively coupled. The surface morphology and physical properties were examined a field emission scanning electron microscope (FE-SEM ; HITACHI S-4500), secondary ion mass spectrometry (SIMS; Cameca IMS-4f) and Raman spectroscope (RENISHAW, RamanScope System-1000).

The optical properties were measured by a UV-visible spectrometer (SHIMAZU, UV-3150). After n-type DLC/p-type Si structure photovoltaic cell was fabricated, electrodes for ohmic contacts were formed by sputter of Au (thickness = 50 nm) for the front surface n-type DLC side and Au (thickness = 200 nm) for the back surface (p-type Si side).

47  
Discharge Plasma & Laser Laboratory

## 【 Fig.2 Optical transmittance characteristics with benzene and trimethyl-phospho



48  
Discharge Plasma & Laser Laboratory

48  
111

## 【Characteristics】

Fig.2 shows the optical transmittance characteristics with benzene and trimethyl-phosphate. Both reagent has the absorption band in the ultraviolet range of less 300 nm. The dissociation of double bond carbon (Photon energy : 6.3 eV ; wave length : 197 nm) and of single bond carbon (Photon energy : 3.5 eV ; wave length : 354 nm) are originating.

The infrared spectrum for benzene has only four prominent bands because it is a very symmetric molecule.

Every carbon has a single bond to a hydrogen.

Each carbon is bonded to two other carbons and the carbon-carbon bonds are alike for all six carbons which is planar.

The aromatic CH stretch appears at 3226-3333 nm and second harmonics are 1623-1667 nm.

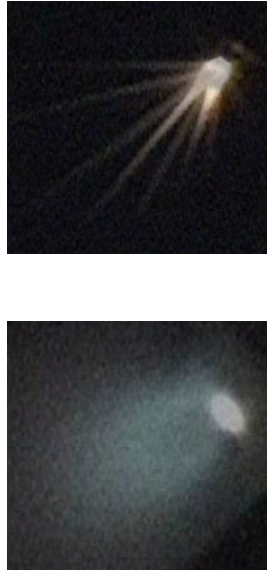
There are aromatic CC stretch bands at about 333 nm and second harmonics is 1667 nm. Two bands are caused by bending motions involving carbon-hydrogen bonds. The bands for CH bends appear at approximately 10000 nm for the in-plane bends and at about 14815 nm for the out-of-plane bend.

The bands for P-OH bends at about 380-3820 nm and second harmonics is 1906-1910 nm. In order to ablate frozen benzene and spread trimethyl-phosphate target, free electron laser (wave length : 870-6000 nm) or ArF excimer laser (wave length : 193 nm) were used the light source of ablation.

49      Discharge Plasma & Laser Laboratory

50

**[Fig.3 Pattern of light emission from the plume along the direction of laser incidence]**

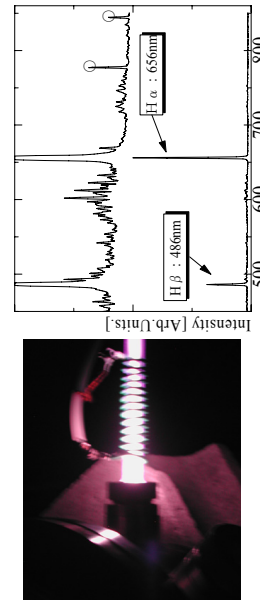


(a) target : C6H6, laser : ArF  
λ = 193nm

51      Discharge Plasma & Laser Laboratory

52

**[Fig.4 Photograph of inductively coupled plasma and spectrum of hydrogen plasma]**



(a) Photograph of inductively coupled plasma

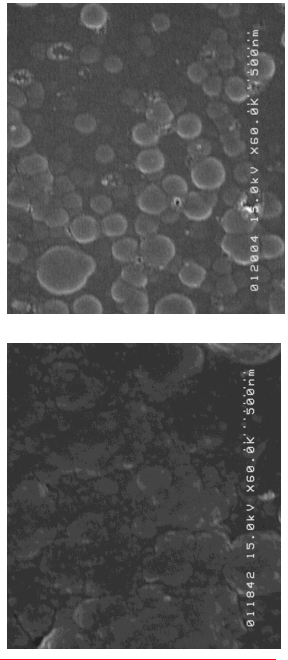
51      Discharge Plasma & Laser Laboratory



(b) target : graphite / laser : ArF

52      Discharge Plasma & Laser Laboratory

**[Fig.5 SEM micrographs of the films deposited by C6H6/ArF and graphite/ArF]**

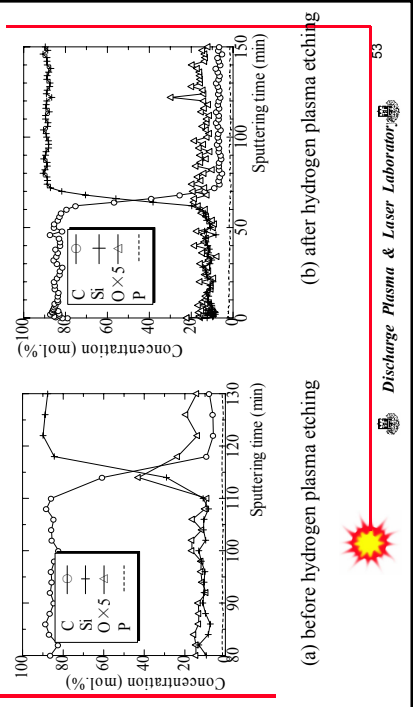


(b) target : graphite, laser : FEL  
λ = 2.4 μm

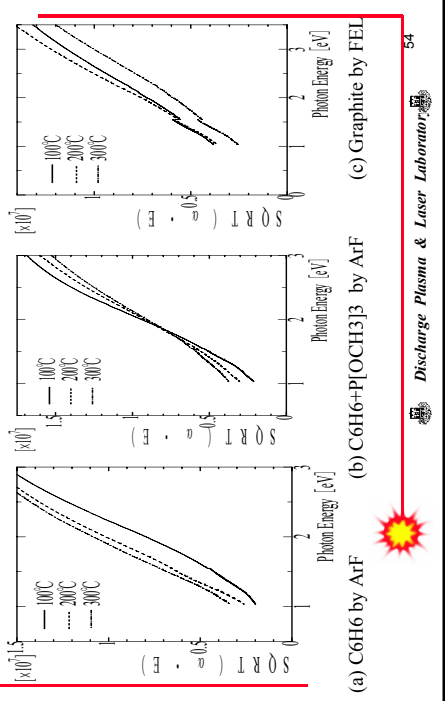
53      Discharge Plasma & Laser Laboratory

54

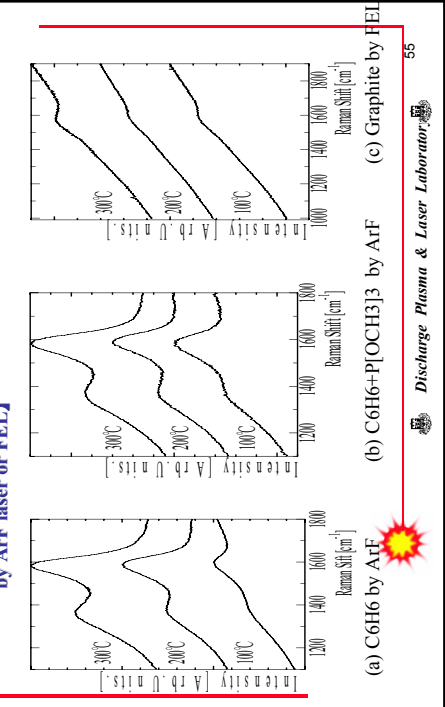
**[Fig. 6 Depth profile of each element by secondary ion mass spectrometry]**



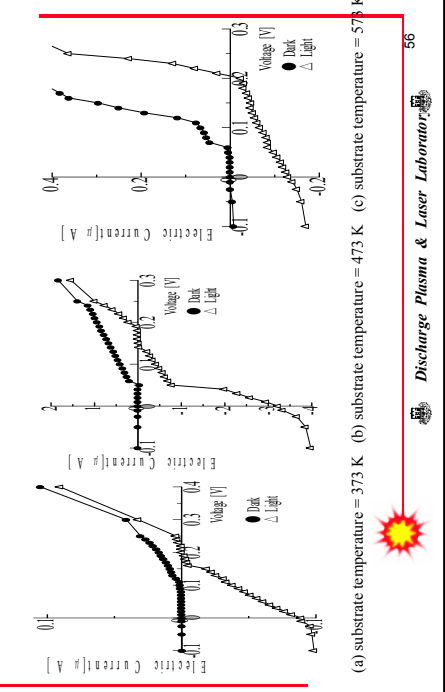
**[Fig.7 Optical absorption characteristic of the DLC film deposited at a C6H6 or graphite by ArF laser or FEL]**



**[Fig.8 Raman spectra of the DLC film deposited at a C6H6 or graphite by ArF laser or FEL]**



**[Fig.9 Voltage versus current characteristics of n-DLC/p-Si.]**



## 【CONCLUSION】

Phosphorus doped diamond like carbon films is deposited by plasma assisted free electron and ArF excimer laser ablation method.

The optical gap of undoped DLC films by using C6H6 target and ArF laser source is approximately 0.67 – 1.07 eV.

The optical gap of undoped DLC films by using graphite target and FEL source is approximately 0.27 – 0.55 eV.

The n-type DLC was deposited by frozen C6H6+P|OCH3|3 target and ArF laser ablation source on p-type silicon substrate.

The open-circuit voltage ( $V_{OC}$  = 0.18 V) and short-circuit current ( $I_{SC}$  = 3.2  $\mu$ A) at the substrate temperature = 473 K are larger than those for cell.

Although the energy conversion efficiency is still low and FEL power is very weak, it is shown that there is a possibility of improvement.

Discharge Plasma & Laser Laboratory

57

**研究背景**

- 酸化物のワイドバンドギャップ半導体は、ほとんどがn型でありp型の不足により透明材料の応用デバイスに用いることが制約。

**LaOCuSの特徴**

- ワイドギャップ(3.2eV)の透明P型酸化物半導体。
- 電気伝導性に適した層構造。
- 380nmにエキシトン発光、600nm附近に欠陥や不純物によるプロードの発光の確認。

**応用**

- 透明半導体デバイス
- 発光素子
- 熱電素子
- 光触媒素子

**薄膜作成技術の確立。**

**目的・報告内容**

**組成比により欠陥や不純物発光を制御**

**発光波長の選択性を可能にする**

**報告内容**

- YAGレーザーとArFエキシマレーザーを光源とし雰囲気、基板温度を変化させた場合及びアブレーションと同時にプラズマ支援を行って作製した薄膜の物性評価
- 室温及び低温における発光波長特性

**評価方法**

- エネルギー分散型X線分析(EDX)による定量分析。
- 走査電子顕微鏡(FE-SEM)による表面観察。
- X線回折分析(XRD)による定性分析。
- 吸光度計を用いたバンドギャップ算出
- 室温( $T=27^{\circ}\text{C}$ )および低温( $T=-296^{\circ}\text{C}$ )におけるPhoto luminescence(PL)測定。

高速度カメラによる粒子群の飛散  
(CCD:PROXTRONIC) Pulse Width 5ns

光原(ArFレーザー)  
LaOCuS Bulk  
MgO Substrate  
基板間距離:20mm

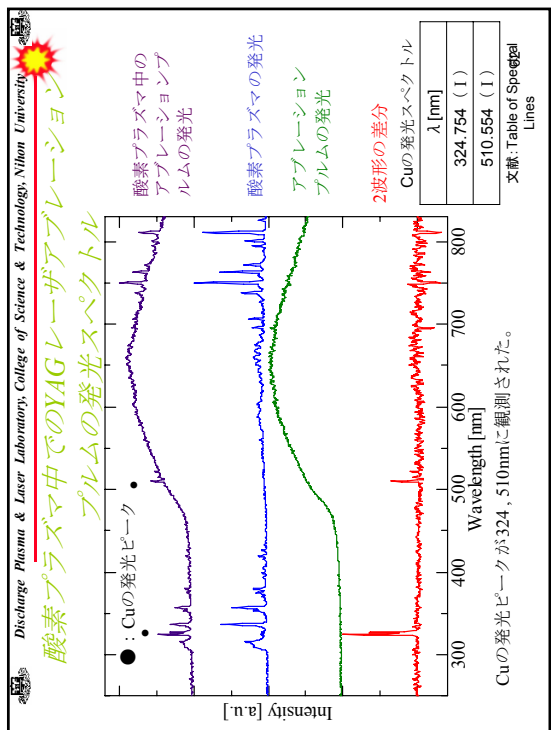
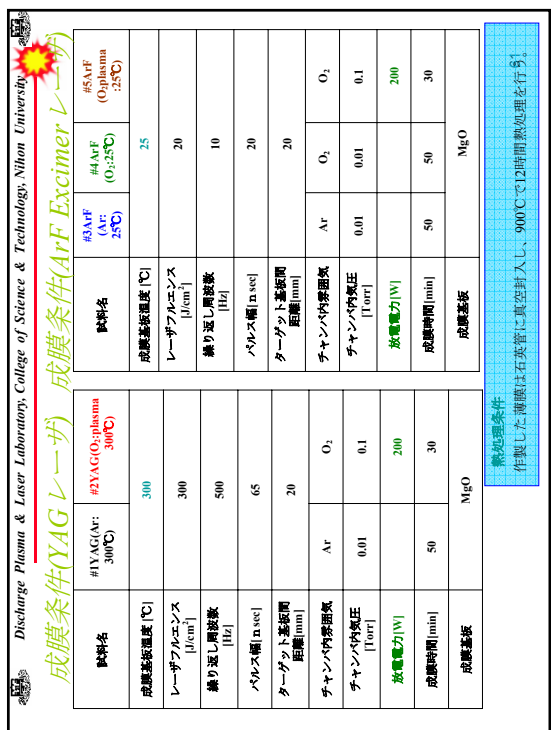
粒子群の飛散動画

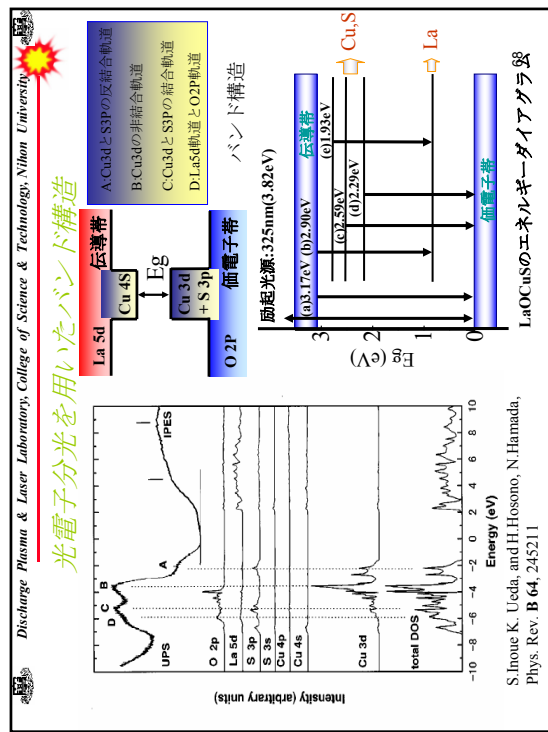
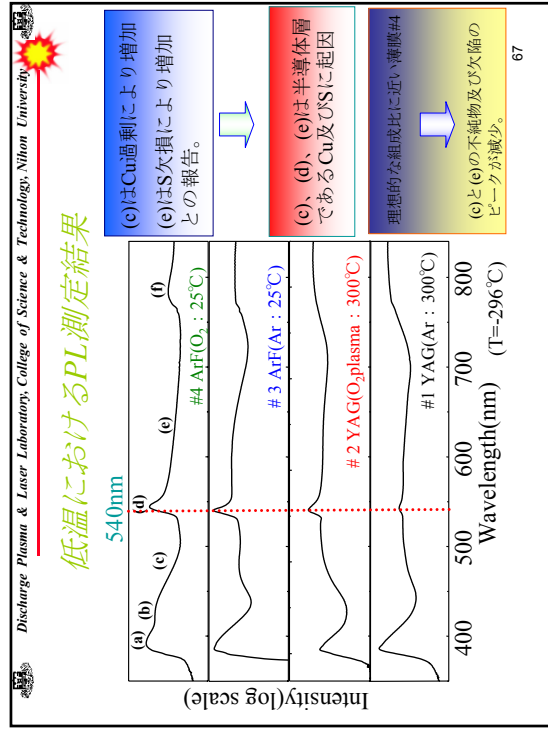
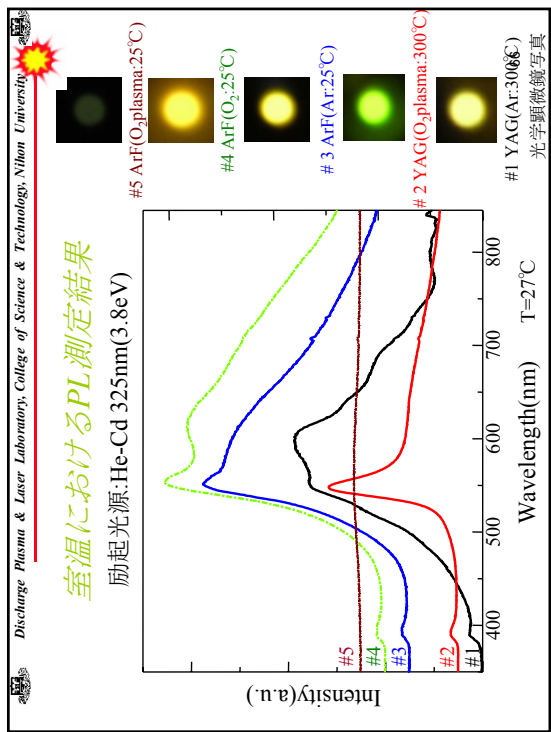
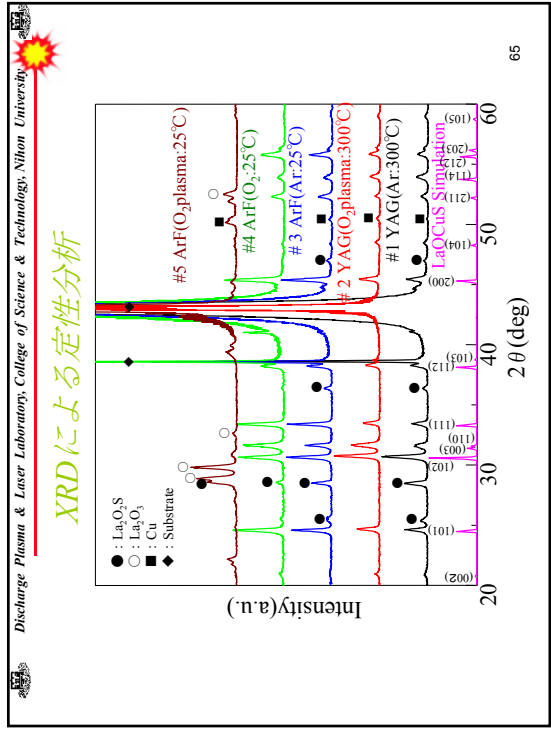
粒子群の飛散動画

粒子群の飛生  
Substrate: MgO(001)  
RF discharge  
At<sub>2</sub>O<sub>2</sub> atmosphere  
To a vacuum pump

粒子群の発生  
粒子群の基板到達  
粒子群の消滅  
451.5ns  
224.3ns  
3.76  $\mu\text{s}$   
60

1.34 km/sの速度で噴出





## まとめ

XRDの測定結果よりLaOCuSのピークが確認され、(002)面、(003)面と  
c軸方向に配向した結晶性の良い薄膜を作製。  
PL測定・吸光光度計による吸収・透過測定の結果より3.17eVのワイド  
バンドギャップ半導体であることが確認  
アブレーションの光源の波長、雰囲気圧、プラズマ支援、基板温度  
により組成比やPL発光の特性を制御でき、緑、橙、白色の発光を確認



発光波長の選択性の実現が可能

## ダイヤモンド状炭素

(Diamond-like Carbon : DLC)

- |              |           |
|--------------|-----------|
| 特徴           | 応用面       |
| ・高硬度         | ・切削道具     |
| ・低摩擦係数       | ・耐熱材料     |
| ・耐摩耗性        | ・耐摩耗部品保護膜 |
| ・光学的高透過性     |           |
| ・アモルファス半導体特性 |           |

DLCはそれ自身でD型半導体の挙動を示し、エネルギーギャップEgは  
1.4~2.2 eVの範囲で変化させることができる。

透明太陽電池への応用が考えられる。

70  
a-Carbon Film

## ドープ方法

1. 炭素粉末にポロン粉末を任意の割合で混合し、プレス成型したものをターナーとして用い成膜を行う。
2. 1.で作成した不純物混合炭素を装置内に設置した後にレーザを照射
3. レーザ照射にて発生した粒子群を対向させたSi基板上に成膜することで、  
ポロードープ型DLC、リンドープ型DLC、リンドードープ型DLC薄膜を作成する。

## 研究報告

DLC太陽電池を作製する方法として毒性のないドープ方法を検討し、レーザアブレーション法を用いて作製する。さらに酸素除去するためRF放電で水素プラズマエッチングを行った。

71  
a-Carbon Film

## 成膜方法

### 一般的な成膜方法

- ・ plasma CVD法
- ・ p型作成にはドープガスに $B_2H_6$
- ・ n型作成には $PH_3$
- ・ これらのガスは毒性があるため  
工業面において非常に厳しい制約がある。

水素プラズマによる、基板表面の酸化膜除去を行った後  
検討したドープ方法により、YAG:1.064μm及びAl:1.93μmエシマレーザを用い、  
n-DLC/p-Si, p-DLC/n-Si太陽電池を作成し加工光源の差異による比較・検討を行う。

72  
a-Carbon Film

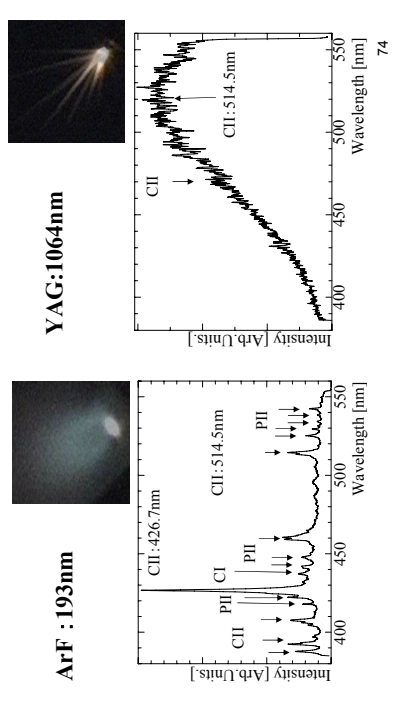
## 成膜条件

使用レーザ	YAG	ArF	N型シリコン
波長	1064 nm	193nm	基板温度 100~400°C
レーザエネルギー	2.75 J/Pulse	280 mJ/pulse	RF放電時間
パルス幅	0.4 ms	20 nm	管内気圧 0.15 Torr
繰り返し間隔数	1 Hz	10 Hz	管内空気流量 水素: RF放電時間
成膜時間	100 sec	50 min	50 sec/min
ターメット	ボロン1%混合 カーボン-シリコン6%混合 カーボン	ボロン1%混合 カーボン-シリコン6%混合 カーボン	RF電源 周波数 13.56MHz
ターメット 基板間距離	30 mm	20mm	放電電力 100 W



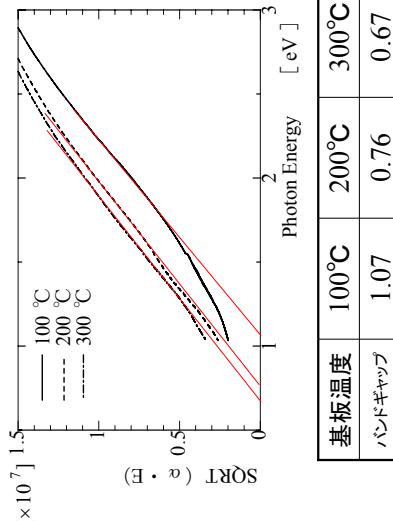
Discharge Plasma & Laser Laboratory, College of Science & Technology, Nihon University

## アブレーションブルム発光スペクトル リン過剰ドープ(25%)カーボン



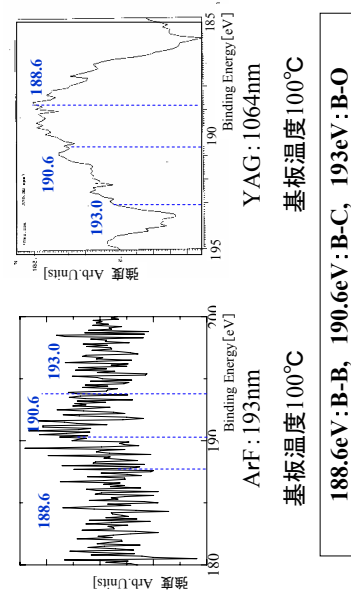
 Discharge Plasma & Laser Laboratory, College of Science & Technology, Nihon University

光学バシドキヤツブ  
～エキシマ・基板温度変化～



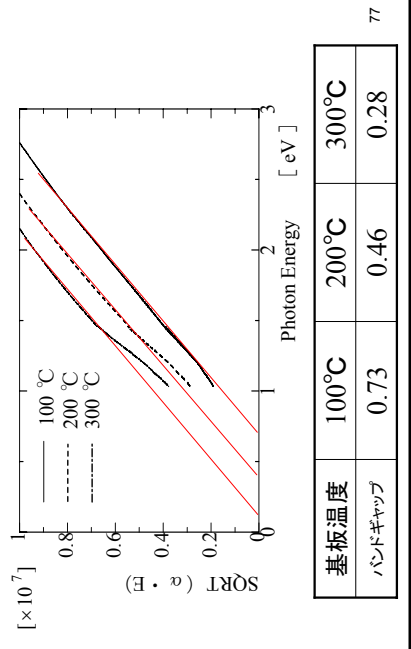
*Discharge Plasma & Laser Laboratory*, College of Science & Technology, Niton University

XPSによる定性分析

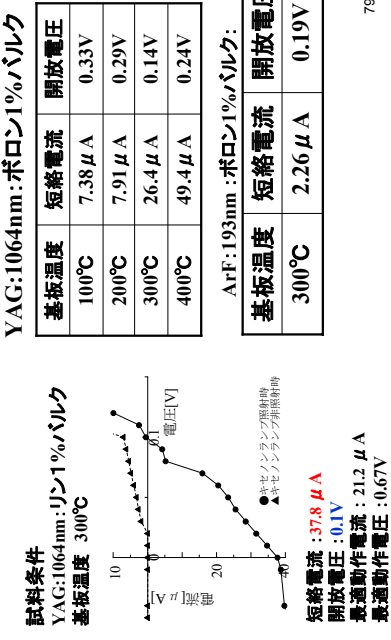


*Discharge Plasma & Laser Laboratory, College of Science & Technology, Niton University*

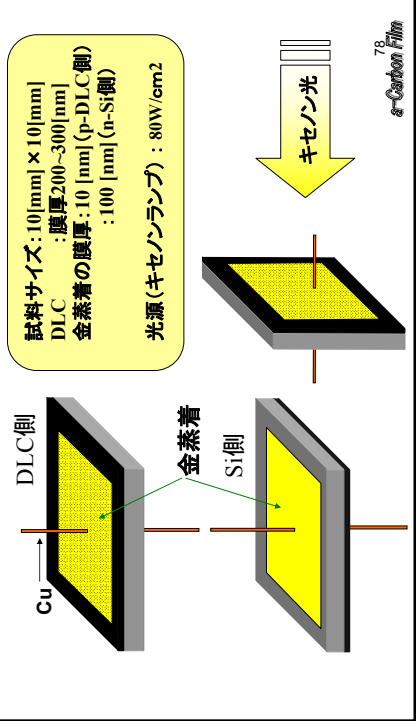
## 光学/シンドギヤップ ～YAG・基板温度変化～



## 電圧-電流特性 ～基板温度変化～



## 電圧-電流特性測定方法



## ホーリ効果測定

YAG:1064nm

基板温度	Mobility (cm²/Vs)	Density (cm⁻³)	Type of Carriers
100°C	1.61	<b>6.68 × 10¹⁹</b>	hole
200°C	9.11	<b>6.32 × 10¹⁹</b>	hole
300°C	26.9	<b>9.86 × 10¹⁹</b>	hole
400°C	52.7	<b>6.42 × 10¹⁸</b>	hole

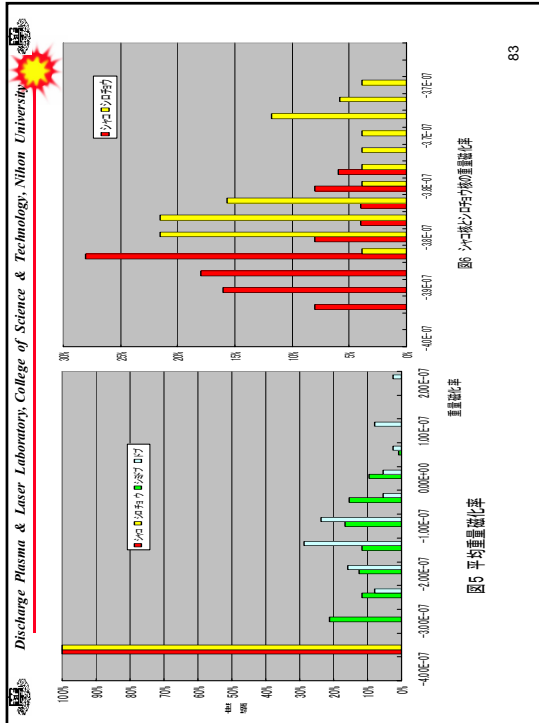
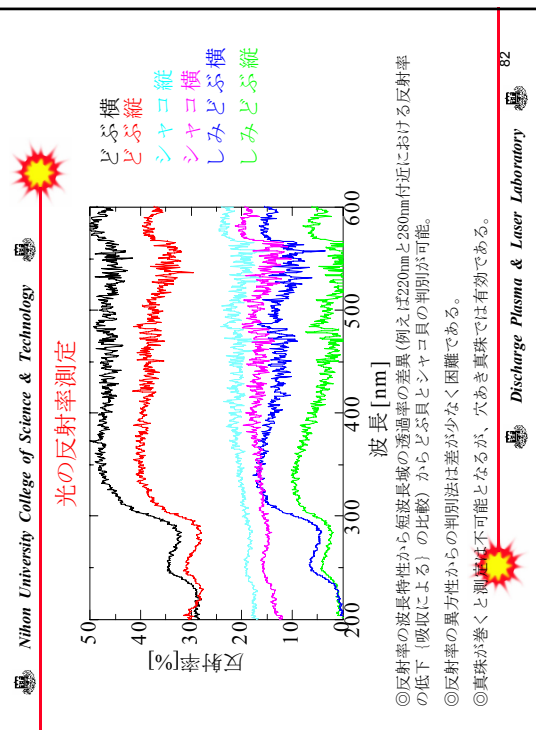
ArF:193nm

基板温度	Mobility (cm²/Vs)	Density(cm⁻³)	Type of Carriers
300°C	2581	<b>6.68 × 10¹¹</b>	hole

## まとめ

1. 基板温度を上げることで、DLC膜はグラッシャー化し、バンドギャップが下がる事で抵抗率がり、それに起因する出力の向上が見られた。
2. 同じ基板温度の元では、YAGとArFで成膜した場合、DLCは、ArFで成膜したものがバンドギャップが大きくなり、YAGによるものもと比較すると、抵抗値が高く出力が下がることが確認された。

YAG・基板温度 400°C  
 短絡電流 : 49.4 μA [開放電圧 : 0.24V]  
 成膜時の加工レーザ波長可変により  
 バンドギャップの制御・吸収波長の選択の可能性<sup>81</sup>  
<sup>82</sup> Carbon Film



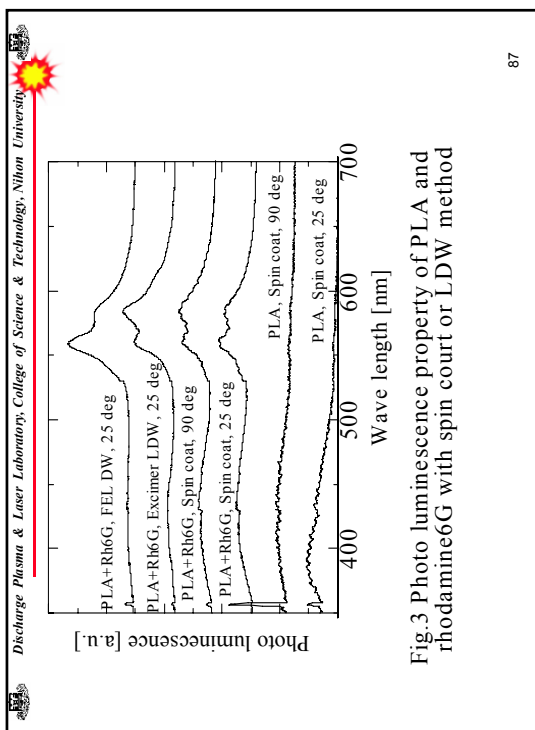
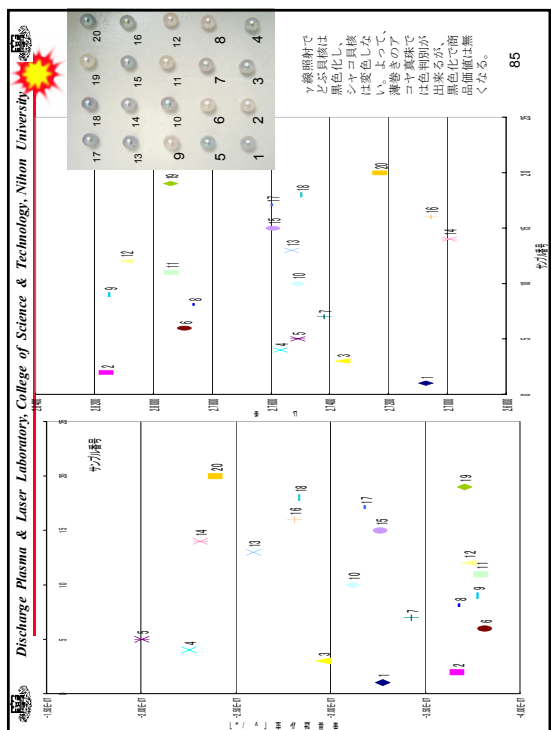


Fig.3 Photo luminescence property of PLA and rhodamine6G with spin coat or LDW method

87

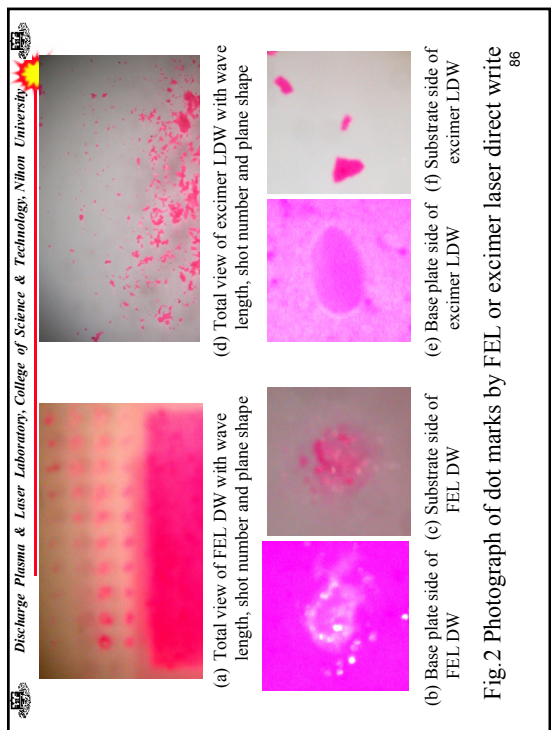
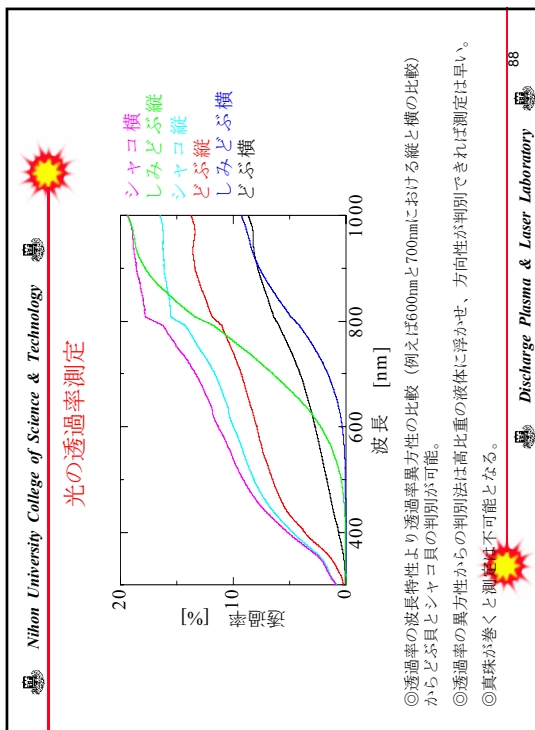


Fig.2 Photograph of dot marks by FEL or excimer laser direct write

86



◎透過率の波長特性より透過率異方性の比較（例：ば600nmと700nmにおける縦と横の比較）からどぶ貝とシャコ貝の判別が可能。  
◎透過率の異方性からの判別法は高比重の液体に浮かせ、方向性が判別できれば測定は早LV。  
◎真珠が巻くと測定不可能となる。

88

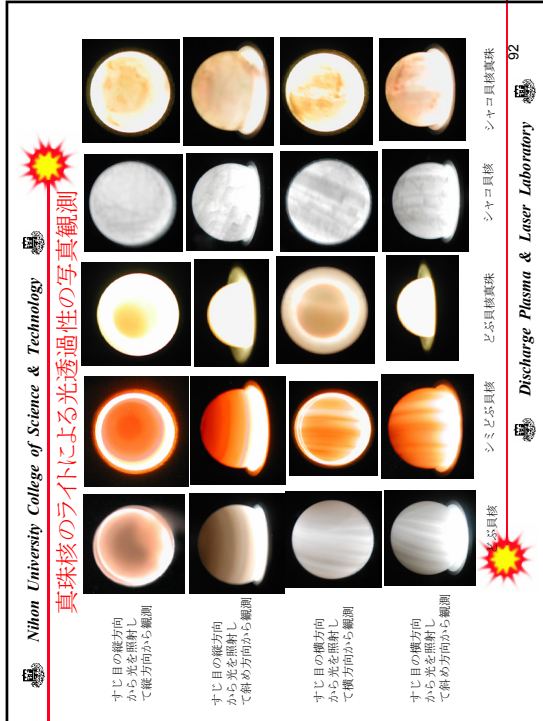
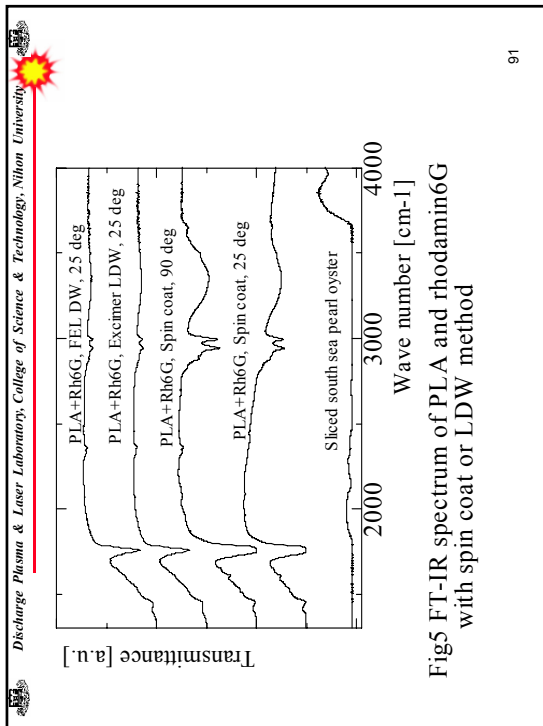
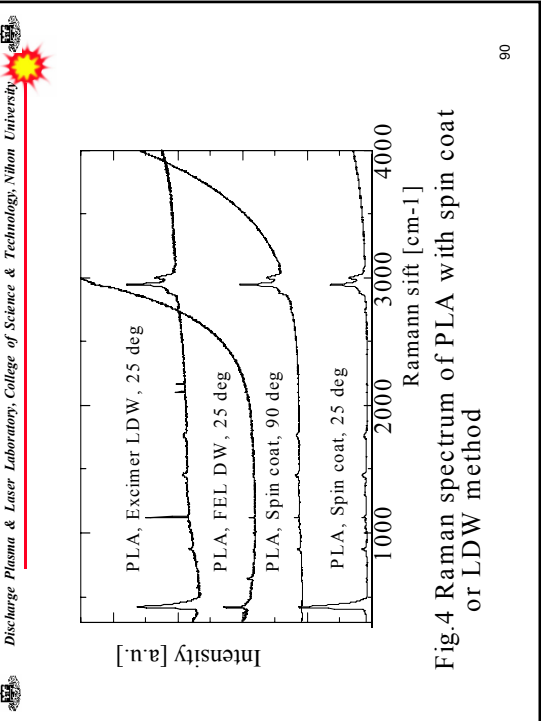
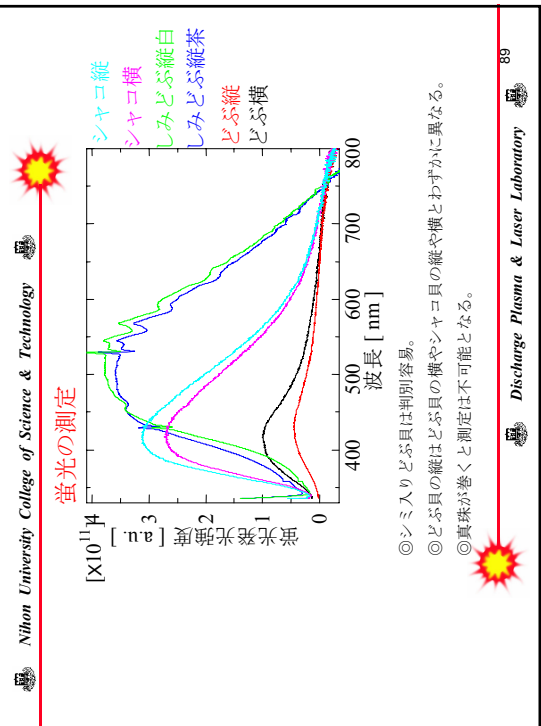


図1

図2

光透過性の異方性

どぶ貝は真珠構造のため  
すじ目の方向に対して縦  
と横方向の光透過性に異  
方性がある。

図3

交差板構造

シャニ貝は交差板構造であ  
るため、どの方向に対しても  
光の透過性が高く等方的  
である。

Nihon University College of Science & Technology

Discharge Plasma & Laser Laboratory

93

**Nihon University College of Science & Technology**

**振動試料磁力計**

○振動試料磁力計  
方針の測定法  
1. のスピーカーで発生する振動が一様な磁場中の4. の試料中に伝えられ、磁化の振幅に伴う磁束の変化を6. のピックアップコイルで検出し、基礎試料との比較から磁化率を測定する。

1 :スピーカー-利用磁場発生器  
2 :紙円すい支持器、3 :敷用ストロー-,  
4 :試料石、5 :比較試料(小磁石コロイド),  
6 :試料取出コイル、7 :比較取出コイル,  
8 :電極、振動試料磁化測定器の原理図

Nihon University College of Science & Technology

## 真実用 VSM の基本原理 :

飽和磁化率の分かれている試料と試験料を用いて往復を行なう。

試料をエアード吸引して検出コイルの近くに設置し、スピーカーにより試験料を上下に振動させる。

強められた試料がつくる磁場が、試験料の振動と共に動く。検出コイルを通じる電流が変化する。

その磁束の変化により、検出コイルには誘導電圧が発生する。  
 $e = \Delta \phi / \Delta t \quad \phi : 磁通, \quad t : 時間$

誘導電圧は微弱なため試験料を振動させる加振器を用いて参考信号を読み込んだ Lock In Amplifier を用いて增幅した後で読み取る。

誘導電圧を重量で割り算し、モニターライドスケールに換算し、モニターライド上に表示する。

Fig. 1 VSM 実験方法

印加磁界  
印加磁界方向  
振動方向  
印加磁界  
試験料  
スピーカー  
...  
...  
サンブルレーダー

■ 検出コイル  
■ 試料  
■ 電磁石

図 1 VSM 基本原理図

Discharge Plasma & Laser Laboratory

Nihon University College of Science & Technology

**アルキメデスの原理を用いた比重測定**

アルキメデスの原理  
液体中の物体は、それが排水している液体の重さに等しい浮力を受ける。  
つまり液体中の物体は、それが排水している液体の重さと同等の浮力を有する。  
このことを利用して図2のように液体中の物体の浮き沈みを測り、実際の物体の重さを、求めた値で割って比重を計算する。

比重 =  $\frac{\text{重さ}}{\text{測定値}}$

Discharge Plasma & Laser Laboratory

97

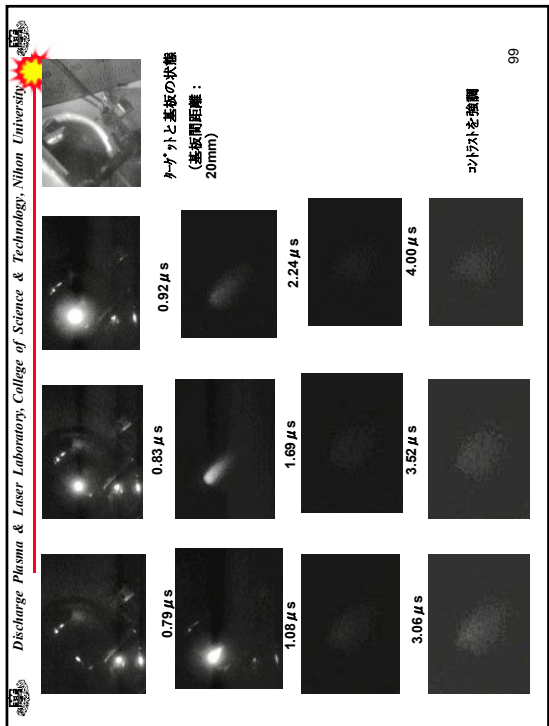
Nihon University College of Science & Technology

**アルキメデスの原理を用いた比重測定**

アルキメデスの原理  
液体中の物体は、それが排水している液体の重さに等しい浮力を受ける。それが排水している液体の重さと同等の浮力を有する。このことを利用して図2のように液体中の物体の浮き沈みを測り、実際の物体の重さを、求めた値で割って比重を計算する。

比重 =  $\frac{\text{重さ}}{\text{測定値}}$

98



99

### 一般講演

学術フロンティア(5年間)の成果と継続(3年間)  
における生体高分子構造研究グループの展望

- (1) 5年間(過去)の成果
- (2) 3年間(継続)の展望

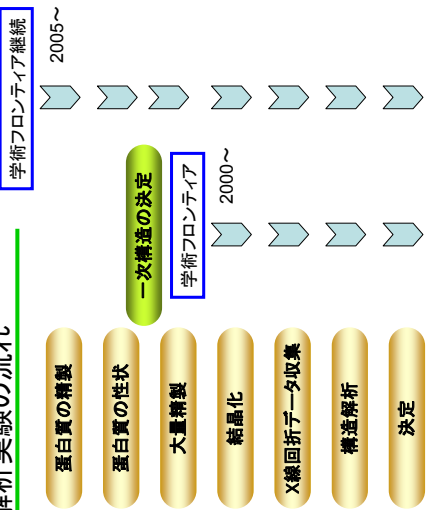
宍倉文夫(グループ代表人:日大・医)

桑田隆生(日大・大学院総合科学)

高木尚(東北大学・院理)・鈴木知彦(高知大学・理)

1

### 生体高分子のX線結晶解析実験室と 構造解析実験の流れ



2

### 5年間の成果(2000—2004)

- ・ 1 生体高分子構造解析実験室の立ち上げ
- ・ 2 回折実験と構造構築の手技確認  
(標準タンパク質:リゾチーム)
- ・ 3 ゾウガメHb Dの構造解析と公表  
(新規タンパク質:ヘモグロビン)
- ・ 4 アカムシHb VとHb VIIの構造解析と発表  
(共同研究:東北大学 高木尚教授)
- ・ 5 アホロートルのHbの構造解析と発表  
(共同研究:静岡大学 竹内浩昭教授)  
(共同研究:慶應大学 長井孝紀教授)

3

### 成果報告

<論文発表>

- ・ Zool. Sci., 18: 515-526 (2001)
- ・ Zool. Sci., 19: 197-206 (2002)
- ・ Protein and Peptide Letters, 10: 422-425 (2003)
- ・ Micron, 35: 123-125 (2004)
- ・ Comp. Biochem. Physiol., 137B: 443-454 (2004)
- ・ 投稿準備中(ゾウガメHbD)
- ・ 投稿準備中(アカムシHb VとHb VII)

<講演・ポスター発表>

- ・ 日本結晶学会平成14年度年会講演要旨集: 21頁 (2002)
- ・ 日本結晶学会平成15年度年会講演要旨集: 122頁 (2003)
- ・ Zool. Sci., 21: 1327 (2004)
- ・ 日本動物学会第75回大会(アカムシ): 218頁 (2004)
- ・ 日本動物学会第75回大会(アホロートル): 218頁 (2004)

4

成果づき(2000-2004)

- 6 繼続中の構造解析(共同研究と個人研究)

  - Cryptogena* Hb 鈴木知彦教授(高知大学)
  - Haemadipsa* Hb 宍倉文夫(個人研究)
  - Ambystoma* Hb 宍倉文夫(個人研究)
  - Tetraphymena* protein 沼田治教教授(筑波大学)
  - Tachypyleus* Hc 桑田隆生・杉田博昭教授(筑波大学)

文論

・日本動物学会第76回大会：127頁(2005)

15

2006年(平成18年)3月16日 木曜日 14版

卷一百一十一

A close-up photograph of a firefly (Luciola) glowing brightly against a dark background. The firefly's body is dark with a bright yellow-green glow emanating from its abdomen. Its compound eyes are visible, and its wings are partially spread.

# ホタルの光なぜ黄緑?

タルの発光は、発光のむきに沿うて、たゞ實がこなに酸素を吸つて、発光にはなりじて感づる。眞實に光るには、赤く光るより多くのエネルギーが必要で、ホタルは酸素の比エネルギー半分の約四倍を発光エネルギーに使つて、それをじつじつと色の差がある出題ではなく明白だ。

区域中の酸素の浓度を調べた結果、取り込みは後酸性气体を多く一方で、一方で酸素を多く取り込み、酸素を認めると赤く光つた。酸素が發する無酸性气体になつてから、発光が止んでしまう。中核酸素は「新しく発見された」系の関係などにつながる旨を述べて、酸素があることを話している。

7

学術フロントエンドの展望(2005—2007)

- ・ 繼続中・新規の共同研究と個人研究

  - Cryptogena* Hb 鈴木知彦教授(高知大学)
  - Haemadipsa* Hb 安倉文夫(個人研究)
  - Ambystoma* Hb 宮倉文夫(個人研究)
  - Tetraphymena* protein 沼田治教授(筑波大学)
  - Tachypyleus* Hc 桑田隆生・杉田博昭教授(筑波大学)
  - Halocynthia* galectin 高木尚教授(東北大学)
  - Halocynthia* CRP 高木尚教授(東北大学)
  - Tachypyleus* agglutinin 安倉文夫(個人研究)
  - Pelomedusidae* Hb 宮倉文夫(個人研究)

66

精製から構造研究へ

当該施設で行われた  
X線結晶構造解析の1例：

ユスリカ・ヘモグロビン(Hb)の構造解析(共同研究)

- 桑田隆生<sup>1)</sup>、佐藤秀<sup>2)</sup>、長谷川智一<sup>3)</sup>、佐藤勇<sup>1)</sup>、  
石川紳一<sup>4)</sup>、高木尚<sup>2)</sup>、安倉文夫<sup>5)、\*</sup>

<sup>1)</sup> 日大・大学院総合科学、<sup>2)</sup> 東北大・院理、<sup>3)</sup> リガクX線研究所、  
<sup>4)</sup> 日大・医・薬理、<sup>5)</sup> 日大・医・化学、\*研究の範囲

8

## ユスリカとは

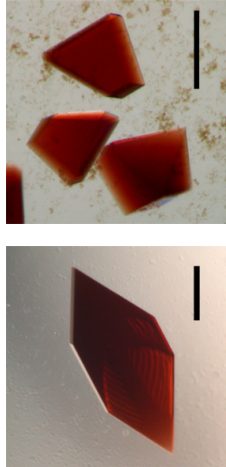


日本ユスリカ研究会ホームページより  
<http://chironomidae.shinshu-u.ac.jp>

127

## Hb VとHb VIIの結晶作製

### ・結晶



左:Hb V結晶  
結晶化サンブル: 24mg/ml  
結晶化剤: 25% PEG3350, 100mM 硫安, 100mM 酪酸Na(pH4.6)  
右:Hb VIIの結晶  
結晶化サンブル: 15mg/ml  
結晶化剤: 25% PEG3350, 100mM MgCl<sub>2</sub>, 100mM Tris-HCl(pH 8.5)  
\* Scale bar = 0.2mm

## ユスリカ・ヘモグロビンの精製

Fukuda, M., Takagi, T., and Shikama, K.

Biochim. Biophys. Acta, 1157:185-191(1993)

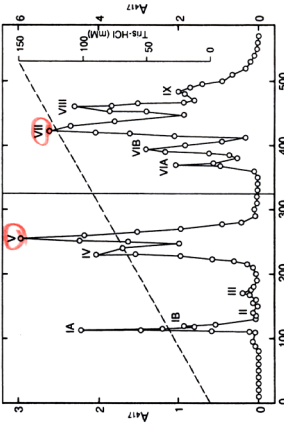
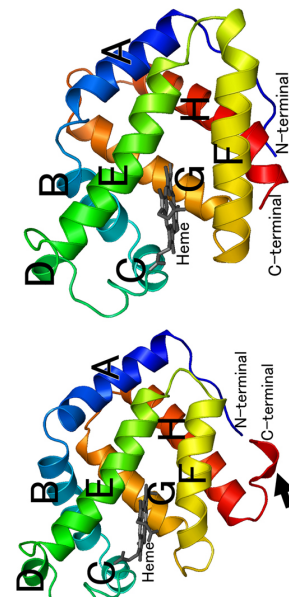


Fig. 1. DEAE-cellulose chromatography of *T. akamai* hemoglobin. Hemoglobin solution (250 ml, 500 mg) was applied to a DEAE-cellulose column (4×16 cm) equilibrated with 5 mM Tris-HCl buffer (pH 8.4). The elution was carried out with a linear gradient of Tris-HCl buffer from 5 to 150 mM at pH 7.9. The heme protein level was monitored by the absorbance at 417 nm (○), and the expanded scale was used until fraction number 325. Fraction size, 10 ml.

## Hb VとHb VIIの立体構造



Ta-Vの立体構造(PDB ID: 1X3K)  
1.64 Å の高分解能で構造精密。  
全152アミノ酸残基、  
水分子226個を同定  
(結晶学的R値19.4%)

Ta-VIIの立体構造(PDB ID: 1X46)  
1.50 Å の高分解能で構造精密化。  
全150アミノ酸残基、  
水分子292個を同定  
(結晶学的R値19.4%)

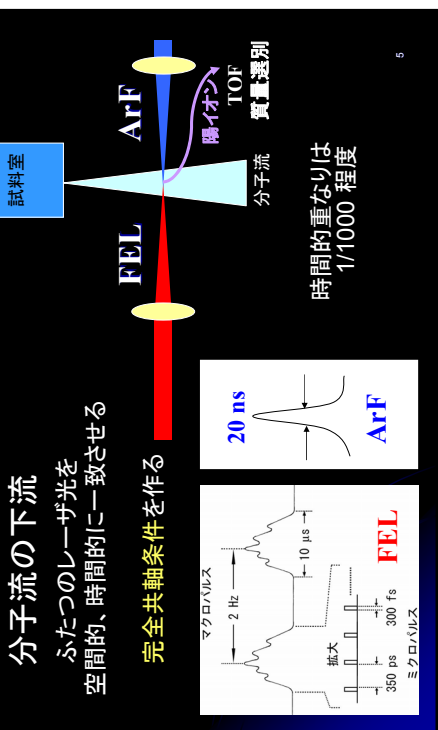
11

12

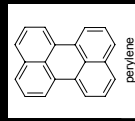




## 実験

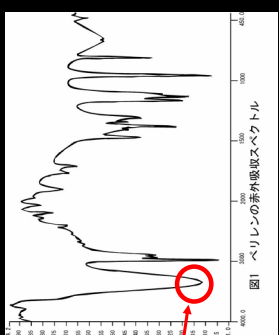


## 研究対象



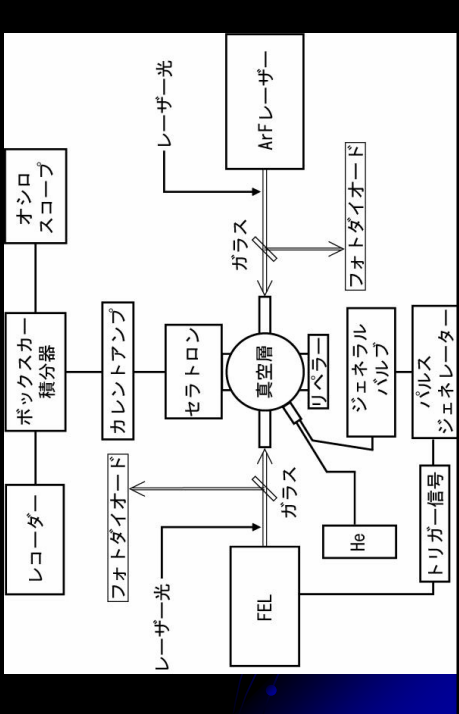
ペリレン

強い吸収帯



CH伸縮振動準位  
ローラルモードとして比較的長い状態寿命をもつ

## 装置



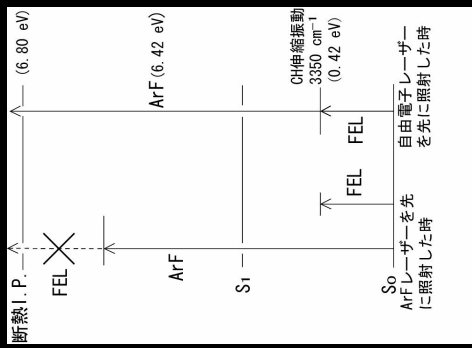
## 選択理由

ペリレン

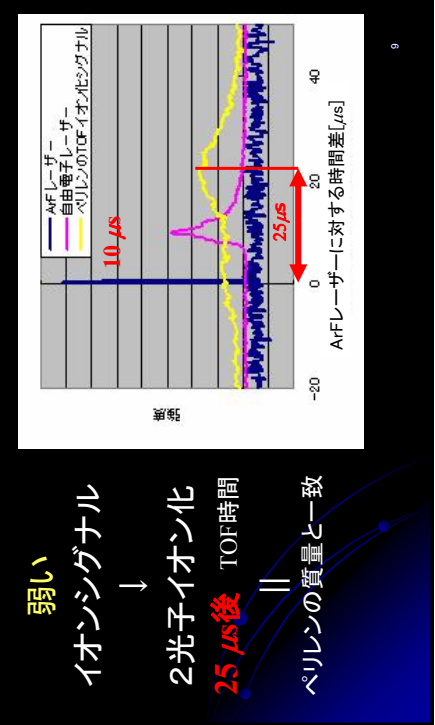
断熱 I.P. 6.80 eV  
ArFレーザー 6.42 eV  
1光子イオン化しない

FEL 振動励起により不足分  
(3350  $\text{cm}^{-1}$  0.42 eV) を補う  
ArF照射をFEL照射と  
同時か後にする  
イオン化が起こる。

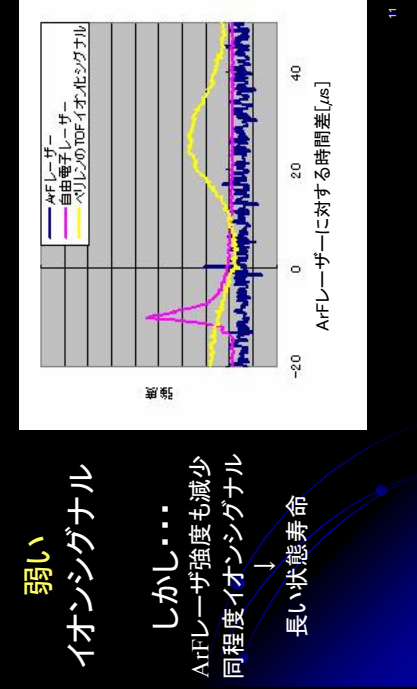
$S_0$  ArFレーザーを先に照射した時  
を先に照射した時



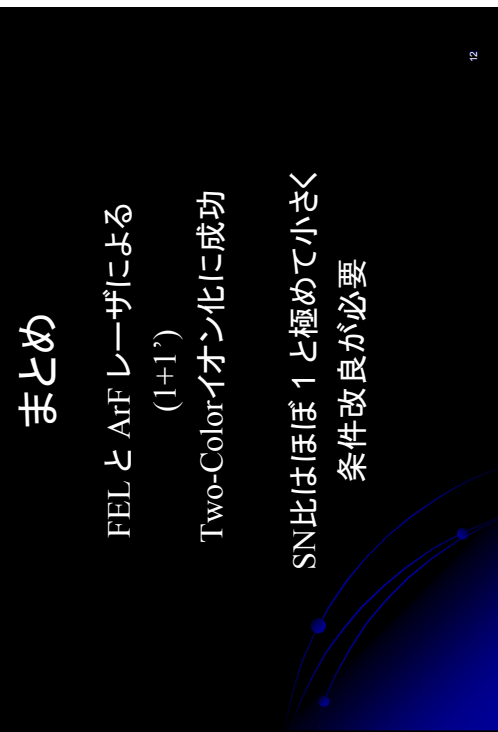
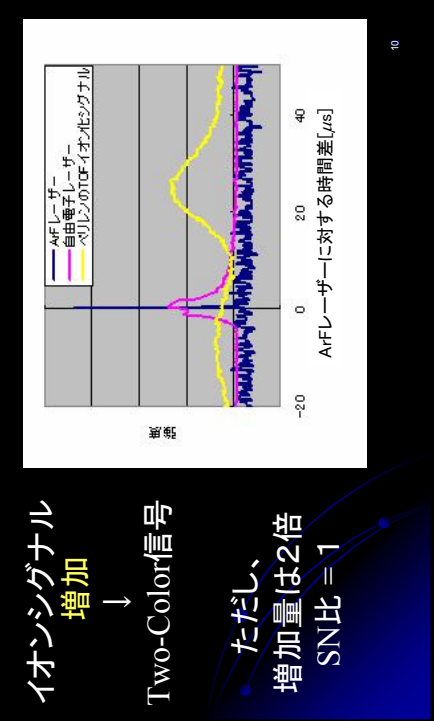
## ArFレーザを $10 \mu\text{s}$ 先に照射

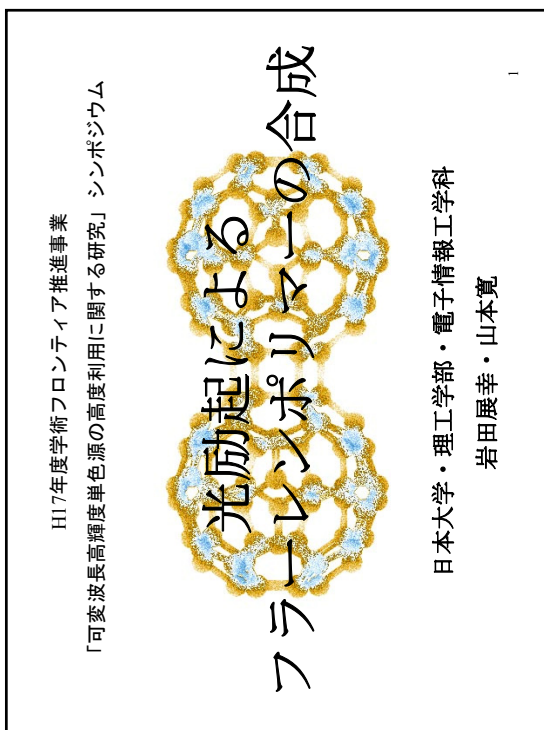
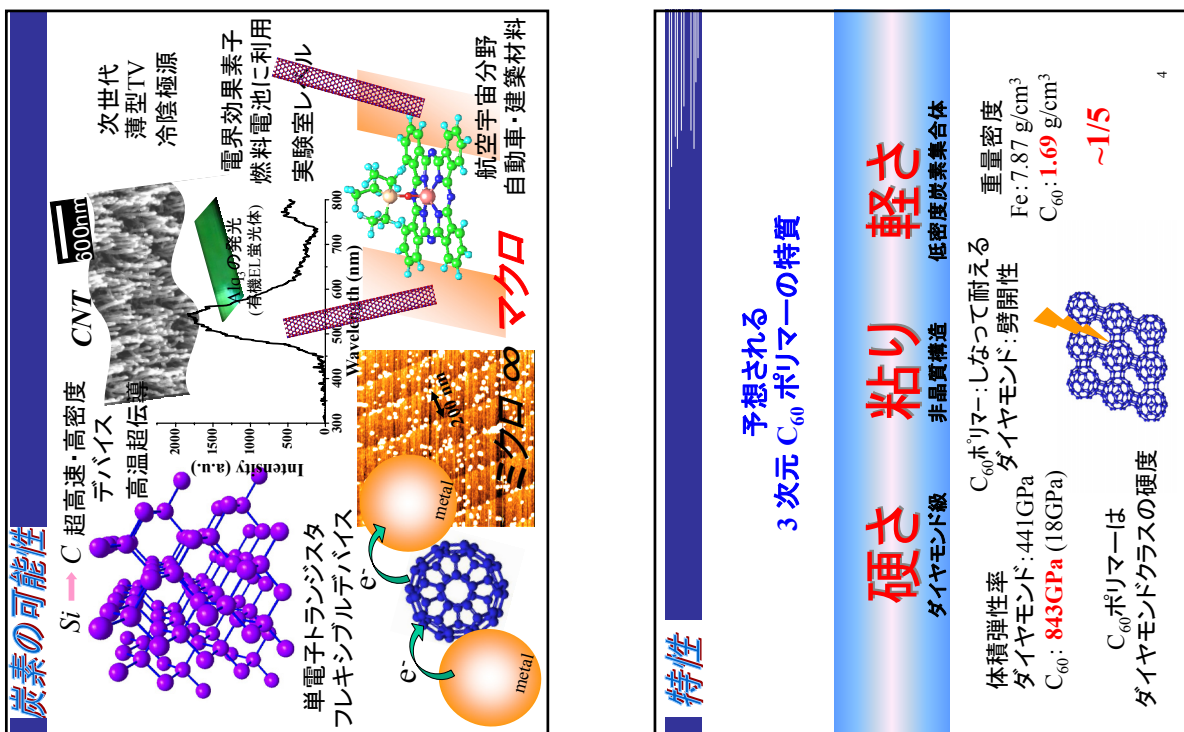


## ArFレーザを $10 \mu\text{s}$ 後に照射



## ArFレーザの照射時間を一致

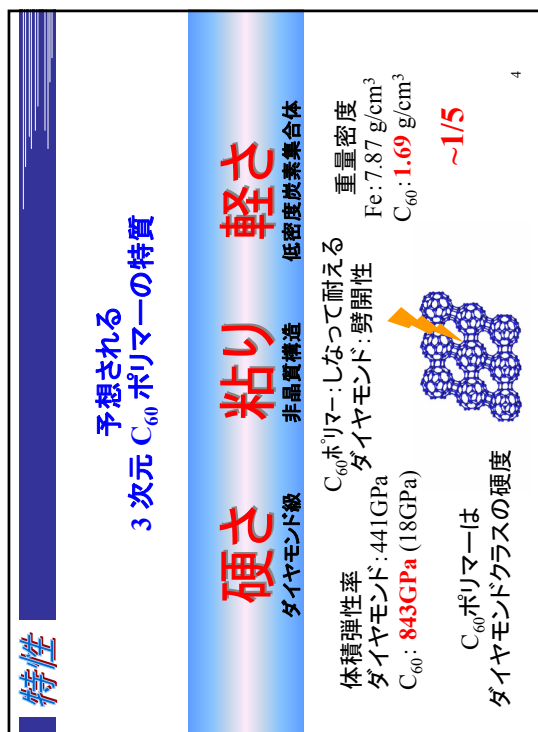




**目的**

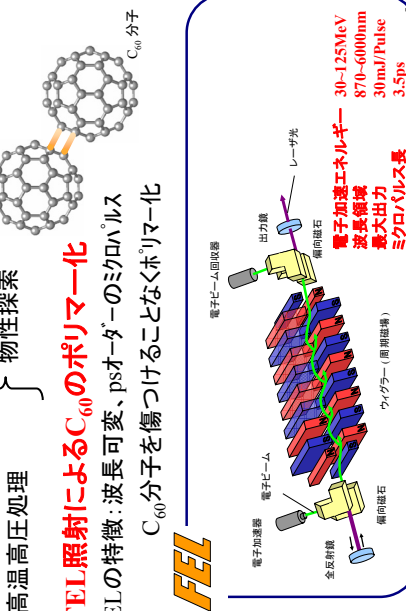
« FEL照射による光励起  
&  
ホールドーピング »

3次元的にポリマー化した  
マクロスケールのC<sub>60</sub>分子集合体の創製



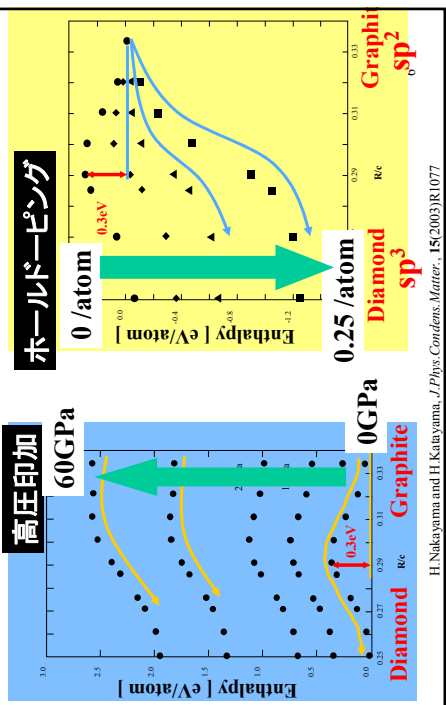
ポリマー化法

- 染外線、電子線照射
  - 高温高压処理
  - **FEL照射によるC<sub>60</sub>のポリマー化**
  - FELの特徴：波長可変、psオーダーのミクロハルス
  - C<sub>60</sub>分子を傷つけることなくポリマー化



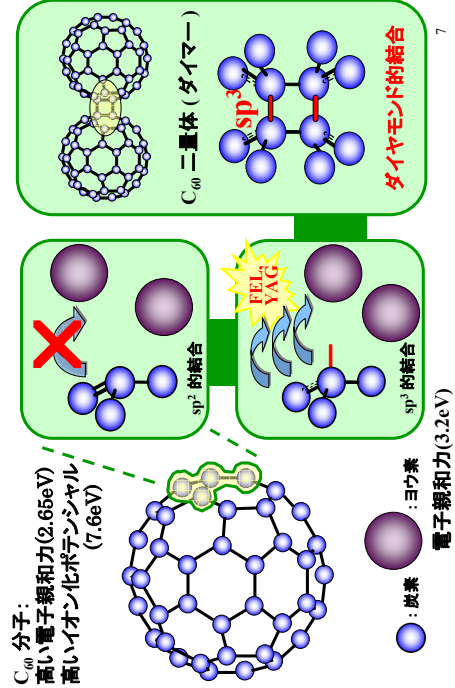
アーティスト

「グラファイトからダイヤモンドを創製

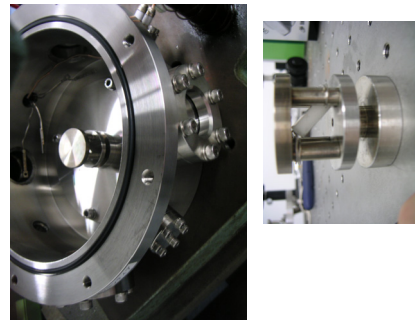


H. Nakayama and H. Katayama, *J. Phys. Condens. Matter.*, **15**(2003)R1077

C60ホリマー合成の原理

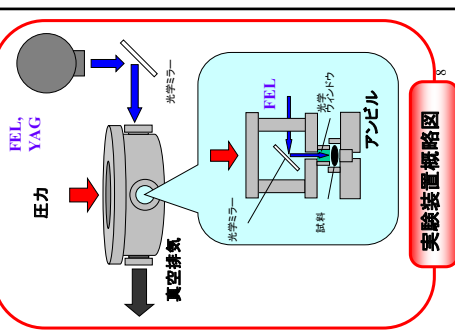


實驗裝置

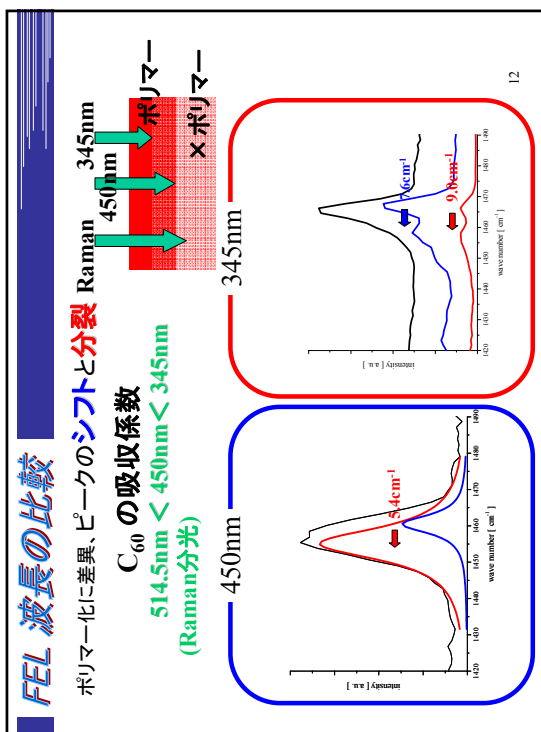
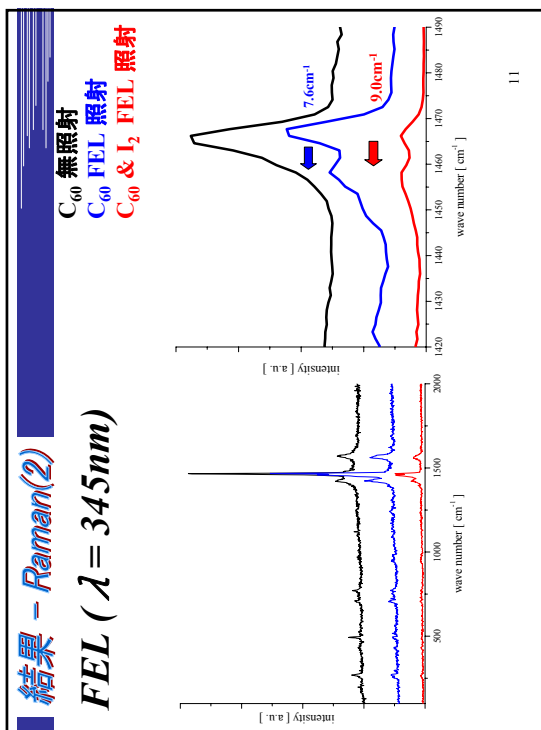
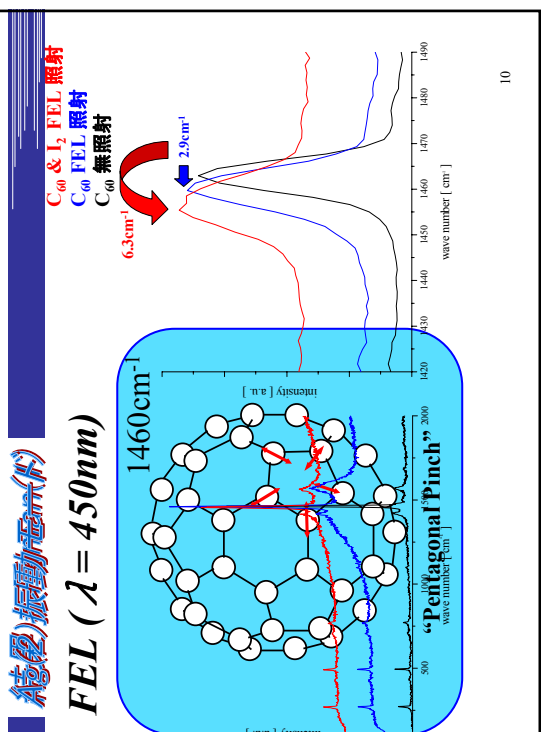
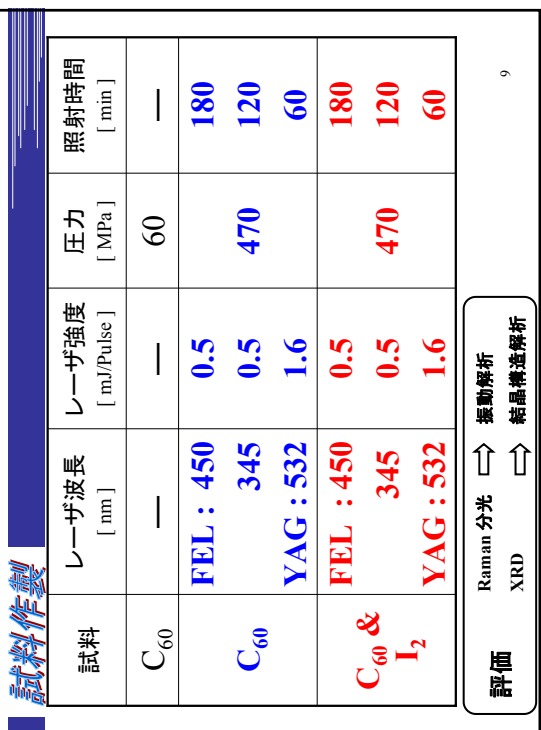


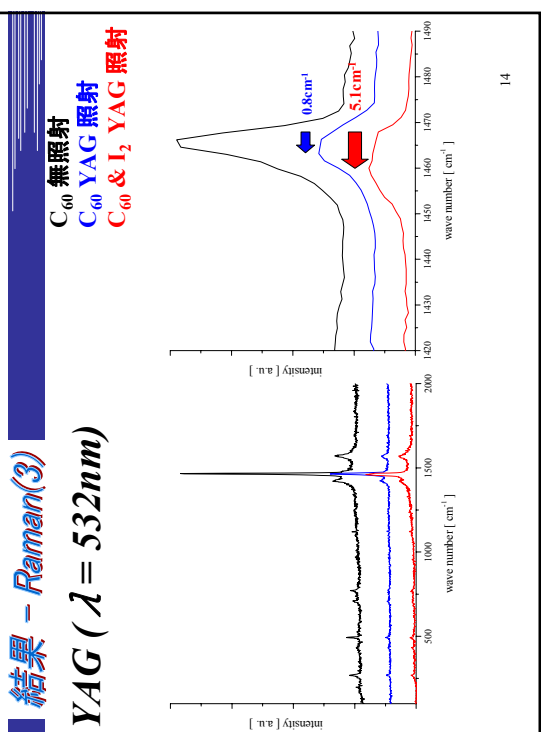
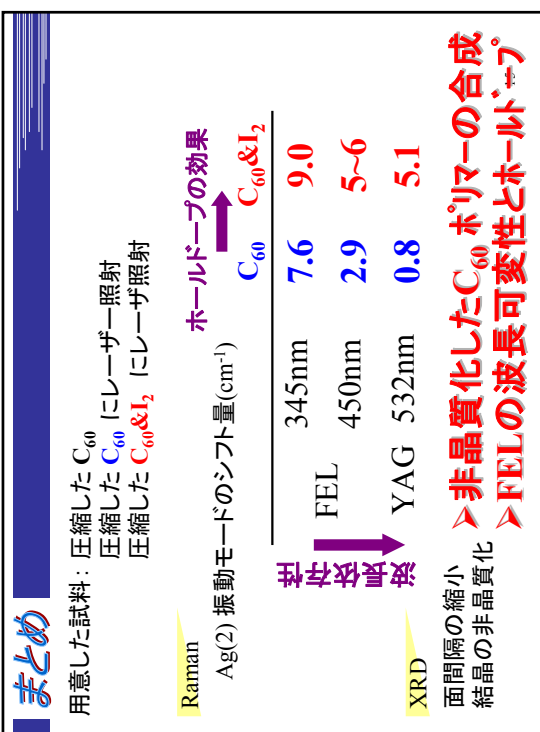
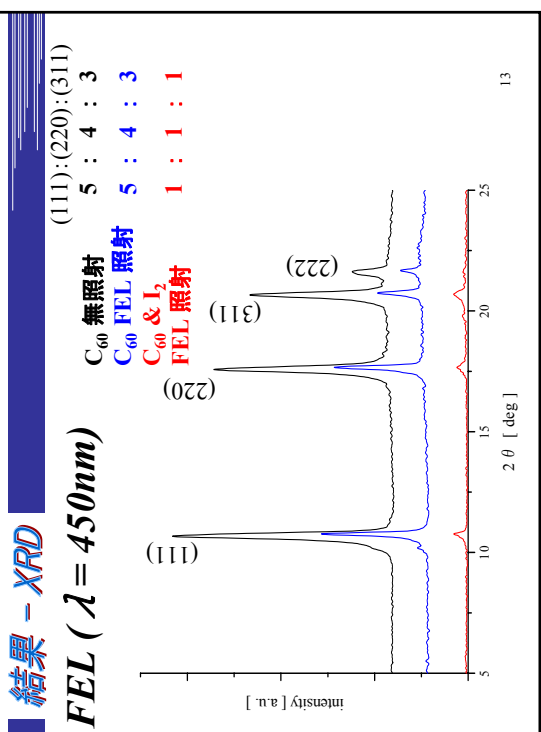
7

實驗裝置

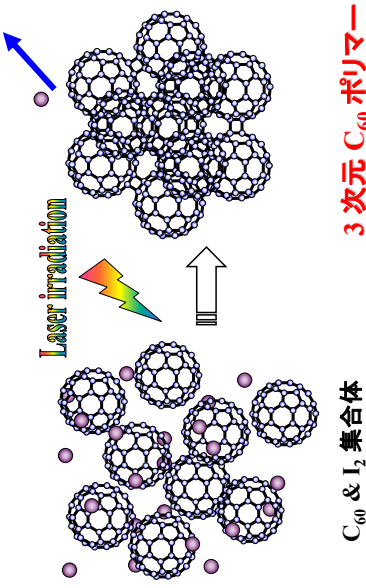


10





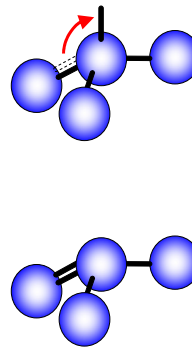
## 合成イメージ



17

18

## 結合エネルギー



$$C=C \text{ 146 [ kcal/mol ] } C-C \text{ 83 [ kcal/mol ] }$$

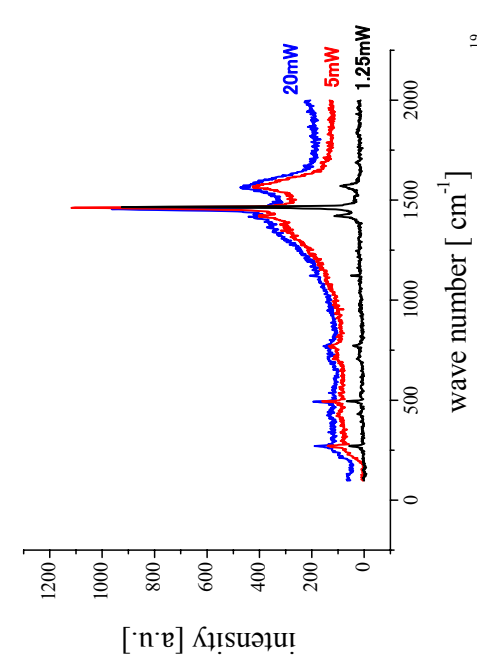
$$1.02 \times 10^{-18} - 5.78 \times 10^{-19}$$
$$= 4.39 \times 10^{-19} [\text{J}]$$

$$E = h\nu$$

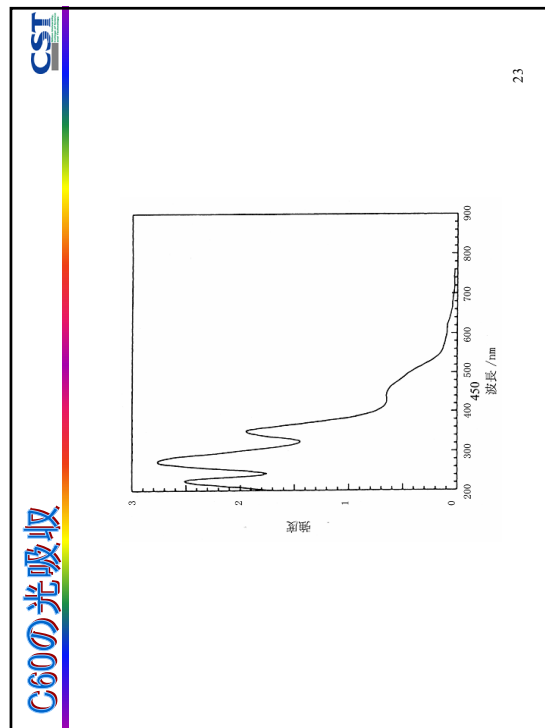
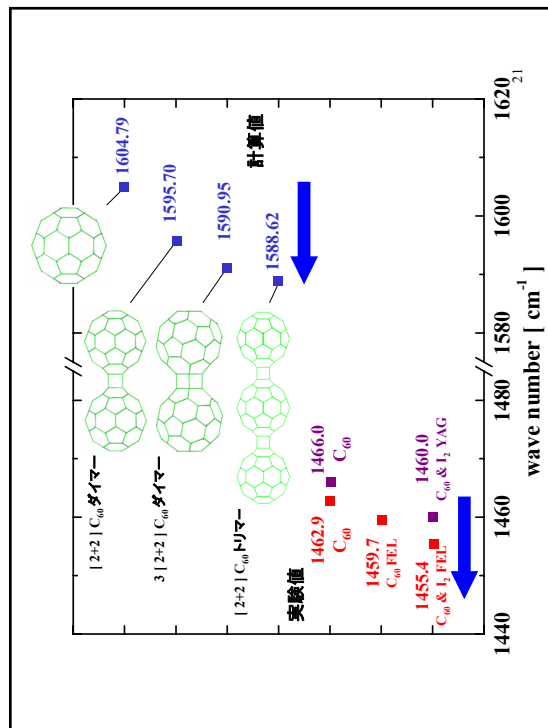
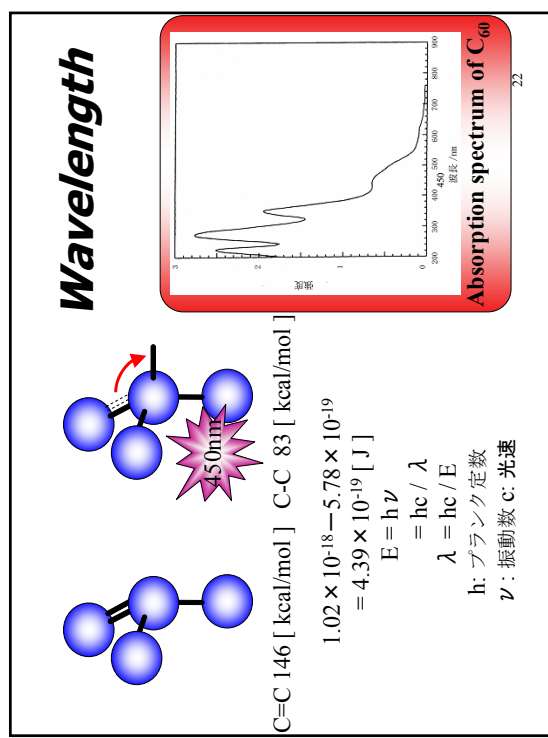
$$= hc / \lambda$$

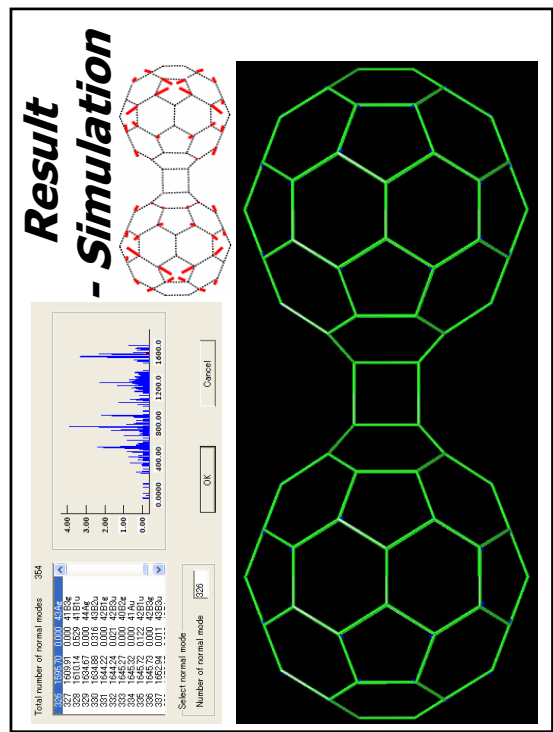
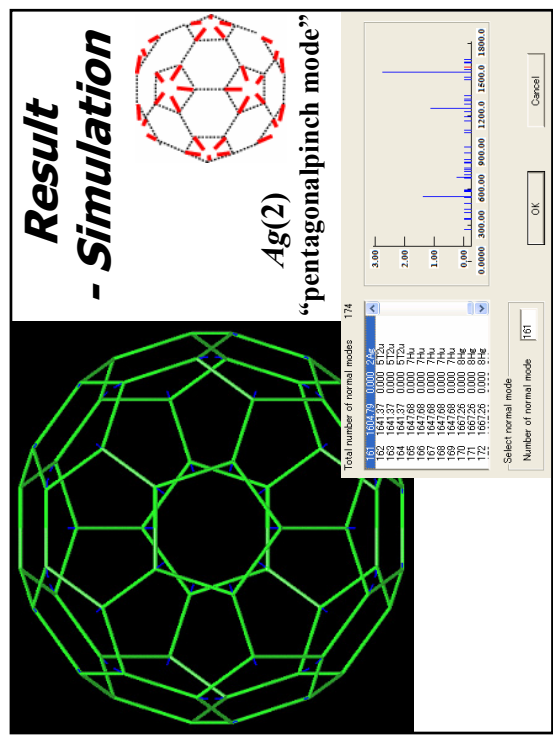
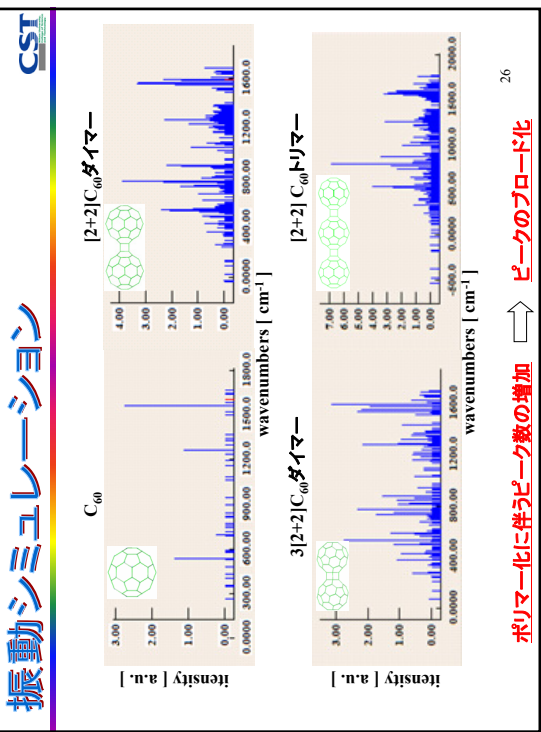
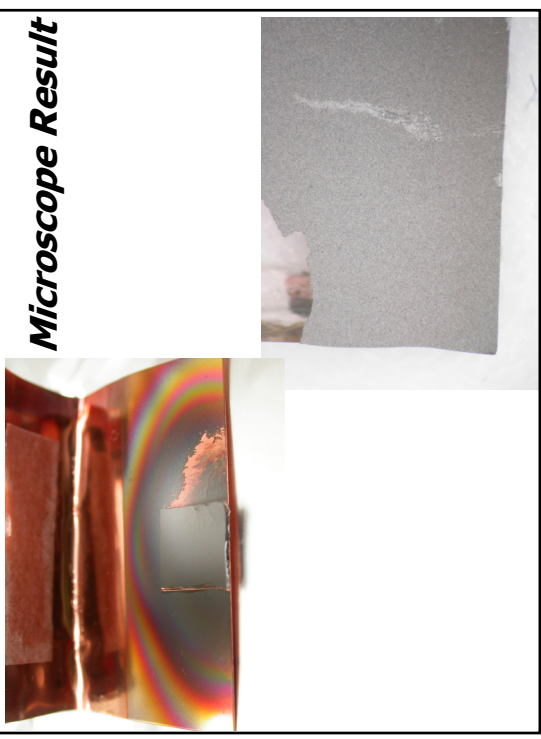
$$\lambda = hc / E$$
$$h: \text{プランク定数}$$
$$\nu: \text{振動数}$$
$$c: \text{光速}$$

20

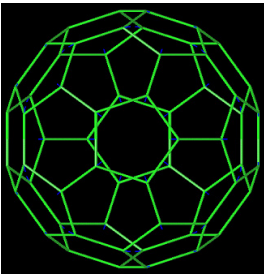


19





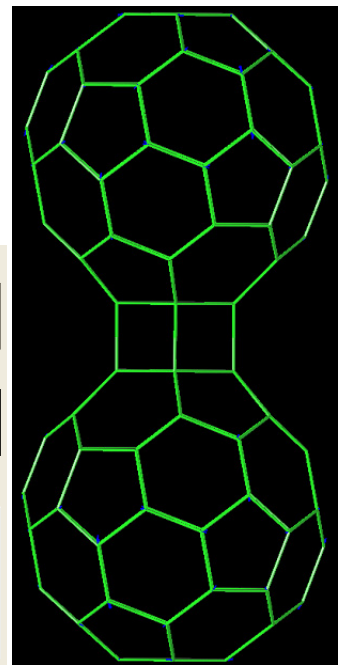
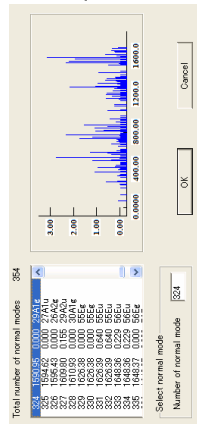
## Various value of Ag(2) mode



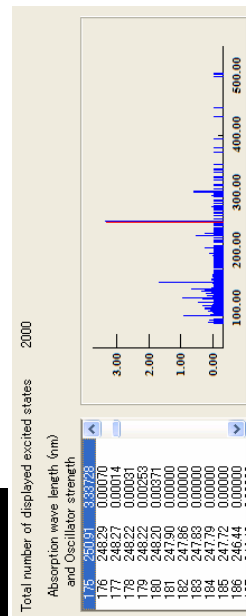
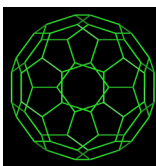
	Experiment	Reference	Simulation
Monomer	1462.9	1469	1604.8
Dimer	?	1460	1594.7

A simulation result widely different...  
However, shifting 10cm<sup>-1</sup> by dimerization is same!

## Result - Simulation



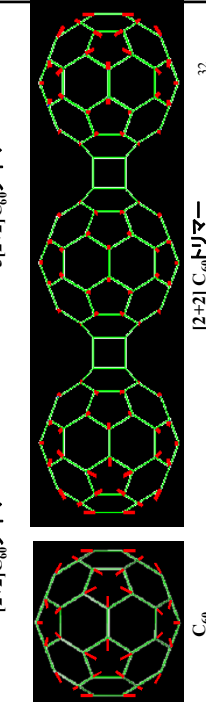
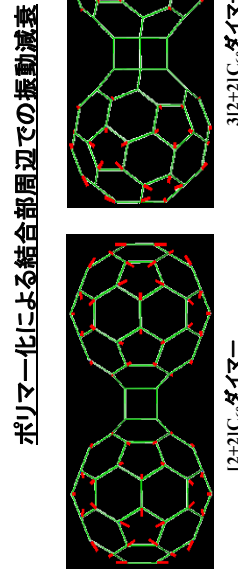
## Result - Simulation



Greatest absorption is about 250nm  
It is close to 248nm of the KrF oscillation  
wavelength of an excimer laser.

CST

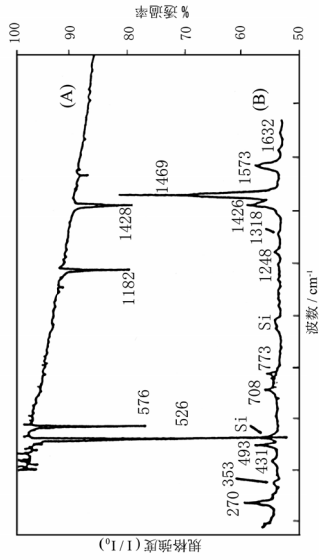
## Pentagonal Pinch Mode



32

31

## C<sub>60</sub>のIR(A)とラン(B)



## Laser Alignment

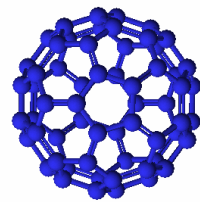


## 実験装置



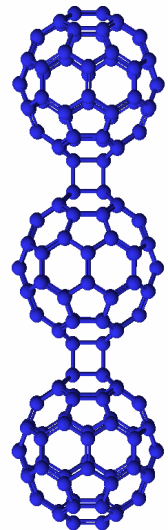
## Result - Simulation

C<sub>60</sub> molecule



## ***Result - Simulation***

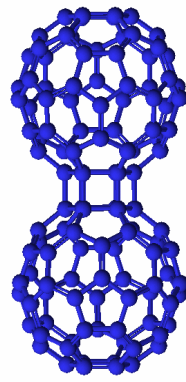
1D-C<sub>60</sub>polymer



37

## ***Result - Simulation***

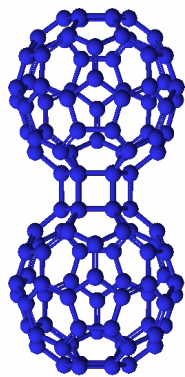
1D-C<sub>60</sub>polymer



3

## ***Result - Simulation***

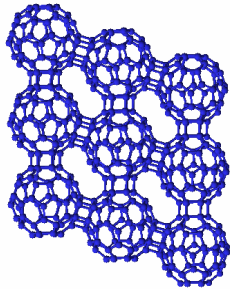
1D-C<sub>60</sub>polymer



3

## ***Result - Simulation***

2D-C<sub>60</sub>polymer(R)



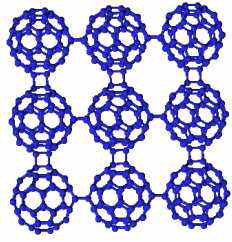
40

## ***Result - Simulation***

## ***Result - Simulation***

## *Result - Simulation*

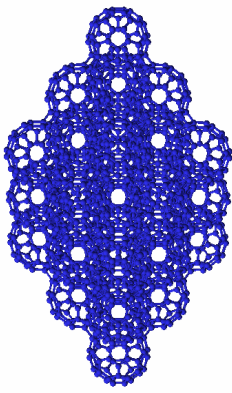
2D-C<sub>60</sub>polymer(T)



41

## *Result - Simulation*

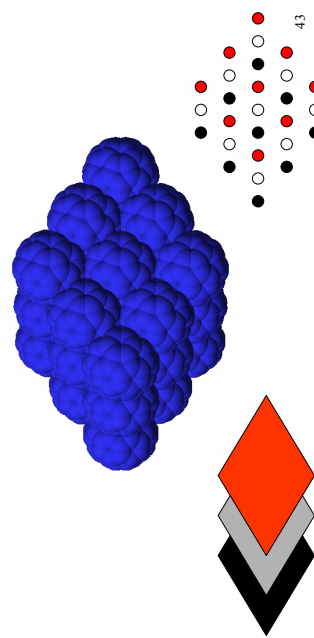
3D-C<sub>60</sub>polymer



42

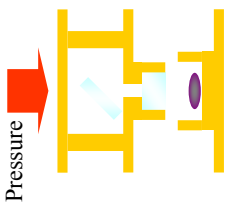
## *Result - Simulation*

3D-C<sub>60</sub>polymer



43

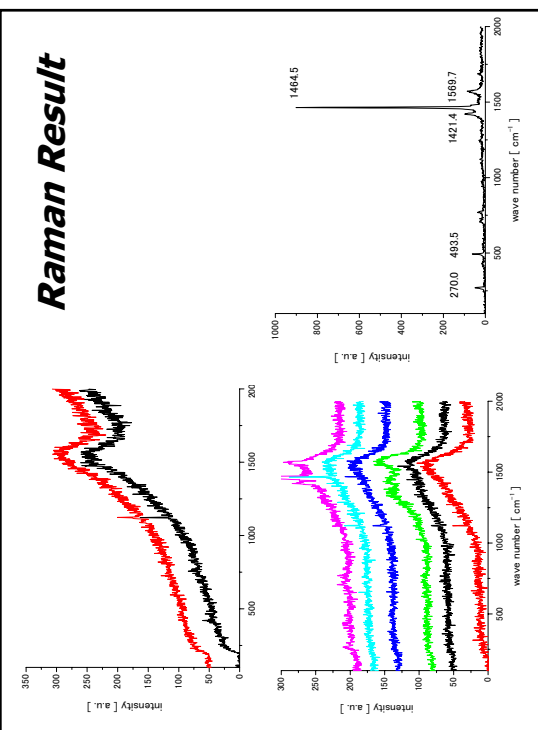
## *Laser Ablation*



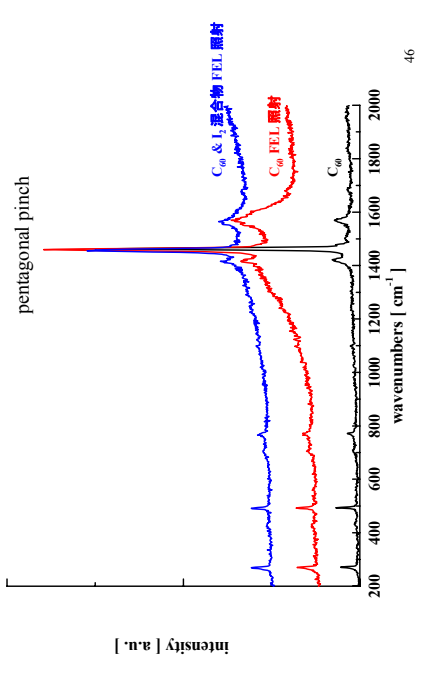
レーザアブレーションとは、レーザ光を固体に照射した場合、レーザ光照射強度がある大きさ以上になると、固体表面で、電子、熱的、光学的および力学的エネルギーに変換され、その結果、中性原子、分子、正負イオン、ラジカル、クラスター、電子、光が爆発的に放出され、固体表面がエッチングされるプロセス

44

## Raman Result



## ラマン分光



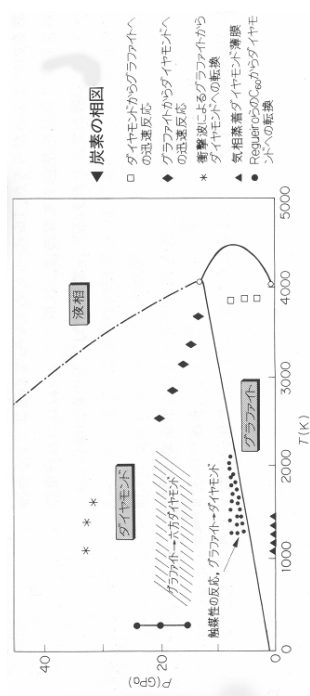
## 体積弾性率

C<sub>60</sub>分子 843GPa  
ダイヤモンド 441GPa

温度 (K)	相	$B_0$ (GPa)	$B_0'$	測定圧力範囲 (GPa)
152	SC	10.27	17.9	0~1.0
236	SC	9.42	13.8	0~1.0
298	fcc	6.8	30	0~0.13
336	fcc	6.77	21.5	9~0.3
300	グラファイト $c$ 軸方向	35.7*	10.8	0~14
	$a$ 軸方向	1250*	1	~

\* 線圧縮率の逆数

## 炭素の相図



48

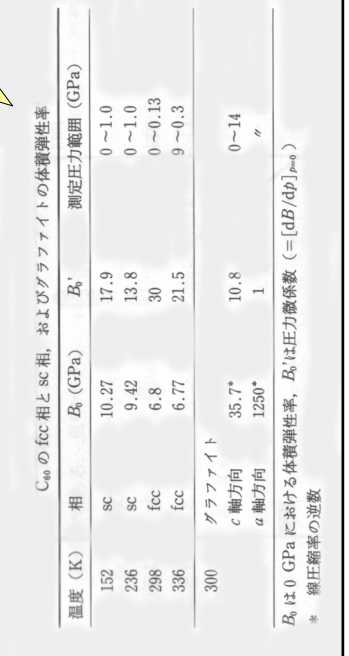
率彈性積體

C60分子 843GPa  
ダイヤモンド 441GPa

C <sub>48</sub> の fcc 相と sc 相、およびグラファイトの体積弾性率				
温度 (K)	相	B <sub>0</sub> (GPa)	B <sub>0'</sub>	測定圧力範囲 (GPa)
152	sc	10.27	17.9	0~1.0
236	sc	9.42	13.8	0~1.0
298	fcc	6.8	30	0~0.13
336	fcc	6.77	21.5	9~0.3
300	グラファイト			
	c 軸方向	35.7*	10.8	0~14
	$\alpha$ 軸方向	1250*	1	"

## 高圧合成立C60ポリマーの相

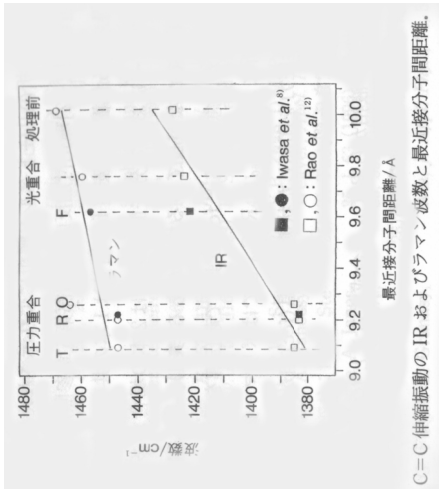
C60分子 843GPa  
ダイヤモンド 441GPa



## ポリマーの次元と分子間結合

$(C_{60})^0$	光重合(F相) 高压(F相) 高压(O相) 高压(T相) 高压(R相) 高压( $c$ 軸の平行)、R相 $A_1C_{60}(O$ 相)	無秩序三次元ポリマー 無秩序二次元ポリマー 一次元ポリマー 二次元ポリマー 二次元ポリマー 三次元ポリマー 一次元ポリマー 二量体	2本× $\alpha$ 2本× $\alpha$ 2本×2 2本×4 2本×6 2本×(6+ $\alpha$ ) 2本×2 1本×1
$(C_{60})^{-1}$	急冷(F相)	一次元ポリマー	1本×2
$(C_{60})^{-3}$	$Na_2RbC_{60}$	二次元ポリマー	1本×4
$(C_{60})^{-4}$	$Na_4C_{60}$	二次元ポリマー	1本×4

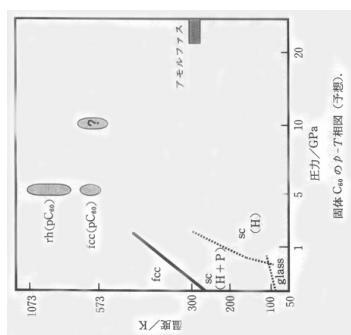
伸縮運動と分子間距離



## C<sub>60</sub>からダイヤモンド？

## 炭素の相図

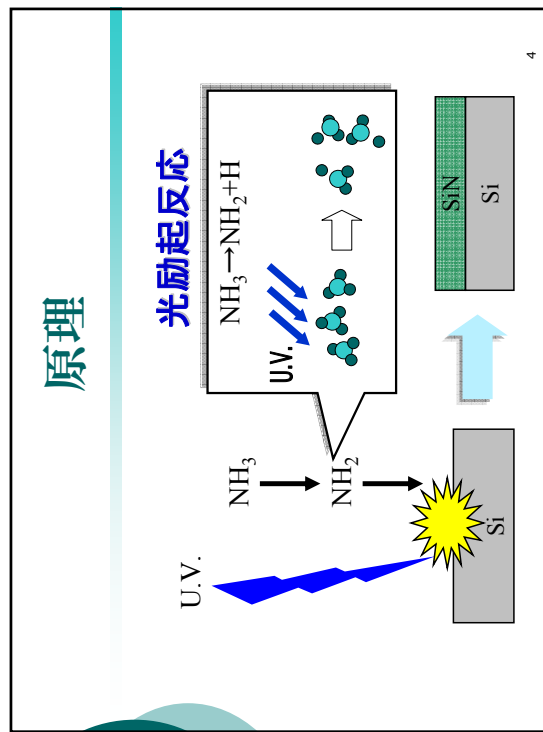
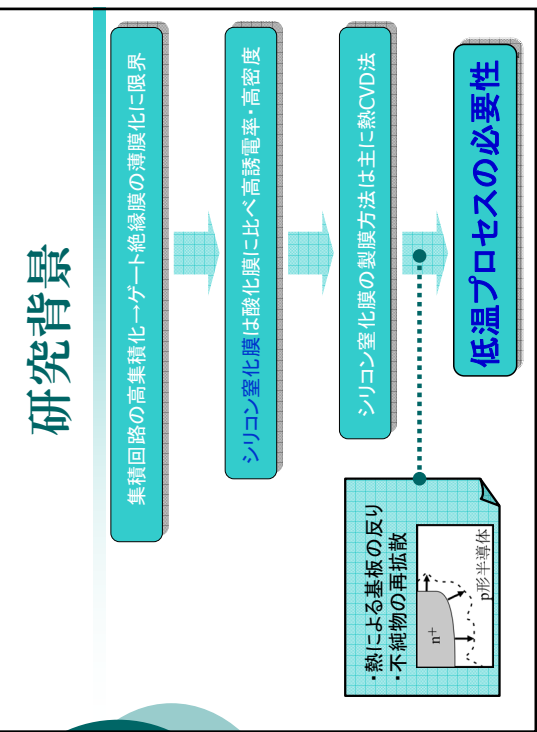
CSI



平成17年度学術フロンティア推進事業  
「可変波長高輝度単色光源の高度利用に関する研究」シンポジウム

## 光エネルギーを利用して 絶縁膜の低温成長

○稻野 正 (電子專攻 : 2年)
海老原 司 (電子專攻 : 1年)
西村 剛 (電子情報 : 4年)
高橋 芳浩 (電子情報 : 専任教師)
大西 一功 (電子情報 : 教授) 1



4



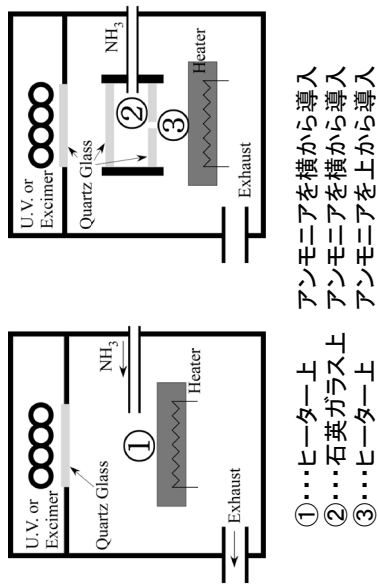
3

## 目的

- シリコン基板の低温窒化
- 励起管を用いて作製した窒化膜の諸特性評価
  - XPSによる組成分析
  - 耐酸化性
  - 電気的特性
- 電流伝導機構の検証

5

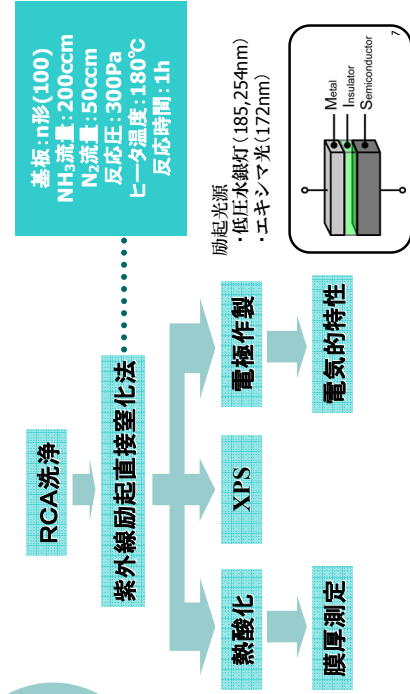
## 実験装置図と基板位置



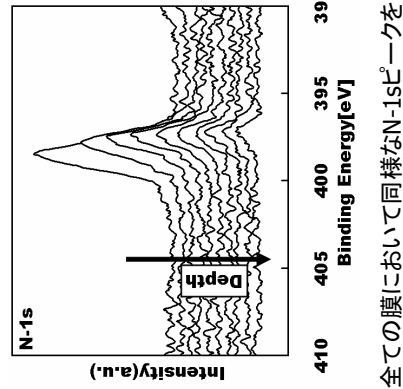
- ①…ヒーター上 アンモニアを横から導入
- ②…石英ガラス上 アンモニアを横から導入
- ③…ヒーター上 アンモニアを上から導入

6

## 実験方法



## XPSによるN-1sスペクトル

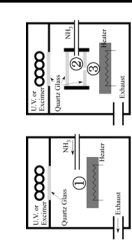


8

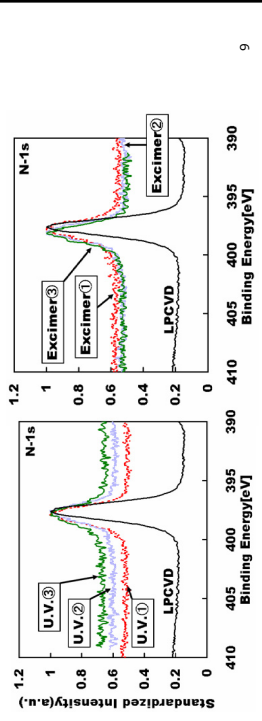
全ての膜において同様なN-1sピークを確認

## XPSによる表面層N-1s

チャージアップを考慮、Si-2pを99eVに補正



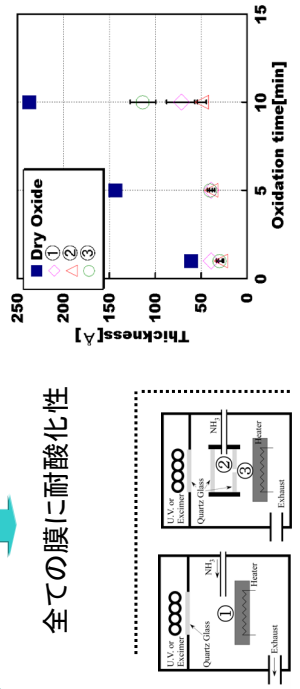
LPCVDによる窒化膜と同様な結合状態



## 熱酸化後の膜厚比較

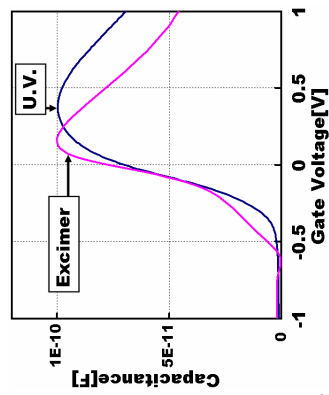
耐酸化性: ② > ①

今後は②を重点的に評価

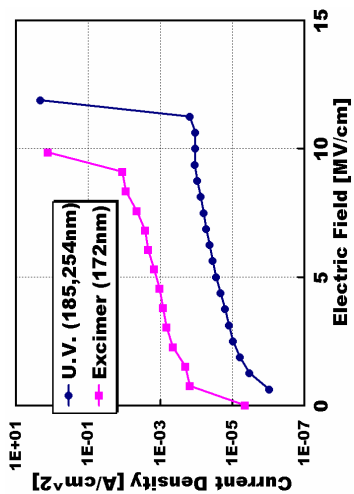


## 容量電圧特性

MIS構造のCVカーブを確認  
蓄積層での容量の減少はリーケ電流増加のため



## リーケ電流特性

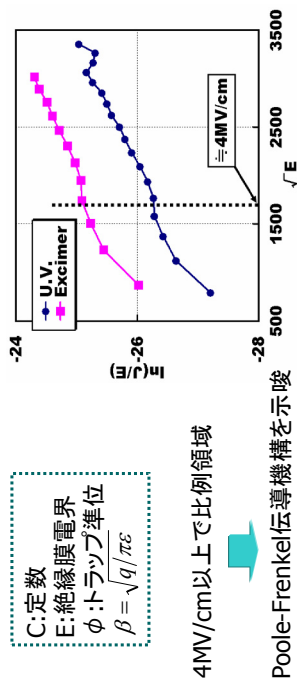


両光源共、約10MV/cmまで絶縁耐圧が得られた

## Poole-Frenkel伝導プロット

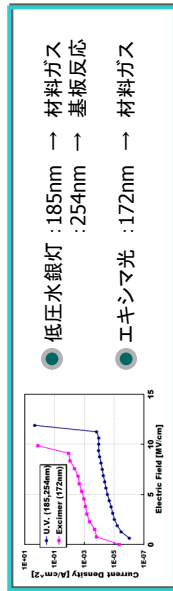
Poole-Frenkel電流密度

$$J_{PF} = CE \cdot \exp\left\{-\left(q/kT\right)\left(\phi - \beta\sqrt{E}\right)\right\} \Rightarrow \ln(J/E) \propto \sqrt{E}$$



4MV/cm以上で比例領域

## 今後の方針



- FEL (高調波) → 基板反応
- 基板反応 → 材料ガス
- エキシマレーザー → 材料ガス

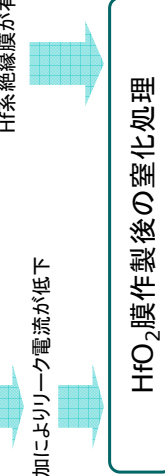
## FEL・エキシマレーザー光を利用した窒化プロセスの検討

## まとめ

- 光励起NH<sub>3</sub>ガスによる低温直接窒化
- ◆ 180°Cという低温で窒化が可能
- ◆ 作製した膜はシリコン結合が支配的
- ◆ 励起管を用いることにより耐酸化性が向上
- ◆ 電流伝導機構にはPoole-Frenkel伝導が寄与

## 今後の方針

- High-K膜・・・高誘電率薄膜
- 比誘電率の高い材料をゲート絶縁膜に用いることにより、電気的な膜厚はそのままに物理膜厚を厚くする事ができる
- 電子トラップによるデバイス特性の劣化
- 基材添加によりリード電流が低下



- 以上で発表を終わります

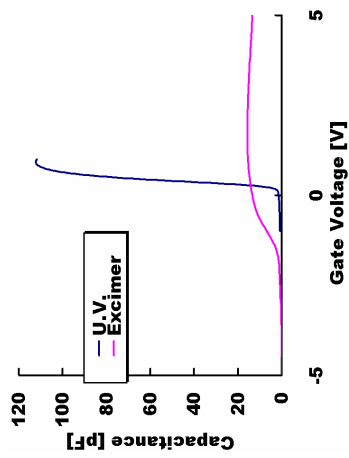
17

## 膜厚データ

光源	ヒーターのみ		励起管下
	励起管内	励起管下	
U.V.	2.1	2.1	2.2
	15.5	15.3	12.1
Excimer	2.1	2.1	2.2
	14.6	16.8	12.8
		平均屈折率	
		平均膜厚	

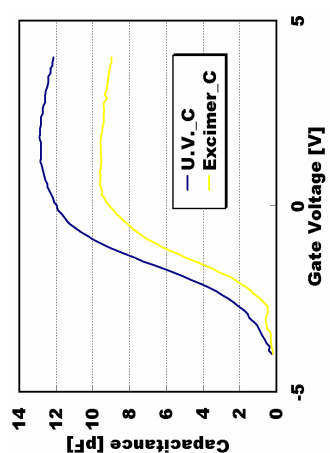
18

## 場所③CV



20

## 場所①CV

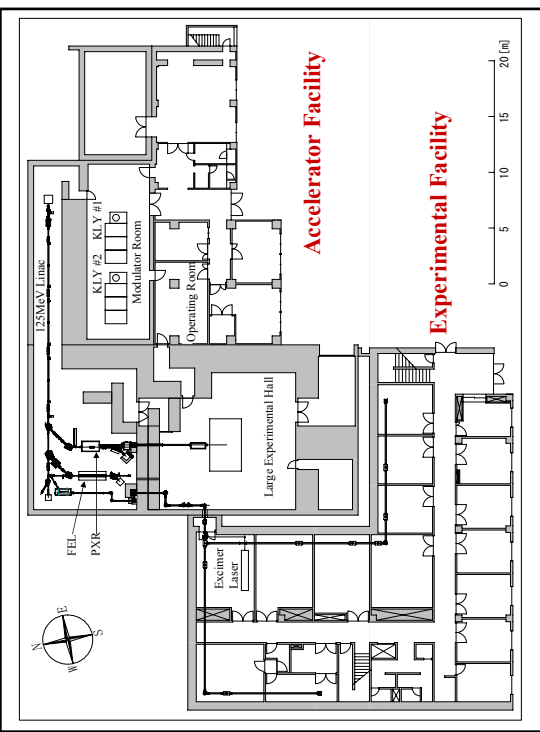


19

## 2005年度共同利用状況および施設の現状

日本大学量子科学研究所  
電子線利用研究施設  
田中 後成

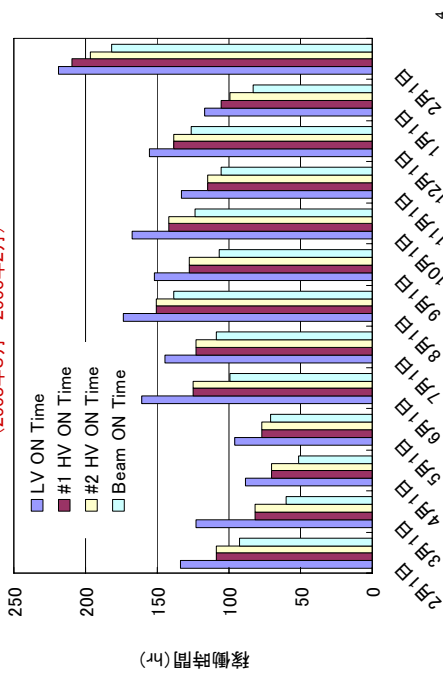
日本大学電子線利用研究施設 学術フロンティア・シンポジウム 2006/3/16-17 13号館1325教室

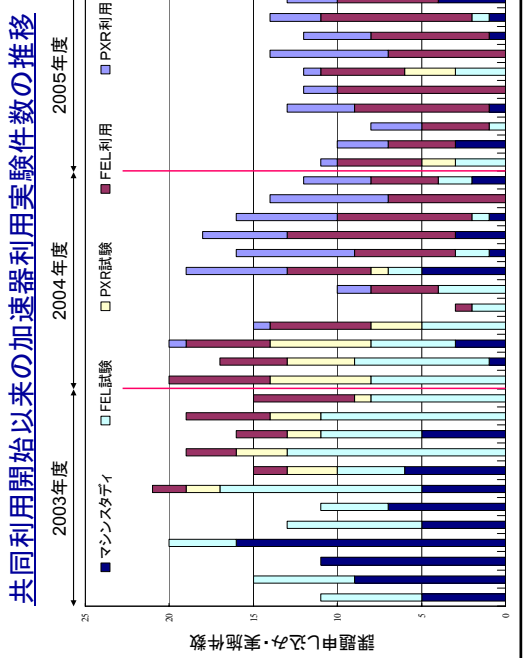
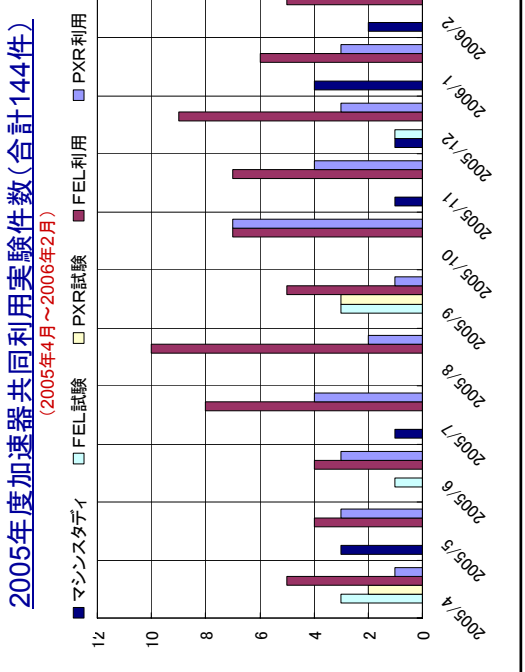


## 年間加速器稼働時間の推移

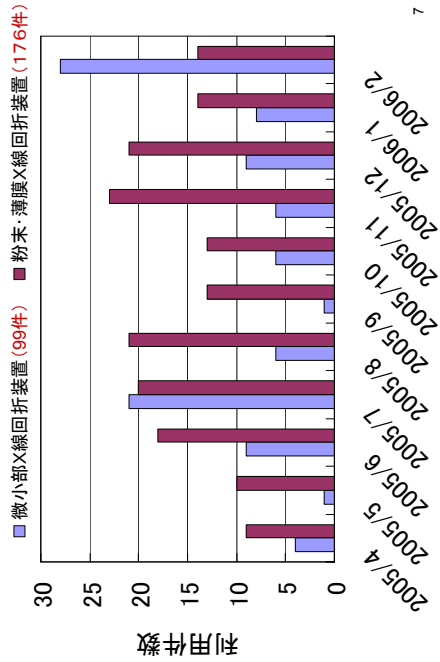
	LV ON Time (hr)	#1 HV ON Time (hr)	#2 HV ON Time (hr)	BEAM ON TIME (hr)
2003/4- 2004/3	2406.27	1588.70	1894.30	852.90
2004/4- 2005/3	1829.65	1353.57	1350.43	1082.28
<b>2005/4- 2006/2</b>	<b>1607.43</b>	<b>1383.57</b>	<b>1364.58</b>	<b>1196.22</b>
Total Time	5843.35	4325.83	4609.32	3131.40
<b>2005/3- 2006/2</b>	<b>1730.32</b>	<b>1465.32</b>	<b>1446.33</b>	<b>1256.08</b>

## 最近1年間の月別加速器稼動時間の推移 (2005年3月～2006年2月)





### 予備実験用X線回折装置利用状況



### 施設の現状

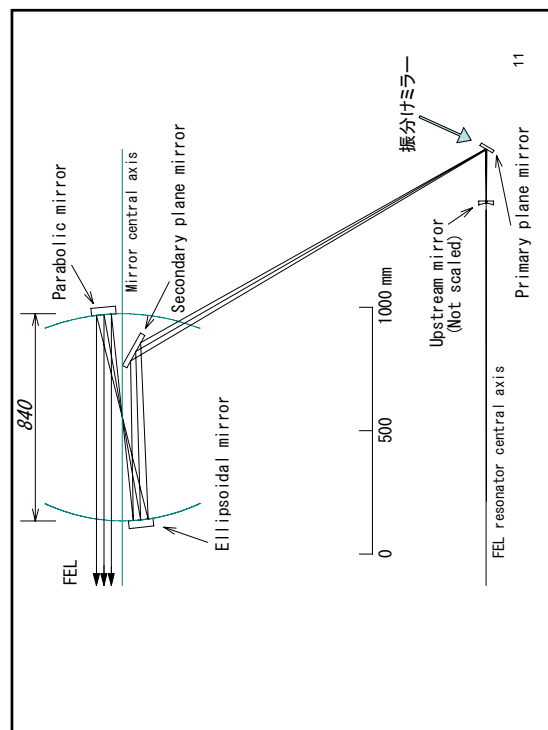
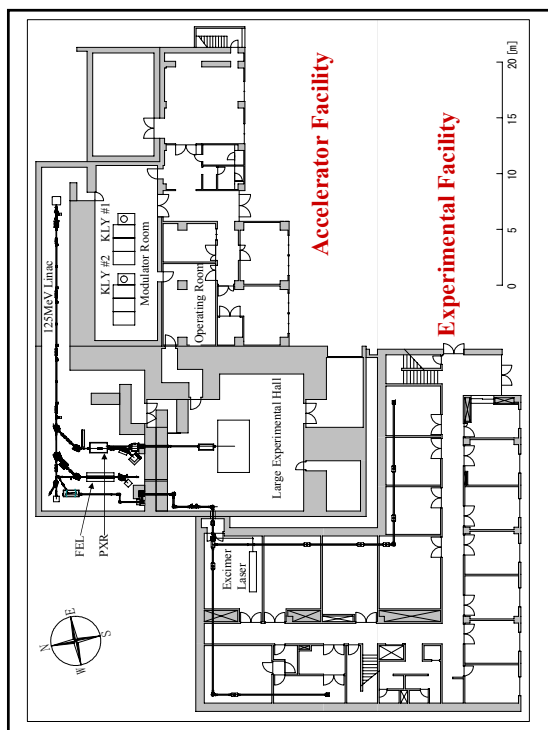
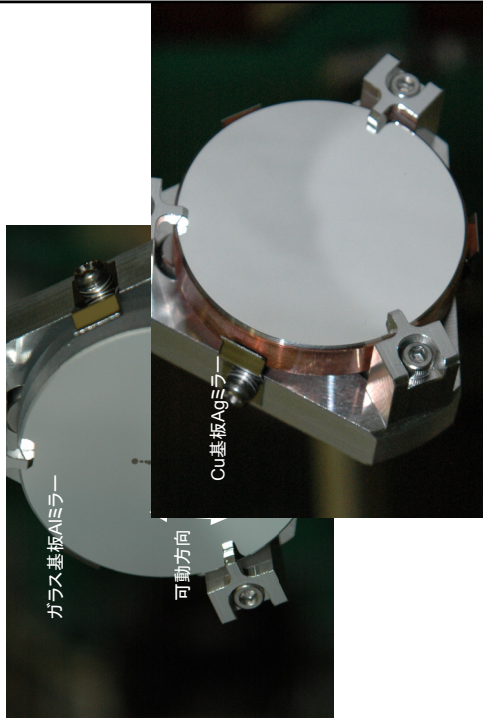
- FEL出力パワー最大60mJ (@1725nm) を達成 (2006/1/20, 23)  
@FELモニター（が、その後は從来のパワーモードが観測されず）
- 加速器の運動と冷却水温等との相関を測定・分析中  
ビームエネルギー・フィードバックによる安定化を試験中  
今後FEL, PXRの安定化への寄与を検証
- 長時間連続運転 (>24時間) におけるビーム安定度の測定
- 加速器冷却装置の更新工事  
2004年度末に冷凍機更新済み  
冷凍機冷凍水の温度安定化 ⇒ 現在工事中  
精密温調器更新+リザーバタンク大型化 ⇒ 2006年度
- モジュレーター室空調機トラブルが頻発⇒クラウドストロン窓周辺の  
真空度に影響 (⇒クラウドストロン動作不安定を招く)  
温湿度制御が粗い (±2°C)ため、早期に更新したい

### FEL利用におけるトラブルと今後の課題

- 振り分けミラーの損傷
- 共振器ミラーの損傷
- 真空悪化
- 光輸送光学系のミスマッチメント
- 実験室ポート跳ね上げミラー駆動機構
- FELモニター機構(オペレーター側)の改善
- FELモニター機構(実験室)の充実
- FELパワーの安定化

10

### FEL取出し系振分けミラーの損傷と更新(2005/7/4)

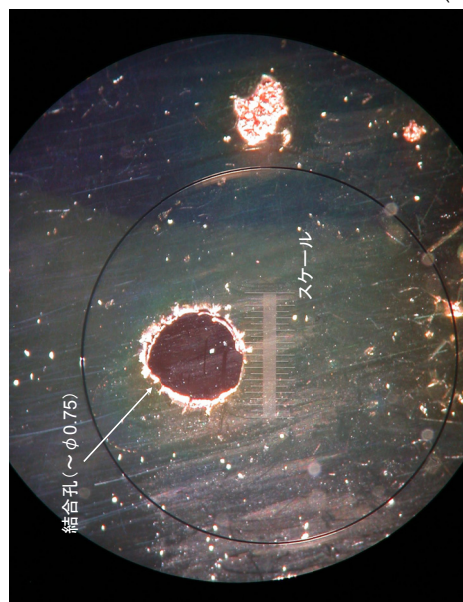


### FEL共振器ミラー更新(2005/12/24)

下流側ミラー表面写真(ホルダー収納状態で撮影)  
（どちらも銅基板銀蒸着ミラー）  
交換前  
交換後

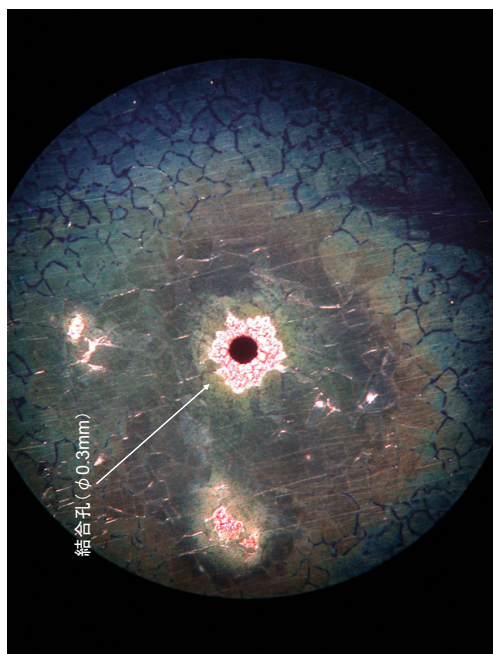


### FEL共振器上流側ミラーにおける損傷

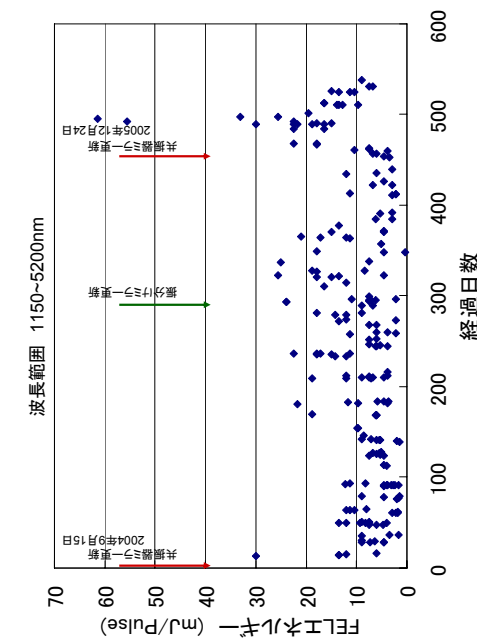


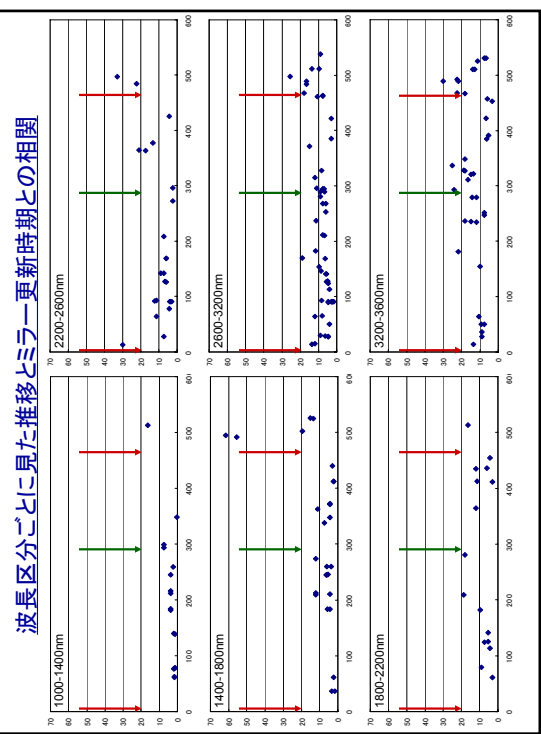
14

### 2004/9/15交換時の上流側ミラーにおける損傷



### FELパワーの推移とミラー損傷との相関の検討





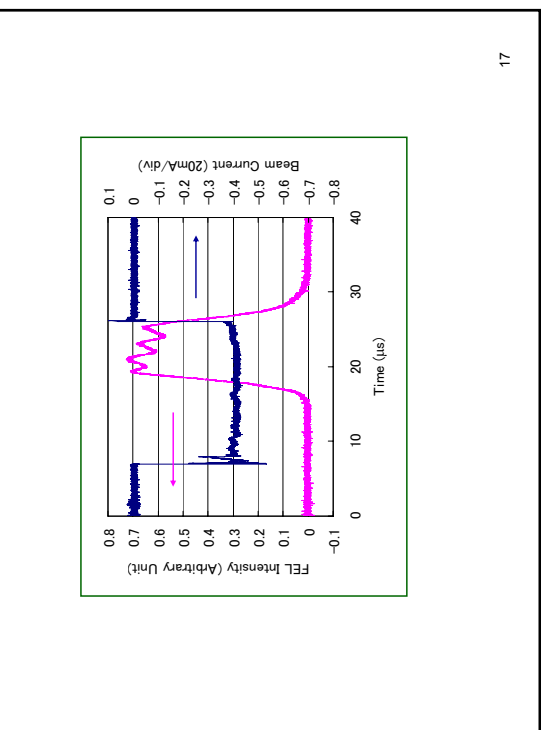
#### ミラー材料の問題

Ag(Cu):現行使用 充分な耐性が得られていない  
Ag(Si):購入予定 耐性は未知数

#### 共振器ミラーの発熱の影響(?)

5Hz運転の際には、ビーム調整による瞬時のFELパワー変化に加えて、1秒程度かけてさらにFELパワーレベルの遷移が見られる

↓  
ミラー間隔の調整でパワーレベルを回復可能

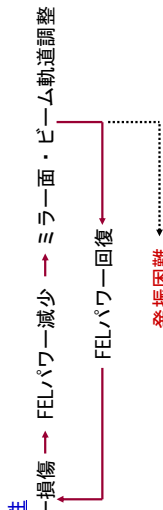


**結果：**共振器ミラーの損傷とFELパワーの低下を明確に  
関連付けるような傾向は見られない

ミラーの損傷が徐々に進むのか、突然大きく損傷を受けるのが不明

**経験則：**ミラー更新直後は発振が容易且つ発振レベル  
も概して高いが、短期的である

**可能性**



## 動物実験系を応用したレーザーの生物学的効果の検証

多田 充裕<sup>1</sup>, 久保山 昇<sup>2</sup>, 木場 秀夫<sup>3</sup>, 岸川 道子<sup>4</sup>  
日本大学松戸歯学部 <sup>1</sup>歯科総合診療学, <sup>2</sup>口腔分子薬理学,  
<sup>3</sup>口腔病理学, <sup>4</sup>生化学・分子生物学

1

### 目的

関節リウマチの予防・治療法に関する  
ヒト慢性関節リウマチのモデル動物を用  
いて、低出力レーザーおよび近赤外線照  
射による抗炎症効果を検討する。

### 実験材料

- (1) 実験動物 生後5週齢のLewis(レイス)系雌性ラット  
(2) 照射装置  
① 低出力レーザー (Ga-Al-As半導体) 照射装置  
　　波長: 830nm (松下電器産業)  
② 近赤外線照射装置  
　　波長帯: 600—1600nm (東京医研)

3

### 方 法

ラットII型コラーゲン関節炎は、Lewis系雌性  
ラットに抗原であるウシII型コラーゲンを背部お  
よび尾根部皮内に投与し、関節炎を発症させた。  
低出力レーザーおよび近赤外線の照射条件は、  
総照射エネルギー密度 5 J/cm<sup>2</sup> (500 sec/day:連  
続照射)で、1日おきに照射を行った。

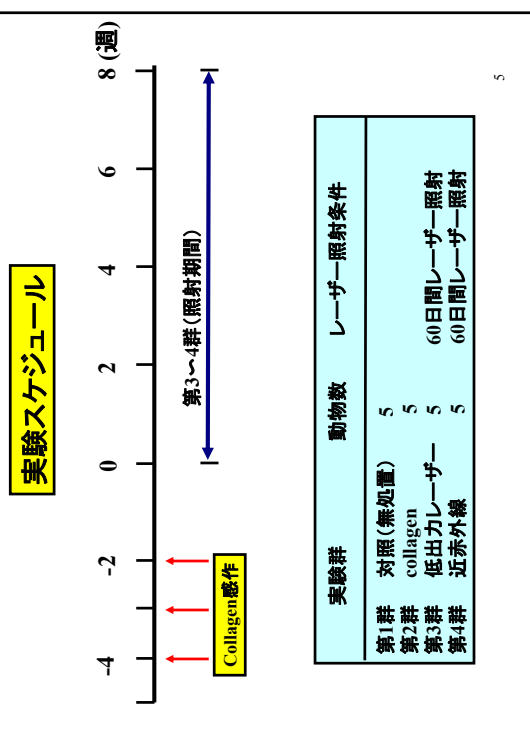
4

### ラットⅡ型コラーゲン関節炎モデルの作製

抗原:ウシⅡ型コラーゲン  
Adjuvant Peptide  
Freund's Incomplete Adjuvant



6



157



Collagen感作群

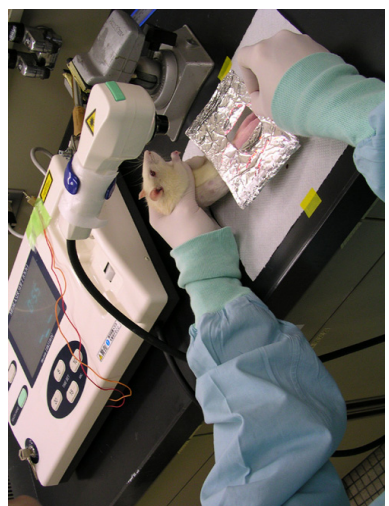
8



対照群



### 低出力レーザー照射(松下電器)



9

### 近赤外線照射(東京医研)



10

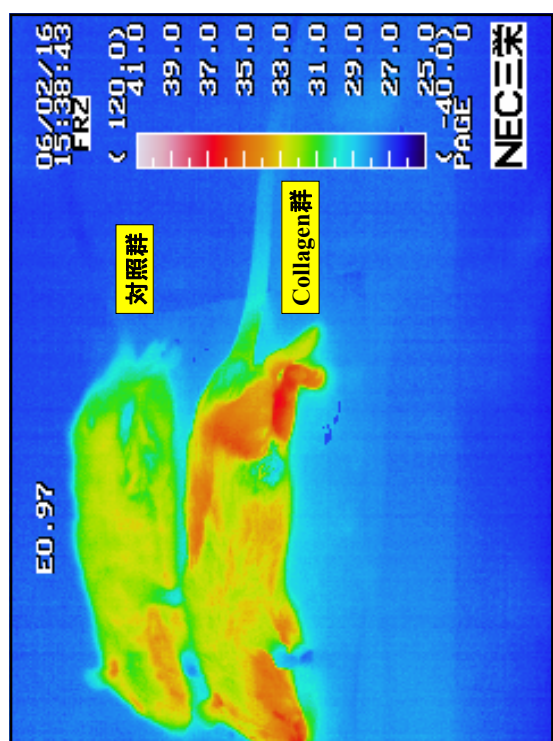
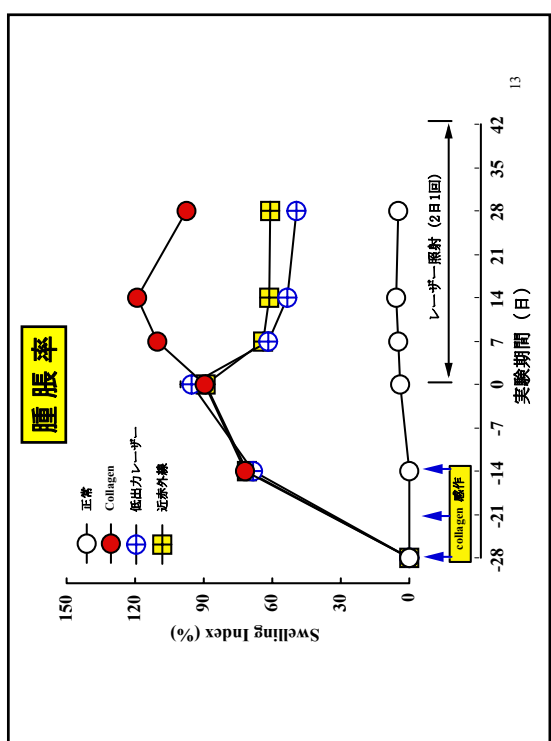
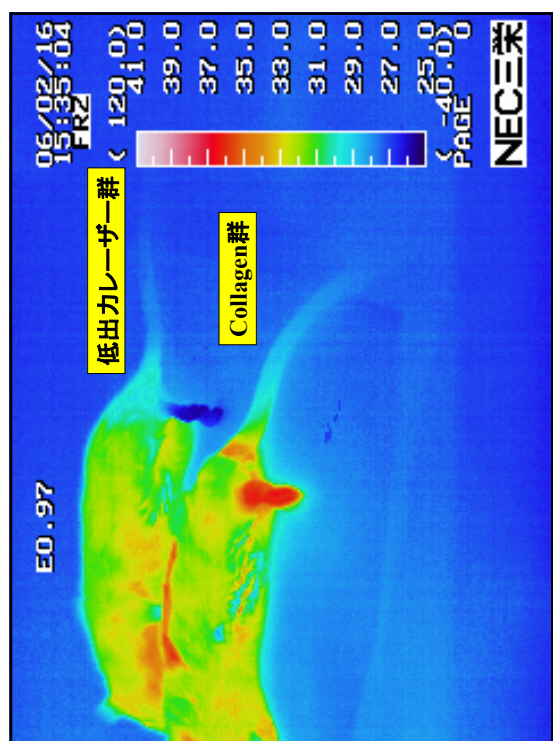
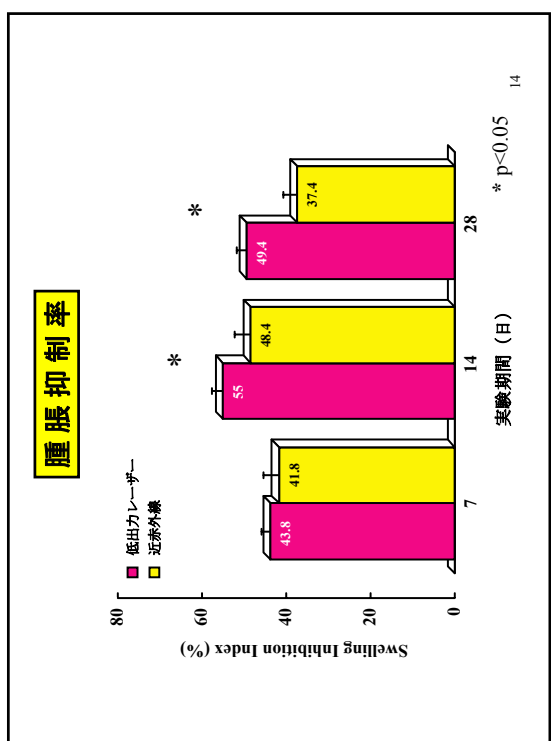
### 測定項目

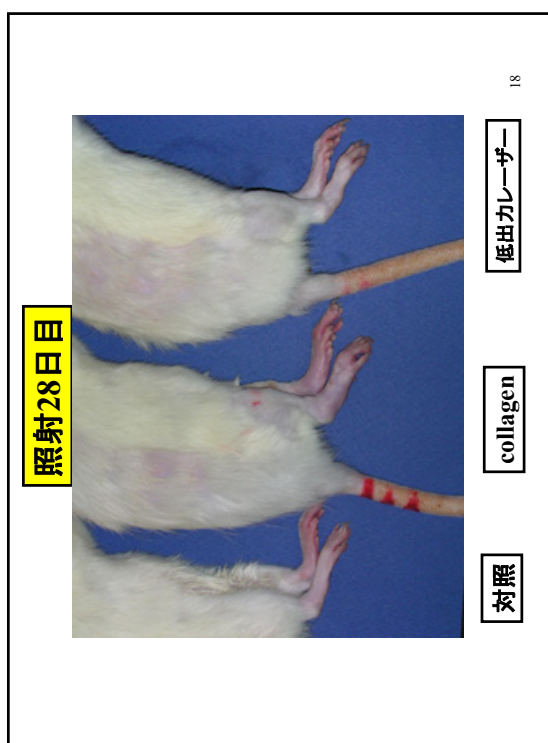
- (1) 足跡 腕節の腫脹
- (2) 血液検査: IL-1 $\beta$ 、PGE<sub>2</sub>、MMP-3、IL-8、CRP
- (3) 病理組織学的観察:  
足跡、膝関節の骨吸収および軟骨組織内に生成される  
サイトカイン
- (4) 骨の観察:  
軟エックス線およびマイクロCTによる骨吸収の観察

### 足跡腫脹の測定方法



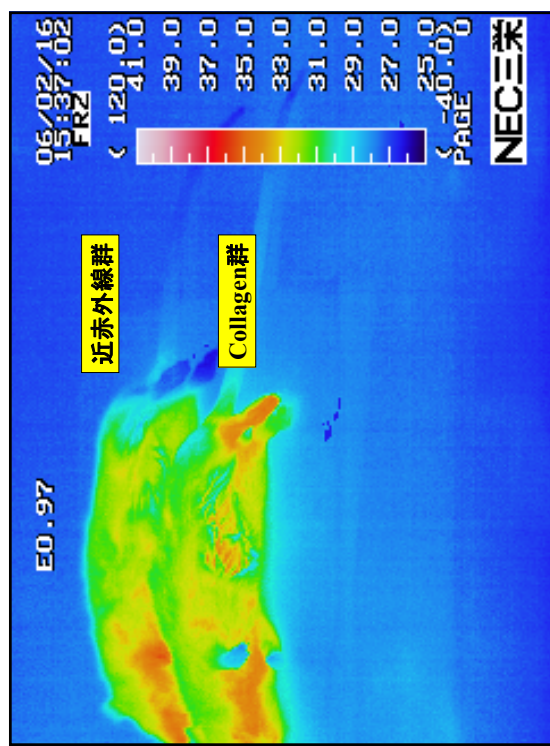
12





**結論**

低出力レーザーおよび近赤外線照射は、II型コラーゲン関節炎ラットの後肢の腫脹を有意に抑制した。従って、レーザー波長の可変可能な自由電子レーザーの治療効果が期待できる。

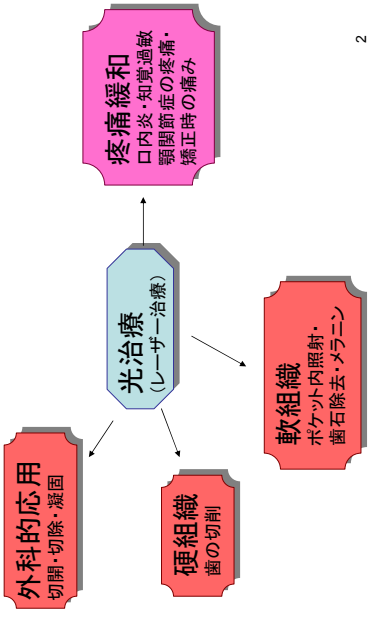


## 機能ゲノム科学応用による光照射生物学的効果の機序解明

日本大学松戸歯学部 生化学・分子生物学講座  
柴田 恵子、安孫子宜光

1

## レーザーの歯科応用について



2

### 研究目的 レーザー治療の機序解明

メカニズムが不明な点が多い

レーザーの生理作用  
レーザーの作用機序

### 解説

実証科学的に発展させることが必要

## レーザー治療の推進

3

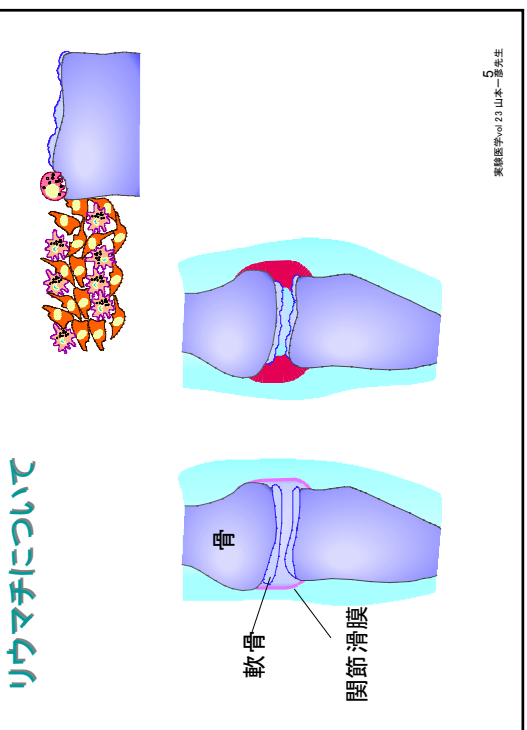
### 実験計画

- リウマチ由来の細胞を使つた系で、IL-1βによって抑制されるか？
- レーザー照射による効果とDexの効果に違いはあるのか？

—Microarrayによる解析—

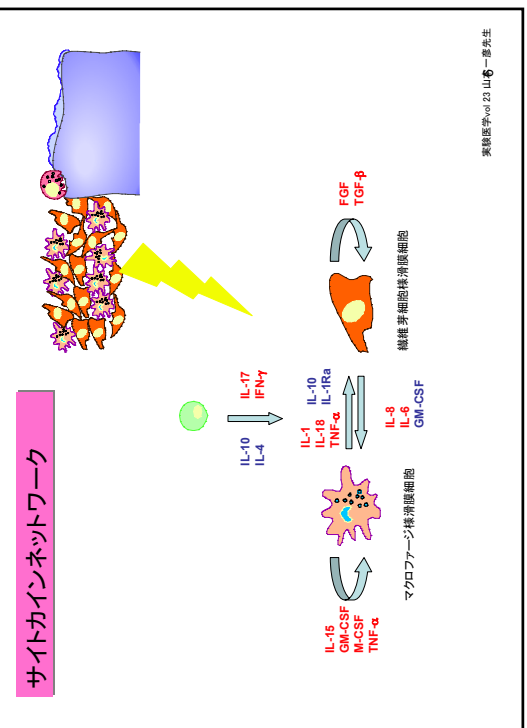
4

## リウマチについて



実験医学/vol 23 山本一彦先生  
5

## サイトカインネットワーク



実験医学/vol 23 山本一彦先生

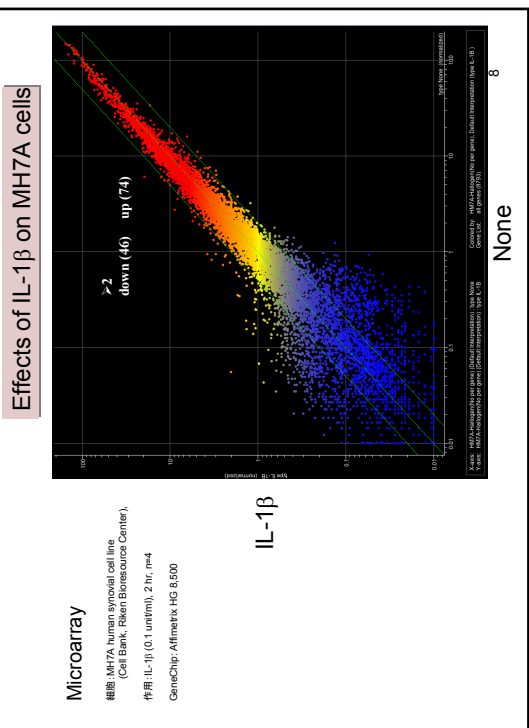


An immortalized thermatoid fibroblast-like synoviocyte line, MH7A was established by stably transfecting FL5 cells with SV40 T antigen gene.  
MH7A cells were stained positively for IL-1R, ICAM-1, CD16, CD40, CD80, and CD95. IL-1β enhanced the production of IL-6, stromelysin-1, and surface expression of ICAM-1, in a manner similar to that in the parental fibroblast-like synoviocyte.

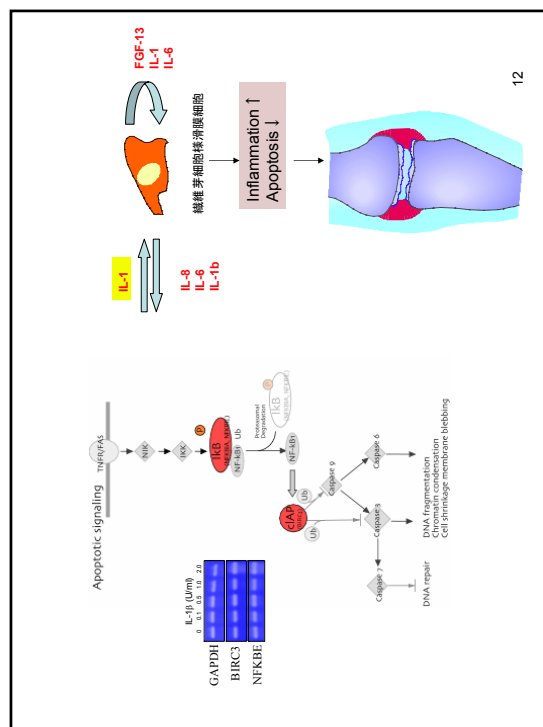
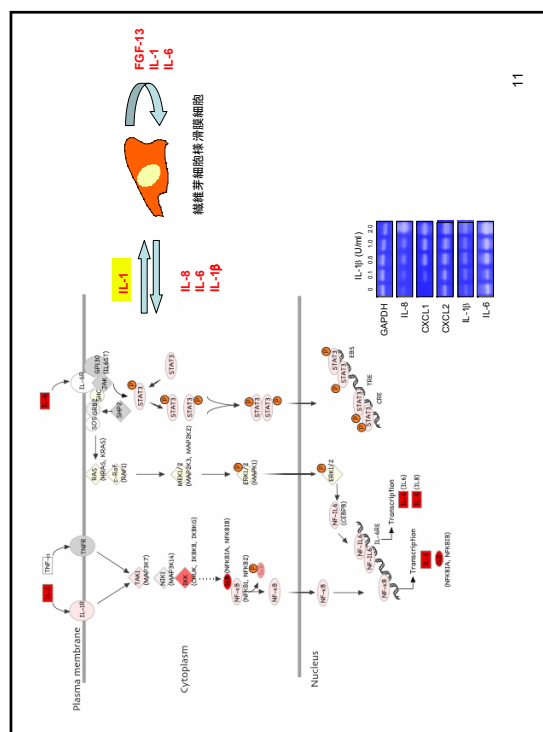
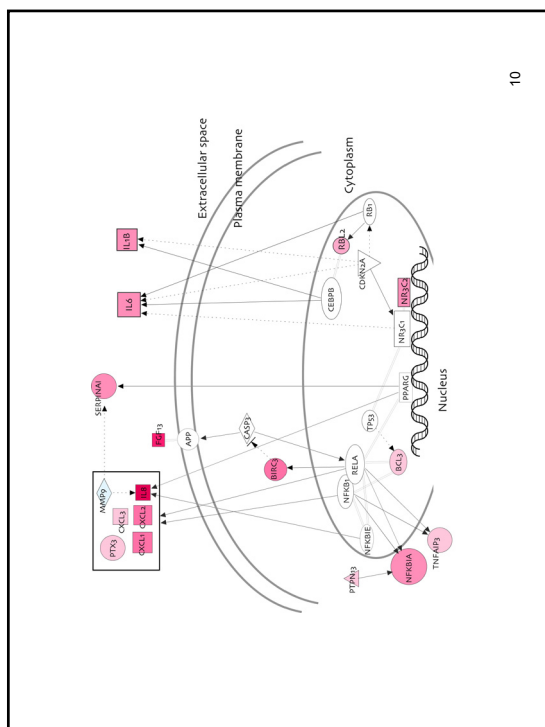
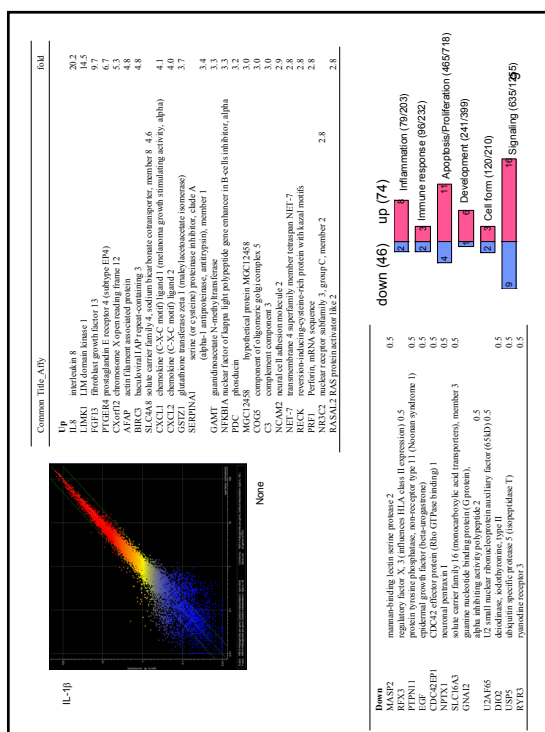
Miyazawa K., et al., J. Biochem. 124, 1153-1162. (1998)

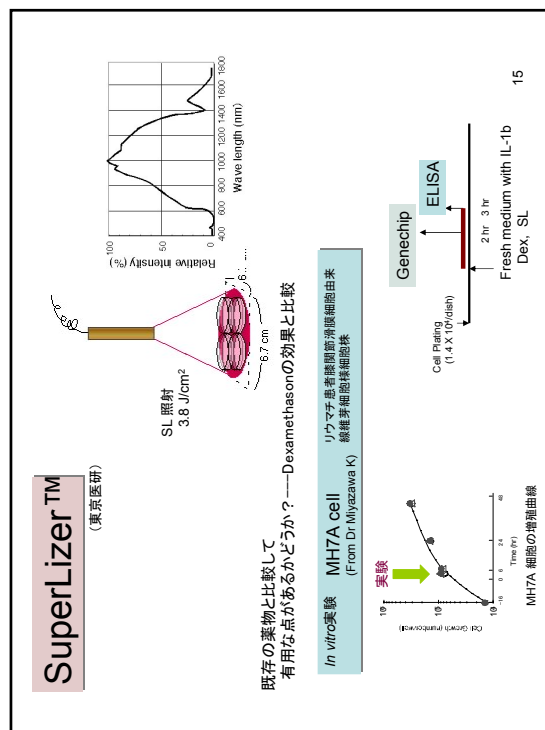
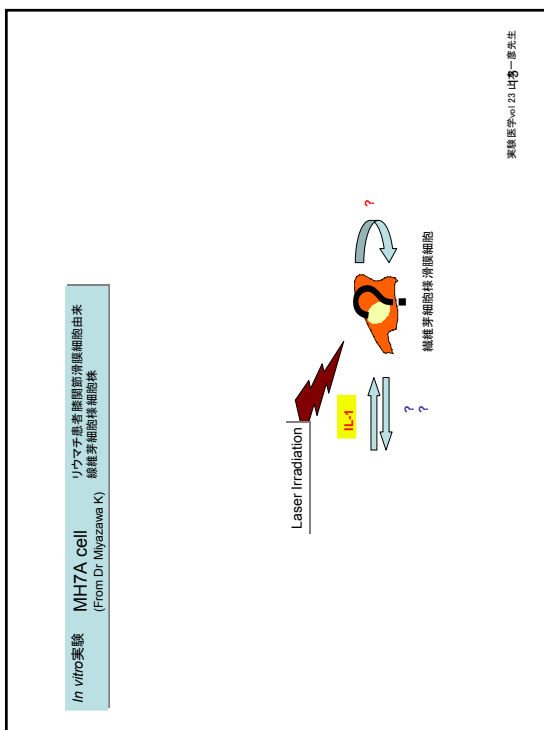
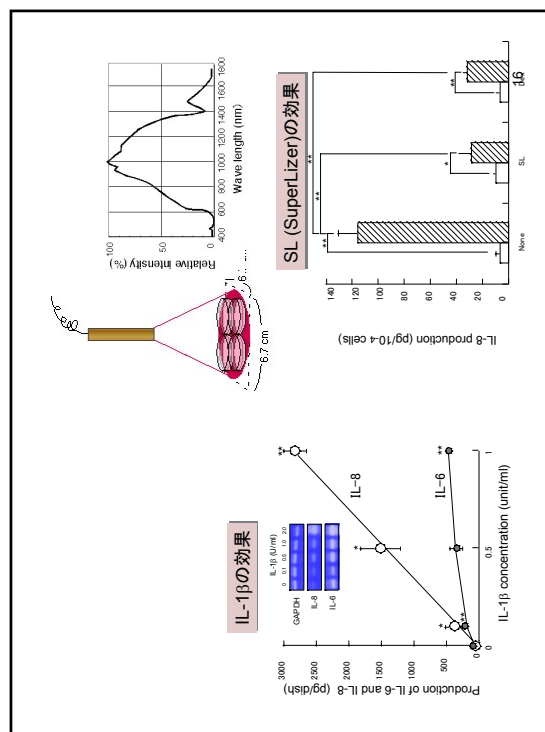
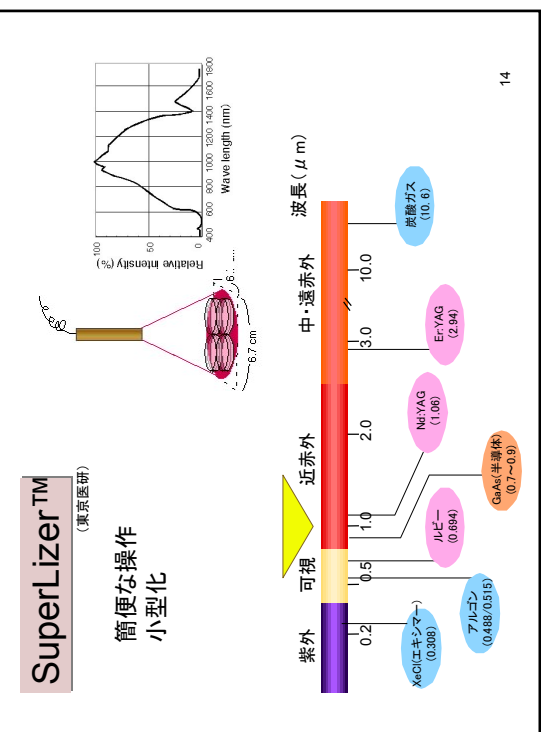


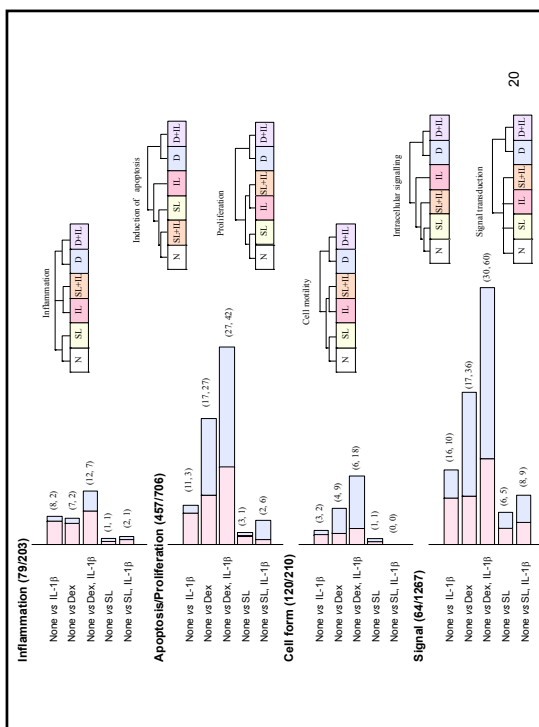
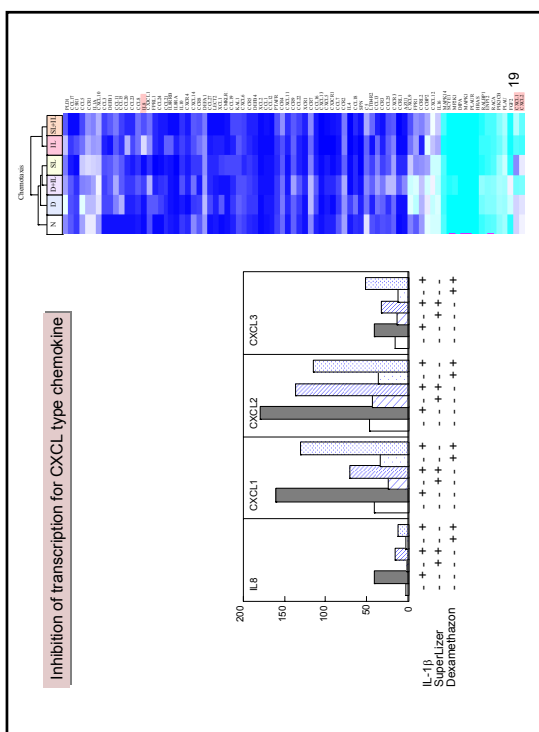
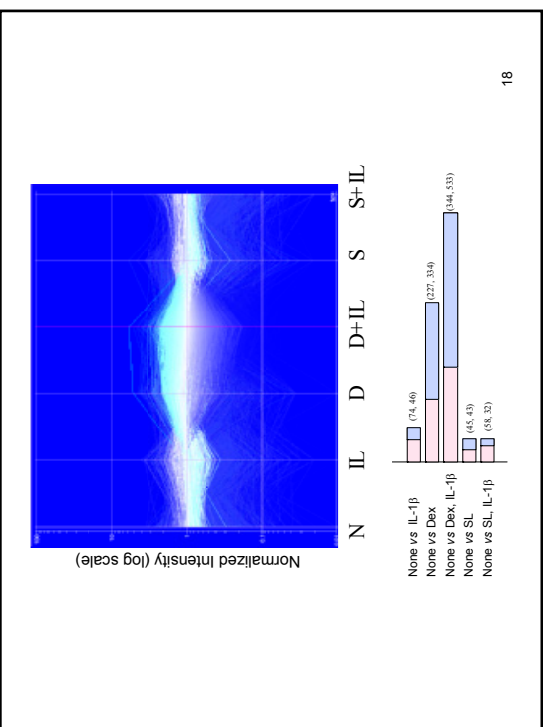
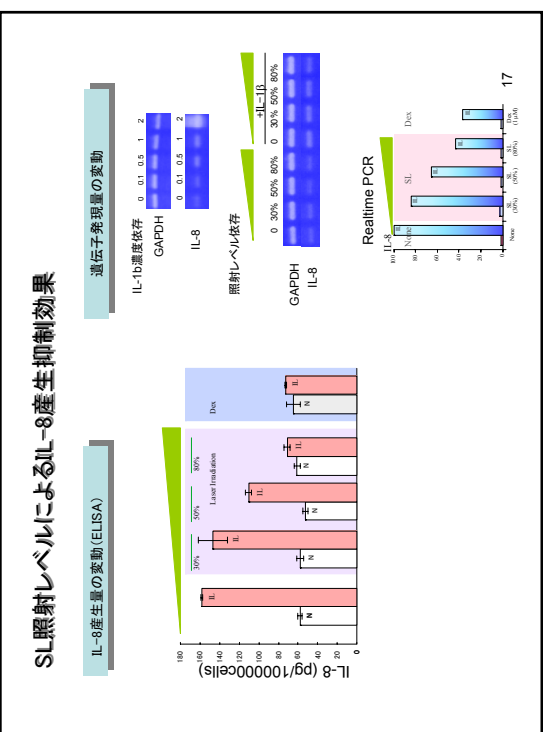
実験医学/vol 23 山本一彦先生

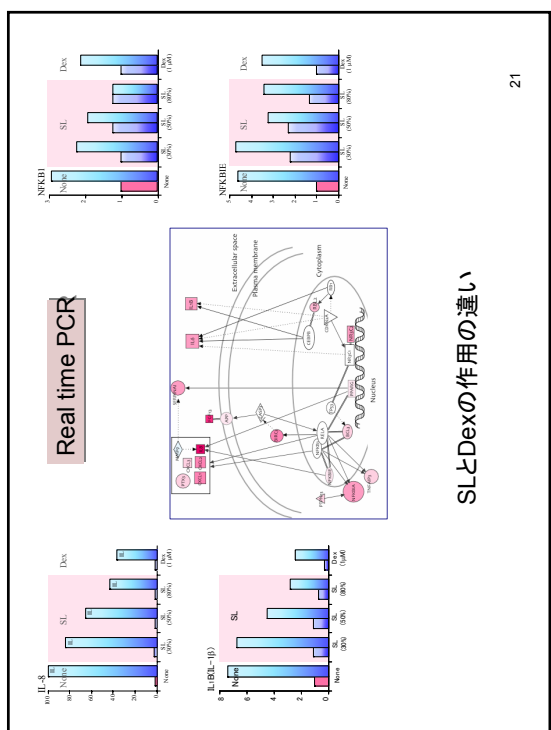
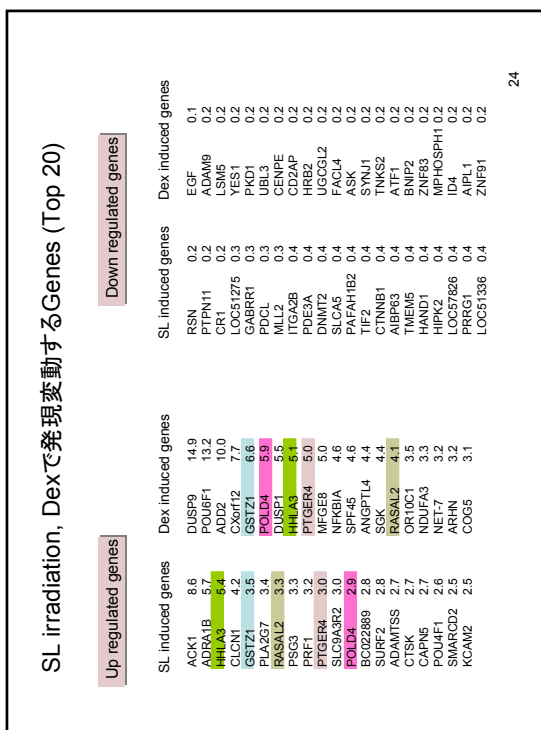
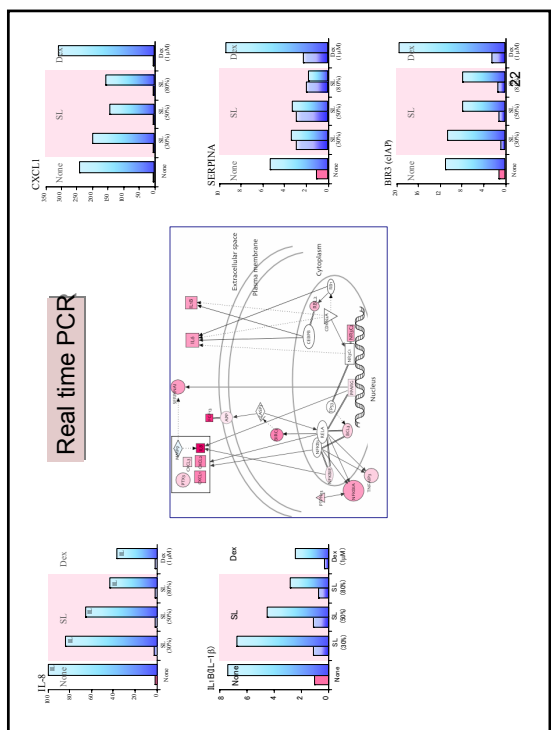


実験医学/vol 23 山本一彦先生



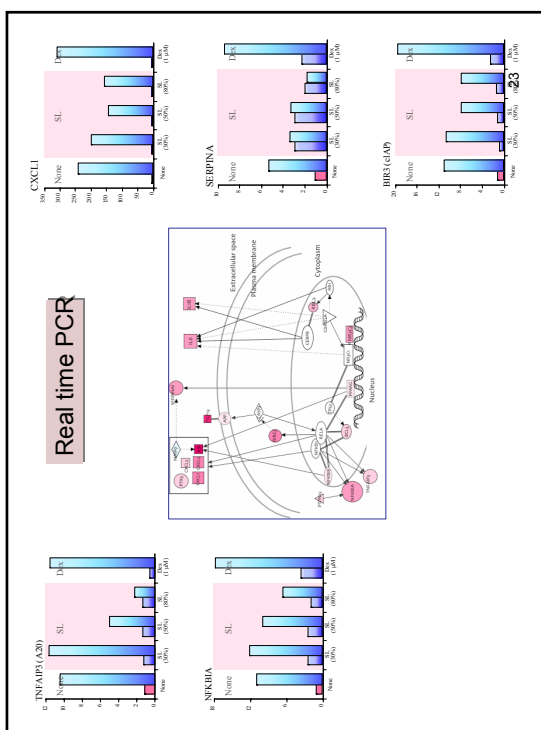






21

SLとDexの作用の違い



## -結論-

- ・ リウマチ由来の細胞を使った系で、IL-1 $\beta$ によって、NF $\kappa$ Bシグナル系に関わる遺伝子発現が増大し、結果として炎症性サイトカインの発現が増大した。
- ・ アポトーシスを抑制する遺伝子発現が増大しており、結果として、関節滑膜細胞の増殖が進むと示唆された。
- ・ これらの遺伝子発現の一部は、レーザー照射によって抑制された。
- ・ Dexとは異なり、レーザー照射による抗炎症作用、抗増殖作用は、選択的に作用している傾向がみられた。

25

## 今年度

### レーザーアブレーション法による 光機能性膜の開発と新装置試作研究

文理学部 望月研究室  
石渡謙一郎、望月章介、飯野晃弘

今年度は学術フロンティア推進事業（継続）よりの研究経費配分により当研究室では以下の事を行った。

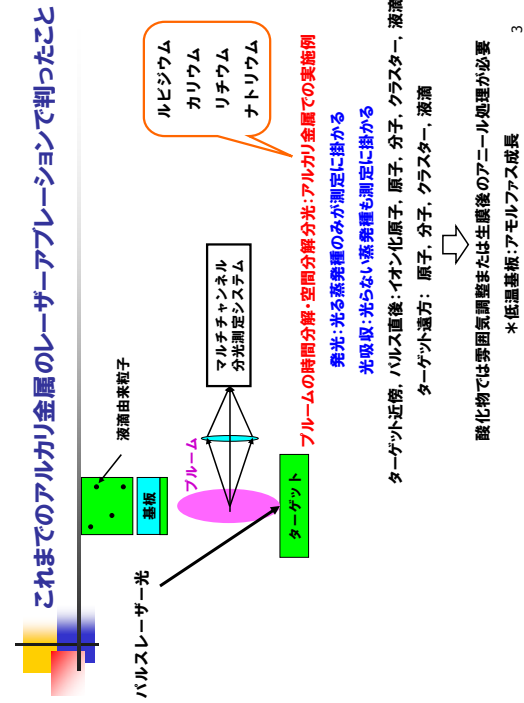
- ①これまでに我々はNd<sup>3+</sup>-YAGレーザーの第3高調波355nmを用いてアルカリ金属のレーザーアブレーションの分光をおしてクラスター・微粒子の成長過程
- ②光機能性(フォトメモリー性)を有した酸化物ナノ粒子膜の作製を研究してきた。

(1) マイクロ波アシステッドレーザーアブレーション装置の試作

- (2) レーザーアブレーションによるSrTiO<sub>3</sub>の薄膜の作製と物性測定  
種々の方法でSrTiO<sub>3</sub>薄膜を作製し、異常な光吸収端のブルーシフト現象を解明するとともに、薄膜固有の単結晶の光誘起効果と光・電子機能を探索する
- (3) レーザーアブレーションによるEu<sub>2</sub>O<sub>3</sub>ナノ粒子膜の作製とフォトメモリー現象

1

168

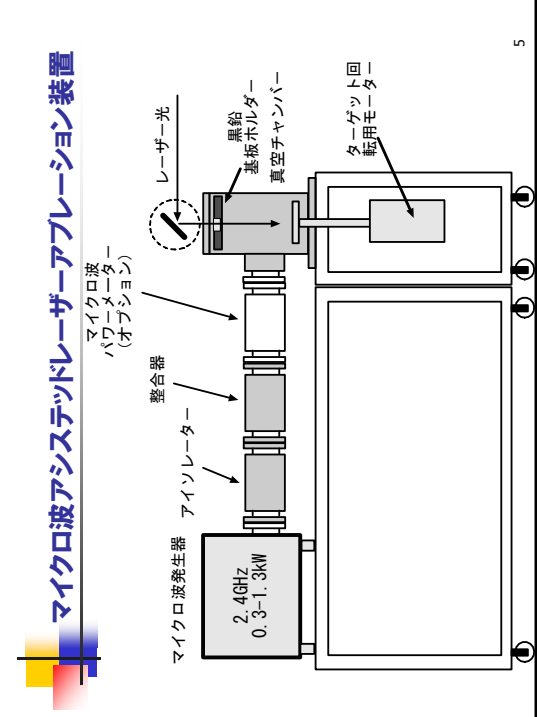


3

### (1) マイクロ波アシステッドレーザーアブレー ション装置の試作研究

- レーザーアブレーション中のマイクロ波及びプラズマ照射効果  
プラズマ元素との化合物化  
ガスの種類によって新しい薄膜化合物ができる。
- 酸化物結晶の塗覆ガスマイクロ波プラズマ照射による新規光体の探索  
酸素欠陥生成による発光化（例：青色発光化）  
STOにアルゴンレーザーを照射→青色発光
- 酸化物結晶の塗覆マイクロ波プラズマ照射による新規光体の探索  
酸素欠陥の消滅に伴う完全結晶化  
高品質の結晶が望まれる。

4

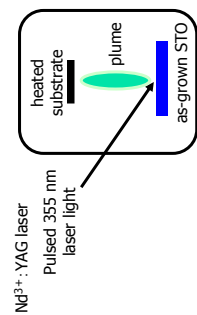


## (2) レーザーフレーショントによるSrTiO<sub>3</sub>の薄膜の作製と物性測定

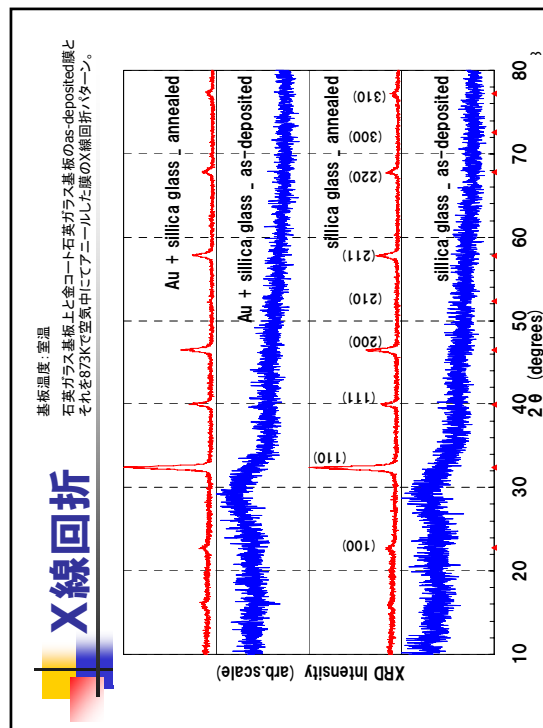
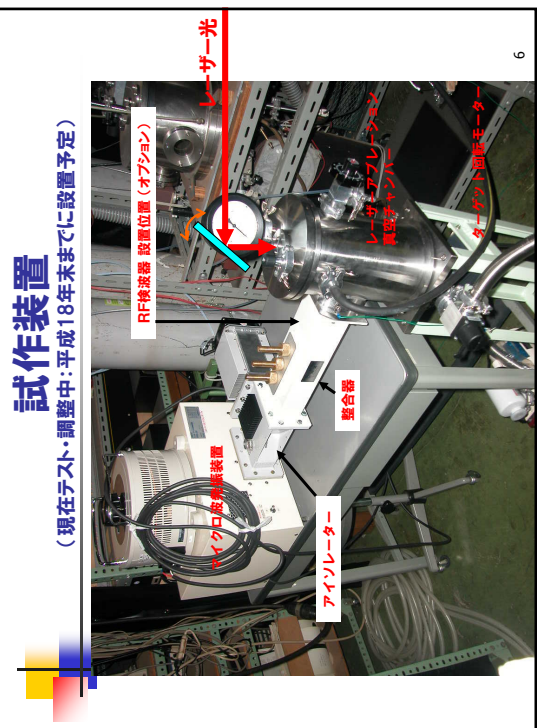
as-grown SrTiO<sub>3</sub>単結晶をターゲットに用いて、真空中でのレーザーフレーショント法により高溫(400°C)・室温の石英ガラス、金コート石英ガラス、サファイア基板上に成膜。

→ as-deposited膜、室温中873Kでアニールした膜の測定

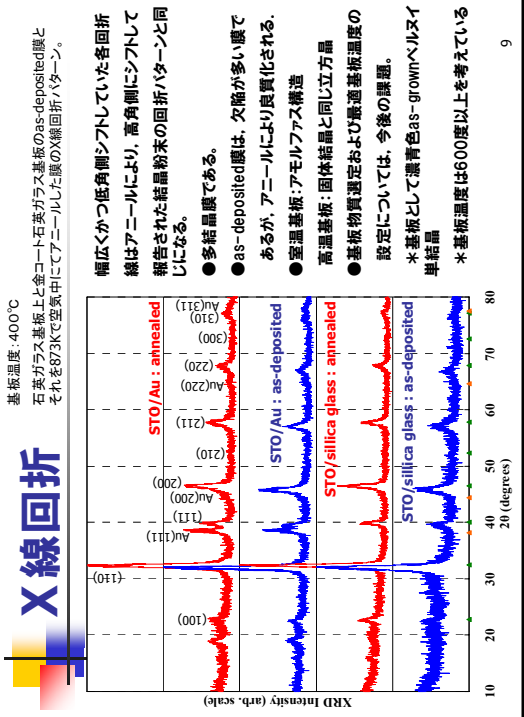
- X線回折
- 光吸収
- フォトルミネッセンス(PL)
- SEMによる膜の形態



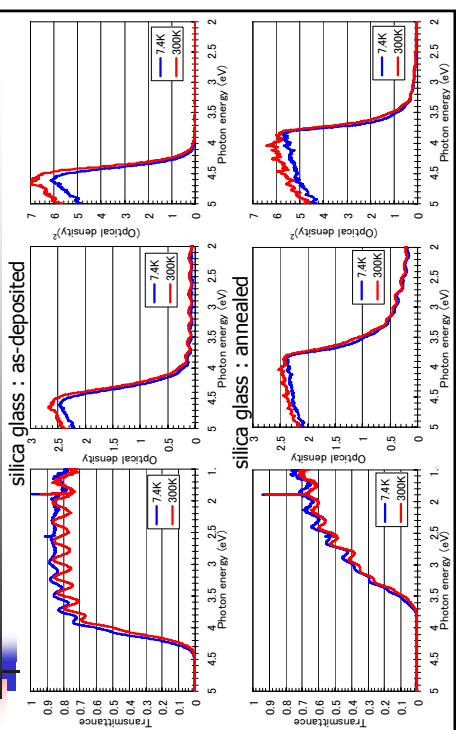
7



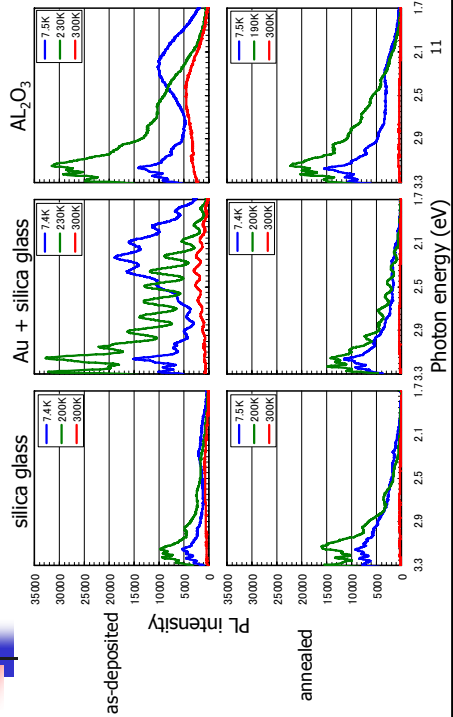
## X線回折



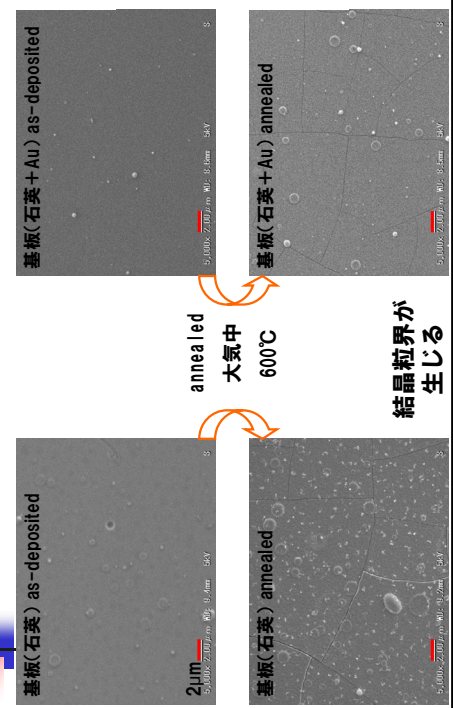
## 光吸収(温度依存)



## フォトミネッセンス

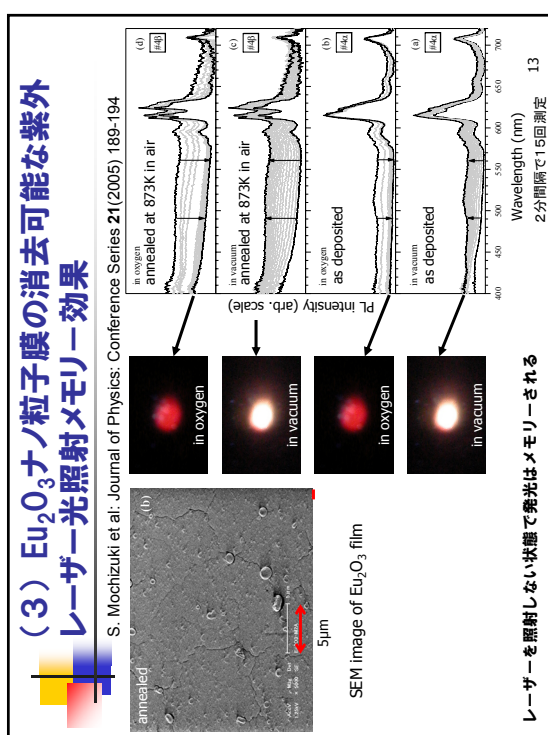


## SEMによる膜の形態



**まとめ**

- マイクロ波アシスタッドレーザーアブレーション装置
- 文理学部 望月研究室 テスト調整
- 平成18年末までにLEBRAに設置
- 0.8~3μm のFELでレーザーアブレーション  
24時間運転



レーザー光・X線による誘電体の物性制御

## 光機能性物質SrTiO<sub>3</sub>と 高イオン導電体Ag-SrTiO<sub>3</sub>の物性研究

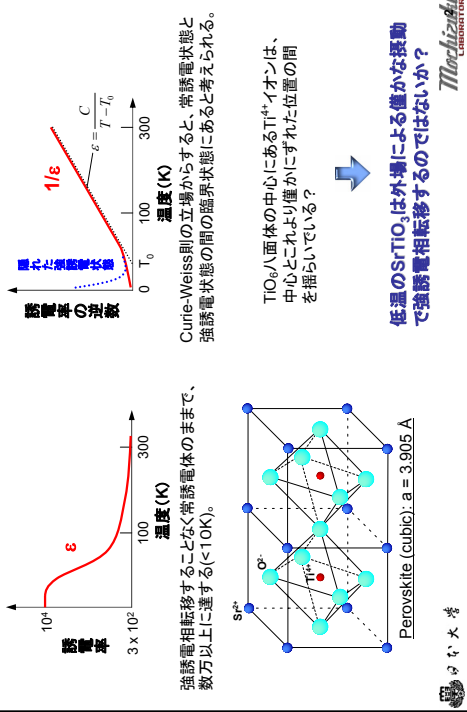
～紫外レーザー光・X線誘起誘電率増大現象～

藤代史  
基礎科学研究所DC3)

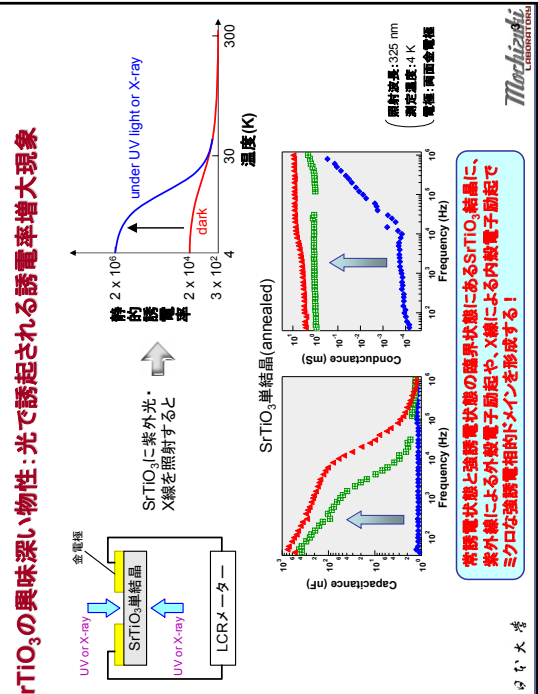
‘କାନ୍ତିଜିତ’

(文理学部4年・総合基礎科学研究科進学予定)

Markowitz

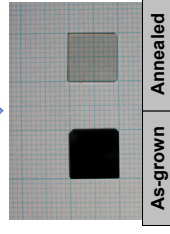


チタン酸ストロンチウム(SrTiO<sub>3</sub>)の興味深い物性：量子常誘電性



SrTiO<sub>3</sub>の興味深い物性：光で誘起される誘電率増大現象

従来の研究では、  
ヘルスイ法により育成された還青as-grown単結晶原石を適当な還元雰囲気  
でアニールして色透明化した結晶  
(annealed単結晶)が用いられてきた。  
 $\text{Ar} + \text{H}_2$ ガス雰囲気中で還元処理すると  

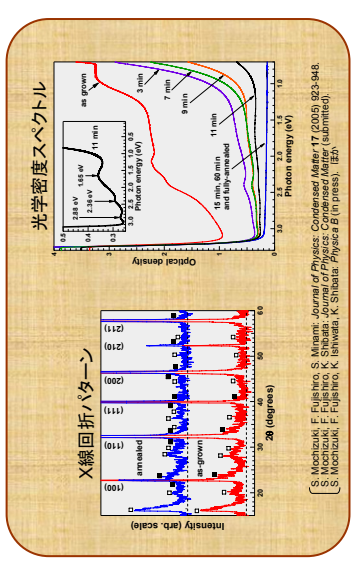



しかし、無色透明結晶にはas-grown結晶特有の欠陥(酸素欠損など)がその現象を複雑にしている可能性がある。  
→

*Mochizuki*  
LUMBER  
as-grownからアミール処理をしていく設置を系統的に調べる必要がある！  
はい大溝

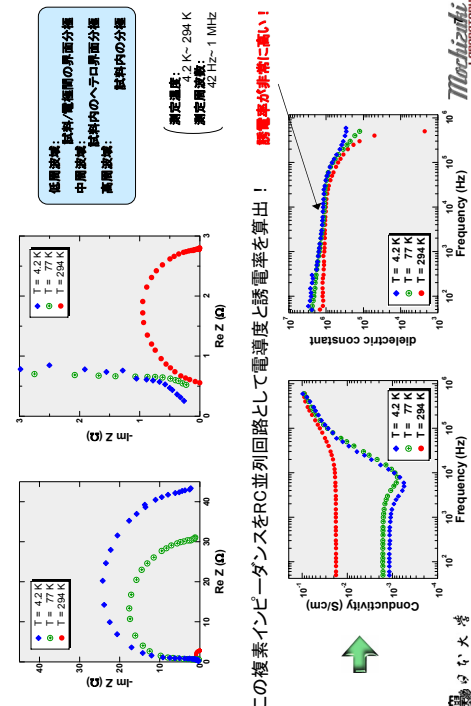
大書院

as-grown単結晶から無色透明結晶に至る過程の物性を調べると…



↑この複素インピーダンスをRC並列回路として電導度と誘電率を算出！  
誘電率が非常に高い！  
ひな大寺

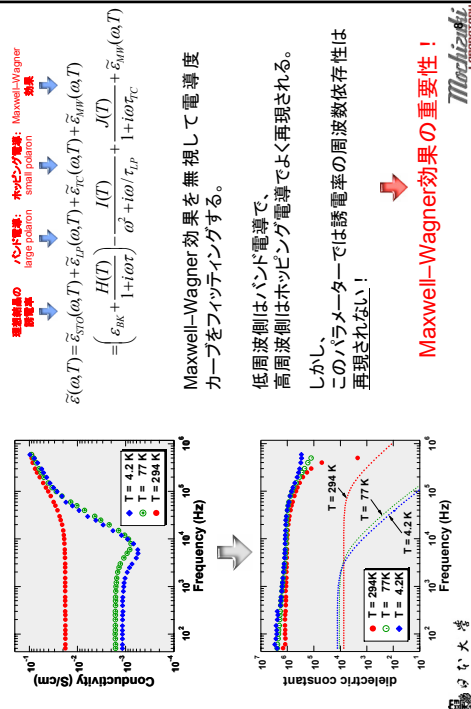
### as-grown単結晶の誘電特性：複素インピーダンス測定

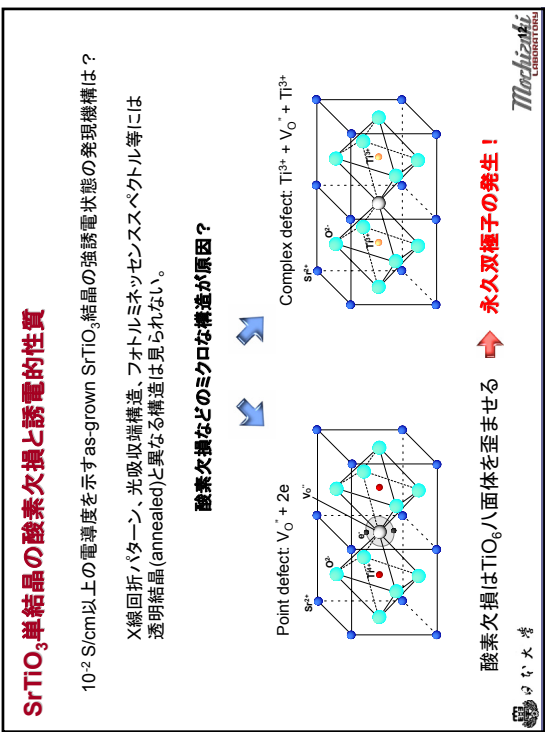
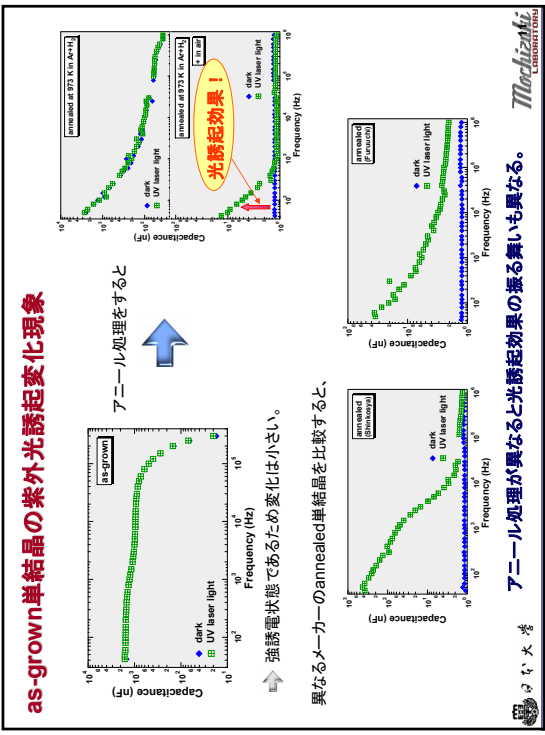
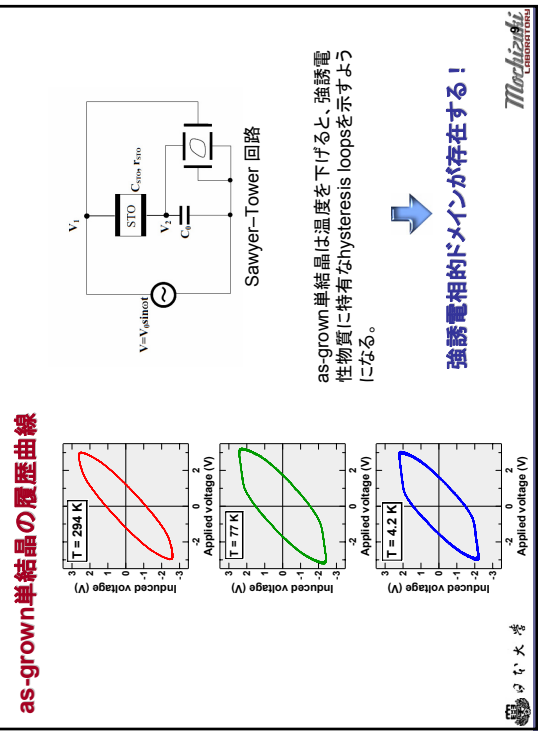


as-grown単結晶の誘電特性は…

6

### as-grown単結晶の誘電特性：複素電導度、複素誘電率





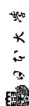
## SrTiO<sub>3</sub>単結晶の酸素欠損と誘電的性質

- 酸素欠損の程度が小さいと(→annealed单結晶的)

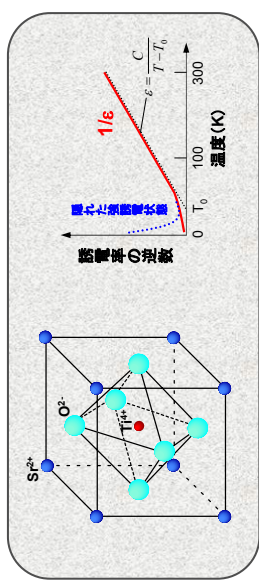
永久双極子の希薄分散状態でマクロな強誘電状態に至らないが、紫外光励起下でのキャリヤー捕獲により、ミクロな強誘電的ドメインを形成する！

- 酸素欠損の程度を大きくすると(→as-grown单結晶的)

ミクロな強誘電的ドメインの形成、高電導・強誘電状態の発現！



## 光による誘電体の物性制御



- 波長可変X線で波長依存性、パワー依存性を調べ誘電体の物性制御！
- 赤外レーザー光で格子振動を選択的に励起して強誘電状態を実現する！

などなど…

# LEBRAにおける 生命科学系利用者に対する 研究環境の整備状況

日本大学電子線利用研究施設  
桑田隆生、早川建、田中俊成、早川恭史、  
境武志、野上杏子、佐藤勇

LEBRA内 実験室の利用計画



LEBRA内 実験室の利用状況

- 施設利用の現状  
各実験室の専門化  
共同利用可能な実験室



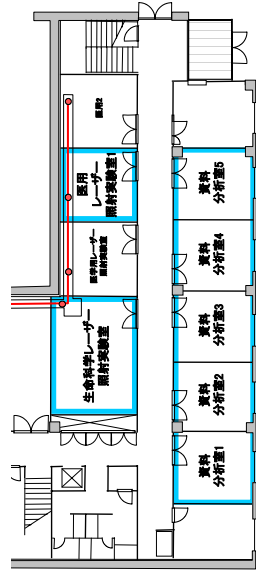
LEBRAの研究環境

- ```

graph TD
    A((O 利点)) --> B[予備的研究が可能な実験設備・機器]
    B --> C[FEL利用研究の環境整備]
    C --> D[FEL利用研究の環境整備]
    D --> E((O 問題点))
    E --> F[研究環境についての情報不足]
    F --> G[新規参入の障害]
    G --> H[FEL利用のための研究環境の不備]
    H --> I((→ 研究室の準備状況の報告))
  
```

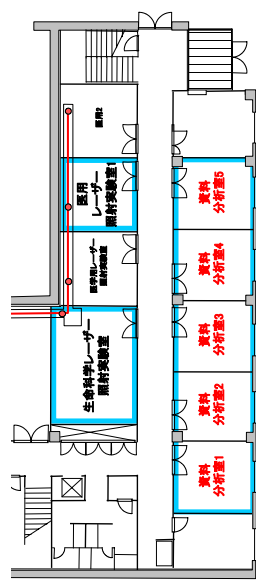
## 生命科学系利用者の研究環境

## 生命科学系利用者の研究環境



- ・資料分析室1~5
- ・医用レーザー照射実験室
- ・生命科学レーザー照射実験室

5



- ・資料分析室1~5
- ・医用レーザー顕微鏡室
- ・生命科学レーザー顕微鏡室

6

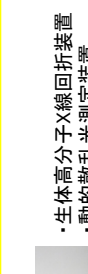
## 資料分析室1・4・5 ~X線回折装置~

### 資料分析室5

様々なX線回折  
実験が可能  
→多くの研究  
分野で活用



・微小部X線回折装置



・生体高分子X線回折装置

・動的散乱光測定装置

・凍結保存(LN<sub>2</sub>)容器

蛋白質のX線結晶解析に関わる機器



・蛋白質結晶化に関わる機器

+ α

## 資料分析室2 ~Cold Room~

### コールドルーム(5°C設定)

・遠心分離機(~5,000rpm、遠沈管各種用)  
・実体顕微鏡(50倍)  
・スターーラー



・グローブボックス  
(N<sub>2</sub>、O<sub>2</sub>、CO<sub>2</sub>ボンベ)  
・恒温恒湿器  
・実体顕微鏡(~50倍・~115倍)

8

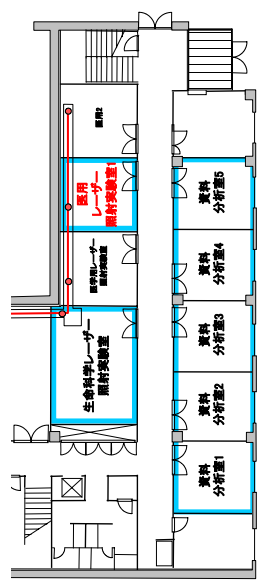
## 資料分析室3～実験準備室～



- ・葉品保冷庫(4°C～20°C)
  - ・遠心機(6・9・12×1000rpm、エッペンチューブ用)
  - ・分光光度計
  - ・精密天秤
  - ・pHメーター
  - ・乾燥機
  - ・モモジナイサー
- 最も整備が進んでいる生命科学関係の実験準備室  
→ 使用頻度が高い(生化学以外の実験)

9

## 生命科学系利用者の研究環境



- ・資料分析室1～5
- ・医用レーザー照射実験室1
- ・生命科学レーザー照射実験室

10

## 医用レーザー照射実験室1～動物飼育装置～

### 動物飼育装置

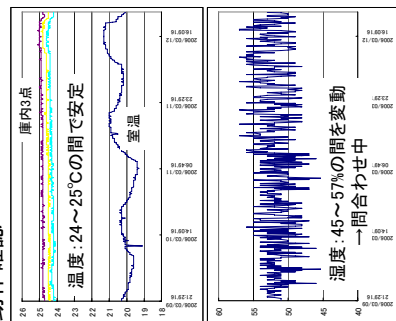


温度:22-24°C、湿度:50-60%  
日照条件(室内電灯)制御可  
自動給水装置  
48ケース(マウス用ケージ)設置可

11

## 医用レーザー照射実験室1～動物飼育装置～

### 動作確認

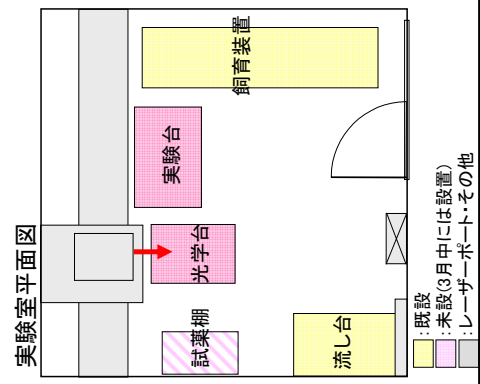


- 施設として対応しないこと
- ・実験動物の飼育
- ・飼育ケースの廃棄

12

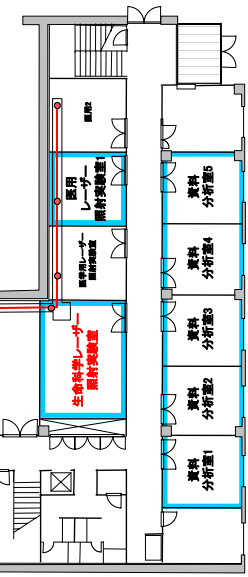
### 実験室内設備

- ・飼育装置
- ・流し台(2層シンク)
- ・光学台
- ・実験台(120×80×70)
- ・薬品棚(90×50×180)  
→ 必要に応じて
- ・消耗品
- ・ディスクポーラルケージ
- \* 床材、餌は無い



- 実験室平面図
- :既設
- :未設(3月中には設置)
- :レーザーポート・その他

## 生命科学系利用者の研究環境



- ・資料分析室1～5
- ・医用レーザー照射実験室1
- ・生命科学レーザー照射実験室

13

## 生命科学レーザー照射実験室 ～自動ステージ・クリーンベンチ用 光学系～

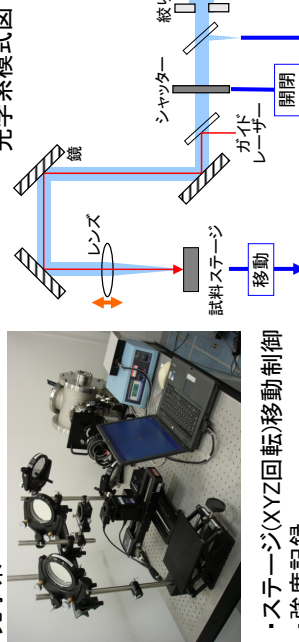


- ・自動ステージを用いた照射実験
- ・クリーンベンチ内での照射実験

14

## 生命科学レーザー照射実験室 ～自動ステージ用 光学系～

### 光学系



- ・ステージ(XYZ回転)移動制御
- ・強度記録  
(・照射部の確認)  
→PC制御可能
- \* 現在、使用頻度の高い光学系

15

## 生命科学レーザー照射実験室 ～自動ステージ用 光学系～

### 現状では未整備な点・注意点

- ・Z軸(高さ・焦点距離)の自動調整  
→波長毎の焦点距離  
サンプルとの正確な距離
- ・積分強度に基づく制御  
→要望に応じて(?)
- ・ピーク強度の調整  
→フィルターの利用
- ・基本波と高調波の分光  
→プリズム分光は試行済  
\* 三次高調波でも $1/10^4 \sim 10^5$ 強度
- ・フィルターによる調整  
\* 700～800nmではミラーの反射率90%以下

16

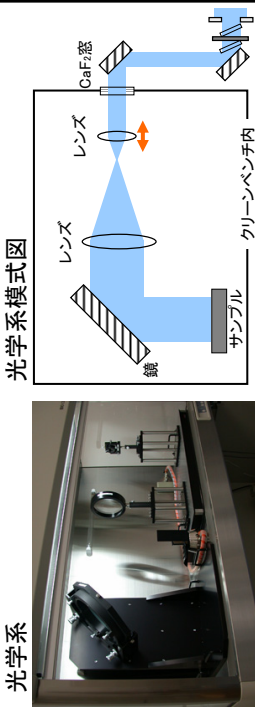
## 生命科学レーザー照射実験室 ～自動ステージ用 光学系～

- ・自動ステージを用いた照射実験
- ・クリーンベンチ内での照射実験

14

## 生命科学レーザー照射実験室 ～クリーンベンチ用 光学系～

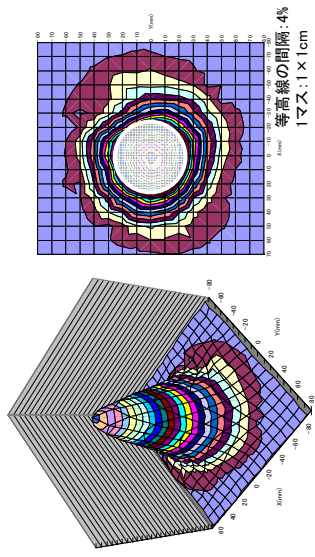
光学系



- ・クリーンベンチ内へ平行光照射
- ・広い照射野

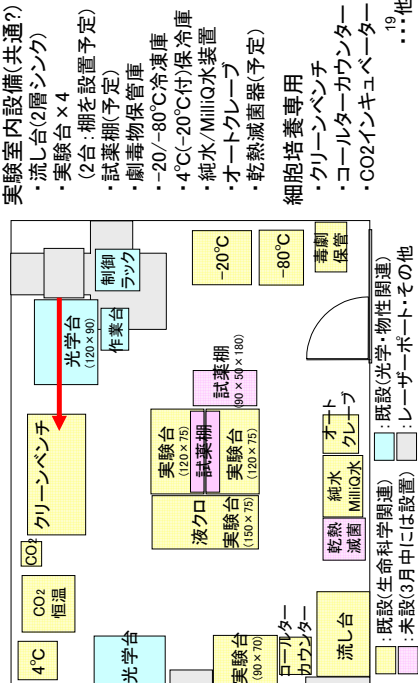
17

## 生命科学レーザー照射実験室 ～クリーンベンチ内 強度分布(波長2200nm)～



18

## 生命科学レーザー照射実験室 ～現状 機器・設備～



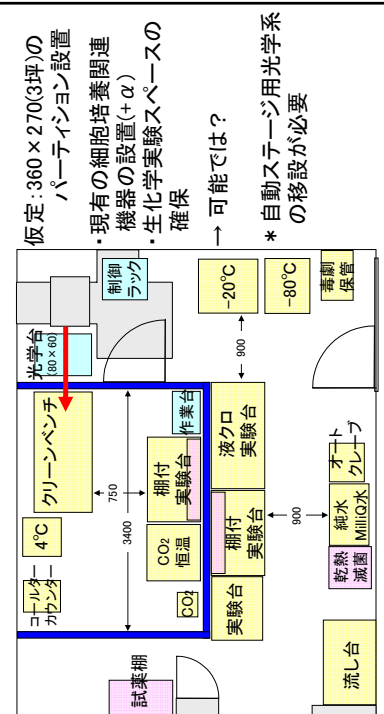
20

## 生命科学レーザー照射実験室 ～現状 機器・設備～



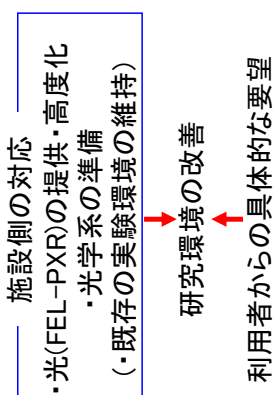
- ・様々な機器が雑然と配置
- 生化学的(細胞培養)実験が可能な状態?

生命科学レーザー照射実験室  
～研究環境の改善(案)～



21

LEBRA研究環境の整備



22

## 日本大学電子線利用研究施設 (LEBRA)

### LEBRA Linacにおける自動ビーム調整

日本大学大学院理工学研究科  
中尾圭佐

1

### 加速器の中心軌道

- ◆ 加速器の設計軌道として選ばれた軌道
- ◆ 加速器機器の設置誤差、残留磁場、地磁気などによる、電子ビーム軌道の影響を補正するために、ステアリングコイルが設置されている
- ◆ 中心軌道とのずれを測定するビーム位置モニタが設置されている
- ◆ 四極トリプレット(QT)の中心を通る軌道を、中心軌道とする

182

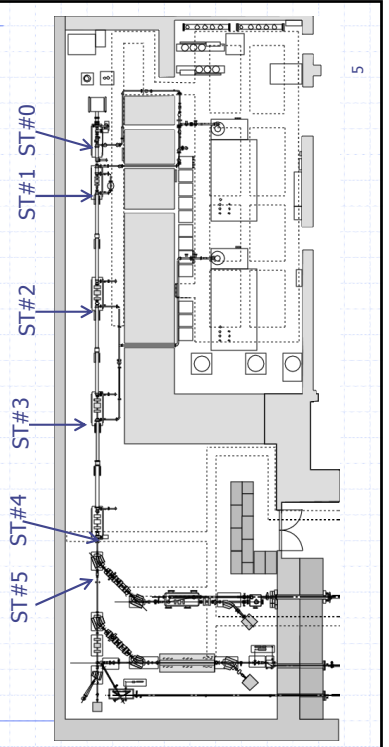
### ステアリングコイル

- ◆ 電子ビーム軌道を調整するためのコイル
- ◆ 加速管及びビンチャーの側面に設置



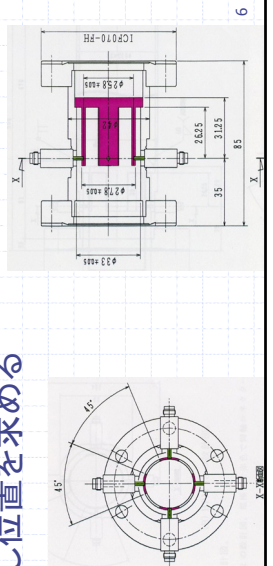
3

# ステアリングコイル配置図

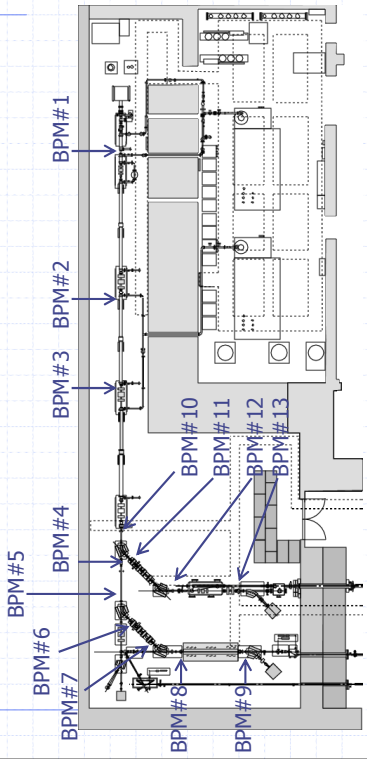


## 位置モニタ

- ◆ビーム位置モニタ(BPM)は電子ビームの重心の位置を測定する計測器
  - ◆電子ビームから生じる2856MHzのRFを検出し位置を求める



BPM配置図

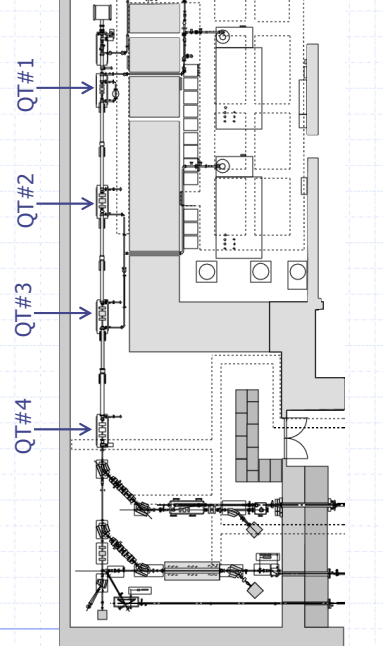


## 四極トリプレット

- ◆広がったビームを集束する電磁石
  - ◆四極電磁石を3個等間隔に配置
  - ◆水平、鉛直方向の集束が同時にできる



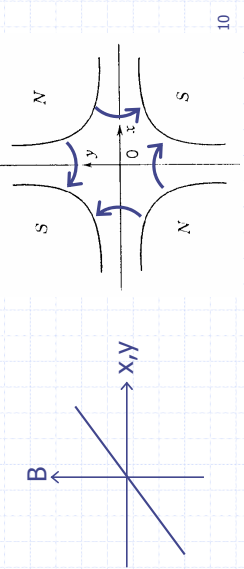
## 四極トリプレット配置図



184

## 四極電磁石(1)

- ◆ 勾配が一定の磁場を作る
- ◆ 中心の磁場は0
- ◆  $x$ 方向が集束であれば $y$ 方向は発散
- ◆  $y$ 方向が集束であれば $x$ 方向は発散



10

## 四極電磁石(2)

$x$ 方向集束の四極電磁石に、座標  $(x_0, y_0)$   
 $x$ 軸、 $y$ 軸との傾き $\theta_0$ 、 $\varphi_0$ で入射した電子は

$$\begin{bmatrix} x \\ \theta \end{bmatrix} = \mathbf{F} \begin{bmatrix} x_0 \\ \theta_0 \end{bmatrix} \quad \begin{bmatrix} y \\ \varphi \end{bmatrix} = \mathbf{D} \begin{bmatrix} y_0 \\ \varphi_0 \end{bmatrix}$$

$$\mathbf{F} = \begin{bmatrix} 1 & 0 \\ F_c & 1 \end{bmatrix} \quad \mathbf{D} = \begin{bmatrix} 1 & 0 \\ F_d & 1 \end{bmatrix}$$

$e$ : 素電化

$g$ : 単位電流あたりの磁場の勾配  
 $I$ : コイルに流す電流  
 $E$ : ビームエネルギー

で書ける  $(x, y, \theta, \varphi)$  に移動する。

## 四極トリプレットの転送行列(1)

LEBRAのLinacに設置されている四極トリプレットの配置は  
FDFなので、四極トリプレットの転送行列は

$$\begin{bmatrix} x \\ \theta \end{bmatrix} = \mathbf{FSDSF} \begin{bmatrix} x_0 \\ \theta_0 \end{bmatrix} \quad \begin{bmatrix} y \\ \varphi \end{bmatrix} = \mathbf{DSFSD} \begin{bmatrix} y_0 \\ \varphi_0 \end{bmatrix}$$

$$\mathbf{S} = \begin{bmatrix} 1 & s \\ 0 & 1 \end{bmatrix}$$

となる。行列  $S$  は長さ  $s$  の自由空間の転送行列である。

12

## 四極トリプレットの転送行列(2)

$$x = \{1 + sF_d - F_c(2s + s^2F_d)\}x_0 + [2s + s^2F_d + L\{1 + sF_d - F_c(2s + s^2F_d)\}]p_0$$

$$y = \{1 - sF_c + F_d(2s - s^2F_c)\}y_0 + [2s - s^2F_c + L\{1 - sF_c + F_d(2s - s^2F_c)\}]p_0$$

Lebraの加速器に設置されている四極トリプレットは、FとDの四極電磁石の励磁電流を独立に制御できる。  
どちらか一方に流す電流を変化させると

$$\Delta x = (ax_0 + b\theta_0)\Delta I$$

$$\Delta y = (cy_0 + d\varphi_0)\Delta I$$

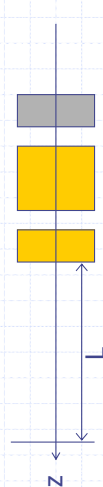
13

## 四極トリプレットの転送行列(3)

この四極トリプレットを通過後、自由空間を進んだ位置でのビーム軌道は

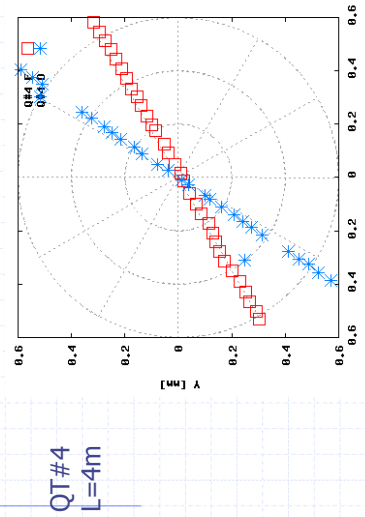
$$\begin{bmatrix} x \\ \theta \end{bmatrix} = \begin{bmatrix} 1 & L \\ 0 & 1 \end{bmatrix} \text{FSDSF} \begin{bmatrix} x_0 \\ \theta_0 \end{bmatrix} \quad \begin{bmatrix} y \\ \varphi \end{bmatrix} = \begin{bmatrix} 1 & L \\ 0 & 1 \end{bmatrix} \text{DSFSD} \begin{bmatrix} y_0 \\ \varphi_0 \end{bmatrix}$$

と書ける



14

## 四極電磁石の電流を変化させた時のビーム位置の変化 (ビームがトリプレットの中心を通っていない場合)



15

## ビームをトリプレットの中心に通す理由

ビームがトリプレットの中心を通っていないと

- ◆ ビームの径を変化させると軌道が変化する
- ◆ RF等の変動でビームエネルギーが変化すると、軌道が変化する
- ◆ Linacでは上流のビーム軌道の変化は、下流の軌道に影響する

FEL安定発振のためにには、  
ビームをトリプレットの中心に通す必要がある

FEL安定発振のためにには、  
ビームをトリプレットの中心に通す必要がある

## 加速器中心軌道探索プログラム

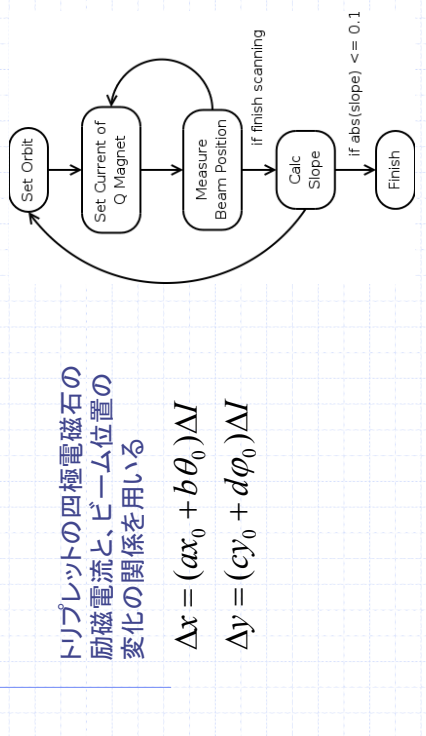
- ◆ 加速器の中心軌道を、Linacに設置されている全ての四極トリプレットの中心を通る軌道とする
- ◆ 加速器の中心軌道軌道を探索、BPMを較正するプログラムを開発した

17

## トリプレット中心探索の処理

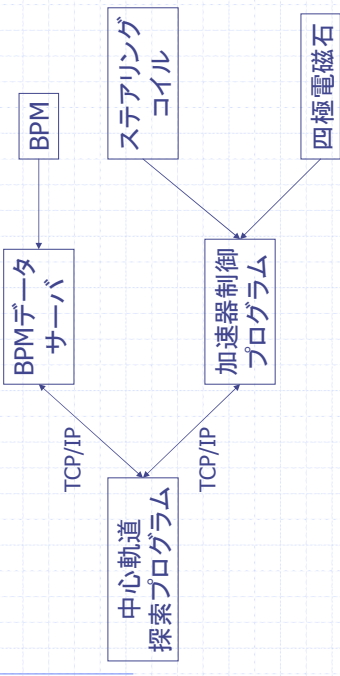
トリプレットの四極電磁石の励磁電流と、ビーム位置の変化の関係を用いる

$$\Delta x = (ax_0 + b\theta_0)\Delta I$$
$$\Delta y = (cy_0 + d\varphi_0)\Delta I$$

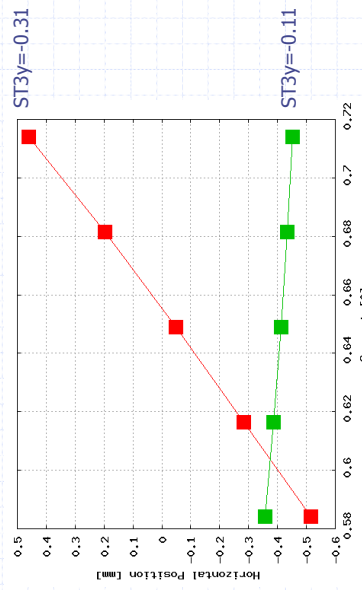


186

## システム構成図



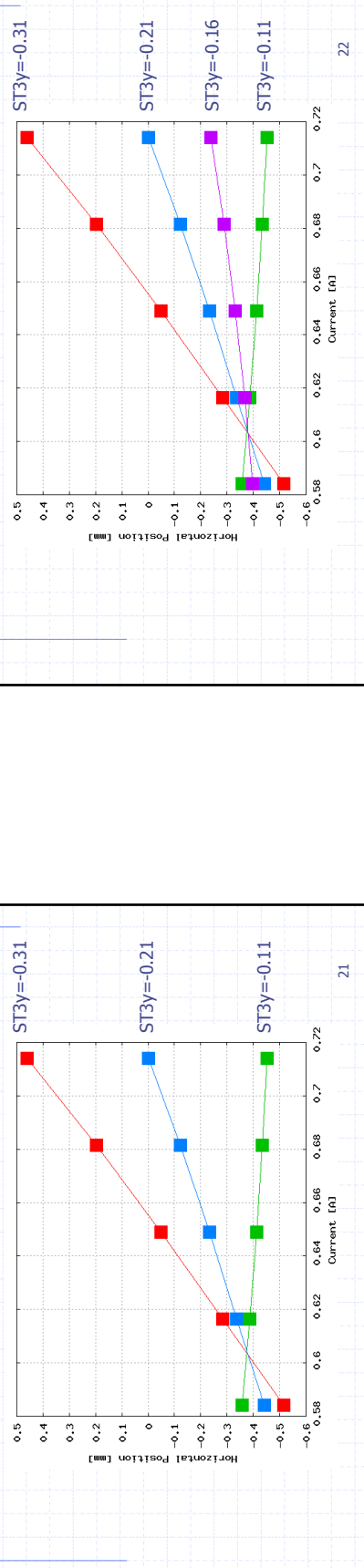
19



20

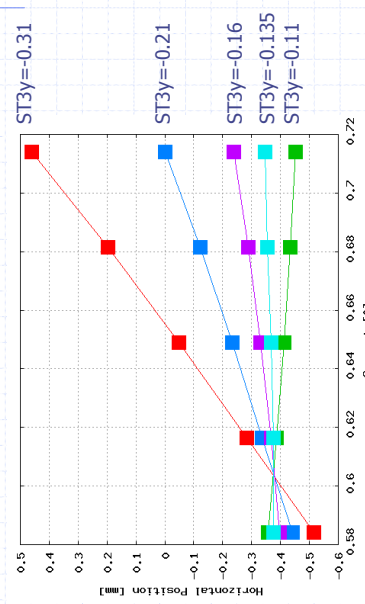
## 四極電磁石の励磁電流とビーム位置の関係

四極電磁石の励磁電流とビーム位置の関係

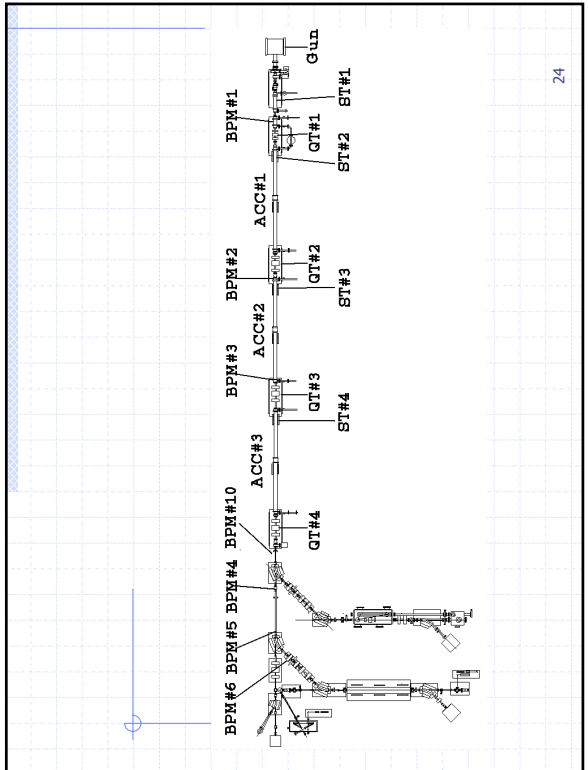


187

四極電磁石の励磁電流とビーム位置の関係

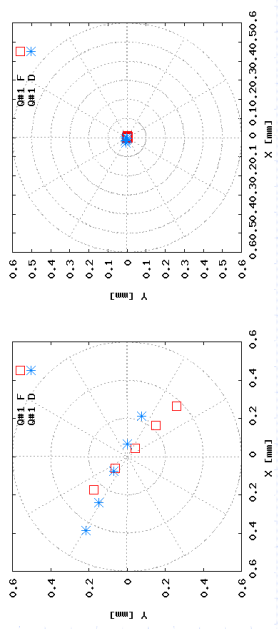


23



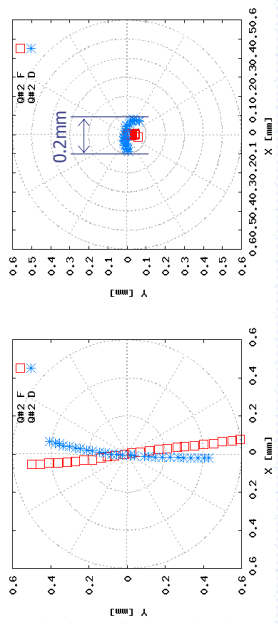
24

四極電磁石の電流を変化させた時のビーム位置の変化  
(QT#1)



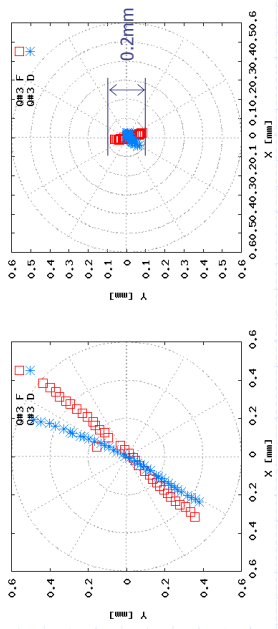
25

四極電磁石の電流を変化させた時のビーム位置の変化  
(QT#2)



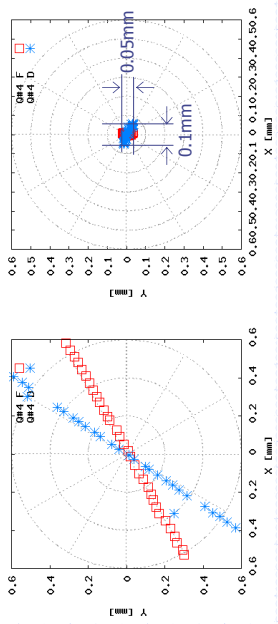
26

四極電磁石の電流を変化させた時のビーム位置の変化  
(QT#3)



188

四極電磁石の電流を変化させた時のビーム位置の変化  
(QT#4)



27

28

## 中心軌道自動探査プログラムの精度

- ◆ 加速管のディスクの内  
　　直径は20mm
- ◆ 加速管の長さは4m
- ◆ ビーム軌道がどうする  
　　角度は最大0.3mrad
- ◆ 誤差の最大値は  
　　70um

29

## 中心軌道探索プログラムの評価

- ◆ アンジュレータ入り口でのビーム位置の変化
  - QT#4の四極電磁石の励磁電流を±10%変化させた場合 →0.2mm
- ◆ 目標
  - アンジュレータに入射する電子ビーム軌道のずれ <0.4mm
- ◆ ビーム軌道に関する目標を達成した

30

31